

# РОДЖЕР ПЕНРОУЗ

Циклы времени



ИЗДАТЕЛЬСТВО

**БИНОМ**

# Циклы времени

# ROGER PENROSE

## Cycles of Time

*An Extraordinary New View  
of the Universe*

# РОДЖЕР ПЕНРОУЗ

## Циклы времени

Новый взгляд на эволюцию Вселенной

Перевод с английского  
канд. физ.-мат. наук А. В. Хачояна



Москва  
БИНОМ. Лаборатория знаний

УДК 524.8  
ББК 22.68  
П25

**Пенроуз Р.**

П25 Циклы времени. Новый взгляд на эволюцию Вселенной / Р. Пенроуз ; пер. с англ. — М. : БИНОМ. Лаборатория знаний, 2014. — 333 с. : ил.

ISBN 978-5-9963-1405-8

Роджер Пенроуз, крупнейший математик и физик-теоретик, популяризатор науки, коллега и соавтор легендарного Стивена Хокинга, продолжает развивать свои новые космологические идеи и дает совершенно неожиданный ответ на вопрос о том, что предшествовало Большому взрыву.

Книга адресована не только специалистам, но и широкому кругу читателей, желающих более подробно ознакомиться с проблемами и достижениями современной астрофизики.

УДК 524.8  
ББК 22.68

---

*Научно-популярное издание*

**Пенроуз Роджер**

**ЦИКЛЫ ВРЕМЕНИ. НОВЫЙ ВЗГЛЯД НА ЭВОЛЮЦИЮ ВСЕЛЕННОЙ**

Ведущий редактор *Д. К. Новикова*. Редакторы *Л. А. Осипова, Г. М. Козлова*  
Художественное оформление: *И. Е. Марев*. Художник *Н. А. Новак*  
Технический редактор *Е. В. Денюкова*. Корректор *Е. Н. Клиulina*  
Компьютерная верстка: *Н. Ю. Федоровская*

Подписано в печать 25.07.13. Формат 84 × 108/24.  
Усл. печ. л. 23,52. Тираж 3500 экз. Заказ 3210/13.

Издательство «БИНОМ. Лаборатория знаний»  
125167, Москва, проезд Аэропорта, д. 3  
Телефон: (499) 157-5272, e-mail: binom@Lbz.ru, http://www.Lbz.ru

Отпечатано в соответствии с предоставленными материалами  
в ООО «ИПК Парето-Принт», г. Тверь, www.pareto-print.ru

При участии ООО Агентство печати «Столица» www.apstolica.ru, e-mail: apstolica@bk.ru

---

Copyright © Roger Penrose, 2010.  
Публикуется с разрешения автора  
и его литературных агентов,  
Zeno Agency Limited (Великобритания)  
при участии Агентства  
Александра Корженевского (Россия)  
© БИНОМ. Лаборатория знаний, 2014

ISBN 978-5-9963-1405-8

# Предисловие к русскому изданию

За короткое время, прошедшее с момента выхода в свет английского издания книги *Cycles of Time* в 2010 году, в космологии были получены новые интересные результаты, связанные с обработкой наблюдаемых данных. Эти результаты позволяют предположить, что излагаемые в книге «неожиданные», точнее непривычные, идеи могут использоваться для вполне ясного объяснения некоторых наблюдаемых астрономами эффектов.

Основная идея книги состоит в рассмотрении некой единой и полной фазы развития Вселенной (я называю эту единую фазу эоном), протекавшей *до того момента*, который мы привычно именуем Большим взрывом! Более того, предполагается, что каждый такой эон в действительности является одним из бесконечного ряда сменяющих друг друга эонов. Я понимаю, что эта идея может показаться просто странной, однако еще раз отмечу, что мое главное предположение состоит в том, что наблюдаемый нами этап эволюции Вселенной является лишь одним из бесконечной последовательности таких повторяющихся циклов-эонов. При этом в рамках

каждого текущего *эона* наблюдается в основных чертах именно та общая картина, которая считается общепризнанной в современной астрофизике, то есть Вселенная возникает в результате очередного Большого взрыва и развивается вплоть до наблюдаемого экспоненциального расширения!

Совместно с моим армянским коллегой Ваге Гюрзаяном, о котором я упоминаю в книге, мы по-новому провели анализ космического излучения, сохранившегося сразу после Большого взрыва (знаменитого *cosmic microwave background, CMB*), которое должно было сохранить информацию относительно эонов, предшествующих нашему собственному. В разделе 3.6 книги я уделяю особое внимание возможности столкновения сверхмассивных черных дыр галактик в течение предыдущего эона, поскольку именно при таких событиях могут происходить слияния дыр, сопровождающиеся чудовищными выбросами энергии. При этом существенная часть массы и энергии дыр, до нескольких процентов, «выбрасывается» в пространство, становясь своеобразными сигналами предыдущего

зона, которые могут быть как-то зарегистрированы нами (наблюдателями из следующего эона) в виде особенностей спектра излучения СМВ нашего собственного эона.

В настоящее время появляется все больше свидетельств того, что такие столкновения должны приводить к возникновению концентрических циклических нарушений на общих картинах (паттернах) спектра СМВ. Проблема интерпретации нарушений пока не решена, однако я твердо верю, что вскоре будут получены более убедительные доказательства реального существования предполагаемых эффектов. Разумеется, будут предложены и другие объяснения таких «сигнальных» нарушений спектра СМВ, однако уже имеющихся данных достаточно по крайней мере для того, чтобы рассматривать предложенные выше идеи в качестве возможности совершенно серьезных описаний реальных

закономерностей, а не умозрительных теорий. Общий ход рассуждений основан, кстати, на одном из самых фундаментальных и загадочных представлений физики вообще (а именно — на втором законе термодинамики), и, в любом случае, я убежден, что мы движемся к пониманию сущности рассматриваемых в книге исключительно важных проблем.

Российские ученые сыграли очень важную роль в развитии современной космофизики и астрофизики, и я горжусь тем, что книга *Cycles of Time* появится в русском переводе, что позволит развить дальнейшее сотрудничество между специалистами в этой важной области исследований и познания. Надеюсь, что книга будет интересна и широкому кругу читателей, желающих просто ближе ознакомиться с проблемами и достижениями современной астрофизики.

Роджер Пенроуз,  
октябрь 2012

# Содержание

От автора .....	8	2.4. Черные дыры и сингулярности пространства-времени.....	106
Пролог .....	10	2.5. Конформные диаграммы и конформные границы .....	118
<b>Часть 1. Таинственный смысл второго закона термодинамики .....</b>	<b>15</b>	2.6. Осознание необычности Большого взрыва .....	135
1.1. Второй закон термодинамики — неумолимое нарастание беспорядка в мире.....	15	<b>Часть 3. Конформная циклическая космология.....</b>	<b>151</b>
1.2. Энтропия и число состояний системы .....	20	3.1. Связь с бесконечностью времени .....	151
1.3. Фазовое пространство и определение энтропии по Больцману .....	30	3.2. Структура конформной циклической космологии .....	163
1.4. Здравый смысл и концепция энтропии.....	41	3.3. Ранние модели состояния Вселенной перед Большим взрывом .....	179
1.5. Неизбежность возрастания энтропии в будущем .....	50	3.4. Квадратура круга для второго закона .....	191
1.6. Почему прошлое отличается от будущего? .....	55	3.5. Конформная циклическая космо- логия и квантовая гравитация.....	209
<b>Часть 2. Необычная сущность Большого взрыва .....</b>	<b>63</b>	3.6. Возможности экспериментальной проверки.....	227
2.1. Наша расширяющаяся Вселенная .....	63	Эпилог .....	244
2.2. Всепроницающее фоновое излучение ..	73	Приложения.....	245
2.3. Пространство-время, нулевые конусы, метрики, конформная геометрия .....	87	Примечания.....	284
		Благодарности .....	311
		Предметный указатель .....	313

## От автора

Одна из самых глубоких тайн Вселенной связана с проблемой ее собственного возникновения.

Когда в начале 1950-х годов я был студентом-математиком Кембриджского университета, в науке господствовала восхитительная космологическая теория, называемая моделью стационарной Вселенной. В соответствии с ней Вселенная существовала вечно и оставалась при этом стационарной, примерно одинаковой и однородной во времени и пространстве. Более того, Вселенная пребывала «почти в неизменном состоянии» даже при постоянном расширении, поскольку обусловленное ее расширением снижение плотности компенсировалось в этой модели непрерывным «порождением» нового вещества в виде крайне разреженного газообразного водорода. Моим учителем и другом в Кембридже был известный космолог Деннис Скиама, который не только разъяснил мне множество связанных с этой моделью новейших физических теорий, но и сумел внушить чувство восхищения красотой и эффективностью заложенных в модели представлений и идей.

Однако модель стационарной Вселенной не выдержала испытания временем, и от нее пришлось отказаться в 60-х годах, когда Арно Пензиас и Роберт Уилсон (неожиданно для всех, включая и самих себя!) обнаружили в космосе пронизывающее всю Вселенную изотропное электромагнитное излучение, получившее название *микроволнового фонового излучения* – cosmic microwave background (СМВ). Позднее Роберт Дике показал, что оно представляет собой остаток, реликт события, описываемого теорией Большого *взрыва* или Биг-бэнга, в соответствии с которой Вселенная возникла в результате чудовищного взрыва, по-видимому, примерно 14 млрд лет назад. Сама возможность такого события впервые была предсказана монсьеором Георгом Леметром в 1927 году при обсуждении уравнений Эйнштейна специальной теории относительности (1915 г.) и первых экспериментальных данных, свидетельствующих о расширении Вселенной. Когда существование космического фонового излучения было установлено с достаточной точностью, Деннис Скиама с большим досто-

инством публично и честно отказался от своих прежних взглядов, а затем активно поддержал теорию Большого взрыва.

За последующие десятилетия космология значительно изменилась, превратившись из умозрительного занятия в зрелую и точную науку. Огромную роль в этих революционных преобразованиях сыграли высокоточные измерения параметров фонового излучения, полученные в результате множества великолепных экспериментов. Однако в космологии осталось большое количество нерешенных задач и тайн, дающих богатую пищу для размышлений и гипотез. В предлагаемой книге я описываю не только основные модели классической релятивистской космологии, но и многие проблемы, возникшие при ее развитии. Главные из них связаны, прежде всего, с необычными следствиями второго закона термодинамики, а также с непонятной природой происхождения самого Большого взрыва. В этой связи я излагаю в книге ряд

собственных гипотез и предположений, которые позволяют установить новые закономерности в наблюдаемом нами поведении Вселенной.

Мой собственный, неортодоксальный подход к этой теме возник еще летом 2005 года, а затем был дополнен и детализирован в последующих работах. Он основан на геометрических соображениях, но я не включил формулы и сложные математические выкладки в основной текст книги, а собрал их в приложениях, которые предназначены специалистам. Хотел бы отметить, что (хотя общая схема и выводы могут показаться читателю необычными) сама теория в целом базируется на вполне серьезных геометрических и математических идеях. Интересно, что, несмотря на существенные различия, в предлагаемой теории странным образом обнаруживаются «отголоски» старой модели стационарного состояния Вселенной!

Интересно, что бы сказал по этому поводу Деннис Скиама?

# Пролог

Слегка прищурившись, чтобы защититься от струй дождя, Том с удовольствием разглядывал открывающуюся перед ним картину, где стекающая с вершины горы бурная речка энергично крутила колесо маленькой старой, но отлично сохранившейся водяной мельницы. Мальчика привезла сюда на отдых тетя Присцилла, профессор астрофизики Кембриджского университета.

— Вау! — воскликнул Том, — как здорово все работает! Неужели все эти древние механизмы и колеса всегда крутятся так быстро?

— Не думаю, что все работает так всегда, — ответила тетя, стараясь перекричать шум речного потока. — Просто сегодня из-за дождливой погоды течение намного сильнее обычного. Заметь, что большая часть воды перетекает через запруду, а не проходит через мельницу. Обычно река выглядит намного спокойнее, а сегодня у нее гораздо больше энергии, чем нужно для нормальной работы мельницы.

Том взгляделся в поток, восхищаясь причудливыми узорами сверкающих струй и брызг, после чего, немного подумав, сказал:

— А я что-то вообще не вижу какой-то большой энергии в этом течении. Просто я

думаю, что кто-то очень сообразительный пару столетий назад понял, как можно использовать силу воды для того, чтобы все эти механизмы задвигались и начали выполнять работу вместо людей, например, заставляя трудиться большие ткацкие станки. Но я не понимаю, откуда берется энергия, которая заставляет всю эту воду собираться на вершине горы.

— Солнечное тепло испаряет воду в океане, пары поднимаются в атмосферу, а затем выпадают в виде дождя, в результате чего где-то высоко в горах вдруг оказывается очень большое количество воды. Так что в действительности колесо мельницы вращает именно энергия Солнца, — ответила Присцилла.

Как часто случалось при беседах с тетусшкой, Том почувствовал себя немного озадаченным, но попробовал отнестись к сказанному с обычным скептицизмом. Он не очень представлял себе, каким образом вода может подниматься куда-то вверх и как это связано с нагревом. И вообще, о каком нагреве говорит тетя, если сегодня прохладно?

— Впрочем, вчера было довольно жарко, — сказал Том неохотно, — хотя я не чувствовал, чтобы Солнце что-то поднимало.

Тетя Присцилла рассмеялась:

— Все обстоит совсем по-другому. Просто вода в океане состоит из крошечных частиц, которые называются молекулами и двигаются совершенно случайным, хаотическим образом. Солнце нагревает молекулы и придает им дополнительную энергию, благодаря чему они начинают двигаться все быстрее, а наиболее «горячие» молекулы при этом даже покидают поверхность воды и «выскакивают» в атмосферу. Число таких молекул относительно мало, но моря и океаны настолько огромны, что в атмосфере практически всегда находится очень большое количество паров воды, из которой могут образовываться облака, время от времени выпадающие в виде дождя, и тогда в высокогорье вдруг сразу оказываются большие объемы воды.

Том был слегка озадачен услышанным. Он немного понял, как образуются дожди, но продолжал сомневаться:

— Тетя, как же так, ведь дождь вовсе не теплый?

— Конечно. Как я сказала раньше, тепловая энергия Солнца сперва превращается в энергию очень быстрого и хаотического движения молекул воды, в результате чего часть этих молекул начинает двигаться настолько быстро, что они могут «выскакивать» в атмосферу, образуя пары воды. При подъеме вверх энергия движения молекул превращается в другую энергию, которая называется энергией гравитационно-

го потенциала. Представь, что ты бросаешь вверх мячик. Чем энергичнее и с большей скоростью ты его бросишь, тем большей высоты он достигнет, а затем начнет опускаться. Так и с молекулами воды. Рано или поздно они достигают максимально возможной высоты подъема, при которой вся энергия движения (вспомни, что эту энергию они получают от теплоты Солнца) полностью превращается в гравитационную потенциальную энергию, соответствующую высоте над поверхностью планеты. Затем молекулы воды выпадают в виде дождя, «скатываются» вместе с речной водой с горы, и их потенциальная энергия вновь обращается в энергию движения, которая и приводит в действие все эти интересно устроенные механизмы мельницы.

— Так, значит, вода совсем не должна нагреваться при этом? — спросил Том.

— Именно так, милый. Поднимаясь вверх в атмосфере, молекулы воды постепенно замедляются и могут даже просто «замерзнуть», образуя снежинки в виде крошечных частиц льда (из них, кстати, и состоит облака), в результате чего вся энергия их теплового движения полностью превращается в потенциальную энергию. Поэтому дождь и состоит вовсе не из горячей, а скорее из охлажденной воды, которая дополнительно остывает при «падении» с высоты, преодолевая сопротивление воздуха.

— Как здорово!

— Конечно, все это занятно, — сказала тетя Присцилла, обрадованная интересом племянника, — но на самом деле стекающая по горному склону *холодная* вода все еще содержит молекулы с высокой *тепловой* энергией. Они еще обладают большой скоростью и энергией хаотического движения, что и позволяет таким молекулам ниже по течению энергично двигаться, совершать работу и создавать стремительные завихрения потока!

— Боже мой, и я должен во все это поверить? — Том был сильно удивлен. Подумав несколько минут, он затем вдруг воскликнул:

— Тетя, у меня появилась прекрасная идея! Почему бы нам не построить мельницу особого типа, которая могла бы напрямую использовать всю энергию движения молекул воды, например, просто в обычном озере? В такой мельнице можно придумать множество маленьких лопастей с крошечными «чашечками» на концах, чтобы молекулы воды могли вращать их независимо от направления потока. Это было бы похоже на миниатюрную ветряную мельницу, но работающую прямо в воде под действием ударов отдельных молекул. Такое устройство напрямую преобразовало бы энергию движения молекул и позволило бы приводить в действие разнообразные механизмы!

— Прекрасная идея, Том, но, к сожалению, такое устройство точно не будет работать... Должна тебе сказать, что существует

фундаментальный физический принцип, называемый вторым законом термодинамики, в соответствии с которым любая такая система с течением времени будет «дезорганизовываться» или, другими словами, постепенно разрушаться. Конкретно для твоего устройства, Том, второй закон можно сформулировать в виде следующего условия: нельзя создать устройство, получающее полезную энергию за счет использования *случайно-го*, то есть хаотического движения молекул в любом (неважно, холодном или горячем) теле. Ученые даже придумали для такого воображаемого, но невозможного устройства особый термин, назвав его «демоном Максвелла».

— Не говори так, тетя, ты же знаешь, что дедушка дразнит меня «маленьким демоном» каждый раз, как только я предлагаю новую потрясающую идею! И вообще, — продолжил Том с привычным скептицизмом, — этот второй закон кажется неприятным и мне трудно поверить в его справедливость. Надо просто придумать какую-нибудь замечательную идею, которая позволила бы «перехитрить» все неприятные правила. Например, я понял, что именно энергия горячего Солнца нагревает молекулы воды в океанах и придает им столько энергии хаотического движения, что они могут потом достигать горных вершин, а затем скатываться вниз, вращая колесо водяной мельницы.

— Ты понял совершенно правильно. Второй закон лишь утверждает, что Солнце не может производить работу самостоятельно. Для работы мельницы необходимо, чтобы атмосферные слои над горами были настолько холодными, чтобы в них могли конденсироваться атмосферные пары. А Земля не сохраняет всю энергию, полученную от Солнца!

Том взглянул на тетю с нескрываемым удивлением:

— Почему? А зачем тогда нужны эти холодные слои в верхней части атмосферы? Разве слово «холодный» не означает лишь то, что они содержат меньше энергии, чем какие-то другие, которые мы можем назвать горячими? Для чего нужна эта не очень-то большая разница в энергии? Я тебя совсем не понимаю, мне кажется, что ты сама себе противоречишь, — возразил Том, обретая некоторую уверенность. — Сперва ты говорила, что мельницу заставляет работать Солнце, а теперь вдруг заявляешь, что Земля вообще не берет энергию от Солнца!

— Но это так! Подумай, ведь в противном случае температура нашей Земли становилась бы все выше и выше, до тех пор, пока вся жизнь на планете стала бы невозможной. В действительности всю получаемую днем от Солнца энергию Земля почти полностью ночью возвращает в холодное космическое пространство. Механизм этой теплопередачи основан на том,

что Солнце представляет собой совершенно особый объект, исключительно горячий и яркий на фоне холодного и темного космического пространства.

Том начал терять нить рассуждений, но его поразила заключительная фраза тети: « ... и таким образом, нас «спасает» от действия второго закона только какая-то очевидная упорядоченность самого Солнца, то есть *организованность* солнечной энергии». Том был совершенно ошеломлен и взглянул на тетю Присциллу с нескрываемым удивлением:

— Я совсем перестал тебя понимать и даже не могу сообразить, что означает второй закон по-настоящему? Откуда может взяться какая-то организованность внутри Солнца? Ведь с течением времени, как ты говорила чуть раньше, беспорядок структуры Солнца должен непрерывно возрастать именно благодаря второму закону! Получается, что в момент образования Солнце должно было обладать какой-то немислимой организованностью, чтобы в дальнейшем «тратить свою упорядоченность» из-за действия второго закона?

— Именно так, и все связано с тем, что Солнце представляет собой немислимо горячее и яркое пятно на темном фоне окружающей нас Вселенной. Огромная разница в температуре создает необходимую упорядоченность, то есть организованность всей системы в целом.

Том взглянул на тетю с некоторым пониманием:

— Ты говорила мне об организованности и что ее можно подсчитать, хотя я и не все понял. Предположим, что все это верно, но мне неясно, откуда возникает странное, интересное свойство упорядоченности вещества. Из-за чего вообще является организованность?

— Она появляется вследствие того, что газ (при конденсации которого возникло когда-то наше Солнце) был до этого очень однородно распределен в пространстве, а затем гравитационные силы образовали в нем «комки» в виде звезд, которые мы видим. Очень давно Солнце выглядело именно как огромный «кусочек» конденсированного вещества, который по мере сжатия разогревался все сильнее.

— Ты рассказываешь мне все более и более раннюю историю мира, тетя, но я спрашивал тебя лишь о том, откуда в самом начале взялось то, что ты называешь организованностью или упорядоченностью.

— О, в самом начале был Биг-бэнг — чудовищный по масштабам Большой взрыв, в результате которого и возникла вся наша Вселенная!

— Тетя, но ведь гигантский взрыв все не похож на то, из чего может возникнуть что-то упорядоченное. Я просто не могу поверить, что взрыв способен породить организованность вещества!

— Ты не одинок в своих сомнениях. Множество людей не понимают и не воспринимают идею о том, что Вселенная началась с чудовищного взрыва. Связь *организованности* с Большим взрывом и само возникновение какого-то реального *порядка* в природе — одна из самых великих загадок космологии.

— А может, до этого Большого взрыва уже существовало что-то еще *более упорядоченное*?

— Некоторые исследователи предлагают что-то подобное и создают теории, согласно которым наша расширяющаяся при взрыве Вселенная до этого переживала фазу коллапса, которая при каком-то «отскоке» превратилась в Большой взрыв. Есть и другие теории, из которых, например, следует, что маленькие «кусочки» предыдущей Вселенной обратились в то, что мы сейчас называем черными дырами. Некоторые даже думают, что эти «кусочки» предыдущего мира сами могут «отскакивать», превращаясь в некие зародыши или, образно говоря, семена будущих расширяющихся Вселенных. Другие ученые полагают, что такие новые Вселенные превращаются в какие-то объекты, которые можно назвать «фальшивым вакуумом».

— Тетя, но эти их идеи и теории кажутся просто безумными!

— Конечно! Давай, я расскажу тебе об одной из самых новых теорий...

# Часть 1

## Таинственный смысл второго закона термодинамики

---

### 1.1. Второй закон термодинамики — неумолимое нарастание беспорядка в мире

Второй закон термодинамики (далее просто второй закон) является одним из самых известных и одновременно самых таинственных законов физики. В чем, собственно, заключается этот закон? Почему он играет такую важную роль в физике и действительно ли он содержит какой-то очень глубокий и тайный смысл? В последующих подразделах книги мы еще не раз вернемся к связанным с этим законом сложным проблемам и покажем, что обуславливает необычность вытекающих из него последствий. Второй закон позволяет совершенно по-новому взглянуть на проблемы космологии и обнаружить, по моему мнению, неожиданные перспективы в истории развития окружающего нас мира. Но об этом будет рассказано позже, а сейчас я бы хотел привлечь внимание

читателей к четкому определению терминов и понятий, с которыми связан этот явно необычный и в то же время хорошо известный закон природы.

Говоря о законах физики, мы обычно подразумеваем некоторые равенства, уравнения или соотношения, которые объединяют разные физические величины. Например, второй закон Ньютона напрямую связывает изменение импульса материальной частицы (т. е. произведение скорости частицы на ее массу) с общей величиной силы, действующей на частицу. В качестве другого общеизвестного примера упомянем закон сохранения энергии, в соответствии с которым полная энергия изолированной системы не может изменяться со временем. Аналогично выглядят и многие другие физические законы сохранения разных величин типа электрического заряда, импульса, общего импульса, полного углового момента и т. д. Знаменитое соотношение Эйнштей-

на  $E = mc^2$  тоже фактически утверждает постоянство произведения массы частицы на квадрат скорости света, а третий закон Ньютона лишь показывает тождественность между силами, с которыми тела А и В могут воздействовать друг на друга (эти силы всегда равны и противоположны по направлению). Именно такие соотношения устанавливаются большинством известных нам законов физики.

Все они обычно представляют собой *равенства*, и это определение относится прежде всего к *первому* закону термодинамики, который является фактически формулировкой закона сохранения, или постоянства, энергии в контексте термодинамических понятий и величин. Под термодинамикой мы подразумеваем науку об энергии *теплового движения* объектов, т. е. общей энергии системы из большого числа хаотически перемещающихся индивидуальных частиц. Такую энергию называют *тепловой*, и мы даже введем для нее специальную степень свободы системы, характеризующую особой величиной, получившей название *температуры* (этот вопрос будет подробно рассмотрен далее). Например, если сопротивление воздушной среды не превышает некоторой величины, то закон сохранения общей энергии (другими словами, первый закон термодинамики) остается справедливым,

несмотря на то что часть кинетической энергии сталкивающихся частиц теряется в результате трения и проявляется в *нагревании* газовой среды.

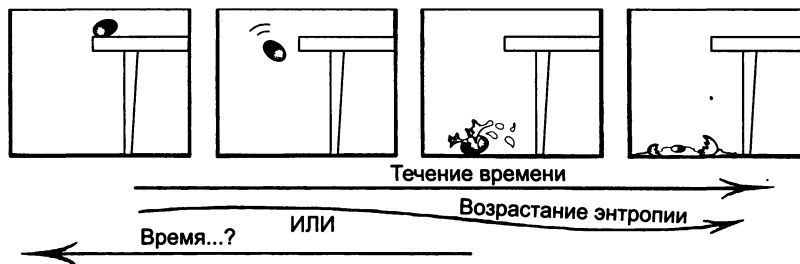
Проблема состоит в том, что второй закон термодинамики представляет собой не равенство, а *неравенство*. Он сводится к простому утверждению, что существует количественно определенная величина (называемая энтропией изолированной системы и служащая мерой неупорядоченности, или хаотичности, данной системы), которая при любых изменениях в системе только *возрастает* (или по крайней мере не уменьшается) по отношению к своим значениям в предыдущие моменты времени. Даже не вдаваясь в неточности приведенного определения, легко понять, что представление об энтропии становится явно нечетким или субъективным, как только мы пытаемся обобщить его на более крупные и усложненные системы. Более того, на основе большинства формулировок этого закона можно прийти к выводу, что существует ряд особых, или исключительных, систем и случаев, когда энтропия способна локально фактически *уменьшаться* с ростом времени (вследствие флуктуаций), несмотря на сохранение общей тенденции к возрастанию.

Однако даже с учетом этих неявных или внутренних неточностей в определении

второго закона он остается одной из важнейших закономерностей природы, и его универсальность выходит далеко за рамки любой описываемой им динамической системы. Например, этот закон применим не только к системам, относящимся к механике Ньютона и теории относительности, но и к системам с непрерывными полями теории электромагнетизма Максвелла (эти проблемы будут рассматриваться далее в разделах 2.6, 3.1, 3.2 и приложении A1), а также к теориям, в которых рассматриваются только дискретные частицы. Еще интереснее, что второй закон применим к гипотетическим динамическим теориям, само существование которых представляется сомнительным для окружающей нас Вселенной, хотя кажется, что он должен относиться лишь к реальным динамическим системам (типа ньютоновских), для которых характерна *детерминированная* эволюция и *обратимость во времени*, т. е. любая другая разрешенная эволюция системы при обращении времени должна приводить к такой же однозначно определенной эволюции.

Пользуясь более простыми и привычными понятиями, приведу пример, который упоминают многие авторы. Строго говоря, если мы снимем на киноплёнку нормальное развитие некоторых обычных процессов, подчиняющихся динамиче-

ским (например, ньютоновским) законам, то картины, возникающие при прокручивании фильма в обратном направлении, должны также соответствовать этим законам. Легко убедиться, насколько странной может быть ситуация, наблюдаемая при таком просмотре. Зафиксировав на пленке, например, обычную бытовую ситуацию (яйцо падает со стола на пол и разбивается), мы увидим при обращении времени необычное зрелище, как из лужицы на полу собирается желток, который окружает оболочка из белка, покрывающаяся осколками скорлупы, после чего яйцо «прыгает» на поверхность стола. Ненормальность (или скорее необычность) событий, соответствующих обращению времени, многократно отмечалась в разных работах и наглядно показана на рис. 1.1. Проблема заключается в том, что любая физическая ситуация в рамках ньютоновской механики (с учетом всех действующих на частицу сил, упругих реакций и т. п.) должна оставаться симметричной относительно обращения времени. Кроме того, симметрия по отношению к обращению времени должна сохраняться и при всех других стандартных процессах современной физики, включая сложное поведение частиц в релятивистских и квантово-механических теориях, хотя в этих ситуациях могут возникать осложнения, которые мы обсудим позже.



**Рис. 1.1.** Яйцо скатывается со стола и разбивается вдребезги в полном соответствии с обратимыми во времени динамическими законами механики

В частности, этот момент необходимо учитывать особым образом при рассмотрении некоторых специальных задач общей теории относительности, квантовых закономерностей поведения черных дыр и т. п., на чем я пока останавливаться не буду, чтобы излишне не запутывать читателя с самого начала повествования. Некоторые из этих проблем представляют особую важность для темы книги (см. разд. 3.4), но пока изложение ограничится лишь простыми представлениями, основанными на механике Ньютона.

Понятно, что обращение времени меняет порядок событий в любой физической системе на обратный. Прежде всего читатель должен свыкнуться с идеей, что обе последовательности ситуаций, соответствующих разным направлениям времени, полностью согласуются с динамиче-

скими законами механики Ньютона. Тот факт, что одна из последовательностей событий при этом представляется нам невероятной (например, упомянутая чуть ранее самосборка разбившегося яйца), означает всего лишь следующее: эта последовательность противоречит второму закону, в результате чего она описывает настолько маловероятное стечение обстоятельств, что наше сознание просто-напросто отказывается воспринимать эту последовательность в качестве реальности. В очень краткой формулировке второй закон утверждает лишь то, что беспорядок (хаотичность) любых физических систем со временем возрастает, а законы динамики только обеспечивают переход системы (из любого состояния) к более случайному состоянию. Строго говоря, второй закон утверждает даже не то, что система

*будет обязательно* развиваться в сторону увеличения беспорядка, а лишь то, что вероятность развития в таком направлении является преобладающей или даже *подавляющей*. В обычной жизни мы всегда ожидаем (и практически наблюдаем) возрастание беспорядка, но это объясняется не особенностями динамических законов, а именно преобладающей вероятностью такого развития событий.

Как бы то ни было, с очень большой вероятностью можно утверждать, что при изучении реальных физических процессов мы будем практически всегда сталкиваться с возрастанием энтропии, т. е. с увеличением степени неупорядоченности и хаотичности систем. В такой формулировке второй закон иногда выглядит как «смертельный диагноз» окружающему нас миру, так как фактически постулирует в нем непрерывный рост хаоса и беспорядка. В заголовок этой части книги входят слова «таинственный смысл», однако я хочу подчеркнуть, что об этом будет сказано чуть дальше. Тайна не относится ко второму закону непосредственно, поскольку сам по себе он просто описывает очевидное свойство развития физических систем, предоставленных самим себе и развивающихся по динамическим законам. Закон лишь отражает неизбежную

(хотя, разумеется, несколько тягостную и даже вызывающую уныние) особенность окружающей нас действительности. Можно даже сказать, что в какой-то степени он весьма естественно обобщает повседневный опыт и личные наблюдения каждого человека.

Конечно, на это любой читатель может возразить, что диктуемому вторым законом постоянному возрастанию беспорядка очевидно противоречат процессы зарождения и протекания жизни на Земле, которые по современным представлениям выглядят исключительно сложными. Далее в разделе 2.2 я вернусь к этому вопросу и объясню слабость такого возражения, так как реальное протекание биологических процессов в целом происходит в полном соответствии с требованиями второго закона. По-настоящему слово «таинственный» в заголовке раздела относится к действительно непонятной и загадочной разнице в смысле и действии *законов физики* по отношению к системам разных масштабов. Без всяких сомнений, биология как-то связана с этой таинственной и непонятной проблемой (некие размерные эффекты мы постоянно замечаем при организации или самоорганизации биологических структур), однако в целом можно ожидать, что в этой науке не возникнет

серьезных парадоксов, связанных с действием второго закона.

Говоря о смысле и значении второго закона в общей научной картине мира, я хочу особо подчеркнуть, что он представляет собой отдельный принцип физики, который должен *присоединяться* к установленным динамическим законам природы (например, к уравнениям Ньютона), но вовсе не является *следствием* этих законов. *Определение* энтропии в произвольный момент времени остается, однако, симметричным относительно обращения времени, и мы будем получать одинаковое значение для энтропии в каждый момент времени (т. е., образно говоря, для каждого кадра фильма о разбитом яйце, независимо от того, в каком направлении прокручивается пленка). Сам факт возрастания энтропии для описываемой ситуации с разбивающимся яйцом представляется очевидным. Поэтому если динамические законы также симметричны (а именно такими и являются уравнения механики Ньютона!), то второй закон не может быть простым *следствием* действия этих законов. В противном случае при просмотре пленки в обратном направлении мы должны были бы наблюдать *уменьшение* энтропии (самосборку, т. е. самоорганизацию яйца из осколков) в качестве проявления динамических законов и т. д.

## 1.2. Энтропия и число состояний системы

Разговор об энтропии начнем с обсуждения вопроса о том, каким образом физикам вообще удастся *количественно* оценить столь непростой фактор, как неупорядоченность (беспорядок, хаотичность и т. п.) любой системы. Почему, собственно говоря, мы прекрасно понимаем, что разбившееся яйцо в описанном ранее примере олицетворяет хаос, а исходное яйцо — порядок? Для понимания общей концепции энтропии и смысла второго закона обратимся к рассмотрению гораздо более простых систем, например, в задаче смешивания двух красок в растворе.

Предположим, что мы наливаем в сосуд две жидкие краски (красного и синего цвета) и тщательно перемешиваем их. Смесь будет постепенно менять цвет, приобретая пурпурную окраску, и это означает, что отдельные комочки разных красок разрушаются (вплоть до уровня отдельных молекул с характерным цветом) и теряют свою индивидуальность, в результате чего смесь становится однородной. На микроскопическом уровне все физические процессы перемешивания красок, безусловно, обратимы во времени, но никакое дальнейшее перемешивание никогда не возвратит систему к исходно-

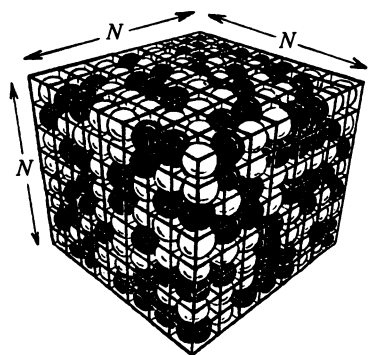
му состоянию. Для пояснения отметим, что механическое перемешивание и его интенсивность в этом случае не играют принципиальной роли, так как два жидких красителя в одном сосуде вполне могут смешиваться самопроизвольно (особенно при нагревании), так что само механическое перемешивание смеси лишь ускоряет процесс гомогенизации системы. С точки зрения второго закона и изменения энтропии, процесс соответствует совершенно естественному переходу от исходного состояния (система с отдельными красителями, где величина энтропии относительно невелика) к конечному состоянию с беспорядочно перемешанными молекулами красителей, в результате чего энтропия должна существенно возрасти. Описанная простая ситуация с перемешиванием молекул красок не только явно демонстрирует действие второго закона, но и позволяет глубже понять и проанализировать его смысл в целом.

Для более серьезного рассмотрения концепции энтропии необходимо тщательно изучить процессы, происходящие в системе на микроскопическом уровне, и установить, какая именно конкретная характеристика системы соответствует понятию энтропии, т. е. степени ее неупорядоченности. Собственно говоря, эта характеристика очень проста — почти элементарна, но ее

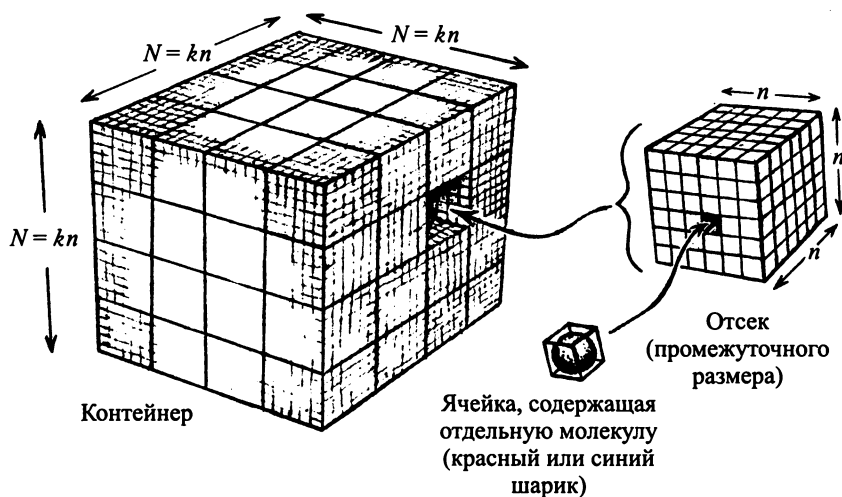
определение и расчет связаны с некоторыми тонкими физико-математическими соображениями. Основную роль в разработке представлений об энтропии сыграли работы великого австрийского физика Людвиг Больцмана, который и применил теорию вероятностей для расчета различных состояний физических систем. Сущность метода легко пояснить на примере рассматриваемого процесса перемешивания частиц или молекул красителей двух типов, рассчитав конкретно число всех возможных положений таких молекул при перемешивании.

Предположим, что число молекул в системе очень велико (но не бесконечно!), а сами молекулы моделируются микроскопическими шариками (красного и синего цвета). Каждый шарик может занимать лишь дискретное положение в центре крошечного кубика (назовем его клеткой, или ячейкой, или отсеком). На такие кубики разделен объем системы, как показано на рис. 1.2. Для упрощения расчетов также положим (хотя это и не играет принципиального значения), что в соответствии с рисунком система имеет форму огромного куба, состоящего из  $N^3 = N \times N \times N$  таких отсеков, каждый из которых, повторы, вмещает только одну молекулу красителя.

Предложенная простая модель позволяет количественно оценить «цвет» како-



**Рис. 1.2.** Кубический объем из  $N$  ячеек, каждая из которых может содержать только один (красный или синий) шарик



**Рис. 1.3.** Кубический объем в виде крейта (решчатого контейнера), составленного из  $k^3$  кубических ячеек, или отсеков, каждый из которых имеет объем  $n \times n \times n$  ячеек

го-либо участка объема рассматриваемой системы, исходя из заполнения отдельных ячеек. Для этого усредним «окраску» участков куба по следующей схеме. Введем в рассмотрение объем некоторого куба, который, с одной стороны, намного меньше, чем весь объем системы, а с другой — значительно превышает по размерам объем отдельной ячейки. Иными словами, как показано на рис. 1.3, в этом промежуточном объеме содержится очень большое количество индивидуальных ячеек для молекул или атомов, но одновременно он намного меньше объема всей системы в целом. Длина ребра такого куба в  $n$  раз превышает длину ребра элементарной ячейки (так что он содержит  $n^3 = n \times n \times n$  ячеек), но при этом число  $n$  (остающееся очень большим) существенно меньше общего числа  $N$  молекул в системе. Таким образом, справедливо неравенство

$$N \gg n \gg 1.$$

Для удобства я буду полагать (хотя это условие не играет никакой роли в расчетах), что имеется число целое  $k$ , с помощью которого можно записать простое соотношение:

$$N = kn,$$

где  $k^3 = k \times k \times k$  соответствует полному числу микрообъемов (назовем их зернами) промежуточного размера для рассматриваемой системы.

Читатель легко поймет идею метода, который связан с подразделением системы на «отсеки» промежуточного размера, состоящие из микроскопических, атомарных ячеек. Каждая ячейка слишком мала для определения индивидуальной «окраски», но для отдельных отсеков промежуточного размера мы уже можем определить усредненный цвет исходя из соотношения красных и синих шариков внутри этого отсека или зерна. Обозначив число красных и синих шариков буквами  $r$  и  $b$  (по первым буквам английских прилагательных *red* и *blue*; а сумма  $r + b$  равняется, естественно, величине  $n^3$ ), мы сможем количественно оценить оттенок каждого отсека по отношению параметров  $r$  и  $b$ . Соответственно, при таком подходе можно говорить, что какой-то конкретный отсек имеет красный или синий цвет — в зависимости от того, насколько отношение параметров  $r/b$  в данном отсеке выше или ниже единицы (понятно, что при отношении  $r/b = 1$  отсек имеет именно «равновесный», пурпурный цвет).

Будем считать, что окраска какого-то отсека (зерна) *кажется нам* однородно пурпурной лишь в тех редких случаях,

когда соотношение  $r/b$  лежит в узких пределах от 0,999 до 1,001, т. е. соответствует точности измерений около одной десятой процента. На первый взгляд это условие представляется очень жестким и сложным (исходя из того, что оно должно выполняться для *каждого* из огромного числа  $n^3 = n \times n \times n$  таких отсеков, или зерен), однако это условие иногда (при очень большом количестве шариков, в нашем случае молекул) неожиданно *выполняется* с удивительной легкостью! Дело в том, что в рассматриваемых системах мы сталкиваемся с проблемами распределения чрезвычайно большого, практически совершенно немыслимого числа частиц, для которых характерны необычные с практической точки зрения закономерности, и это требует правильного подбора масштабов используемых характерных параметров. Так, обычная банка краски (пример большой системы) содержит в среднем  $10^{24}$  молекул, вследствие чего число  $N$  вполне может равняться  $10^8$ . Если в качестве образца ячейки (отсека, или зерна, промежуточного размера) взять, например, отдельный пиксель изображения на высококачественной цветной фотографии, имеющий размеры всего  $10^{-2}$  см, то в этом случае вполне разумно приписать числу  $k$  значение  $10^3$ . Для приведенных величин легко рассчитать вероятности различных

сочетаний в рассматриваемой нами задаче, когда требуется получить однородную пурпурную окраску из синих и красных шариков в отдельных ячейках на рис. 1.1 из смеси их равных количеств  $N^3/2$ . Например, можно легко показать, что для указанных чисел  $N = 10^8$  и  $k = 10^3$  (для этих чисел  $n = 10^5$ ) восприятие однородного пурпурного цвета обеспечивается примерно  $10^{23} \text{ } 570000 \text{ } 000000 \text{ } 000000 \text{ } 000000$  сочетаниями положений молекул. При этом существует всего около  $10^{46} \text{ } 500000 \text{ } 000000$  таких особых расположений молекул, при которых все синие шарики оказываются в верхней части объема, а все красные — в нижней. Таким образом, при совершенно случайном разбросе положений молекул вероятность возникновения однородной пурпурной окраски оказывается очень высокой, а вероятность обнаружения всех синих шариков сверху — ничтожно малой (всего около  $10^{-23} \text{ } 570000 \text{ } 000000$ ), причем эта величина почти не изменится, если мы потребуем, чтобы сверху располагались не все синие шарики, а лишь 99,9 % от их количества.

Указанная теоретическая схема позволяет нам рассматривать энтропию в качестве характеристики или меры описываемых вероятностей, иными словами, как меру вероятности расположения шариков, соответствующего одинаковой «общей окраске» или, точнее, одинаковому восприятию

цвета. Учитываемые в модели количества шариков (молекул) и их возможных комбинаций не только фантастически велики, но и меняются в очень широких пределах, что крайне затрудняет их прямую запись и использование. К счастью, для оценки энтропии можно пользоваться не самими числами, а их *логарифмами*, которые и выступают в качестве меры энтропии. Напомню, что существуют два основных типа логарифмов (называемых десятичными и натуральными, которые обозначаются символами «lg» и «ln» соответственно), но мы будем пользоваться только десятичными. Напомню также, что понятие логарифма связано со степенью его основания (в нашем случае основание равно 10), используемой для записи требуемого числа. Например,

$$\lg 1 = 0; \lg 10 = 1; \lg 100 = 2; \lg 1000 = 3; \\ \lg 10\,000 = 4 \text{ и т. д.,}$$

так что десятичные логарифмы чисел этого типа просто равны количеству нулей в их десятичной записи. Понятие логарифма очень легко обобщается на все остальные числа, и его обычно записывают в виде десятичной дроби, состоящей из так называемых целой части и мантииссы, как показано ниже (целая часть в записи выделена жирным шрифтом):

$$\lg 2 = 0,301\,029\,995\,66\dots$$

$$\lg 53 = 1,724\,275\,869\,60\dots \\ \lg 9\,140 = 3,960\,946\,195\,73\dots \\ \text{и т. д.,}$$

т. е. в форме, где целая часть всегда на единицу меньше количества десятичных разрядов в числе, логарифм которого она представляет. Важнейшая особенность логарифмирования состоит в том, что оно позволяет заменить *операцию умножения любых чисел на сложение их логарифмов*:

$$\lg(ab) = \lg a + \lg b.$$

Именно это следует из приведенных примеров логарифмов для чисел, получаемых возведением 10 в некоторую степень, так как при умножении  $a = 10^A$  и  $b = 10^B$  можно сразу получить  $ab = 10^{A+B}$ .

Главный смысл использования логарифмов при определении энтропии связан с тем, что при объединении систем разного типа можно просто *складывать* значения их энтропий, т. е. энтропия обладает свойством *аддитивности*. Энтропия характеризуется числом размещений элементов, из которых состоит система, поэтому если мы хотим получить значение энтропии для сложной системы, составленной из двух разных независимых частей или подсистем, то нам следует просто сложить энтропии этих частей. Именно в этом смысле концепция энтропии явля-

ется аддитивной. И действительно, если первой подсистеме, например, соответствует  $P$  различных комбинаций положений элементов, а второй —  $Q$  комбинаций, то число комбинаций для объединенной, составной системы будет равно произведению  $PQ$  (поскольку каждой комбинации состояний из  $P$  для первой подсистемы соответствует число  $Q$  комбинаций для второй). Таким образом, энтропия любой системы оказывается пропорциональной *логарифму* числа вариантов, которыми эта система может быть реализована, что непосредственно связано с указанным свойством аддитивности энтропии, и это свойство всегда сохраняется для независимых систем.

Легко заметить некоторую неясность приводимых мной аргументов, поскольку остается неопределенным само понятие «числа вариантов, которыми может быть реализована данная система». Прежде всего эта неопределенность связана с тем, что ранее при моделировании положений молекул в системе (например, в банке с краской) предполагалось, что они могут располагаться дискретно в отдельных ячейках. Это предположение является мало реалистичным в рамках классической механики Ньютона, где, строго говоря, координаты положения молекул (или их центров, неважно) могут принимать любые значения,

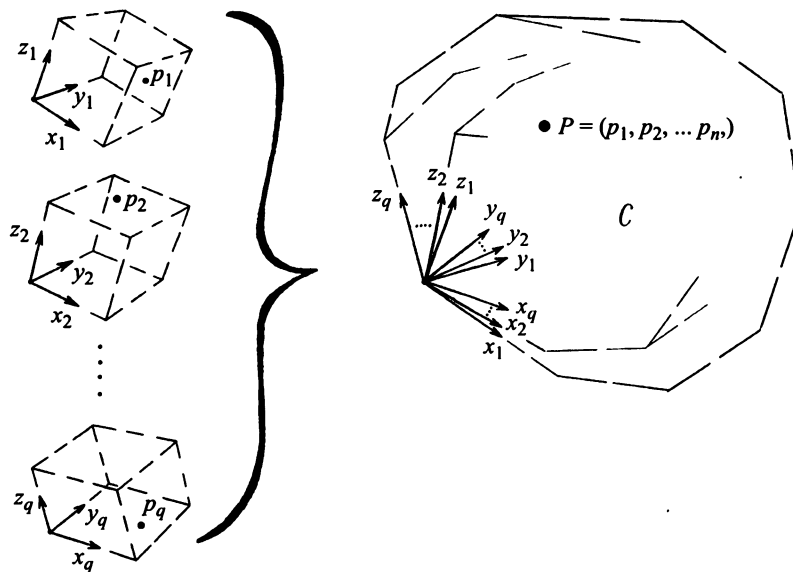
так что число положений является бесконечным\*.

Помимо этого, следует вспомнить, что у каждой отдельной молекулы может отмечаться некоторая асимметрия, т. е. она будет иметь ориентация и поэтому должна быть охарактеризована также своей направленностью в пространстве. Кроме того, молекулы могут обладать внутренними степенями свободы (связанными, например, с искажением формы), что также должно быть как-то учтено. Иными словами, при точном подсчете числа различных состояний или конфигураций системы нам необходимо учитывать все возможные варианты ориентации и деформации молекул, что приводит к понятию о *конфигурационном пространстве* системы, о котором рассказывается далее.

Система с  $d$  степенями свободы описывается конфигурационным пространством, имеющим  $d$ -измерений. Например, если система состоит из  $q$  точечных (не имеющих внутренней структуры) частиц с координатами  $p_1, p_2, \dots, p_q$ , то ее конфигурационное пространство будет иметь  $3q$ -измерений, так как положение каждой отдельной частицы полностью описывает

---

\* Отметим, что в квантовой механике ситуация выглядит не лучше хотя бы вследствие принципа неопределенности и т. п. — *Прим. перев.*



**Рис. 1.4.** Конфигурационное пространство системы  $C$  из  $q$  точечных частиц с координатами  $p_1, p_2, \dots, p_q$  является  $3q$ -мерным

ся заданием значений трех ее координат, как показано на рис. 1.4. В более сложных ситуациях (например, при наличии у частиц внутренних степеней свободы) мы должны учитывать большее число степеней свободы для каждой частицы, однако это обстоятельство никак не изменяет общую идею метода. Конечно, читателю не стоит напрягаться, воображая или «визуализируя» какое-то многомерное про-

странство, поскольку принципы подсчета легко понять на примере двумерного пространства (типа листа бумаги) или привычного трехмерного, в котором обычно каждый человек представляет себе происходящие события. Разумеется, сложные физические процессы протекают в пространстве большего числа измерений, о чем рассказывается далее. Кроме того, не стоит забывать, что все такие про-

странства представляют собой сугубо абстрактные математические понятия, так что читателю нет необходимости связывать трехмерное *физическое* пространство или четырехмерное *физическое* пространство-время с личными представлениями о них, выработанными в бытовой обстановке.

Помимо всего сказанного, предложенная попытка определения энтропии требует еще одного пояснения, которое нам придется обсудить очень серьезно. Дело в том, что ранее, при рассмотрении числа возможных конфигураций из красных и синих шариков, мы считали, что их число является конечным, хотя и очень большим. Хотя строго говоря, в механике Ньютона мы обязаны рассматривать реально бесконечное число конфигураций (поскольку параметры положения частиц представляют собой не дискретные, а непрерывные величины), и поэтому при рассмотрении многомерных объемов конфигурационного пространства нужно всегда учитывать также *размеры* ячеек, а не ограничиваться простым подсчетом возможного числа дискретных конфигураций.

Обсуждение смысла термина «объем» в многомерном пространстве лучше начать с определения этого понятия для небольшого числа измерений. Например, для участка двумерной кривой поверхно-

сти мерой объема может служить *площадь* поверхности рассматриваемого участка, а в одномерном пространстве в качестве этого объема выступает просто *длина* рассматриваемого участка кривой. Поэтому в  $n$ -мерном конфигурационном пространстве мы должны рассматривать  $n$ -мерные аналоги привычных трехмерных объемов.

Главный вопрос состоит в том, объемы *каких*, собственно, областей конфигурационного пространства нам следует измерять исходя из данного ранее определения энтропии? Согласно предложенной концепции, следует измерять объем областей этого пространства, соответствующих тому набору состояний, который является или выглядит «одинаковым» для рассматриваемой системы. Конечно, фраза «выглядит одинаково» также весьма расплывчата. Реальная проблема состоит в том, что нам необходимо отобрать некий разумный и одновременно достаточно исчерпывающий набор *макроскопических параметров*. Список переменных должен позволить, с одной стороны, учитывать требуемые физико-химические свойства данного состояния (распределение плотности, цвет, химический состав и т. п.), а с другой — не требовать точного вычисления или знания значений координат для каждого атома, рассматриваемой системы. Именно введение этих параметров и дает возможность выделить

в системе участки, которые «выглядят одинаково», и произвести усреднение свойств системы по некоторым достаточно «одинаковым» областям, что получило позднее название крупнозернистого деления (разбиения) конфигурационного пространства  $\mathcal{C}$ .

При этом каждый крупнозернистый участок пространства  $\mathcal{C}$  «выглядит одинаково», т. е. описывает те состояния, которые могут рассматриваться как неразличимые при данной точности макроскопических измерений (как показано на рис. 1.5). Таким образом, вводимое деление конфигурационного пространства связано с крупнозернистым характером используемых измерений.

Конечно, читатель сразу заметит, что упоминание точности «макроскопических» измерений делает определение еще более неясным, однако я сошлюсь на некоторую аналогию с представлением о средней окраске участков объема, который использовался ранее при описании простой модели для смеси красителей. Речь идет об одном и том же, т. е. о том, что цвет или свойства небольшого участка конфигурационного пространства для удобства расчетов могут быть усреднены, и именно *объем* такого участка, или крупного зерна (строго говоря, *логарифм* этого объема!), мы можем использовать для определения энтропии. При этом само определение энтропии остается очень

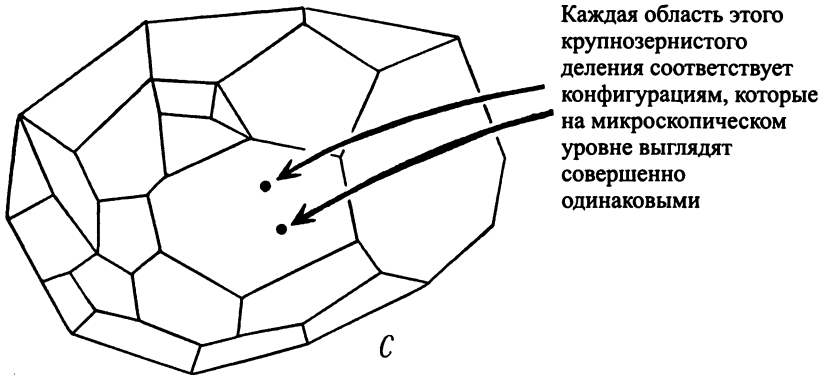


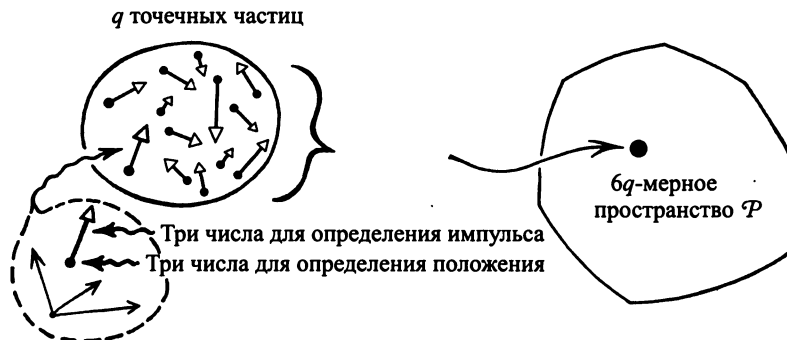
Рис. 1.5. Крупнозернистое разбиение пространства  $\mathcal{C}$

нечетким, однако оно теперь позволяет удивительно простым и ясным образом производить вычисления значений этой величины, что объясняется прежде всего огромной разницей масштабов рассматриваемых систем при описываемом крупнозернистом делении объемов конфигурационного пространства.

### 1.3. Фазовое пространство и определение энтропии по Больцману

Отмечу, однако, что мы еще не разобрались окончательно с определением энтропии, так как все вышесказанное относится лишь к *половине* рассматриваемой проблемы. Дело в том, что перемешивание точечных молекул красной и синей краски является очень простым процессом, но стоит нам рассмотреть чуть более сложные ситуации, как несостоятельность приведенного определения энтропии станет очевидной. Например, давайте нальем в бутылку одинаковые количества воды и оливкового масла, а затем экспериментально и теоретически изучим процессы перемешивания этих компонентов. Легко проверить на опыте, что никакое длительное и энергичное перешивание или взбалтывание содержимого не позволит нам получить в сосуде однородную смесь,

так как почти сразу после прекращения воздействия смесь в бутылке начинает расслаиваться, и в конце концов мы увидим, что оливковое масло заполнит нижнюю половину объема, а вода — верхнюю. При этом понятно, что во время процесса перемешивания энтропия продолжала непрерывно возрастать. Новый фактор, требующий рассмотрения, обусловлен наличием взаимодействия между молекулами масла, заставляющего эти молекулы образовывать агрегаты (связанные состояния) и отталкивать молекулы воды. В этой ситуации конфигурационное пространство перестает соответствовать простой модели возможных конфигураций молекул в разных положениях, вследствие чего мы должны рассматривать не только число позиций индивидуальных частиц (молекул), но и дополнительно учитывать их реальные *передвижения*. При этом учет движения отдельных молекул представляется с теоретической точки зрения совершенно необходимым хотя бы потому, что это движение определяет будущее системы, т. е. ее эволюцию в полном соответствии с законами механики Ньютона, действие которых предполагается безоговорочным. Сильное притяжение между молекулами масла приводит, естественно, к увеличению их скорости при взаимном сближении (например, за счет сильного вращения относительно друг друга), и такой харак-



**Рис. 1.6.** Фазовое пространство  $\mathcal{P}$ , размерность которого вдвое превосходит размерность конфигурационного пространства  $\mathcal{C}$

тер движения требует введения дополнительного объема в конфигурационное пространство (и, конечно, дополнительной энтропии), соответствующего процессам объединения молекул масла.

Таким образом, вместо описанного ранее конфигурационного пространства  $\mathcal{C}$  мы должны ввести так называемое *фазовое пространство*  $\mathcal{P}$  с вдвое (!) большим числом измерений, поскольку к каждой координате отдельной частицы (молекулы) должна быть добавлена еще одна координата, соответствующая ее «движению», как показано на рис. 1.6. Эта координата может рассматриваться нами просто как *скорость* по соответствующей пространственной координате (или угло-

вая скорость, если речь идет об угловых координатах, описывающих ориентацию молекулы в пространстве). В строгой формулировке, соответствующей формализму *теории Гамильтона* [1.1]\* и квантовой механике (см. разд. 3.4), требуемая для описания движения координата является *импульсом* (или угловым импульсом — при рассмотрении вращательных движений). В простейшем, известном из школьного курса варианте понятие импульса соответствует *произведению массы частицы на ее скорость*, как отмечалось в разделе 1.1.

\* В подобных сносках автор не только указывает на литературные источники, но и приводит уточняющие комментарии к замечаниям (см. раздел «Примечания» в конце книги)

Подводя итоги, можно сказать, что положение системы в любой момент определяется одной точкой  $p$  в фазовом пространстве  $\mathcal{P}$ , соответствующей мгновенным значениям координат (и одновременно импульсов) для всех частиц, составляющих рассматриваемую систему. Иными словами, в статистической физике *состояние* любой системы однозначно описывается положением некоей точки  $p$  в фазовом пространстве  $\mathcal{P}$ .

В качестве динамических законов для рассматриваемых нами систем могут выступать не только законы механики Ньютона, но и более общие формы динамических закономерностей (например, электродинамика Максвелла описывает поведение систем под воздействием непрерывных полей, как изложено в разделах 2.6, 3.1, 3.2 и приложении А1). Такие закономерности могут быть получены в рамках обобщенной теоретической механики (основанной на уравнениях Гамильтона, описанных в тех же подразделах), и все они являются обратимыми в том смысле, что состояние системы в некоторый момент времени *полностью и однозначно* определяет ее поведение во все моменты времени в прошлом и будущем. Иначе говоря, в соответствии с динамическими законами мы можем представить эволюцию системы в виде движения точки  $p$  (определяющей положение системы в фазовом пространстве) вдоль

некоторой так называемой *эволюционной кривой* в этом пространстве, которая однозначно определяет *уникальную* эволюцию рассматриваемой системы (в качестве единого целого) в фазовом пространстве  $\mathcal{P}$ , начиная от исходного состояния, соответствующего точке  $p_0$  на рис. 1.7. Траектории систем в этом фазовом пространстве напоминают лиственный орнамент, где каждая точка  $p$  пространства  $\mathcal{P}$  принадлежит какой-то своей эволюционной кривой. Более того, мы можем придать эволюционным кривым *ориентацию*, т. е. приписать им *направленность* во времени и даже нанести стрелки, указывающие траекторию развития системы. Двигаясь от точки  $p_0$  в обратном направлении, мы фактически осуществляем обращение времени для данной системы и прослеживаем, из каких исходных состояний в прошлом могла бы возникнуть система в состоянии  $p_0$ , причем (вследствие динамического характера законов) такая обратная эволюция также должна быть *единственной*.

Существует еще одно важное свойство фазового пространства, обнаружившееся при создании квантовой механики, когда вдруг стало понятно, что это пространство обладает *естественной* (природной) *мерой*, благодаря чему мы можем воспринимать или описывать *объемы* в фазовом пространстве просто в виде безразмерных чисел. Смысл этого необычного свойства

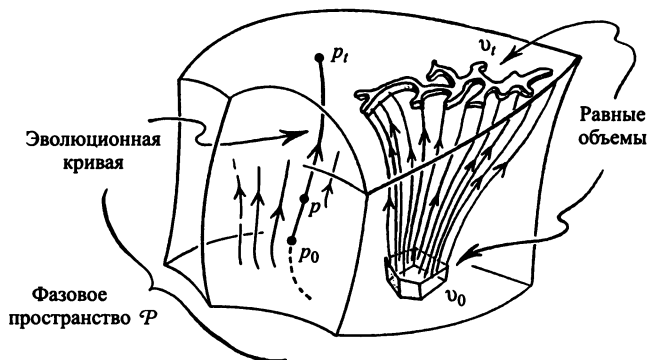


Рис. 1.7. Движение точки  $p$  эволюционной кривой в фазовом пространстве  $\mathcal{P}$

связан с тем, что больцмановское определение энтропии (которое мы обсудим чуть позже) основано на оценке объемов в фазовом пространстве, вследствие чего нам необходимо разработать методы сравнения объемов объектов в многомерных пространствах, особенно в тех случаях, когда число и свойства «измерений» систем существенно различаются между собой. В рамках классической физики такая постановка вопроса кажется странной и неожиданной, так как в не-квантовой механике различие размерностей является совершенно естественным. Действительно, интуитивно сразу ясно, что размерность линии (одномерный «объем») меньше размерности поверхности (двумерный «объем»), размерности поверхности мень-

ше размерности любой трехмерной геометрической фигуры и т. п.

Это различие в классической механике представляется очевидным, а сами объекты могут измеряться в разных единицах. Гораздо сложнее обстоит дело с фазовыми объемами систем в квантовой теории, где эти объемы действительно могут быть записаны именно *в виде целых чисел*, кратных величине  $\hbar$ . Константа  $\hbar$  в этом случае принимается за 1 и соответствует:

$$\hbar = \frac{h}{2\pi},$$

где  $h$  означает знаменитую в квантовой механике постоянную Планка, вследствие чего величину  $\hbar$  иногда называют «приведенной» постоянной Планка. В привыч-

ных физических единицах значение этой постоянной является ничтожным:

$$\hbar = 1,05457... \cdot 10^{-34} \text{ Дж} \cdot \text{с},$$

из-за чего расчет любых объемов в фазовом пространстве должен приводить к чудовищным по величине численным значениям.

Рассмотрение этих величин в качестве именно целых чисел создает некую «зернистость», или «гранулярность», в фазовом пространстве, из которой, в конечном счете, и вытекает дискретность квантов, лежащая в основе всей квантовой механики. В обычных условиях и в привычных системах связанные с этой зернистостью числа оказываются настолько большими, что их влияние просто не замечается. Представление о квантах в физику ввел лишь в начале XX века Макс Планк, сумевший на их основе решить очень важную теоретическую задачу о спектре излучения абсолютно черного тела (ей также посвящена часть раздела 2.2 (см. также рис. 2.6 и примечание 1.2 в конце книги). В формуле Планка было сформулировано условие равновесия для систем с разным числом фотонов и, соответственно, различной размерностью в фазовом пространстве. Предложенное в 1900 году Планком теоретическое объяснение фор-

мы графики испускательной способности для черного тела привело в дальнейшем к бурному развитию новой области физики, получившей название квантовой механики. Эта тема существенно выходит за рамки рассматриваемых в данной книге вопросов [1.3], но мы еще вернемся к обсуждению основ квантовой механики в разделе 3.4.

Используя введенное определение фазового пространства для некоторой системы, постараемся далее выяснить, каким образом в ней проявляется действие второго закона. По аналогии с уже описанной структурой конфигурационного пространства, мы должны ввести такое *крупнозернистое* разбиение фазового пространства  $\mathcal{P}$  (рис. 1.8), при котором можно считать, что любые две точки, принадлежащие одной и той же ячейке, «неразличимы» по макроскопическим параметрам (температура, давление, плотность, направление и расход жидкости, цвет, химический состав и т. п.). При таком разбиении *энтропия*  $S$  какого-либо состояния системы (представленного точкой  $p$  в пространстве  $\mathcal{P}$ ) определяется знаменитой формулой Больцмана

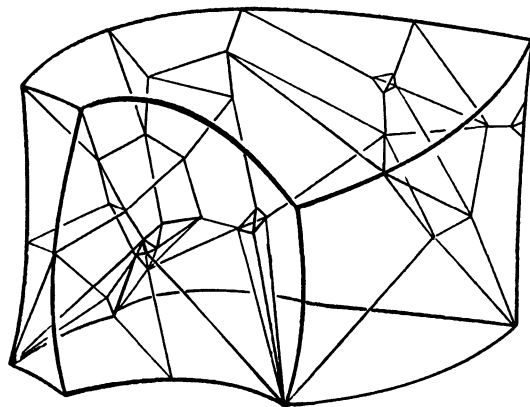
$$S = k' \lg V,$$

где  $V$  — объем крупнозернистой ячейки фазового пространства, содержащей данную

точку  $p$ . При этом я использовал постоянную  $k'$  вместо введенной самим Больцманом величины  $k$ , но это не имеет принципиального значения и обусловлено лишь заменой натуральных логарифмов на десятичные, так что  $k' = k \ln 10$  ( $\ln 10 = 2,302585\dots$ ). В привычных нам физических единицах конкретное значение постоянной Больцмана ничтожно по величине:

$$k = 1,3805\dots \cdot 10^{-23} \text{ Дж/К},$$

в результате чего  $k' = 3,179\dots \cdot 10^{-23} \text{ Дж/К}$ . Повторю, что физики привыкли к записи



**Рис. 1.8.** Схема крупнозернистого разбиения фазового пространства с большим числом измерений

формулы Больцмана через *натуральный* логарифм фазового объема, т. е. в виде

$$S = k' \ln V,$$

где  $\ln V = 2,302585\dots \cdot \lg V$ .

Смыслу и возможностям применения элегантной формулы Больцмана посвящен следующий раздел 1.4, но предварительно я бы хотел обсудить очень частную, но важную проблему, связанную с этим определением. Дело в том, что у многих авторов можно встретить утверждение (кстати сказать, совершенно справедливое и разумное!), что низкое значение энтропии системы само по себе вовсе не свидетельствует о его особенности и специфичности. Для разъяснения этого важного положения давайте вновь рассмотрим приведенный в разделе 1.1 пример быстрого и очень сильного изменения энтропии, когда яйцо падает со стола и разбивается. Проблема связана с тем, что, строго говоря, хотя образовавшаяся на полу лужица действительно является неупорядоченной массой и обладает относительно высокой энтропией, соответствующее ей состояние в определенном смысле можно считать весьма специфическим и выделенным. Специфичность данного, внешне крайне неупорядоченного состояния заключается в том, что между молекулами системы уже заведомо существует довольно

сильная корреляция, так как при некоторых условиях (в частности, при обращении времени) эти молекулы должны двигаться совершенно определенным образом. В результате их согласованного движения по динамическим законам все они должны вновь объединиться и создать совершенно целое яйцо. Более того, это яйцо должно будет самостоятельно «прыгнуть» и аккуратно лечь на поверхность стола! Согласитесь, что исходная лужица на полу представляет собой особое состояние, необычность которого, по крайней мере, *не уступает* специфичности исходной системы с низкой энтропией (в виде яйца на столе). Иными словами, безусловно, *специфическое* состояние разбитого яйца одновременно *не является специфическим* в том смысле, который мы связываем со значением энтропии. Низкое значение энтропии *свидетельствует* только о специфичности состояния, связанного со значениями макроскопических параметров. Более тонкие корреляции между движением частиц в данном случае оказываются непричастны к тем случаям, когда речь идет об энтропии, приписываемой только состоянию системы в данный момент.

Рассмотренная ситуация наглядно демонстрирует, что *некоторые* состояния с относительно высокой энтропией (разбитое яйцо на полу) могут развиваться, превра-

щаясь в состояния с *более низкой* энтропией (гипотетическое целое яйцо, возникающее из разбитого при обращении времени). Важнейшим обстоятельством выступает то, что, хотя такие состояния действительно существуют (и их поведение действительно противоречит второму закону!), число таких особых систем является крайне малым. Можно даже сказать, что в этом и заключаются смысл и суть второго закона, а введенное Больцманом определение энтропии связано именно со «специфичностью» этого типа и отражает ее самым естественным и удобным образом.

Необходимо особо отметить еще одно серьезное обстоятельство. Дело в том, что существует очень важная математическая теорема, называемая *теоремой Лиувилля*, в соответствии с которой в фазовом пространстве *объемы* изучаемых физикой классических динамических систем (их обычно называют *стандартными* или *гамильтоновскими системами*) остаются постоянными при эволюции во времени. Этот факт иллюстрирует правая часть приведенного ранее рис. 1.7, демонстрирующая, что если некая область  $v_0$  (с объемом  $V$ ) в фазовом пространстве  $\mathcal{P}$  преобразуется при эволюции за время  $t$  посредством эволюционных кривых в область  $v_t$ , то ее объемы в  $v_0$  и  $v_t$  остаются одинаковыми. При этом, однако, указанная теорема не противоре-

чит второму закону, поскольку в процессе эволюции не сохраняется сам вид крупнозернистого разбиения системы. Поэтому если начальный объем  $v_0$  в исходном состоянии характеризовался некоторым крупнозернистым разбиением, то  $v_t$  может представлять собой «расплывшуюся» и неупорядоченную область с гораздо более крупными зернами или даже сочетание таких областей.

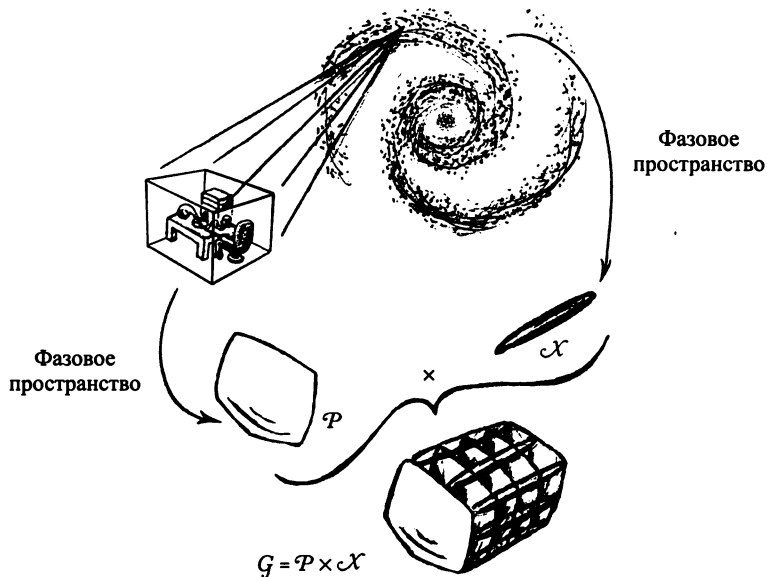
Завершая этот раздел, я еще раз хочу вернуться к уже упоминавшейся в разделе 1.2 проблеме использования *логарифма* в формуле Больцмана. Наличие логарифмической зависимости в определении энтропии играет важную роль при рассмотрении некоторых рассматриваемых далее проблем (особенно в подразд. 3.4), и я постараюсь разъяснить ситуацию с наиболее общих позиций. Предположим, что мы хотим использовать понятие энтропии для описания некоторых структур, связанных с физическими процессами или экспериментами, осуществляемыми в нашей лаборатории. Давайте подробно рассмотрим проблему используемого нами определения энтропии в этих условиях. На чем основана наша уверенность в уместности больцмановского определения энтропии в проводимых экспериментах? Для расчета мы должны, прежде всего, определить все степени свободы изучаемой в лабора-

тории физической системы, ввести для них соответствующее системе фазовое пространство  $\mathcal{P}$ , осуществить «разумное» крупнозернистое разбиение объема  $V$  этого фазового пространства на ячейки размером  $v$ , а затем вычислить для него значение энтропии по формуле Больцмана  $S = k \ln V$ .

Однако стоит отметить, что мы могли бы с самого начала рассматривать нашу лабораторию в качестве составной части более крупной системы (допустим, всей Галактики Млечный Путь, к которой принадлежит Солнечная система). При этом, конечно, фантастически возрастет число учитываемых степеней свободы (и, соответственно, объем фазового пространства), так как нам придется принимать в расчет множество других объектов. Иными словами, нам придется вычислять энтропию для всей галактики, а не для конкретных физических процессов, изучаемых в данной лаборатории, являющейся лишь ничтожной частью системы. Понятно, что при таком рассмотрении имеет смысл, прежде всего, выделить внешние степени свободы, относящиеся к галактике в целом и не связанные с состоянием изучаемой в лаборатории системы. Определяющие внешние степени свободы параметры создают огромное по объему «внешнее» фазовое пространство  $\mathcal{X}$ , которому соответствуют ячейки крупнозер-

нистого разбиения (объемом  $\omega$ ), относящиеся только к внешним по отношению к лаборатории объектам. Иными словами, они не релевантны по отношению к энтропии и процессам внутри лаборатории. В этом случае общее фазовое пространство  $\mathcal{G}$  всей рассматриваемой системы (вся галактика = галактика + лаборатория) складывается с

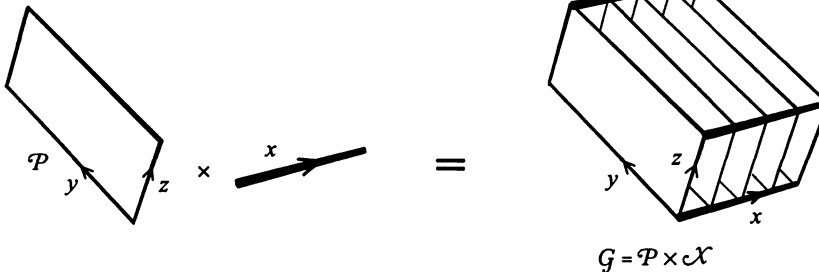
учетом как внешних, так и внутренних параметров, определяющих отдельно галактику и лабораторию соответственно. Все сказанное вполне естественно, так как теперь искомое значение энтропии относится к галактике в целом, в которой лаборатория с проводимыми экспериментами представляется ничтожной подсистемой (рис. 1.9).



**Рис. 1.9.** Рассматриваемое теоретически фазовое пространство для экспериментальных определений энтропии представляет собой лишь ничтожную часть фазового пространства полной системы (включающей всю галактику в целом), обладающей числом внешних степеней свободы

При этом определяющие *внешние* степени свободы параметры (т. е. относящиеся к состоянию галактики, *исключая* учет физических состояний внутри лаборатории) создают огромное «внешнее» пространство  $\mathcal{X}$ , внутри которого должна существовать ячейка  $\omega$  крупнозернистого разбиения, характеризующая именно состояние всей галактики, выступающей в качестве внешней системы по отношению к лаборатории (см. рис. 1.9). Фазовое пространство  $\mathcal{G}$  для всей галактики в этом случае можно быть определено полным набором параметров — как внешних (пространство  $\mathcal{X}$ ), так и внутренних (пространство  $\mathcal{P}$ ). Такой объект на языке математики называется *произведением пространств*  $\mathcal{X}$  и  $\mathcal{P}$  [1.4], что записывается в форме

$$\mathcal{G} = \mathcal{P} \times \mathcal{X},$$



**Рис. 1.10.** Произведение пространств  $\mathcal{P}$  (плоскость) и  $\mathcal{X}$  (линия) имеет вид  $\mathcal{G} = \mathcal{P} \times \mathcal{X}$

а его размерность представляет собой *сумму* размерностей пространств  $\mathcal{P}$  и  $\mathcal{X}$ , поскольку координаты этого пространства складываются из координат пространства  $\mathcal{P}$  в сочетании с координатами пространства  $\mathcal{X}$ . Общая идея перемножения показана на рис. 1.10, где пространство  $\mathcal{P}$  относится к плоскости, а  $\mathcal{X}$  — к линии.

Если предположить, что внутренние и внешние степени свободы являются совершенно независимыми, то и для объема любой соответствующей ячейки в общем пространстве  $\mathcal{G}$  должно выполняться

$$\omega \times \nu$$

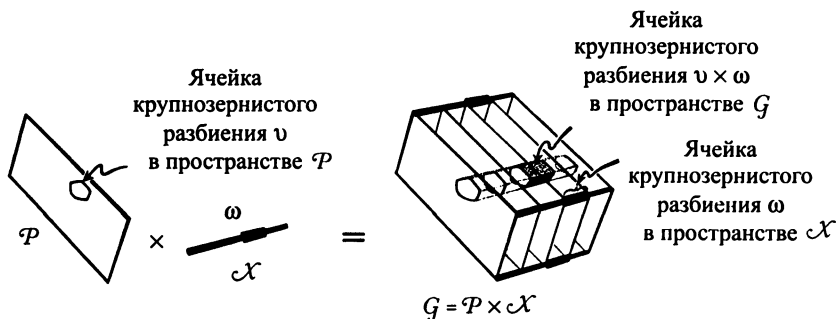
относительно объемов  $\omega$  и  $\nu$  (в пространствах  $\mathcal{X}$  и  $\mathcal{P}$  соответственно) и, более того, каждый элемент объема общего фазового пространства должен представлять произве-

дение ячеек соответствующих пространств, т. е. объем  $\omega \times \upsilon$  в  $\mathcal{G}$  равен произведению объемов  $VW$  в крупнозернистых разбиениях пространств  $\mathcal{X}$  и  $\mathcal{P}$ . Из основного свойства логарифмической функции (переход от произведения к сумме) для энтропии в определении Больцмана

$$k \lg(VW) = k \lg V + k \lg W$$

следует, что общая энтропия представляет собой *сумму* энтропий внешней (галактика!) и внутренней (лаборатория!) систем. Это условие означает, что энтропии независимых систем просто *складываются*, из чего получается, что сама энтропия представляет собой некоторое свойство, которое может быть приписано любой *части* физической системы независимо от состояния всей остальной системы.

В рассматриваемой ситуации пространство  $\mathcal{P}$  относится к степеням свободы лабораторной системы, а пространство  $\mathcal{X}$  — к степеням свободы внешней галактики (при условии, что эти системы совершенно независимы), вследствие чего экспериментально определяемое значение энтропии  $k \lg V$  можно приписывать только лабораторной системе, пренебрегая влиянием внешних степеней свободы. Получаемое в эксперименте значение энтропии может отличаться от истинного значения  $k \lg(VW)$  на величину  $k \lg W$ , которая соответствует только воздействию и роли внешних степеней свободы. Полная энтропия системы  $k \lg(VW)$  может быть получена простым сложением энтропий указанных систем (галактика + лаборатория), но следует помнить, что галактика очень слабо влияет



**Рис. 1.11.** Область крупнозернистого разбиения в виде произведения пространств крупнозернистых разбиений отдельных сомножителей

на условия внутри лаборатории, вследствие чего вкладом от галактических, внешних, степеней свободы вполне можно пренебречь при рассмотрении роли второго закона в ходе проводимых внутри лаборатории экспериментах. Ниже в разделе 3.4 мы рассмотрим проблему баланса энтропии для Вселенной *в целом* (особенно с учетом вклада от черных дыр) и покажем, что этим вкладом нельзя пренебрегать ни в коем случае, так как именно этот вклад имеет фундаментальное значение в космологических процессах!

#### 1.4. Здравый смысл и концепция энтропии

Формула Больцмана дает нам достаточно ясное и наглядное представление о смысле энтропии физической системы. Первый вариант формулы был получен Больцманом еще в 1875 году, и с тех пор это понятие очень широко использовалось, уточнялось и дополнялось как самим автором, так и другими исследователями [1.5]. В настоящее время концепцию энтропии применяют к обширному классу систем, причем для ее использования часто не требуется дополнительных условий (например, требования стационарности системы в какой-либо форме и т. п.). Тем не менее некоторые

аспекты принципиального определения энтропии по-прежнему остаются весьма неясными и загадочными, и в первую очередь это относится к понятию «макроскопический параметр». Вполне вероятно, что в будущем физики-экспериментаторы смогут и определять, и измерять характеристики состояния газа и жидкости, которые в настоящее время представляются совершенно «неизмеримыми». Например, возможно, что они смогут не только регистрировать давление, плотность, температуру и общую скорость потока частиц, но и более детально описывать их движение (в идеале, конечно, появится возможность проследживать даже траектории отдельных молекул и т. п.). Понятно, что применение новых, более точных методик (их можно назвать измерительными технологиями) приведет к тому, что крупнозернистое разбиение фазового пространства будет становиться все более мелким, из-за чего изменится и значение энтропии для соответствующих ячеек разбиения.

С формальной точки зрения, использование более точных методов измерения детального поведения элементов системы должно приводить к понижению значения энтропии. Однако некоторые ученые полагают [1.6], что применение усовершенствованных технологий измерения вызовет соответственно существенное возрастание

энтропии *внутри самой измерительной аппаратуры*, которое скомпенсирует или даже превысит упомянутое «технологическое» понижение. То есть общая (точнее, эффективная) энтропия системы при повышении точности измерений может даже возрастать. Приведенные соображения являются вполне разумными, но они не принципиальны для решения основной проблемы, связанной с больцмановским определением энтропии (а именно с недостаточной объективностью определения термина «макроскопический параметр»), и даже осложняют ее рассмотрение и понимание.

Необычным, но хорошо известным примером проявления обсуждаемой неоднозначности является гипотетическая ситуация, придуманная великим физиком Дж. К. Максвеллом, чья теория электромагнетизма уже упоминалась (см. разд. 1.1 и 1.3). Он вообразил и ввел в физику крошечное существо, названное впоследствии демоном Максвелла, которое способно непосредственно отслеживать и анализировать движение отдельных молекул, а затем (в зависимости от результатов наблюдений) открывать или закрывать микроскопическую дверцу в стенке сосуда с газом. Легко показать, что деятельность такого демона будет приводить к существенному нарушению второго закона, однако при рассмотрении полной системы (включа-

ющей не только газ, но и самого демона, который должен иметь хоть какую-то реальную субмикроскопическую структуру) смысл и действие великого второго закона немедленно проявляются со всей силой.

Для доказательства предлагаю читателю вообразить демона Максвелла в качестве не абстрактного понятия или существа, а в виде, например, миниатюрного механического устройства с теми же функциями\*. При любом таком рассмотрении действие второго закона остается неизменным (независимо от всех рассуждений, связанных с макроскопическими параметрами), однако какая-то тайна или недосказанность в определении самой энтропии для сложных систем продолжает сохраняться. Тайна состоит в том, что некая достаточно простая физическая величина (в данном случае рассматриваемая нами энтропия) теоретически может, вообще говоря, очень сильно зависеть от технического уровня развития измерительной аппаратуры в некий момент времени!

На самом деле значение приписываемой системе энтропии в общем случае слабо зависит от технологии измерений, так как любая «зернистость» разбиения систе-

---

\* Работа такого устройства очень подробно рассмотрена в знаменитой книге Р. Фейнмана «Характер физических законов». — *Прим. перев.*

мы и связанное с этим изменение энтропии должны быть малыми по величине. Нам следует просто помнить, что точность измерения энтропии (подобно точности измерения любых других физических величин вообще) всегда включает в себя субъективный элемент ошибки, обусловленный недостаточной точностью измерительных приборов. Сказанное вовсе не означает, что мы должны отказаться от энтропии — весьма необходимой и ценной характеристики физических систем, и вносимая этим субъективным фактором погрешность является очень незначительной, поскольку объемы возникающих при крупнозернистом разбиении ячеек отражают предельно достижимые «различения» свойств таких ячеек. Любое более детальное разбиение (перекройка границ ячеек) в обычных условиях в принципе не должно приводить к существенному изменению энтропии системы в целом.

Для лучшего понимания ситуации в целом нам следует вновь вернуться к рассмотрению простой системы из равного числа частиц-молекул красного и синего цветов, произвольным образом заполняющих некоторый объем. Мы уже использовали эту модель для расчета энтропии при разбиении объема на  $10^{24}$  ячеек (каждая из которых может быть занята примерно равным, но достаточно большим числом молекул). В этой модели мы затем приписывали та-

ким ячейкам соответствующую степень окраски исходя из статистических расчетов числа молекул разных цветов в кубическом объеме из  $10^5 \times 10^5 \times 10^5$  ячеек с точностью, лежащей в пределах от 0,999 до 1,001. Предположим теперь, что мы можем (например, за счет использования более совершенной измерительной аппаратуры) измерять процентное соотношение таких же окрашенных молекул (красные/синие) с гораздо большей точностью. Пусть ячейка будет считаться однородно окрашенной только в случае, если для нее соотношение молекул (красные/синие) лежит в диапазоне от 0,9999 до 1,0001, что соответствует точности в одну сотую процента и в 10 раз превышает уровень точности, использованный в предыдущем расчете. Размер ребра ячейки при этом уменьшается примерно вдвое, а следовательно, объем (по соотношению цветных молекул, которым определяется конкретный цвет ячейки) уменьшается в восемь раз, что грубо соответствует повышению точности ( $2^3 \approx 10$ ). Можно подсчитать, что, несмотря на заметное повышение точности, энтропия, которую мы должны приписывать однородно пурпурной окраске соответствующих молекул (т. е. энтропия, понимаемая как десятичный логарифм числа состояний, удовлетворяющих приведенному условию), практически не меняется, т. е. использование более совершенной изме-

рительной технологии изменяет значение энтропии системы весьма незначительно.

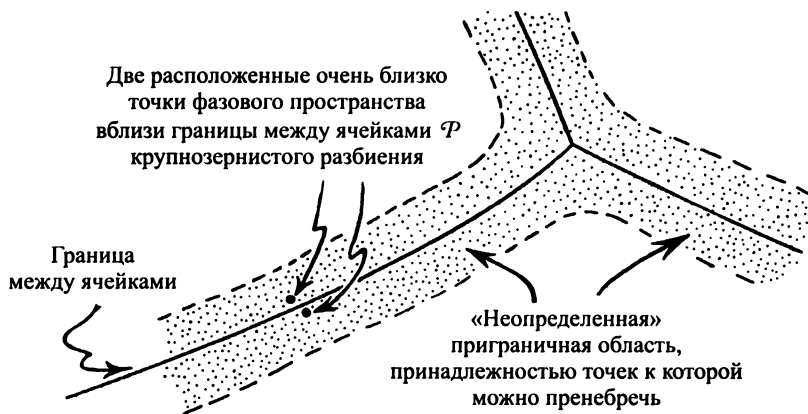
Конечно, описанная система является не более чем простой, «игрушечной» моделью сложной системы (причем, скорее, ее конфигурационного, а не фазового пространства), но и она наглядно иллюстрирует тот факт, что повышение точности макроскопических параметров, используемых при крупнозернистом разбиении, очень слабо влияет на значение энтропии системы. Причиной такого постоянства (или надежности определения) энтропии является огромное число и разнообразие ячеек разбиения, а также очень большой разброс в пропорциях этих ячеек. Для большей реалистичности изложения, я могу даже рассмотреть процесс возрастания энтропии при знакомой всем процедуре принятия утренней ванны. Разумеется, я не буду обсуждать сложный процесс незначительного возрастания энтропии при самом процессе мытья (!), а учту лишь первичный этап подготовки ванны, сводящийся к перемешиванию горячей и холодной воды (совершенно неважно, перемешивается ли вода непосредственно в самой ванне или в смесителе крана) до необходимой температуры. Предположим, что ванна объемом около 150 литров заполняется примерно равными количествами холодной (10 °C) и горячей (50 °C) воды. В полном соответствии со вторым законом вода в ней достаточно

быстро перемешивается, поэтому никто из нас не боится, что через несколько минут в ванне еще будут сохраняться локальные участки объема с малоприятными температурами 10 и 50 °C. Энтропия быстро возрастает до значения 21 407 Дж/К, так что соответствующая системе точка в фазовом пространстве очень быстро перемещается из одной ячейки крупнозернистого разбиения в другую, объем которой превышает объем исходной примерно в  $10^{27}$  раз! Невозможно представить себе, что какое-то более точное определение или измерение границ ячеек могло бы заметно изменить соотношение величин при таких фантастических масштабах роста.

С определением энтропии связано еще одно важное обстоятельство, которое требует особого обсуждения. Читатель мог заметить, что во всех приведенных ранее рассуждениях я всегда уверенно предполагал возможность разбиения системы на «крупнозернистые» ячейки с четко определенными границами, хотя, строго говоря, сама возможность такой операции вовсе не представляется очевидной независимо от того, насколько «разумно» или удачно будет подобран набор используемых макроскопических параметров. Для понимания сути проблемы достаточно рассмотреть две точки, расположенные очень близко друг к другу, но по разные стороны границы между ячейками в фазовом пространстве.

С одной стороны, очевидно, что близость значений координат в фазовом пространстве диктует и близость макроscopicких характеристик, но с другой — эти точки принадлежат к разным ячейкам и, следовательно [1.7], должны обязательно как-то отличаться именно на макроscopicком уровне! Это противоречие снимается предположением, что граница между ячейками представляет собой особую область с неопределенными свойствами, которые мы (пользуясь уже упоминавшейся субъективностью в определении макроscopicких параметров) можем подобрать таким образом, чтобы проблема точек этой причудливой границы вообще нас не беспокоила

(рис. 1.12). Подход основан на очень простом соображении, что объем границ областей в фазовом пространстве всегда очень мал (по сравнению с внутренним объемом ячеек разбиения), и поэтому вклад от точек граничных областей в полное значение энтропии системы всегда будет пренебрежимо малым независимо от того, к каким ячейкам отнесены приграничные точки. Это еще раз показывает, насколько разумным является понятие энтропии, несмотря на все неточности и неясности ее определения. Повторю, что надежность определения энтропии связана с огромным числом ячеек разбиения, а также большим разбросом в их размерах.



**Рис. 1.12.** Путаница в определении границ, разделяющих ячейки крупнозернистого разбиения

Однако стоит особо отметить, что существуют некоторые необычные или, точнее говоря, специфические физические системы, для которых использованное нами простое и даже грубое представление о «макроскопической неразличимости» ячеек *может оказаться* неадекватным или даже просто ошибочным! В качестве примера упомянем *эффект спинового эха*, обнаруженный в 1950 году Эрвином Ханом при изучении процессов ядерного магнитного резонанса (ЯМР). Общая картина явления заключается в следующем. Существуют некоторые магнитные среды, которые в исходном состоянии обладают очень высокой степенью упорядоченности ядерных спинов [1.8], т. е. эти спины имеют почти одинаковое направление. Под воздействием внешнего электромагнитного поля этот «порядок» легко разрушается, в результате чего направленность ядерных спинов становится совершенно случайной (из-за сложного характера взаимодействия ядер с окружением и прецессии этих спинов с разной скоростью) и представляется хаотическим набором векторов. Физический эффект заключается в том, что при некоторых условиях «обращения» внешнего воздействия все ядерные спины как бы «возвращаются» в исходное состояние, в результате чего весьма специфическая начальная конфигурация

системы восстанавливается! С макроскопической точки зрения (при проведении соответствующих измерений макроскопических параметров), это означает, что энтропия системы на первом этапе, при разрушении упорядоченности спинов, очень резко возрастает (в полном соответствии со вторым законом), но затем при наложении обратного импульса внешнего магнитного поля упорядоченность спинов в системе восстанавливается, а энтропия (после промежуточной стадии восстановления порядка) столь же стремительно *уменьшается* [1.9], что явно и очень грубо нарушает требование второго закона об возрастании энтропии!

Проблема состоит в том, что хаотическое распределение спинов в промежуточном состоянии данной системы лишь кажется случайным, а в действительности оно соответствует очень высокой «скрытой упорядоченности». И именно этот внутренний, неявный порядок и восстанавливается позднее, если нарушающее порядок внешнее магнитное воздействие достаточно осторожно воспроизводится в обратном по времени порядке. В качестве простой и наглядной аналогии я приведу привычную почти каждому ситуацию, когда воспроизводящее устройство (магнитофон или компьютер) не «воспринимает» информацию на ленте или диске, что может

быть связано как с мелкими случайными неполадками, так и просто с тем, что данное устройство просто не предназначено для работы с данным носителем. В этой ситуации макроскопическое измерение оказывается неспособным выявить скрытый в системе огромный объем информации. Каждый из нас знает, что очень часто эту информацию можно получить, перезапустив устройство или, например, вставив диск в более совершенное, специфическое устройство. Продолжая аналогию, можно констатировать, что в некоторых случаях макроскопическое измерение, произведенное обычным слабым или неприспособленным прибором, оказывается неспособным выявить содержащееся в системе огромное количество информации, которое легко определяется при проведении измерения более точным и усовершенствованным устройством.

Нет даже необходимости подробно рассматривать сложнейшие технические проблемы создания меняющихся во времени магнитных полей, связанных с эффектом спинового эха, поскольку существует очень простой, чисто механический пример такого же восстановления «скрытой упорядоченности», осуществляемый при помощи весьма примитивного устройства, представленного на рис. 1.13 (дополнительную информацию читатель найдет в

работе [1.10]). Прибор представляет собой две вложенные одна в другую цилиндрические стеклянные трубки, между которыми остается очень узкий промежуток. В пространство между трубками вводят вязкую жидкость (например, глицерин), который однородно распределяется между ними, а затем к внутреннему цилиндру присоединяют рукоятку, позволяющую его вращать (внешний цилиндр остается неподвижным). После этого к жидкости добавляют небольшое количество ярко-красного красителя, в результате чего в слое глицерина возникает отчетливо выделяющаяся красная прямая линия, параллельная, естественно, оси цилиндрического устройства (рис. 1.14). Рукоятку проворачивают несколько раз, вследствие чего тонкая линия краски однородно распределяется по объему жидкости внутри тонкого цилиндра

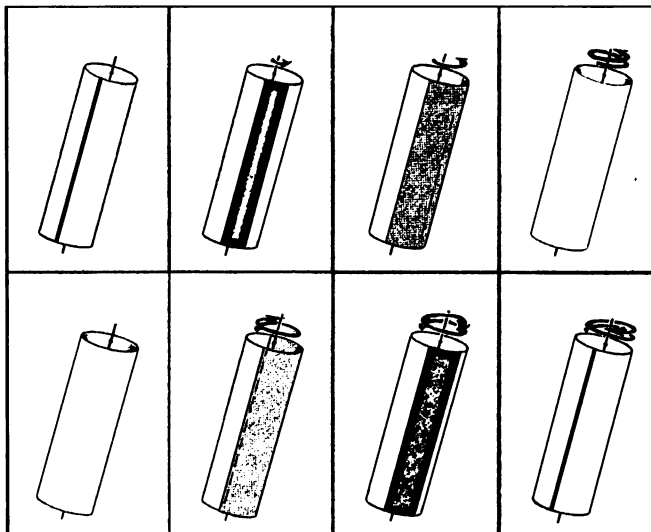


**Рис. 1.13.** Два помещенных один в другой стеклянных цилиндра с узким промежутком между ними, заполненным вязкой жидкостью, и тонкой линией красителя в этой жидкости

дрического слоя (см. рис. 1.14), что создает внешне совершенно однородную смесь, в которой отсутствуют малейшие признаки исходного выделенного состояния (тонкой вертикальной линии по оси цилиндров). После этого рукоятку проворачивают в обратном направлении столько же раз, в результате чего наблюдатель неожиданно... вновь видит ту же тонкую линию краски

(остальная жидкость при этом приобретает лишь слабый розовый оттенок).

При любом разумном подборе макроскопических параметров состояний окрашенной вязкой жидкости этот эффект восстановления концентрации неоднородности представляется совершенно необычным, поскольку он свидетельствует о необычном уменьшении энтропии, свя-



**Рис. 1.14.** В результате нескольких поворотов ручки полоска красителя распределяется по пространству между цилиндрами. При повороте ручки на то же число оборотов в обратном направлении линия краски неожиданно восстанавливается, и это очевидно противоречит требованиям второго закона

занной с поведением окрашенных молекул, которые ранее были однородно распределены в описываемой жидкости. Ситуация очень напоминает ту, которую мы рассматривали в разделе 1.2, с перемешиванием частиц красной и синей окраски. Но проблема состоит в том, что поворот рукоятки в обратном направлении (на то же количество оборотов!) приводит к совершенно непонятному «восстановлению» красной линии красителя, т. е. фактически к восстановлению исходного, выделенного состояния! Эксперимент неожиданно показывает, что энтропия (которая возрастала при исходном перемешивании) может вновь вернуться почти точно к своему исходному состоянию, что явно свидетельствует о грубом нарушении второго закона в результате простого перемешивания жидкости по указанной схеме!

С общей точки зрения обе описанные физические ситуации демонстрируют, что второй закон фактически *не нарушается*, а речь идет лишь о недостаточной точности определения понятия энтропии. Я лично считаю, что такие малоприятные ситуации (американцы называют это «банкой с червями» — can of worms) начинаются именно из-за того, что некоторые физики требуют существования какого-то сверхточного определения понятия энтропии,

применимого ко *всем* мыслимым системам, т. е. обеспечивающего универсальный характер второго закона. Мне непонятно, как можно дать абсолютно точное определение понятия «физическая энтропия», которое было бы совершенно объективным (или в некотором абсолютном смысле существовало бы вне природы [1.11]), и при этом чтобы эта «объективная энтропия» никогда не уменьшалась с возрастанием времени. Непонятно, должны ли мы при этом рассматривать и концептуально определять некую *действительную* энтропию, которая была бы применима и к описанным специальным системам типа слабоокрашенного тонкого цилиндрического слоя вязкой жидкости, и к сложной конфигурации ядерных спинов? Дело в том, что эти системы лишь внешне *кажутся* совершенно неупорядоченными, но могут сохранять в себе «память» об исходном, высокоупорядоченном состоянии. В этой связи мне кажется, что мы не должны абсолютизировать рассматриваемые понятия.

Энтропия, по моему мнению, представляет собой просто очень полезное физическое представление, однако я не вижу причин, по которым ей следовало бы приписывать какую-то исключительную фундаментальность и объективность в физической картине мира. Скорее наоборот, мне кажется, что полезность этого физического

понятия обусловлена главным образом тем обстоятельством, что для систем, которые мы хотим рассматривать и изучать в *актуальной Вселенной*, нормальные значения макроскопических параметров приводят к росту объемов ячеек крупнозернистых разбиений. Вопрос о том, почему в известной нам Вселенной это различие является столь большим, является очень сложным и глубоким. Огромные числа отражают тот замечательный факт, что наша Вселенная *кажется* весьма объективной и совершенно независимой от нас (мы рассмотрим эту проблему чуть ниже), несмотря на вводимые нами в концепцию энтропии «путающие» элементы субъективности, которые только маскируют основную тайну этого понятия, но подтверждают его исключительную полезность.

### 1.5. Неизбежность возрастания энтропии в будущем

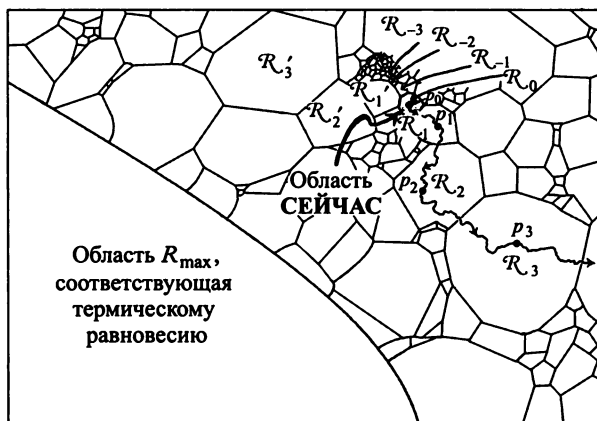
Давайте попробуем понять причины, по которым мы ожидаем, что в будущем энтропия любой системы должна неизбежно возрастать в соответствии с неумолимыми требованиями второго закона. Предположим, что развитие какой-то системы начинается с состояния, обладающего вполне разумным и достаточно низким значени-

ем энтропии, из некоторой точки  $p_0$  фазового пространства  $\mathcal{P}$  и затем описывается эволюцией во времени (траекторией) данной точки в  $\mathcal{P}$ . Предположим далее, что точка принадлежит к очень небольшой по объему области (ячейке)  $\mathcal{R}_0$ , как показано на рис. 1.15. При этом необходимо помнить, что (как уже отмечалось) отдельные ячейки крупнозернистого разбиения могут сильно различаться и по форме, и по величине (на много порядков). Кроме того, немислимо большое число измерений самого фазового пространства  $\mathcal{P}$  приводит к тому, что у каждой отдельной ячейки возможны границы с огромным количеством соседних ячеек, и при этом близкие и знакомые нам двух- и трехмерные представления о границах участков могут только сбить читателя с толку. Рассмотрим, например, число граничащих друг с другом ячеек. На плоскости это число равно в среднем примерно шести, в трехмерном пространстве — четырнадцать (как показано на рис. 1.16), а затем оно продолжает быстро нарастать. Вследствие этого представляется весьма вероятным, что эволюционная кривая точки  $p$ , начавшись из точки  $p_0$  в ячейке  $\mathcal{R}_0$  попадет затем в ячейку  $\mathcal{R}_1$ , объем которой существенно выше объема  $\mathcal{R}_0$ , так как «найти» область с очень малым фазовым объемом при действительно случайном характере

движения точки  $p$  представляется исключительно сложной задачей (это гораздо труднее обнаружения иголки в стого сена, в соответствии с известной поговоркой!).

Соответственно значение *логарифма* для объема  $\mathcal{R}_1$  будет существенно выше логарифма для объема  $\mathcal{R}_0$  в фазовом пространстве (хотя при этом возможно лишь небольшое возрастание реального объема ячейки, как отмечалось в разделе 1.2), что должно сопровождаться и ростом энтропии. Затем точка  $p$  перемещается в следующую ячейку крупнозернистого разбиения (ее можно обозначить  $\mathcal{R}_2$ ), объем которой вновь с очень большой вероятностью дол-

жен превышать объем  $\mathcal{R}_1$  с соответствующим возрастанием энтропии. Процесс продолжается, так как после этого точка  $p$  попадает в гораздо больший по величине объем  $\mathcal{R}_3$ , энтропия увеличивается и т. д. и т. п. Более того, так как объем ячеек крупнозернистого разбиения непрерывно и при этом сильно возрастает, стоит точке  $p$  один раз попасть в достаточно большую ячейку, как для нее становится практически невозможным (можно даже сказать «совершенно невероятным») переместиться затем в какую-либо ячейку с заметно меньшими размерами. Таким образом, с увеличением времени значения



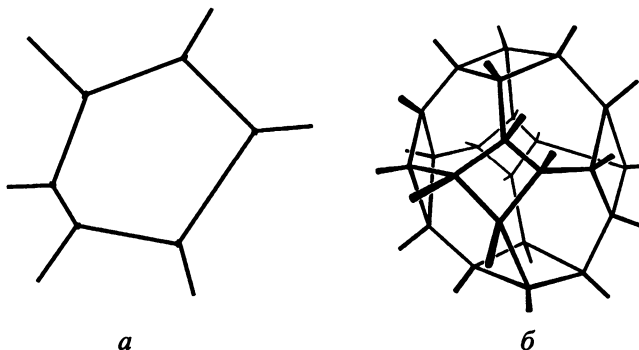
**Рис. 1.15.** Система начинает свое движение из точки  $p_0$  в очень небольшой по размерам ячейке (области) крупнозернистого разбиения  $\mathcal{R}_0$

энтропии системы должны «неумолимо» возрастать, хотя и значительно медленнее, чем нарастает реальный объем ячеек фазового пространства вдоль эволюционной кривой, описывающей движение системы в этом пространстве.

Разумеется, все сказанное не означает прямого и строгого запрета на уменьшение энтропии при эволюции, а свидетельствует только о том, что такое уменьшение является крайне маловероятным. В действительности описываемый процесс эволюции соответствует лишь общей тенденции нормального развития системы, когда эволюция происходит без «необычных» смещений по отношению к фазовому пространству с данным крупнозернистым разбиением. Эту тенденцию можно

сформулировать в иной форме — в виде утверждения, что движение точки  $p$  представляется совершенно случайным, не смотря на тот факт, что сама эволюция системы определяется четко заданными и детерминированными правилами (например, законами механики Ньютона).

У читателя может возникнуть совершенно законный вопрос: а почему, собственно говоря, точка  $p$  переходит в наиболее крупную ячейку  $\mathcal{K}_{\max}$  крупнозернистого разбиения лишь в результате последовательного блуждания по ячейкам с возрастающим объемом, а не перескакивает *сразу* в эту ячейку? При этом максимальную по объему ячейку, или область, обычно соотносят с так называемым состоянием *теплового равновесия*,



**Рис. 1.16.** По мере увеличения числа измерений системы  $n$  быстро нарастает среднее число граничащих друг с другом ячеек: при  $n = 2$  число соседних ячеек в среднем равно шести (*a*), при  $n = 3$  — примерно четырнадцати (*б*)

в котором размеры  $\mathcal{R}_{\text{max}}$ , по-видимому, превосходят общий, совокупный объем всех остальных ячеек разбиения. И действительно, следовало бы ожидать, что точка  $p$  попадет *в конечном счете* в область  $\mathcal{R}_{\text{max}}$ , после чего и будет оставаться в ней почти постоянно, лишь очень редко совершая «вылазки» в более мелкие по объему ячейки фазового пространства (такие события называют термическими флуктуациями). Ответ на этот вопрос состоит в том, что эволюционная кривая должна описывать непрерывный процесс, т. е. значения энтропии для двух близких моментов будут различаться лишь незначительно. Точнее говоря, это различие не должно быть таким огромным, как в случае прямого «прыжка» системы в ячейку  $\mathcal{R}_{\text{max}}$ . Значит, нам следует ожидать не скачкообразного, а постепенного возрастания энтропии, при переходе точки  $p$  во все более крупные по объему ячейки.

Данный подход вполне удовлетворительно описывает естественность постепенного роста энтропии в дальнейшем и не требует дополнительных пояснений (возможно, за исключением некоторых особых деталей, которые так любят «чистые» математики). Эволюция поведения рассматриваемого яйца (которое балансирует на краю стола и обречено разбиться при падении на пол) в исходный

момент времени СЕЙЧАС (см. рис. 1.15) действительно с большой вероятностью подразумевает стремительное увеличение энтропии при падении, и это вполне согласуется с самыми простыми соображениями об огромном возрастании объемов фазового пространства, упомянутыми ранее.

Однако, размышляя о трагической будущности яйца, стоит задуматься еще над одним вопросом, относящимся к его *прошлому*: а каким образом возникла данная ситуация? Мы вправе спросить: каким является наиболее вероятный ход событий, при котором это яйцо вдруг оказалось балансирующим на краю стола в исходный момент эволюции системы?

Обычный подход статистической физики и термодинамики состоит в определении наиболее вероятных вариантов эволюции некоей системы, находящейся в заданном исходном состоянии СЕЙЧАС, и мы можем применить его к рассматриваемой ситуации, но как бы решая обратную задачу. Иными словами, мы ищем ответ на вопрос: как должна была выглядеть наиболее вероятная эволюционная кривая в *прошлом*, чтобы данная система могла *быть приведена* в состояние СЕЙЧАС? Используемые для описания эволюции законы ньютоновской механики прекрасно действуют при замене направ-

ления времени на обратное и вновь дают совершенно детерминированное описание эволюционного процесса. Таким образом, мы можем получить для яйца еще одну эволюционную кривую, которая заканчивается в точке  $p_0$  фазового пространства  $\mathcal{P}$  и описывает некий после эволюционный, или постэволюционный, процесс (past-evolution), т. е. эволюцию таких прошлых состояний, в результате которых яйцо оказалось балансирующим на краю стола. Для нахождения «наиболее вероятной» истории появления яйца на краю стола необходимо вновь изучать все прилегающие к  $\mathcal{R}_0$  области крупнозернистого разбиения фазового пространства и исследовать гигантские различия в их размерах. При этом мы вновь получим огромное количество эволюционных кривых, которые заканчиваются в точке  $p_0$ , причем вероятность попадания в  $\mathcal{R}_0$  из областей с гораздо большим объемом (например, из  $\mathcal{R}_1$ ) значительно выше, чем из областей с малым объемом и т. д. Так, предполагая, что эволюционная кривая заканчивается в  $\mathcal{R}_0$  после перехода эволюционной кривой из области  $\mathcal{R}_1'$  (значительно превосходящей по размерам  $\mathcal{R}_0$ ), мы должны будем рассмотреть все предшествующие этой траектории ячейки с очень большим разбросом по формам и размерам. Конечно, многие из них по объему будут существенно превосходить ячей-

ку  $\mathcal{R}_1'$ , так что нам придется вновь рассматривать соседние ячейки, но введение новых, более крупных областей  $\mathcal{R}_2'$  только ухудшит ситуацию, так как затем потребуются рассматривать огромное число еще более крупных областей  $\mathcal{R}_3'$  и т. д., и т. д.

Приведенные рассуждения представляются очевидными, однако имеют ли они смысл вообще? Число рассматриваемых эволюционных кривых немислимо превышает число тех эволюционных кривых, которые последовательно приводят к точке  $p_0$  из гораздо *меньших* по объему ячеек (обозначим их ...,  $\mathcal{R}_3$ ,  $\mathcal{R}_2$ ,  $\mathcal{R}_1$ ,  $\mathcal{R}_0$ ). При возрастании времени эти ячейки с большой вероятностью *должны* вовлекаться в процесс, а их объемы уменьшаться в соответствии с требованиями второго закона. Таким образом, начинает казаться, что используемые нами рассуждения вместо дополнительных доводов в пользу второго закона приводят к обратному, совершенно ошибочному выводу, т. е. к предсказанию весьма серьезного *нарушения* второго закона по отношению к прошлому!

Далее эти же рассуждения должны приводить нас, по-видимому, к нахождению наиболее вероятного варианта возникновения какого-то конкретного исходного состояния (в рассматриваемом случае речь идет о яйце, оказавшемся на краю стола перед падением). Обращение времени демонстрирует, что таким вариантом

должен быть, например, процесс формирования яйца из лужицы на полу, образованной растекшейся смесью белка и желтка (часть которой впиталась в ковер) и осколками скорлупы. Обращение времени требует, чтобы все компоненты этой смеси самопроизвольно «объединились» (попутно очистив ковер от загрязнения) и сформировали совершенно правильное по структуре яйцо, которое должно взлететь вверх с точно заданной скоростью, позволяющей ему аккуратно «заскочить» на поверхность стола. Именно такое поведение соответствует рассуждениям о какой-то наиболее «вероятной» эволюционной кривой, последовательно проходящей через области ...  $\mathcal{R}_3'$ ,  $\mathcal{R}_2'$ ,  $\mathcal{R}_1'$ ,  $\mathcal{R}_0$  с постоянно уменьшающимися объемами. Такое описание возникновения исходного состояния очевидным образом противоречит здравому смыслу и как бы даже *конфликтует* с реальностью. Понятно, что описываемое исходное состояние возникло, скорее всего, из-за того, что кто-то беспечно оставил яйцо на столе, не думая о том, что оно может скатиться к краю, упасть на пол и разбиться. Именно такая эволюция *соответствовала* бы второму закону, и именно она представлена в фазовом пространстве  $\mathcal{P}$  эволюционной кривой, последовательно проходящей через области ...,  $\mathcal{R}_3$ ,  $\mathcal{R}_2$ ,  $\mathcal{R}_1$ ,  $\mathcal{R}_0$  с постоянно возрастающими объемами. Ситуация носит

общий характер, и при использовании тех же аргументов по отношению к любым процессам с обратным направлением времени мы будем постоянно получать ответы, *полностью противоречащие* нашим ожиданиям и жизненному опыту.

### 1.6. Почему прошлое отличается от будущего?

Таким образом, те же рассуждения, которые с очень большой вероятностью подтверждают значимость второго закона для будущей эволюции обычных физических систем, неожиданно приводят к совершенно ошибочным результатам при попытках рассмотрения эволюции в обратном направлении. В чем же причина такого расхождения, тем более что ход рассуждений внешне представляется почти одинаковым? Как я уже упоминал, проблема связана с тем, что эволюция должна рассматриваться в качестве некоторого «случайного» движения описывающей систему точки в фазовом пространстве, состоящем из ячеек крупнозернистого разбиения. В действительности такой эволюционный процесс не является и не может быть по-настоящему случайным, так как он в конечном счете определяется точными динамическими законами, например законами механики Ньютона и т. п. При

этом, однако, мы также предполагаем, что динамическое поведение не включает в себя каких-то особо резких скачков или смещений, и это предположение кажется вполне разумным и удобным для рассмотрения будущей эволюции. Но эти рассуждения явно теряют смысл и не сохраняются при рассмотрении эволюции системы в обратном направлении времени (этот процесс можно назвать обратной эволюцией или постэволюцией). Например, попытаюсь описать прошлое поведение яйца, мы сразу сталкиваемся с существенными нарушениями в логически обоснованном поведении системы. Из общих представлений и вполне разумных рассуждений следует, что (в полном соответствии с обратимыми во времени динамическими законами механики) при обращении времени мы должны наблюдать следующую картину. Представьте себе последовательность событий, представленную на рис. 1.1 в обратном порядке (или в обратной временной перспективе!), когда яйцо вдруг вновь восстанавливается (или формируется) из скорлупы и лужицы, подскакивает вверх и вновь оказывается балансирующим на краю стола! Такое поведение выглядит явно нелогичным и необъяснимым, и если бы такой порядок событий наблюдался при обычном, *направленном в будущее* развитии любой системы, мы сочли бы его

невероятным проявлением телеологии или магии. В этой связи становится непонятно, почему такое целенаправленное поведение системы выглядит странным «фокусом» только при рассмотрении прошлой эволюции, но остается научно обоснованным при рассмотрении предполагаемого будущего.

Ответ на этот вопрос (хотя вряд ли его можно назвать естественным объяснением) заключается в том, что угадывание причинности прошлого, или «посттелеология», основано на обычном житейском опыте, в то время как нацеленная на будущее телеология (ее можно назвать предвидением, «фьючателеологией, целенаправленностью событий, future-theleology и т. п.) относится к тому, с чем мы еще никогда не сталкивались. Иными словами, мы просто не умеем его угадывать или рассчитывать будущие события\*. То обстоя-

---

\* Строго говоря (особенно в духе предлагаемой книги), понимание смысла и причинности прошлых событий может представлять собой не менее сложную задачу, чем «понимание» смысла и причинности будущего. Интересно отметить, что в древнегреческой мифологии исключительным даром предвидения обладал знаменитый титан Прометей (его имя означает буквально «предвидящий», «мыслящий вперед»), которому противопоставлялся его младший брат Эпиметей (буквально «мыслящий после» или «крепкий задним умом»). — *Прим. перев.*

тельство, что мы никогда не сталкиваемся в нашей Вселенной с задачами «фьючатеологии», можно считать просто *наблюдаемым фактом*, но точно таким же наблюдаемым фактом можно считать действие второго закона. В известной нам Вселенной динамические законы, по-видимому, почти никогда не связаны с достижением какой-то цели какими-то путями (и это никак не связано с крупнозернистым разбиением фазового пространства), в то время как такое же «управление» динамическими законами для поведения эволюционной кривой в обратных направлениях почти всегда приводит к какой-то цели. При изучении поведения эволюционной кривой в прошлом нам представляется, что система как бы «намеренно» находит области разбиения с постоянно уменьшающимися объемами, и это не кажется нам странным, поскольку составляет привычную часть нашего житейского опыта. Образование лужицы на ковре после падения яйца со стола выглядит абсолютно нормально, а процесс восстановления яйца (на киноплёнке, прокрученной в обратном направлении) представляется совершенно необычным, так как весь предыдущий житейский опыт приучил нас к восприятию лишь обычной направленности времени в физическом мире. Такая «телеология» прекрасно подходит к описанию произо-

шедших явлений, но у нас нет никакого жизненного опыта для аналогичной оценки будущих событий.

В действительности мы можем понимать такую кажущуюся посттелеологию в поведении системы только в том случае, если просто предположим, что наблюдаемая нами Вселенная представляет собой лишь исключительно небольшую по размерам область крупнозернистого разбиения фазового пространства, вследствие чего ее исходное состояние характеризуется очень низким значением энтропии. Поэтому если мы действительно предполагаем, что динамические законы, управляющие поведением системы, обеспечивают достаточную степень непрерывности в изменении энтропии, то нам необходимо ввести еще одно условие. Мы должны, как уже упоминалось, дополнительно представить, что Вселенная в начальном состоянии (которое мы условно называем Большим взрывом) по каким-то причинам обладала исключительно низкой энтропией. Особый характер малости значения энтропии в исходном состоянии Вселенной будет обсужден и продемонстрирован в следующей части книги. Упомянутая непрерывность энтропии подразумевает относительно медленные, не очень резкие изменения ее значения от данного момента (в обычном направлении времени), что позволяет как-то теоретиче-

ски «оправдать» действие второго закона. Таким образом, ключевым моментом рассуждений выступают высокая специфичность, или особенность, самого состояния Вселенной в момент Большого взрыва и *исключительно малый* объем исходной области  $\mathcal{V}$  крупнозернистого разбиения, соответствующей природе в этот конкретный момент ее рождения.

Представление о специфичности Большого взрыва является центральной идеей данной книги, и в разделе 2.6 будет показано, насколько экстраординарными свойствами в действительности должен обладать этот момент времени. Для понимания глубоких загадок, связанных с основной идеей книги, мы должны отчетливо осознать всю необычность исходного состояния Вселенной. Однако мне хочется сразу отметить, что из факта необычности состояния нашей Вселенной в момент рождения в качестве естественного следствия немедленно вытекает второй закон термодинамики в наблюдаемой нами форме. Если же мы предполагаем, что во Вселенной отсутствует это необычное состояние (или другие *предельные* состояния с низким значением энтропии), то из этого сразу вытекает требование, тоже имеющее телеологический смысл. В этом случае эволюционная кривая Вселенной в «будущем» должна заканчиваться в какой-то

исключительно малой по размерам ячейке  $\mathcal{F}$  в пространстве  $\mathcal{P}$ . Лишь в этом случае наши рассуждения об увеличении энтропии с ростом времени (т. е. при движении «в будущее») становятся вполне обоснованными и осмысленными. Именно условие, что эволюционная кривая начинается в исключительно крошечной по размерам области  $\mathcal{V}$  крупнозернистого разбиения с очень низким значением энтропии, создает теоретическую основу для второго закона, действие которого мы реально наблюдаем в нашей Вселенной.

Прежде чем перейти к более подробному описанию особенностей Большого взрыва (этому посвящена часть 2 книги), нам необходимо дополнительно прояснить некоторые аспекты рассматриваемой задачи. Прежде всего, как уже упоминалось, тот факт, что существование второго закона не является чем-то таинственным, поскольку наш жизненный опыт (относительно увеличения энтропии с ростом времени) сам основан на субъективном восприятии хода времени. То есть мы всегда называем «будущим» то направление времени, которое соответствует возрастанию энтропии. Иными словами, если бы энтропия *уменьшалась* на некоторых отрезках времени  $t$ , то наше сознательное восприятие потока времени, возможно, стало бы проецировать события в обратном направлении. При этом

мы, может быть, полагали бы, что лишь небольшие отрезки времени  $t$  принадлежат тому, что мы считаем нашим «прошлым», а большая часть промежутков времени и событий относится к «будущему». Нам казалось бы, что параметр  $t$  иногда обращен противоположно нормальному течению времени для того, чтобы энтропия продолжала возрастать в соответствии с нашим восприятием будущего. Я хочу сказать, что наше психологическое восприятие хода времени таково, что мы воспринимаем в качестве «будущего» именно те процессы, при которых выполняется второй закон, независимо от физического направления изменения энтропии.

Приведенный довод о восприятии направленности времени является весьма сомнительным, поскольку нам, собственно, почти ничего не известно относительно физических предпосылок формирования сознания или жизненного опыта. Он не учитывает и того, что сама полезность понятия энтропии связана с тем, что наша Вселенная очень далека от теплового равновесия, вследствие чего ячейки ее крупнозернистого разбиения намного меньше объемов области  $\mathcal{R}_{\text{дх}}$ , которую наше сознание воспринимает в качестве настоящего. Кроме того, сам факт однородного увеличения или однородного уменьшения энтропии зависит от того, что один из концов

эволюционной кривой (но не оба конца сразу!) в фазовом пространстве находится в исключительно малой по объему ячейке разбиения. Довольно неожиданно выясняется, что объяснения требует именно условие попадания эволюционной кривой в крошечную ячейку  $\mathcal{V}$  крупнозернистого разбиения (содержащую в себе лишь очень малую долю возможных историй Вселенной), что вообще никак не учитывалось в предыдущих рассуждениях.

Часто приходится встречать утверждение (в некотором согласии с приведенными нами доводами), что выполнение второго закона является исключительно важной предпосылкой наличия жизни, так как живые существа (включая людей) могут развиваться во Вселенной (или в данную эпоху данной Вселенной) лишь при реализации условий второго закона, который выступает в роли необходимого фактора естественного отбора и т. п. Это утверждение можно отнести к так называемым антропогенным доводам, но оно не имеет значения для содержания этой части книги, вследствие чего я вернусь к его анализу позднее в разделе 3.2 (в конце) и 3.3. Стоит отметить лишь, что этот довод также весьма сомнителен, поскольку физические требования, связанные с процессом естественного отбора, мы сейчас представляем себе даже меньше, чем

упомянутые условия формирования опыта и зарождения сознания. Независимо от всего вышесказанного следует учесть, что даже если мы посчитаем естественный отбор важнейшей предпосылкой развития жизни (и, более того, даже дополнительно предположим, что именно второй закон является особо важным условием естественного отбора!), нам все равно придется еще объяснить, почему второй закон выполняется не только на Земле, но и во всей наблюдаемой Вселенной. Масштабы действия этого закона превышают любые человеческие представления о локальности условий (например, для галактик, удаленных от нас на миллиарды световых лет) и продолжительности существования феномена жизни на нашей планете.

Необходимо учесть также еще одно обстоятельство. Если мы не используем *предположение* о действии второго закона или возникновения Вселенной из исключительно специфичного начального состояния (или предположение о действии какого-то другого, но столь же глобального фактора!), то мы не имеем права говорить о «невероятности» возникновения жизни, т. е. не можем считать жизнь нарушением или отклонением от второго закона, так как этот закон выполнялся задолго до появления жизни. Следующая фраза может показаться читателю стран-

ной и противоречащей интуитивному восприятию: я думаю, что если существование второго закона *не предполагается* априори, то возникновение жизни по каким-то «природным» причинам (под этим можно подразумевать естественный отбор или любой другой кажущийся «естественным» фактор) становится намного *менее* вероятным, чем ее «чудесное» возникновение в результате случайных столкновений, приведших к зарождению жизни частиц или молекул! Для того чтобы понять, почему события развиваются именно таким образом, следует вновь проследить движение эволюционной кривой в фазовом пространстве  $\mathcal{P}$ . Рассмотрим еще раз ячейку  $\mathcal{L}$  крупнозернистого разбиения, соответствующую современному состоянию Земли (с избытком разных форм жизни), и попробуем понять, каким наиболее вероятным путем может возникнуть система в таком состоянии. Ясно (по аналогии с построенной ранее в разделе 1.5 последовательностью уменьшающихся по объему ячеек крупнозернистого разбиения ...  $\mathcal{R}_3', \mathcal{R}_2', \mathcal{R}_1', \mathcal{R}_0$ ), что наиболее вероятным вариантом достижения области  $\mathcal{L}$  является последовательность прохождения ячеек  $\mathcal{L}_3', \mathcal{L}_2', \mathcal{L}_1', \mathcal{L}$  с постоянно *уменьшающимся* объемом. Ряд этих ячеек будет представлять собой выходящий совершенно случайным телеологический ансамбль создания жизни,

который кажется странным по отношению к реальности, так как скорее *противоречит* второму закону, чем демонстрирует его выполнение. Иными словами, сам факт существования жизни вовсе не является аргументом в пользу полной справедливости второго закона.

Главный и последний вывод из приведенных рассуждений относится к понятию *будущего*. С одной стороны, действие второго закона в окружающем нас мире (и вытекающее из него ограничение на его исходное состояние) можно считать просто экспериментальным (наблюдаемым) фактом. Но точно таким же наблюдаемым фактом можно считать и *отсутствие* соответствующих ограничений на состояние Вселенной в очень отдаленном будущем. С другой стороны, разве мы знаем *достоверно* хотя бы что-нибудь относительно этого отдаленного будущего? Мы можем лишь констатировать, что в настоящее время нет никаких прямых данных об очень отдаленном будущем (мы еще вернемся к обсуждению этой проблемы в разделах 3.1, 3.2 и 3.4) и нет даже «намеков» на то, что поведение энтропии может неожиданно и резко измениться, после чего второй закон начнет действовать в обратном направлении. И в то же время я не вижу и причин, по которым мы должны полностью отвергать такую

возможность для окружающего нас мира. Конечно, после Большого взрыва прошло  $\sim 1,4 \cdot 10^{10}$  (14 млрд) лет, и за этот достаточно длительный период (см. разд. 2.1) второй закон не нарушался, т. е. эффекты «обратного» действия никогда не наблюдались. Однако стоит вспомнить, что этот период несравнимо меньше предполагаемого времени (эта проблема будет рассмотрена в разделе 3.1) общего существования Вселенной! Если развитие Вселенной действительно подразумевает условие, что эволюционная кривая должна непременно *заканчиваться* в очень малой по объему области  $\mathcal{F}$ , то на последних этапах эволюции должны начаться совершенно странные для нашего восприятия корреляции в изменениях состояния и взаимодействия частиц. Эти неожиданные изменения способны привести к телеологическому (т. е. целенаправленному) поведению вещества, которое может показаться нам столь же необычным, как и процесс самовосстановления разбитого яйца.

Рассмотренное условие о том, чтобы эволюционная кривая развития Вселенной в фазовом пространстве  $\mathcal{P}$  не только *начиналась* в какой-то очень небольшой ячейке  $\mathcal{B}$ , но и *заканчивалась* в очень малой ячейке  $\mathcal{F}$ , не противоречит динамическим законам, например законам механики

Ньютона. Конечно, число таких кривых значительно меньше числа тех, которые только начинаются в ячейке  $\mathcal{B}$ , но нам уже привычна мысль о том, что и число начинающихся в области  $\mathcal{B}$  кривых описывает лишь очень малую часть полного набора вероятностей (по крайней мере, для окружающей нас Вселенной). Указанное дополнительное ограничение (кривая должна начинаться и заканчиваться в исключительно малых по объему ячейках крупнозернистого разбиения) делает число таких эволюционных кривых совершенно ничтожным, но вовсе не изменяет их теоретико-логического статуса, вследствие чего мы не имеем права исключать их из рассмотрения. При таком подходе на ранних стадиях развития Вселенной действие второго закона не должно отличаться от привычного, однако в дальнейшем, на самых последних этапах, мы можем столкнуться с *обращенным* по времени действием второго закона (возможно, его следует называть *обратным* вторым законом?), при котором энтропия действительно будет непрерывно *уменьшаться* с ростом времени.

Иными словами, я не исключаю полностью вероятность того, что второй закон может неожиданно изменить «направленность» своего действия на противоположное, однако хочу подчеркнуть, что это предположение не является принципиальным для основной идеи, предлагаемой в данной книге. Хотя нет никаких экспериментальных свидетельств или даже «намёков» на изменение действия (или направленности) второго закона, сама такая возможность формально не является абсурдной, и наша мысль должна быть открыта для рассмотрения самых экзотических вариантов таких изменений. В части 3 мной будет предложена еще одна идея, восприятие которой потребует от читателя еще большей смелости для отказа от существующих точек зрения. Но я хочу со всей определенностью еще раз отметить, что предлагаемые мной идеи основаны на весьма разумных и надежных фактах, наблюдаемых в окружающей нас Вселенной. Прежде всего в следующей части я ознакомлю читателя с теми реальными данными, которые известны науке относительно Большого взрыва.

## Часть 2

# Необычная сущность Большого взрыва

### 2.1. Наша расширяющаяся Вселенная

Термин «Большой взрыв» (Биг-бэнг, Big Bang) известен почти каждому, но давайте вспомним, что мы в действительности знаем об этом событии. Считается, что именно в результате Большого взрыва возникла вся наша Вселенная, но существуют ли прямые доказательства этого изначального события? Еще один вопрос сразу вытекает из содержания предыдущей части книги: каким образом столь немислимо масштабное и «горячее» (во всем множестве тех ярких значений и оттенков, которые соответствуют *hot* в английском языке) событие смогло начаться и осуществиться из состояния с исключительно малой, *ничтожной* по величине энтропией?

Сама идея о том, что наша Вселенная возникла в результате какого-то невероятного взрыва, развилась после опубликования очень убедительных результатов наблюдений, осуществленных знаменитым

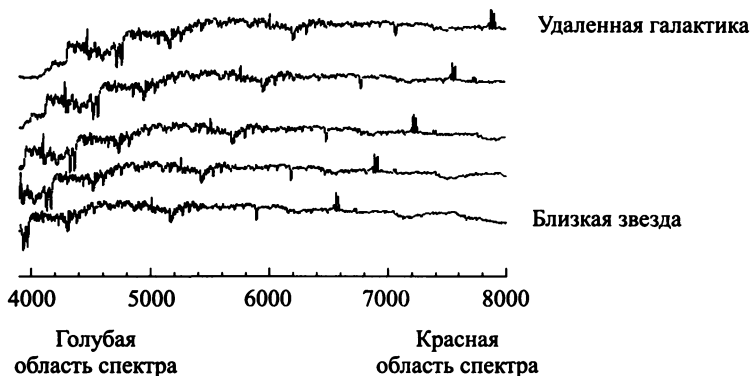
американским астрономом Эдвином Хабблом, которые и демонстрируют факт очевидного *расширения* наблюдаемой нами Вселенной. Это произошло в 1929 году, хотя косвенные свидетельства расширения Вселенной были представлены еще в 1917 году Весто Слифером, а полученные Хабблом результаты лишь доказывали, что далекие галактики «разбегаются» в пространстве, причем скорость разлета оказалась примерно пропорциональной их расстоянию от Земли. На основе этих данных (т. е. просто из расчета движения звезд и галактик в обратном направлении) легко возникла модель, в которой вся наблюдаемая Вселенная возникла сразу, в единый момент времени. Это событие приводит к идее о немислимо мощном разлете материи (что, естественно, и было названо Большим взрывом), в результате которого возник весь окружающий мир, существование которого мы наблюдаем и изучаем. Весьма многочисленные и детальные последующие

наблюдения и эксперименты (отдельные из них кратко обсуждаются далее) в основном подтвердили и укрепили исходные положения теории Хаббла.

Главные выводы Хаббла были основаны на регистрации так называемого *красного смещения* (сдвига положений спектральных линий в излучении далеких галактик), и сам термин «красный сдвиг» означал лишь факт смещения к красной области спектра излучения разных видов атомов, входящих в состав наблюдаемых галактик, как показано на рис. 2.1. Явление однородного сдвига частот полностью объясняется в рамках известного в классической физике *эффекта Доплера* [2.1],

в соответствии с которым частота излучения от удаляющегося объекта уменьшается. Красный сдвиг сильнее проявляется в спектре более далеких галактик, что очень хорошо согласуется с предложенной Хабблом общей картиной пространственно-однородного, изотропного «разбегания» звезд, т. е. общего расширения Вселенной.

В последующие годы было проведено множество уточняющих экспериментов (с самой разной интерпретацией их результатов), во многом подтвердивших исходную теорию Хаббла в ее общих положениях, но одновременно показавших, что детальное распределение скоростей рас-



**Рис. 2.1.** Красный сдвиг в спектре далекой галактики, соответствующий известному в физике эффекту Доплера

ширения вещества Вселенной носит очень сложный характер. В соответствии со считающейся общепринятой картиной (сразу отмечу, что существуют и иные точки зрения [2.2], представленные в некоторых публикациях), ситуация достаточно убедительно выглядит следующим образом. Приблизительно  $1,37 \cdot 10^{10}$  лет назад все вещество Вселенной было каким-то образом сосредоточено в некой исходной точке, которую и стали идентифицировать с Большим взрывом (Big Bang) [2.3].

При этом не стоит даже размышлять о том, был ли Большой взрыв локализован в какой-то конкретной области пространства, поскольку (по мнению большинства космологов и в соответствии с общей теорией относительности Эйнштейна) понятие Большого взрыва подразумевает все физическое *пространство*, а не только его материальное содержимое. То есть пространство в этот момент могло иметь, в каком-то сложном смысле, совершенно ничтожные размеры. Более подробно и серьезно эта явно неоднозначная ситуация рассмотрена в разделе 2.2, посвященном искривленности пространства в общей и специальной теориях относительности, а сейчас давайте рассмотрим часто используемую модель раздуваемого резинового шарика. Вселенная в обсуждаемых нами случаях расширяется подобно поверхно-

сти такого шарика, в результате чего ни в один момент времени для такой системы нельзя указать конкретной точки, выступающей в качестве центра, относительно которого происходит само расширение. Разумеется, читатель может возразить, что раздувающийся резиновый шарик всегда обладает таким «центром расширения», но на это можно ответить, что этот центр располагается внутри шарика. Поэтому, строго говоря, такой центр не является *частью* самой поверхности шарика и просто не относится к рассматриваемой системе в целом (напомним, что поверхность шарика описывает всю пространственную геометрию Вселенной).

*Наблюдаемое реально* расширение Вселенной во времени, в соответствии с нашими рассуждениями, в действительности прекрасно согласуется с уравнениями общей теории относительности, но лишь при условии введения в теорию двух важных факторов, получивших в последние годы несколько неудачные названия «темной материи» и «темной энергии» [2.4]. Роль этих параметров очень важна для задач, которые я буду подробнее обсуждать в подразделах 3.1 и 3.2. Упомянутые термины за последние годы стали привычными для современной космологии, однако стоит особо подчеркнуть, что их использование и трактовка вовсе

не являются общепризнанными с точки зрения всех экспертов в данной области [2.5]. Лично я счастлив тем, что признаю *одновременно* как существование в природе пока неизвестной нам формы вещества в виде «темной материи» (составляющей не менее 70 % от массы Вселенной), так и справедливость уравнений общей теории относительности, причем в *модифицированной* в 1917 году самим Эйнштейном формулировке. Напомню, что в своей работе Эйнштейн ввел в уравнения очень небольшую положительную константу  $\Lambda$  (названную *космологической постоянной*), которая и соответствует наиболее вероятной форме «темной энергии» Вселенной (для полноты картины сразу отмечу, что позднее он сам отказался от этой формулировки!).

Необходимо сразу подчеркнуть, что расчеты по общей теории относительности Эйнштейна (независимо от того, учитывается или не учитывается в ней упомянутая космологическая постоянная  $\Lambda$ ) в настоящее время подтверждаются с огромной точностью. Теорию применяют при решении самых разных задач, вплоть до определения координат объектов в популярной сейчас системе глобального спутникового позиционирования GPS. При использовании общей теории относительности для моделирования поведе-

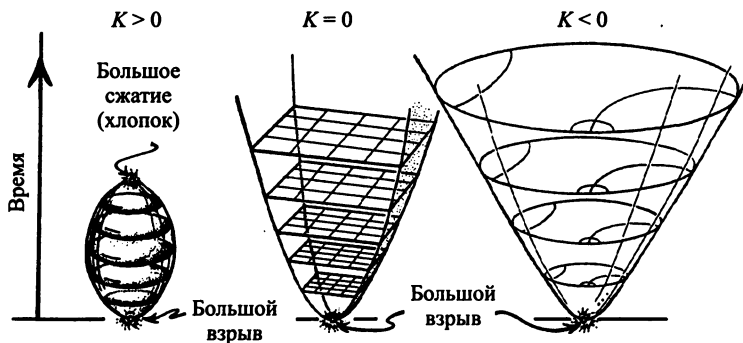
ния так называемых двойных пульсаров достигается совершенно фантастическая точность  $1 : 10^{14}$ . Это означает, например, что синхронизация сигналов от известной системы пульсара PSR-1913 + 16 (бинарная система [2.6] с периодом обращения около 40 лет) может моделироваться с точностью  $10^{-6}$  с/год.

Самые первые космологические модели, основанные на общей теории относительности, были предложены в 1922 и 1924 годах российским математиком Александром Фридманом. На рис. 2.2 я схематически изобразил пространственно-временную эволюцию вселенной (точнее, трех вселенных в соответствии с тремя вариантами моделей Фридмана) при равной нулю космологической постоянной  $\Lambda$ . Три варианта связаны с тремя возможными значениями *пространственной* кривизны (положительное, равное нулю и отрицательное [2.7]). На этом и на всех последующих рисунках вертикальная ось соответствует *времени*, а горизонтальная — *пространству*, причем геометрия самого пространства во всех случаях предполагается совершенно однородной, т. е. гомогенной и изотропной. Космологические модели с таким типом симметрии в общем случае обозначают аббревиатурой FLRW (Friedmann–Lemaitre–Robertson–Walker). Исходные модели Фридмана представляют собой их частный случай, а описы-

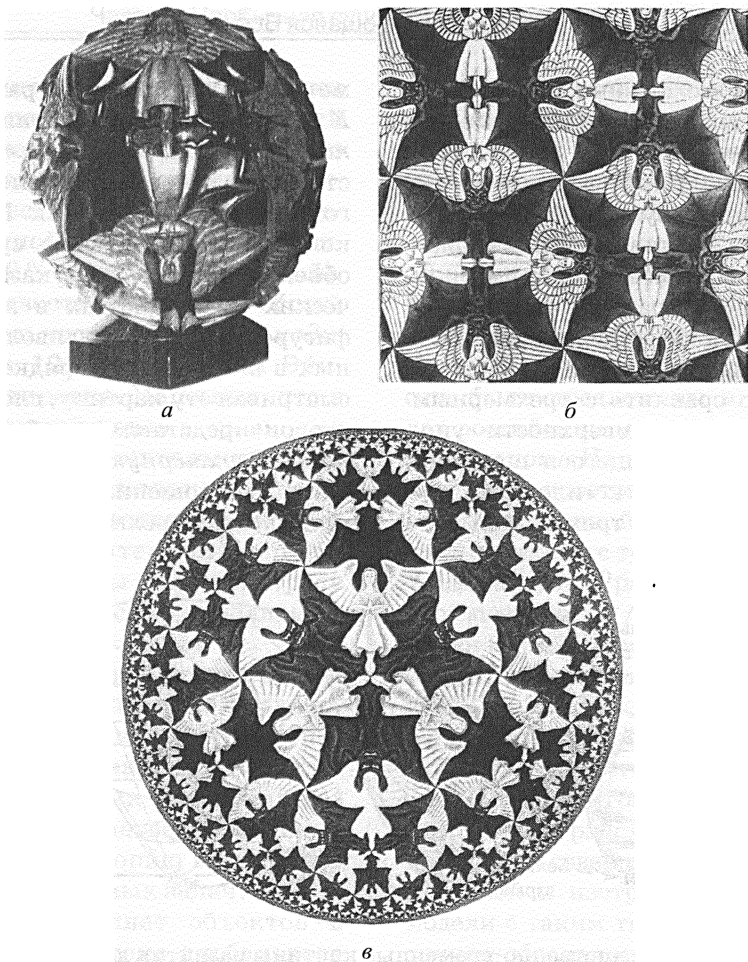
ваемое ими вещество физики сравнивают с *несжимаемой жидкостью* или даже с «пылью» (см. далее разд. 2.4).

Особенно важно [2.8], что, согласно этим моделям, существуют лишь три показанных на рис. 2.3 принципиально разных варианта пространственной геометрии окружающего нас мира, причем значение  $K > 0$  соответствует положительной кривизне пространства (геометрию такой вселенной можно сравнить с трехмерным аналогом сферической поверхности упомянутого ранее раздувающегося шарика), значение  $K = 0$  относится к «плоской» модели (т. е. привычной нам трехмерной гео-

метрии евклидова пространства), а случай  $K < 0$  описывает пространство с *трехмерной гиперболической геометрией*. К счастью для меня и читателей, знаменитый голландский художник Морис К. Эшер когда-то очень красиво сумел изобразить объекты во всех трех указанных геометрических пространствах в виде мозаики из фигурок ангелов и дьяволов, расположенных в шахматном порядке (рис. 2.3). Рассматривая эту картину, следует учитывать, что он представляет собой, однако, всего лишь *двухмерную* проекцию геометрических соотношений, реально существующих лишь в трехмерном пространстве.



**Рис. 2.2.** Пространственно-временные картины развития для космологических моделей Фридмана с разными коэффициентами пространственной кривизны вселенной (положительный, равный нулю и отрицательный — слева направо)



**Рис. 2.3.** Три основных типа однородной геометрии плоскости, иллюстрируемые рисунками Мориса К. Эшера: *а* — эллиптическая (положительная кривизна,  $K > 0$ ); *б* — евклидова (плоская модель,  $K = 0$ ) и *в* — гиперболическая (отрицательная кривизна,  $K < 0$ ). Copyright M. C. Escher Company (2004)

Все три модели возможной геометрии пространства возникают вследствие сингулярности исходного состояния Большого взрыва (слово «сингулярность» означает, что в этом состоянии или в этой точке значения плотности вещества и кривизны геометрии самого пространства-времени имеют бесконечные значения). В такой ситуации уравнения Эйнштейна (и вся теоретическая физика, насколько я ее знаю и понимаю) приобретают особый, сингулярный характер, что обсуждается в разделе 2.4. Стоит особо отметить, что временное поведение перечисленных моделей во многом отражает заложенные в них пространственные зависимости. Например, пространственно-конечная модель с  $K > 0$  на рис. 2.3, *a* одновременно является *конечной* по времени, так как в этой модели присутствует не только исходное состояние Большого взрыва, но и некоторое конечное состояние, обычно называемое Большим сжатием или Большим хлопком (Big Crunch). Вселенные для двух других рассматриваемых вариантов (с кривизной  $K \geq 0$ , как на рис. 2.3, *b*, *в*) бесконечно расширяются не только в пространстве [2.9], но и во времени.

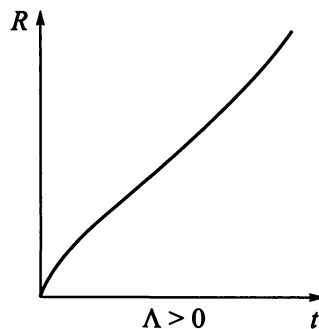
Примерно в 1998 году две группы исследователей (возглавляемые Саулом Перлмуттером и Брайаном П. Шмидтом), анализируя результаты своих наблюде-

ний над взрывами очень далеких сверхновых звезд [2.10], пришли к выводу, что расширение Вселенной на последней стадии плохо согласуется с предсказаниями стандартной космологической теории Фридмана, показанными на рис. 2.2. Расчеты свидетельствовали скорее о том, что процесс расширения нашей Вселенной начинает ускоряться, причем это ускорение может быть учтено в рамках теории Эйнштейна лишь при введении в уравнения космологической постоянной  $\Lambda$ , имеющей небольшое положительное значение. Эти и похожие на них другие последующие наблюдения разного рода [2.11] стали убедительными свидетельствами начала *экспоненциального расширения* в рамках модели Фридмана с постоянной  $\Lambda > 0$ . Причем такое экспоненциальное расширение происходит не только в вариантах теории с  $K \leq 0$  (предсказывающих бесконечное расширение Вселенной в далеком будущем), но и в пространственно-замкнутых моделях при  $K > 0$ , если значение постоянной  $\Lambda$  позволяет преодолеть тенденцию к обратному коллапсу (recollapse), кстати, характерному для всех замкнутых моделей фридмановского типа. В то же время некоторые данные указывали на возможность того, что постоянная  $\Lambda$  в уравнениях Эйнштейна может быть достаточно большой, вследствие чего даже

значение и знак величины  $K$ , определяющей кривизну пространства в теории, вдруг становятся в этих моделях несущественными. То есть они слабо влияют на скорость расширения Вселенной, так как при достаточно большом (положительном) значении константы  $\Lambda$  именно последняя становится доминирующим фактором в уравнениях, определяющим поведение системы на поздних фазах развития и обеспечивающим экспоненциальное расширение независимо от значений  $K$  (в разумных пределах времени наблюдения). Таким образом, мы должны получить описание Вселенной, скорость расширения которой в основном соответствует кривой рис. 2.4, в то время как картина ее пространственно-временной эволюции соответствует рис. 2.5.

С учетом выше сказанного, я не буду подробно обсуждать различия между разными вариантами пространственной геометрии Вселенной, тем более что новейшие данные свидетельствуют о том, что она ближе всего к «плоской» модели с кривизной, очень близкой к значению  $K = 0$ , что в некотором смысле можно назвать несчастьем для физиков-теоретиков. Дело в том, что именно в этом случае нельзя точно рассчитать общие характеристики эволюции Вселенной и выяснить, является ли она пространственно-замкну-

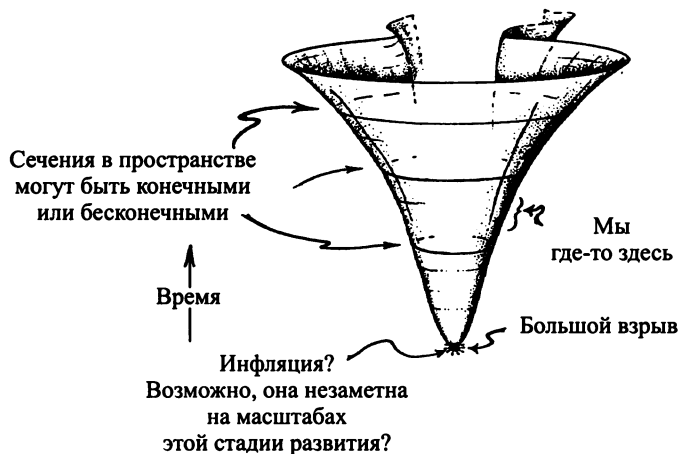
той, ограниченной, бесконечной в пространстве и т. д. Ответы на эти важнейшие теоретические вопросы зависят от конкретных и очень малых по абсолютной величине (неясно даже, положительных или отрицательных по знаку) значений общей кривизны пространства  $K$ . Но тем не менее наблюдаемые свидетельства «плоскостности» модели Вселенной вполне устраивают многих космологов, которые считают, что модная теория космической инфляции содержит убедительную основу в пользу того, что геометрия пространственной Вселенной действительно является «плоской» ( $K = 0$ , возможно, с небольшими локальными отклонениями). Под *космической инфляцией* подразуме-



**Рис. 2.4.** Скорость экспоненциального расширения Вселенной при положительном значении космологической константы  $\Lambda$

вают гипотезу, что возникшая Вселенная в очень короткий период времени (примерно от  $10^{-36}$  до  $10^{-32}$  секунд после Большого взрыва) расширялась с экспоненциально возрастающей скоростью. В результате этого к концу указанного периода ее линейные размеры чудовищно увеличились, а объем возрос примерно в  $10^{30}$  или даже в  $10^{60}$  раз! Я вернусь к обсуждению проблемы космической инфляции позже, в разделе 2.6, а сейчас хочу сразу предупредить читателей, что я лично отношусь к этой идее без особого энтузиазма несмотря

на то, что она считается почти общепризнанной в современной космологии. Отмечу, что в любом случае существование инфляционной стадии на раннем этапе истории Вселенной не влияет на общий характер эволюции по предложенным на рис. 2.2 и 2.5 моделям, так как эффекты инфляции должны проявляться только в самом начале процесса развития. Такие эффекты вообще не должны быть «заметны» на временных масштабах, соответствующих некоторым из показанных на рисунках процессов. Более того, для объ-



**Рис. 2.5.** Пространственно-временная эволюция Вселенной при положительном значении  $\Lambda$  в предположении, что общая картина не зависит от величины коэффициента  $K$

яснения многих наблюдаемых явлений я предлагаю новые идеи, представляющие собой вполне разумную *альтернативу* инфляционной гипотезе, которая, на мой взгляд, очень сильно зависит от популярных в данный момент космологических схем и теорий (см. разд. 3.5).

Независимо от всех этих соображений у меня есть еще один повод вернуться к рассмотрению показанной на рис. 2.3, *в* иллюстрации, которая очень важна для последующего изложения. На этой прекрасной гравюре М. Эшера фактически представлен сугубо частный случай гиперболической плоскости, введенной в математику выдающимся итальянским геометром Э. Бельтрами в 1868 году [2.12]. Открытое им преобразование было через 14 лет повторно найдено великим французским математиком Анри Пуанкаре, с именем которого его обычно связывают. Во избежание дальнейшей терминологической путаницы я ниже буду называть такую операцию конформным отображением (или преобразованием) гиперболической плоскости, причем термин «конформный» в этом случае означает, что в данной геометрии все *углы* изображений совершенно точно отображаются на плоскости в евклидовом пространстве. Более подробно некоторые детали конформной геометрии рассматриваются в разделе 2.3.

Образно говоря, в рамках представленной на рисунке гиперболической геометрии (рис. 2.3, *в*) все черты являются *конгруэнтными* по отношению друг к другу как, впрочем, и все изображенные там ангелы!\* Конгруэнтность означает, что их *размеры*, определяемые в соответствии с лежащей в основе рисунков евклидовой геометрией (точнее, ее мерой), становятся все более малыми и близкими друг к другу по мере приближения к круговой границе области описываемого преобразования. При этом столь же важно, что

---

\* Оригинальное название картины Эшера — «Предел — круг IV (Рай и ад)». Размер компонентов уменьшается по мере центробежного движения к краям рисунка. Самые большие формы (три белых ангела и три черных дьявола) при этом расходятся лучами от центра, причем изображение делится на шесть секторов, где попеременно доминируют ангелы на черном фоне и дьяволы — на белом. Рай и ад меняются на рисунке шесть раз, причем в промежуточных (земных) стадиях они подобны друг другу. Перефразируя известную английскую поговорку о дьяволе, который всегда прячется в деталях, можно отметить, что на данной картине углы для ангелов и дьяволов вообще отсутствуют. В английском тексте Р. Пенроуза при этом возникает забавная игра слов *angels* и *angles*, которая в русском отражается лишь слабым созвучием слов *ангел* и *углы*. — *Прим. перев.*

углы на изображениях ангелов остаются абсолютно одинаковыми. В то же время по мере приближения к границе все размеры становятся бесконечными малыми (как говорят математики, инфинитезимальными). Круговая граница или сфера сама по себе в этой ситуации и данной геометрии символизирует предельный переход к бесконечности. Забегая вперед, отмечу, что именно это обстоятельство играет важнейшую роль в идеях и представлениях, которые я буду излагать далее, особенно в разделах 2.5 и 3.2.

## 2.2. Всепроникающее фоновое излучение

В середине прошлого столетия в астрофизике общепризнанной считалась *модель стационарного состояния Вселенной*, предложенная в 1948 году Томасом Голдом и Германом Бонди, а затем детально разработанная Фредом Хойлом [2.13]. В соответствии с ней вещество Вселенной само непрерывно возникало в пространстве, хотя и с очень малой скоростью. Материя рождалась в вакууме Вселенной в виде атомов водорода (представляющих собой просто сочетание одного протона с одним электроном), причем в каждом кубическом метре пространства один атом

водорода возникал только за тысячу миллионов лет. Именно эта, кажущаяся ничтожной, скорость оказывалась достаточной для того, чтобы плотность вещества во Вселенной не уменьшалась по мере ее расширения.

Во многих отношениях, особенно с точки зрения философии и эстетики, такая модель является очень привлекательной и удобной. Для описываемой этой гипотезой Вселенной не требуется нахождения причины ее возникновения или какого-то начала в пространстве и времени, а многие свойства природы могут быть объяснены особенностями процесса самораспространения. Все вышеперечисленные ученые работали в Кембридже, поэтому неудивительно, что я слышал об этой модели еще в 1952 году, будучи студентом, когда занимался чистой математикой, хотя уже тогда меня интересовали задачи физики и космологии [2.14]. В 1956 году я стал работать в Кембридже, где мне повезло познакомиться со всеми тремя главными авторами модели (в то время я по-прежнему находил ее вполне обоснованной и удачной). Затем, к концу моего пребывания в Кембридже, были опубликованы подробные данные наблюдений далеких галактик, полученные сэром Мартином Райлом (тоже из Кембриджа) в известной обсерватории Millard Radio,

которые серьезно и вполне убедительно *противоречили* модели стационарного состояния Вселенной [2.15].

Однако окончательным, «смертельным» ударом для этой модели стало обнаружение американскими учеными Арно Пензиасом и Робертом В. Уилсоном в 1964 году ставшего широко известным микроволнового электромагнитного излучения, однородного по всем направлениям космического пространства. Существование такого излучения было предсказано в конце 1940-х годов Георгием Гамовым и Робертом Дике на основе теории, получившей позднее название Большого взрыва. Предполагалось, что излучение, связанное с Большим взрывом, должно постепенно остывать (от примерно 4 000 К до нескольких градусов выше абсолютного нуля температур [2.16]) вследствие чрезвычайно мощного проявления эффекта красного смещения, обусловленного чудовищным расширением Вселенной после исходного взрыва. Когда Пензиас и Уилсон с трудом удостоверились, что обнаруженное ими излучение с температурой примерно 2,725 К действительно равномерно пронизывает весь космос, они связались с Дике, который объяснил им, что именно оно было предсказано Гамовым. Излучение получило несколько разных названий (реликтовое, трехмерное фоновое и т. п.), но по-англий-

ски его обычно обозначают аббревиатурой СМВ (cosmic microwave background) [2.17]. За его открытие Пензиас и Уилсон были удостоены Нобелевской премии по физике.

Наблюдаемое нами сейчас реликтовое излучение СМВ, естественно, состоит из фотонов, источником которых в действительности является не сам Большой взрыв, а так называемая поверхность последнего рассеяния, возникшая примерно через 379 000 лет после него (1/36 000 возраста Вселенной). До этого момента Вселенная была непрозрачна для электромагнитного излучения, так как составлявшие ее вещество многочисленные частицы (главным образом, протоны и электроны) находились в состоянии, которое физики называют плазмой. В это время фотоны могут многократно рассеиваться, поглощаться и излучаться частицами, и это «туманное» состояние Вселенной длилось до момента «обособления», или разделения, вещества и излучения, после чего Вселенная охладилась настолько, что электроны и протоны начали интенсивно рекомбинировать. На этом этапе, соответствующем первым минутам существования Вселенной, начинают формироваться атомы водорода и некоторых других веществ, например гелия (составляющего примерно 23 % общей массы), ядро которого представляет собой

так называемые  $\alpha$ -частицы. После этого Вселенная становится прозрачной для излучения, поскольку фотоны, как говорят физики, обособляются от этих нейтральных атомов и начинают двигаться между ними беспрепятственно, в результате чего и возникает реликтовое излучение, которое мы сейчас обозначаем аббревиатурой СМВ.

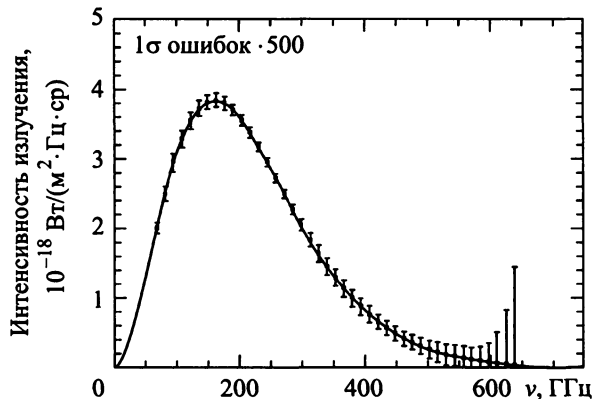
Начиная с 60-х годов прошлого столетия, осуществлялось множество экспериментов, относящихся к природе и форме распределения излучения СМВ. Был не только получен огромный объем новой и важной информации, но произошло даже существенное изменение самой космологии. До этого она выглядела наукой с большим числом теоретических построений, но очень малой базой фактов. Сейчас же космология превратилась в *точную науку*, но с тем же большим числом разнообразных соображений разного толка, которые могут быть обоснованы огромным объемом различных данных, позволяющих легко объяснить любую предлагаемую гипотезу! Особенно ценные измерения были осуществлены с использованием запущенного в ноябре 1989 года известного спутника СОВЕ (Cosmic Background Explorer), проводившие их Джордж Смут и Джон Матер в 2006 году удостоились Нобелевской премии по физике.

Я бы хотел обратить внимание читателей на два важных и неожиданных результата, полученных при измерениях параметров реликтового излучения с использованием спутника СОВЕ. Во-первых, было обнаружено, что спектр излучения СМВ поразительно похож на предложенный в начале прошлого века Максом Планком знаменитый спектр излучения черного тела, с чего, собственно говоря, и началась история квантовой механики. Во-вторых, измерения показали удивительную однородность излучения СМВ по всем направлениям. Каждый из этих двух фактов является фундаментальным для понимания как природы Большого взрыва, так и его неожиданной и странной связи со вторым законом термодинамики. Эти особенности излучения весьма важны для современной космологии, в которой все большее внимание уделяется именно очень небольшим и тонким *отклонениям* от однородности спектра СМВ (они также были зарегистрированы экспериментально). Я вернусь к этой проблеме позднее, в разделе 3.6, а сейчас только отмечу два других столь же поразительных факта, которые имеют важное значение для всего дальнейшего изложения.

На рис. 2.6 представлен частотный спектр излучения СМВ, полученный вначале с использованием аппаратуры спут-

ника COBE, а затем подтвержденный и существенно уточненный в последующих измерениях. Приведенная на рисунке кривая представляет собой зависимость интенсивности излучения СМВ (отложена по вертикальной оси) от частоты (отложена по горизонтальной оси с возрастанием, как обычно, вправо). Сплошная линия является зависимостью для изучения черного тела, описанного знаменитой и имеющей достаточно специфический вид формулы Планка [2.18], которая в квантовой

механике характеризует спектр излучения физического тела с температурой  $T$  при тепловом равновесии. Стоит подчеркнуть, что длины небольших вертикальных отрезков (обозначающие, как принято, пределы ошибок экспериментальных измерений) на представленном рисунке увеличены примерно в 500 раз (!), что подчеркивает особую точность *реальных* измерений в современной астрофизике. Я хочу сказать, что совпадение кривой Планка с данными экспериментальных



**Рис. 2.6.** Частотный спектр микроволнового фонового излучения СМВ, полученный с использованием спутника COBE, и соответствующие спектры, полученные позднее с использованием гораздо более точных методик измерения. Длины небольших вертикальных отрезков (обозначающие, как обычно, пределы ошибок экспериментальных измерений) на рисунке увеличены примерно в 500 раз, так что совпадение теоретических и экспериментальных результатов выглядит поразительно точным

наблюдений является столь точным, что его практически нельзя оценить невооруженным глазом на обычном рисунке, даже в его правой, длинноволновой области, где эти ошибки кажутся особенно заметными. Дело в том, что в этих масштабах теоретическая кривая соответствует экспериментально регистрируемому спектру с фантастической точностью, превышающей толщину линии на рисунке! Еще раз отмечу, что подобие этих двух кривых (формы реально существующего и регистрируемого в космосе спектра излучения СМВ с расчетом по формуле Планка для излучения абсолютно черного тела) является одним из наиболее точных совпадений в науке вообще!

О чем свидетельствуют все эти результаты? Прежде всего ясно, что мы сталкиваемся с состоянием, которое исключительно точно (если угодно, эффективно) соответствует термическому равновесию. Проблема состоит в том, что непонятно, о каком именно термическом равновесии идет речь в данном случае, и поэтому я прошу читателя еще раз взглянуть на рис. 1.15, где состояние теплового равновесия системы представлено в виде той области крупнозернистого разбиения фазового пространства, которая выглядит наиболее крупной, иными словами, соответствует области с *максимумом* энтропии. При этом, однако, нам следует вспомнить

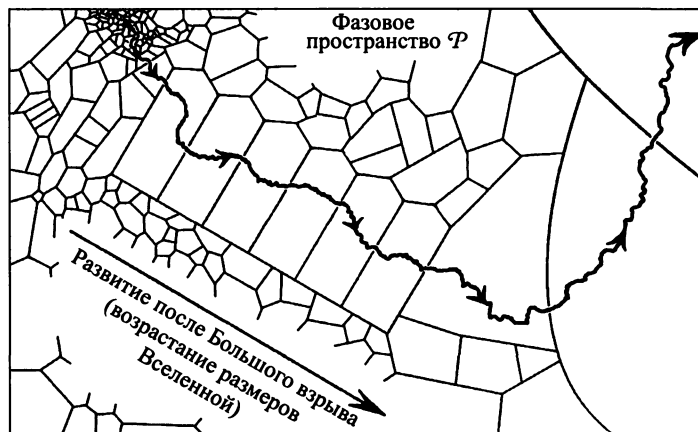
об изложенных в разделе 1.6 аргументах, в соответствии с которыми все обоснования второго закона термодинамики могут быть связаны лишь с тем, что исходное состояние Вселенной (то самое, которое мы реально воспринимаем в качестве Большого взрыва) в некотором «макроскопическом» смысле должно обладать исключительно *ничтожной* по величине энтропией. На самом же деле мы неожиданно обнаруживаем нечто совершенно противоположное, поскольку наблюдаемая Вселенная вдруг представляет собой именно (макроскопическое) состояние с *максимальным* значением энтропии!

Конечно, необходимо отметить, что мы говорим сейчас о расширяющейся Вселенной, состоянии которой, строго говоря, нельзя называть «равновесным», но я поясню, что в действительности речь идет о так называемом *адиабатическом* расширении. Физический смысл термина «адиабатический» заключается в том, что система движется в фазовом пространстве посредством обратимых изменений, при которых энтропия не меняется. На возможность реализации такого «термического состояния» для ранних стадий расширения Вселенной указал в 1934 году Р. С. Толмен [2.19], идеи которого обсудим позже, в разделе 3.3. Ранее я ссылался на рис. 1.15, однако траектория движения системы в фазовом пространстве для данной

ситуации скорее напоминает ту, которая показана на рис. 2.7, когда расширение описывается последовательностью ячеек крупнозернистого разбиения с максимальной энтропией и одинаковыми значениями объемов. Понятно, что в некотором смысле такой процесс может быть назван особым вариантом теплового равновесия.

Таким образом, и в этой модели мы продолжаем какие-то поиски *максимума* энтропии, хотя уже можно отметить некую серьезную слабость или даже ошибку в используемых аргументах. Дело совсем не в том, что экспериментальные наблю-

дения Вселенной постоянно приводят к поразительным результатам, — так, часто новейшие данные, в некотором смысле, отлично согласуются с нашими ожиданиями. Реальная проблема состоит в том, что если Большой взрыв действительно существовал и происходил в соответствии со стандартными представлениями (т. е. в рамках современной космологической модели, основанной на общей теории относительности), то следовало бы ожидать, что его исходное состояние было исключительно «горячим» и исключительно однородным! Более того, это состояние должно



**Рис. 2.7.** Адиабатическое расширение Вселенной, описываемое последовательностью ячеек крупнозернистого разбиения с максимальной энтропией и одинаковыми значениями объемов

было как-то сохраняться! Мы вновь сталкиваемся с загадкой энтропии, о которой речь шла в начале этой части книги. Как же решить эту головоломку? Удивительно, но имеющиеся данные заставляют *предположить*, что Вселенная развивалась именно в соответствии со стандартными представлениями не общей, а специальной теории относительности! Ниже мы тщательно обсудим эту возможность и связанные с ней обстоятельства.

Во-первых, нам следует вспомнить, что, собственно говоря, представляет собой общая теория относительности Эйнштейна. Прежде всего она является исключительно точной теорией именно *гравитации*, связывающей тяготение с искривлением пространства-времени. Далее я выскажу массу вещей относительно этой теории, а пока лишь прошу читателя вспомнить о гораздо более старой, но также исключительно точной теории гравитации, а именно *теории Ньютона*, и попробовать соотнести эту теорию, хотя бы в самых общих чертах, со вторым законом *термодинамики*. Я не шучу, это не игра со словом «второй», так как я действительно сопоставляю гравитационную теорию Ньютона не с его знаменитым вторым законом механики, а именно со вторым законом термодинамики!

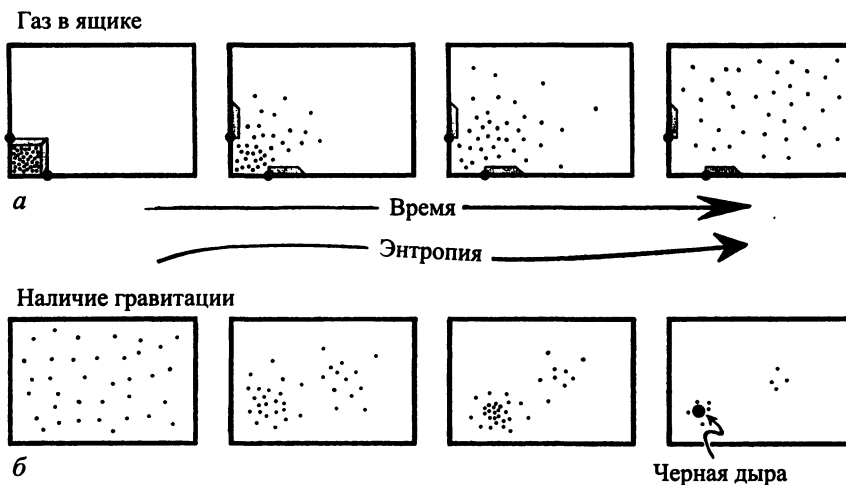
Обычно все авторы начинают рассуждения об этом втором законе с рассмотрения

поведения газа, заключенного в некотором замкнутом объеме (ящике), поэтому, следуя традиции, я предлагаю приступить к обсуждению поведения газа в очень небольшом «отсеке» где-то в углу этого ящика. Предположим, что отсек внезапно открывается, после чего, естественно, как и следовало ожидать, молекулы газа начинают свободно передвигаться, быстро и равномерно заполняя весь объем ящика, как показано на рис. 2.8, *a*. В результате этого процесса, в полном соответствии со вторым законом термодинамики энтропия всей системы быстро возрастает (относительно исходного состояния, когда весь газ был сконцентрирован в начальном отсеке). А теперь представьте себе ту же ситуацию, в которой, однако, воображаемый общий объем, или ящик, имеет галактические размеры (!), а роль отдельной молекулы газа играют звезды,двигающиеся внутри такого немислимо огромного ящика! Разница между ситуациями, разумеется, не сводится только к различию масштабов описываемых процессов, так как я даже полагаю, что размеры в данном случае вообще не являются определяющими параметрами, т. е. играют незначительную роль. Наиболее важным фактом выступает то, что звезды в описываемой ситуации начнут *притягиваться* друг к другу благодаря неумолимым силам гравитации. Мы можем

представить себе, что звезды в *исходном состоянии* были распределены совершенно однородно и равномерно внутри этого воображаемого ящика галактических размеров, но при учете тяготения с течением времени мы должны будем неизбежно заметить некоторую тенденцию звезд к «слипанию», а также просто к ускорению их движения и т. п. При этом однород-

ное распределение звезд *перестает* соответствовать максимальному значению энтропии всей системы, так как слияние, или объединение, звезд также будет приводить к росту общей энтропии системы, как показано на рис. 2.8, б.

Читатель вправе спросить, а что же в данной ситуации является аналогом состояния теплового равновесия, которому



**Рис. 2.8.** В исходном состоянии газ находится в небольшом отсеке (левый нижний угол), а затем молекулы получают возможность свободно двигаться и равномерно распределяются по всему объему (а); внутри ящика галактических размеров звезды в начальном состоянии однородно распределяются по всему объему, но затем начинают образовывать скопления, в результате чего равномерное распределение перестает быть единственным состоянием с максимальной энтропией (б)

и должно соответствовать максимальное значение энтропии системы? На этот вопрос нельзя дать однозначный ответ в рамках механики Ньютона, поскольку если мы рассматриваем систему из массивных частиц (притягивающихся друг к другу с силой, обратно пропорциональной квадрату расстояния между ними), то такие частицы, по-видимому, должны образовывать все более крупные кластеры, непрерывно ускоряясь и сближаясь. Если нам неизвестны ограничения на размеры кластеров и скорость движения, то в такой системе просто не может существовать какое-то состояние, которое можно назвать термически равновесным. Данная ситуация гораздо лучше описывается теорией гравитации не Ньютона, а Эйнштейна, так как в последней теории для кластеров можно указать некое *насыщенное* состояние, когда конгломераты вещества принимают форму так называемой *черной дыры*.

Проблемы, связанные с черными дырами и чудовищным ростом энтропии при их образовании, мы подробно рассмотрим позже, в разделе 2.4. Считается, что на современном этапе эволюции Вселенной основной вклад в ее общую энтропию вносят именно черные дыры, одна из которых лежит центре нашей собственной Галактики Млечный Путь, и чья масса

примерно в 4 000 000 раз превышает массу Солнца. Общая энтропия объектов такого типа существенно превышает энтропию, связанную с излучением СМВ, вклад которого ранее предполагался доминирующим. Иными словами, энтропия Вселенной чудовищно возрастает именно за счет гравитационной конденсации вещества, а не из-за формирования микроволнового фонового излучения.

Сказанное возвращает нас ко *второй* упомянутой выше особенности СМВ, а именно к тому, что его температура поразительно однородна по всем направлениям. Вопрос заключается как раз в том, насколько однородным является это распределение и какова природа его небольших отклонений. Для начала следует отметить, что существуют некие вариации температуры, связанные с эффектом Доплера, поскольку, как известно, Земля вовсе не является неподвижно покоящимся центром нашей Вселенной (в качестве единого целого). Реальное движение Земли складывается из множества разнообразных компонентов, включая ее собственное движение вокруг Солнца, движение Солнца в Галактике Млечный Путь, а также движения Галактики в относительно слабых гравитационных полях, создаваемых массами очень удаленных звездных образований. Именно сочетание всех этих

условий и создает то, что мы обычно называем собственным движением Земли, а также приводит к множеству небольших нарушений в однородном распределении температуры излучения СМВ. Речь идет об очень несущественных отклонениях температуры в направлении движения нашей системы [2.20], в частности об отклонениях в тех областях, от которых мы удаляемся, а также о совсем незначительных (и даже легко рассчитываемых) вариациях интенсивности излучения в других областях небесной сферы. Даже с учетом всего сказанного нужно подчеркнуть, что температура распределения излучения СМВ по пространству представляется поразительно однородной, так как отклонения практически всегда соответствуют величине примерно  $10^{-5}$  от регистрируемых значений интенсивности.

Из этого следует, что хотя бы в пределах поверхности последнего рассеяния излучение во Вселенной выглядит поразительно однородным, подобно тому как это показано в *правой* части рис. 2.8, а или *левой* части 2.8, б. Поэтому вполне разумно предположить, что, пока мы не учитываем роли гравитации, *материальное* содержание Вселенной в момент последнего рассеяния действительно обладает максимально достижимым для него значением энтропии. Вследствие однородности систе-

мы в целом влияние гравитации при этом должно быть весьма незначительным, однако интересно, что именно высокая степень однородности распределения вещества как бы создает *потенциал* для чудовищного роста энтропии до той степени, при которой гравитационные взаимодействия должны как-то учитываться. Таким образом, введение гравитационной степени свободы существенно изменяет общую картину возрастания энтропии Вселенной после Большого взрыва. Предположение о том, что состояние нашей Вселенной в целом является пространственно почти однородным и изотропным, иногда называют космологическим принципом [2.21]. Оно представляется фундаментальным, или базовым, для всех космологических моделей типа FLRW (и особенно для рассмотренных в разделе 2.1 моделей Фридмана), поскольку эти теории подразумевают практически полное подавление гравитационной степени свободы в начальном состоянии. Такая исходная пространственная однородность обеспечивает исключительно низкое значение энтропии Вселенной в исходном состоянии.

Естественно, читатель вправе спросить: а какое, собственно говоря, отношение имеет космологическая однородность к знаменитому второму закону, который, как иногда кажется, почти полностью

управляет всеми процессами в окружающем нас мире? На первый взгляд вообще представляется, что можно привести множество убедительных примеров действия второго закона, демонстрирующих отсутствие какой-либо связи между этим законом и однородностью Вселенной на раннем этапе эволюции.

Для понимания ситуации давайте еще раз вернемся к рис. 1.1 и вновь рассмотрим пример с яйцом, которое падает со стола и разбивается вдребезги. Этот пример представляется очень удачной и легко прогнозируемой иллюстрацией процесса возрастания энтропии, поскольку мы заранее *предполагаем*, что состоянию яйца перед моментом падения (оно еще целое, но уже балансирует на краю стола!) соответствует очень низкое значение энтропии. Мне кажется, что связанная со вторым законом загадка обусловлена не ростом энтропии в результате дальнейших, показанных на рисунке процессов, а именно самым начальным событием, т. е. объяснением того, каким образом яйцо оказалось в этом особо специфичном состоянии (с исключительно низким значением энтропии!) на краю стола в исходный момент времени. Вспомним, что в соответствии со вторым законом яйцо может очутиться в этом очень маловероятном состоянии лишь из какого-то другого (еще более

маловероятного!) состояния и в результате какой-то другой последовательности событий. Более того, двигаясь назад во времени, мы будем вновь и вновь сталкиваться с этой проблемой!

В данной ситуации необходимо решить две проблемы. Во-первых, каким образом яйцо могло оказаться в маловероятной позиции на самом краю стола перед падением? Вторая проблема сложнее, так как относится к внутренней структуре самого яйца. Дело в том, что любое реальное (для определенности пусть будет куриное) яйцо вовсе не является простым объектом, а представляет собой исключительно высокоорганизованное физико-химическое образование. Образно говоря, яйцо «содержит» очень сложным образом упакованное описание развития будущего цыпленка, не говоря уже о множестве питательных веществ, необходимых для этого развития! Попробуем решить сначала более простую, первую проблему, связанную с тем, каким образом яйцо оказалось на краю стола. Наиболее вероятный ответ состоит в том, что яйцо положил туда какой-то человек (возможно, просто по неосторожности), однако описание этого события потребует от нас рассмотрения достаточно сложного поведения человеческих существ, причем это поведение также связано с понижением энтропии. Вспом-

ним, что появление яйца на столе, очевидно, как-то связано с питанием, а это уже подразумевает понижение энтропии более сложной структуры (человека), существующей в атмосфере кислорода и т. д. Кстати, та же ситуация повторяется и при рассмотрении самого яйца, так как оно, как было сказано, представляет собой набор высокоорганизованных веществ, предназначенных для питания и поддержания жизни зародыша, т. е. будущего цыпленка. В некотором смысле эта ситуация просто соответствует общей схеме питания и существования живых организмов на нашей планете. Такая схема сохраняет и постоянно воссоздает иерархию усложняющихся организмов, потребляющих для своего существования более простые организмы с низкой энтропией. В целом она приводит к возникновению очень сложной и взаимосвязанной структуры, называемой биологами «фабрикой жизни» на Земле, на основании изучения которой возник важнейший биологический принцип естественного отбора, а также множество связанных с ним сложных деталей биохимии.

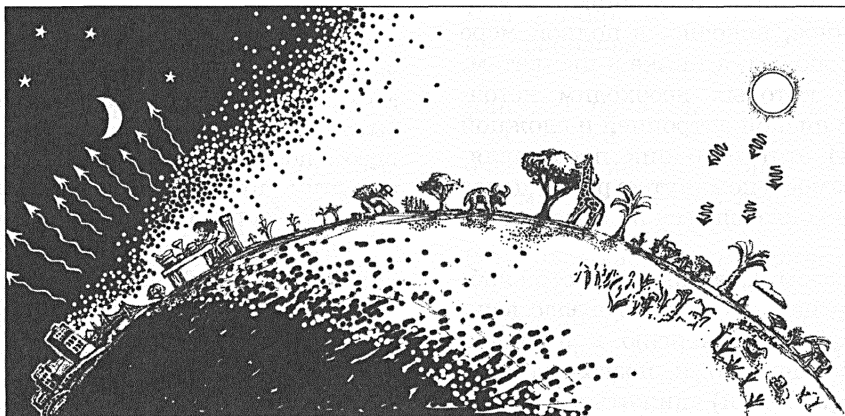
Читатель может спросить: почему и каким образом эти проблемы химии и биологии могут быть связаны с однородностью ранней стадии эволюции Вселенной? Я лишь отвечу, что биологическое усложнение протекающих в системе процессов

вовсе не означает, что эта система в целом может как-то нарушать общие законы физики (например, закон сохранения энергии) и, более того, усложнение не позволяет избегать ограничений, накладываемых вторым законом. Все жизненные структуры на нашей планете очень быстро разрушатся, если их не будет постоянно поддерживать некий мощный источник низкой энтропии. Этим источником, от которого зависит все существование жизни на Земле, является *Солнце* [2.22]. Мы привыкли к мысли о том, что Солнце для нашей планеты — это внешний источник *энергии*, но данное утверждение не совсем корректно, так как в действительности получаемая от Солнца энергия должна быть точно *равна* той, которую наша планета постоянно излучает в далекие просторы космоса [2.23]! В противном случае (если бы такого равновесия не существовало) Земля просто давно «перегрелась» бы и «сгорела». Поэтому жизнь на Земле продолжает существовать лишь потому, что температура Солнца значительно превышает температуру космических просторов, и его излучение характеризуется очень высокой частотой фотонов (отсюда и ярко-желтый цвет Солнца!), тогда как наша планета излучает в космос фотоны в инфракрасной области спектра. В соответствии с формулой Планка  $E = h\nu$  (см. подразд. 2.3) из этого следует, что энергия поступающих от Солнца

фотонов существенно выше энергии фотонов в излучении Земли (речь идет, конечно, о средних значениях). Таким образом, для обеспечения теплового равновесия необходимо, чтобы число покидающих Землю фотонов было существенно больше числа фотонов в поглощаемом излучении Солнца, как показано на рис. 2.9. Наличие большего числа фотонов означает большее число степеней свободы системы

и, соответственно, больший фазовый объем всей физической системы. Из формулы Больцмана для энтропии ( $S = k \lg V$ , см. разд. 1.3) сразу следует, что поступающая на Землю энергия Солнца приносит гораздо меньше энтропии, чем наша планета излучает в космическое пространство.

К настоящему времени значительная часть поверхности Земли покрыта растениями, способными к реакции фотосин-



**Рис. 2.9.** Солнечные фотоны, бомбардирующие поверхность Земли, имеют более высокую энергию (иными словами, обладают меньшими длинами волн), чем фотоны, излучаемые Землей в космос. Предполагая, что поглощаемая и испускаемая планетой энергия совпадают по величине (в противном случае температура Земли постепенно изменялась бы), легко заключить, что число поглощаемых фотонов намного меньше числа испускаемых, а это означает, что поглощаемая энергия обладает более низкой энтропией, чем излучаемая

теза, в результате чего относительно высокочастотные фотоны солнечного излучения преобразуются с уменьшением частоты. Возникающий «выигрыш» в энтропии используется растениями для создания нового вещества из углерода (получаемого из  $\text{CO}_2$  атмосферы) с побочным выделением кислорода. В свою очередь животные понижают собственную энтропию, поедая эти растения, являющиеся источником низкой энтропии, или поедая других животных, ранее питавшихся растениями, и т. д. [2.24]. Сказанное, конечно, в полной мере относится и к людям, а также к цыплятам, для развития которых необходим источник энергии с низкой энтропией и сложной структурой. И этот источник представляет собой то самое упомянутое ранее целое яйцо, случайно оказавшееся на самом краю стола!

Таким образом, Солнце не просто снабжает нас энергией, но и, что гораздо важнее, производит эту энергию в низкоэнтропийной форме, что и позволяет нам (при участии растений) снижать энтропию собственных организмов. Этот процесс возможен лишь потому, что само Солнце представляет собой выделенное *на темном небосводе горячее пятно*. Если бы все небо имело температуру Солнца, то энергия излучения последнего оказалась бы совершенно бесполезной для поддержания жизни на Земле. Именно колоссальная

разница в температурах горячей точки (Солнца) и окружающего мира фактически позволяет возникать облакам из испаряющейся воды и обеспечивает протекание множества процессов на нашей планете.\*

А почему, собственно, Солнце представляет собой горячее пятно и остается таковым на небосводе? Мы знаем, что внутри

---

\* Стоит напомнить, что в истории астрофизики важную роль сыграло обсуждение так называемого фотометрического парадокса Ольбертса, в соответствии с которым для стационарной во времени, однородной и бесконечной в пространстве Вселенной звездное небо Земли должно было бы представлять собой равномерно светящуюся поверхность с огромной яркостью! В связи с этим стоит упомянуть, что на основе парадокса Ольбертса и самых общих представлений о природе (свет/тьма, сжатие/расширение) великий поэт Эдгар Аллан По написал свою последнюю книгу «Эврика. Поэма в прозе. Опыт о вещественной и духовной Вселенной», в которой впервые говорил о Вселенной как о динамическом объекте. Поразительно, но выводы Э. По весьма напоминают рассуждения данной книги. В частности, Вселенная в его построениях является пульсирующей, возникает из некой единой «первочастицы» и, более того, эти пульсации имеют ... конечный возраст! Поскольку о гипотезе Большого взрыва тогда не было и речи, предвидения Э. По представляют собой редчайший пример интуитивного угадывания грядущих открытий. — *Прим. перев.*

Солнца происходит множество процессов, важнейшим из которых является термоядерная реакция синтеза гелия из ядер водорода. Однако следует вспомнить, что само наличие Солнца в качестве единого объекта связано с гравитацией. Без термоядерных реакций Солнце продолжало бы сиять, но при этом постоянно уменьшалось бы в размерах, а время его жизни становилось бы все короче. Мы, обитатели Земли, пользуемся энергией термоядерных реакций, но они вообще не могли бы протекать, если бы гравитационные взаимодействия не удерживали гигантскую массу Солнца в виде единого объекта. Соответственно возможность формирования звезд связана (помимо некоторых других сложных процессов в окружающем пространстве) с тем, что они образуются в некотором гравитационно-однородном исходном состоянии. В противном случае их формирование подавлялось бы «безжалостным» гравитационным притяжением.

Все сказанное связано с совершенно особым характером самого Большого взрыва, а именно с его *исключительно низкой энтропией*, обусловленной тем, что в исходном состоянии гравитационные степени свободы Вселенной не были активированы. Причины возникновения этой странной «подвешенной» ситуации я попытаюсь прояснить в следующих трех разделах данной части книги, посвященных искри-

влению пространства-времени в созданной Эйнштейном очень изящной теории гравитации. Затем в разделах 2.6 и 3.1 я вновь вернусь к проблеме исключительной особенности момента Большого взрыва.

### 2.3. Пространство-время, нулевые конусы, метрики, конформная геометрия

В 1908 году выдающийся математик Герман Минковский (интересно, что именно он преподавал математику Эйнштейну во время его учебы в Цюрихском политехникуме) показал, что основы специальной теории относительности могут быть очень красиво представлены в рамках новой математической теории, описывающей геометрию четырехмерного пространства (так называемого *пространства-времени*). Кстати, Эйнштейн вначале отнесся к идеям Минковского без особого энтузиазма, но позднее высоко оценил их значимость. Более того, в обобщенной форме геометрия Минковского стала одним из важнейших элементов описания искривленного пространства-времени в предложенной затем Эйнштейном *общей* теории относительности.

Четырехмерное пространство-время Минковского, помимо трех обычных пространственных координат, включает чет-

вертое измерение, описывающее течение времени. Соответственно этим представлениям все точки в таком четырехмерном пространстве часто называют просто *событиями*, подразумевая их одновременную локализацию и во времени, и в пространстве. Собственно говоря, сама идея такого описания вовсе не была чем-то совершенно неожиданным, но новизна подхода Минковского (и это действительно явилось революцией для теоретической физики) состояла в том, что в его геометрии координаты полностью подразделялись.

Иными словами, время (временная координата) не только выступало в качестве отдельной координаты, но и, что гораздо важнее, полностью «отделялось» от трех обычных координат евклидова пространства, вследствие чего пространство-время в геометрии Минковского определяется как совершенно новая геометрическая структура, придающая старым идеям удивительный и неожиданный смысл. В новой теории пространство-время описывает как бы *всеобщую* геометрию событий во времени, что и позволяет выразить закономерности специальной теории относительности, предложенной Эйнштейном.

В соответствии с четырехмерной геометрией Минковского мы не *можем* больше рассматривать пространство-время в виде простого набора последовательных

событий в трехмерных пространствах (каждое из которых может быть приписано определенному моменту времени, как показано на рис. 2.10), а вместо этого должны рассматривать сразу целое семейство как бы *одновременно* протекающих событий. Поэтому в специальной теории относительности понятие одновременности для пространственно подразделенных событий теряет свой абсолютный характер, а сам термин «одновременный» оказывается связанным с некоторой произвольной скоростью, относящейся к наблюдателю событий.

Конечно, представленная картина совершенно противоречит житейскому опыту каждого человека, так как людям всегда *казалось*, что одновременность протекающих событий никак не связана со скоростью тел или систем отсчета. На самом деле (в соответствии со специальной теорией относительности Эйнштейна) при движении со скоростью, сравнимой со скоростью света, любые, кажущиеся нам одновременными, события вовсе не являются таковыми для другого наблюдателя, движущегося с другой скоростью. Более того, различие в наблюдаемой картине необязательно должно быть связано с очень высокими скоростями движениями, а может быть зафиксировано просто при рассмотрении событий, происходящих на *очень боль-*

*ших расстояниях* от этих наблюдателей. Например, если два человека, движущихся навстречу друг другу с разной скоростью, будут следить за каким-то событием в весьма отдаленной точке пространства (где-нибудь в туманности Андромеды, как показано на рис. 2.11), то разница во времени протекания этого события, кажущегося одновременным для наблюдателей, может составить [2.25] несколько недель!

В соответствии с теорией относительности понятие одновременности для событий, происходящих на очень больших расстояниях от наблюдателей, теряет смысл,

вследствие чего расслоение пространства-времени (т. е. деление его на отдельные трехмерные поверхности) становится *субъективным*, а значит, начинает зависеть от скорости самого наблюдателя. Смысл пространства-времени Минковского состоит именно в том, что оно создает *объективную* геометрию, независимую от наблюдателей и той скорости, с которой они двигаются относительно друг друга. В некотором смысле можно даже сказать, что геометрия Минковского «выбрасывает» относительность из специальной теории относительности, т. е. предлагает нам

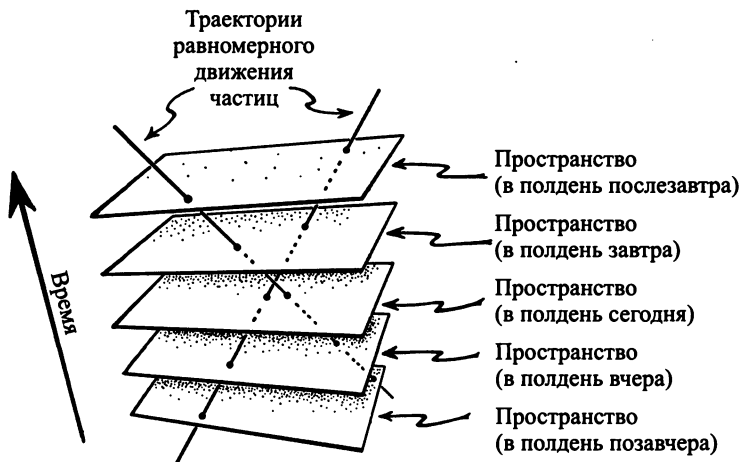
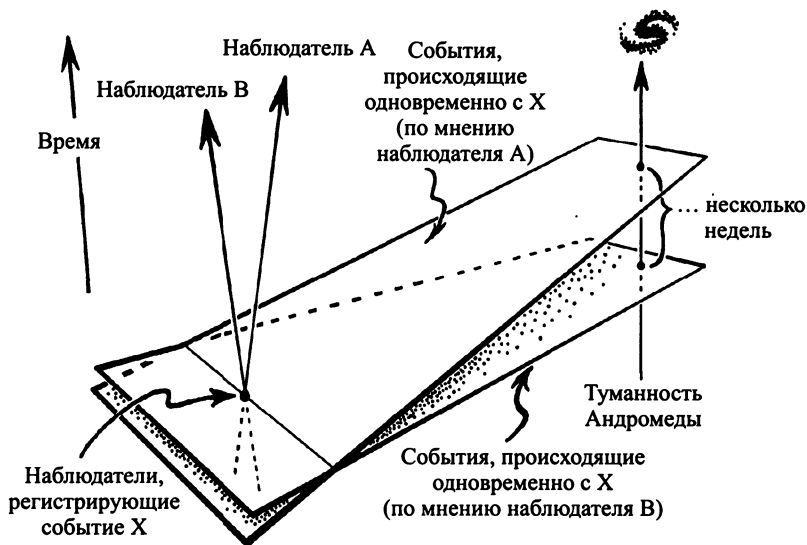


Рис. 2.10. Представление о пространстве-времени до Минковского

*абсолютную* картину протекания пространственно-временных событий.

С учетом сказанного для получения более строго описания мы должны как-то определить *структуру* четырехмерного пространства, в которую можно «вписать» временную последовательность трехмерных пространств (далее для обозначения четырехмерного пространства будем использовать букву  $M$ ). Как может выгля-

деть это пространство вообще? Сам Минковский в качестве основной структуры для описания пространства  $M$  использовал представление о так называемом нулевом конусе [2.26], описывающем процесс распространения света от некоторого события  $p$ , т. е. точки в пространстве  $M$ . *Нуль-конус*, или световой конус, представляет собой *двойной* конус с общей вершиной, описывающий движение свето-



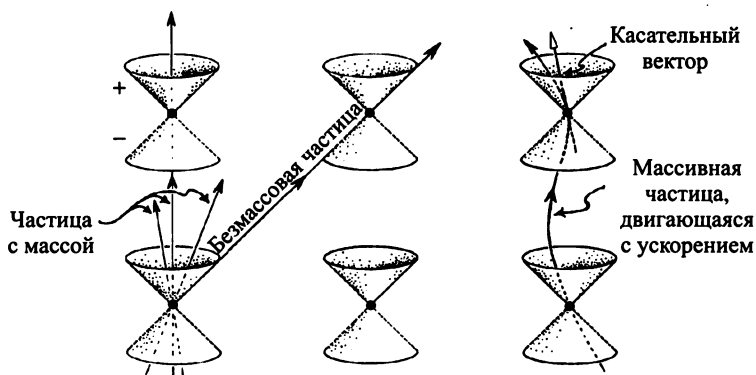
**Рис. 2.11.** Два человека,двигающиеся навстречу друг другу с разными скоростями, оказавшись в одной точке, воспринимают одно и то же событие на Андромеде с интервалом времени в одну неделю, так как связывают его с событиями, происходившими с каждым из них в отдельности



Из специальной теории относительности нам известно, что скорость обладающей массой физической частицы не может превышать скорость света. В рамках геометрии пространства-времени это означает, что *мировая линия* такой частицы, которая представляет собой локус всех событий, составляющих историю данной частицы, не может быть направлена *внутрь* нуль-конуса, соответствующего любому из этих событий. Некоторые примеры мировых линий частиц представлены на рис. 2.13. Участки линий, соответствующие *ускоренному* движению частицы, искривлены (что может быть выражено соответствующим коэффициентом кривизны).

Однако во всех таких случаях касательный вектор к мировой линии должен быть направлен *внутрь* нуль-конуса, и лишь для траекторий *безмассовых* [2.28] частиц (типа фотонов) этот вектор может располагаться *вдоль* поверхности нуль-конуса в каждой точке-событии, поскольку эти события действительно происходят со скоростью света.

Нуль-конусы также говорят нам о *причинности*, поскольку они показывают возможное влияние некоторых событий на другие. Поэтому один из главных принципов (специальной) теории относительности состоит в том, что ни один сигнал не может распространяться со скоростью,



**Рис. 2.13.** Однородное распределение нуль-конусов в пространстве М. Мировые линии для обладающих массой частиц направлены внутрь конусов, а для безмассовых частиц — вдоль поверхности конусов

превышающей скорость света. В терминах геометрии пространства  $M$  этот принцип формулируется в следующей форме: событие  $p$  может оказать причинно-следственное воздействие на другое событие  $q$  лишь в том случае, если существует непрерывная (и гладкая) мировая линия, соединяющая точки  $p$  и  $q$ , лежащая внутри нуль-конусов или на их поверхности. Из этого следует, что мы должны ввести дополнительно представление об *ориентации* пути или траектории, что можно сделать, охарактеризовав движение вдоль мировой линии стрелкой для указания перехода от прошлого к будущему. Таким образом определяется некоторая *ориентация времени* в пространстве  $M$ , позволяющая событиям непрерывным образом переходить от прошлого к будущему для любых двух точек (событий) на поверхности данного нуль-конуса. Далее я буду обозначать прошлое значком « $\rightarrow$ », а будущее — значком « $\leftarrow$ », как на рисунках 2.12, *a* и 2.13, где я, кстати, уже выделял мировую линию прошлого, изображая ее штриховой линией. Обычное представление о причинности подразумевает связь «прошлое  $\rightarrow$  будущее», выражающую некоторое воздействие прошлого на будущее, что и описывается касательными векторами, ориентированными вдоль или внутрь нулевых конусов *будущего* [2.29].

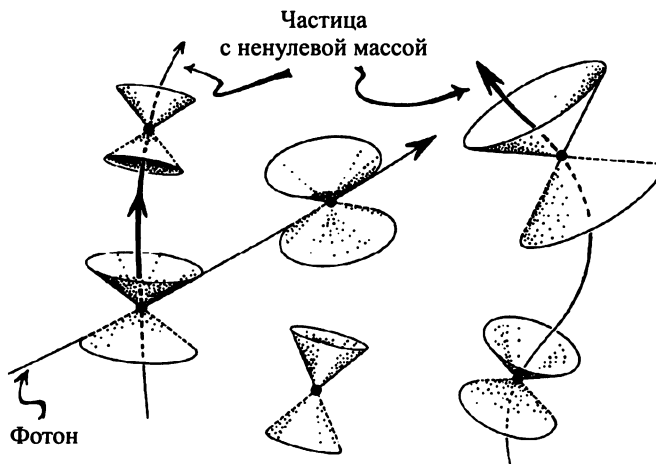
Геометрия пространства  $M$  является совершенно однородной, и в нем каждое событие прошлого эквивалентно или равноценно любому другому событию. При переходе к *общей* теории относительности Эйнштейна ситуация существенно изменяется, так как всеобщая эквивалентность прошлых событий теряет смысл. Однако и здесь мы по-прежнему имеем дело с непрерывной ориентацией нуль-конусов по времени, а следовательно остается справедливым правило, в соответствии с которым касательные векторы мировых линий всех обладающих массой (т. е. ориентированных на будущее) частиц должны располагаться в конусах будущего. При этом, как и прежде, касательные векторы мировых линий частиц с нулевой массой покоя должны лежать вдоль поверхности нуль-конусов. На рис. 2.14 показаны положения векторов и нулевых конусов, соответствующие общей теории относительности, где, как легко заметить, нуль-конусы больше не располагаются однородно в четырехмерном пространстве.

А теперь я предлагаю читателю представить себе, как будет выглядеть некая поверхность из идеальной резины, на которую как-то нанесены или «впечатаны» описываемые нами нуль-конусы. Предположим, что мы можем растягивать или деформировать эту упругую поверхность

произвольным образом, сохраняя гладкость поверхности. Понятно, что при таких деформациях положения нуль-конусов будут просто смещаться вместе с поверхностью, при этом определяемая ими «структура причинности» в системе не должна меняться.

Ситуация аналогична изображению гиперболической плоскости на картине Эшера, показанной на рис. 2.3, в, если мы представим себе, что эта гравюра выполнена на поверхности идеальной (по упругости) резиновой пленки. Деформируя

такую пленку, можно перевести изображение какого-нибудь демона с края гравюры, совместить его с изображением в центре и т. п. При правильном подборе деформаций мы сможем даже добиться совмещения всех изображений демонов друг с другом, и именно этот тип симметрии (лежащий в основе преобразований гиперболической геометрии) пытался передать М. Эшер на своей гравюре. Симметрии такого типа соответствуют геометрии общей теории относительности, а также всем космологическим моделям фридмановско-



**Рис. 2.14.** Неоднородное распределение нулевых конусов в общей теории относительности

го типа, описанным в разделе 2.1. Стоит отметить, что они представляются в этих случаях скорее исключением, чем правилом, однако наличие упомянутых растягивающих поверхность деформаций является очень важным компонентом общей теории относительности, где для них существует специальное название «диффеоморфизм» или «общее преобразование координат». При этом сама идея существования таких деформаций (преобразований или трансформаций) лишь незначительно изменяет физическую ситуацию в целом. Дело в том, что существует так называемый принцип общей ковариантности (являющийся краеугольным камнем всей общей теории относительности Эйнштейна), в соответствии с которым все относящиеся к свойствам пространства и его содержимого физические законы должны быть сформулированы так, чтобы они оставались справедливыми при любых растягивающих деформациях. Иными словами, диффеоморфизмы не должны изменять заложенный в эти законы физический смысл.

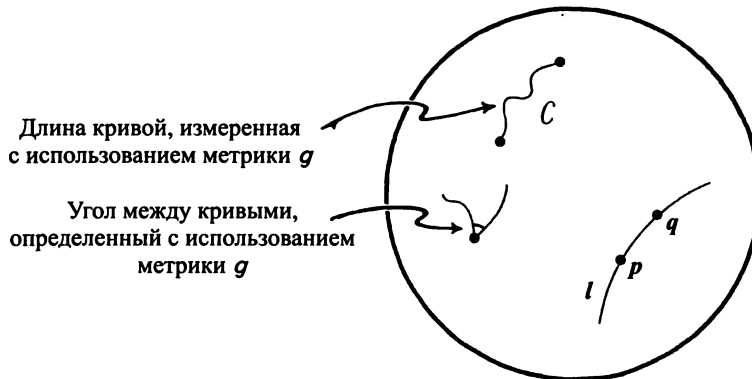
Сказанное вовсе не означает, что теряют смысл все геометрические структуры, и нам остается лишь та часть геометрии, которая имеет дело лишь с *топологией* (иногда ее просто называют геометрией непрерывных преобразований, при которой, например, поверхность чашки после

преобразований становится эквивалентной кольцу и т. п.). Понятно, что в этой геометрии мы должны быть очень внимательны к определению структуры изучаемых объектов. Например, для обозначения конечного числа измерений пространств рассматриваемого типа часто используется термин «многообразие», так что множество с  $n$ -измерениями иногда называют  $n$ -многообразием. Подразумевается, что преобразования должны быть *гладкими*, но это, кстати, вовсе не означает, что за гладкостью и топологией должна скрываться какая-то реальная структура. В гиперболической геометрии многообразию обычно приписывают некоторую математическую величину, называемую *метрикой* пространства-времени (см. также разд. 2.6), из значений которой можно образовать метрический тензор, обозначаемый обычно буквой  $g$ . Такие метрики позволяют определить *длину* [2.30] любой конечной гладкой кривой в рассматриваемых пространствах. Это предполагает, что при использовании метрики  $g$  никакая деформация какой-либо из составляющих данное многообразие «растягивающихся» поверхностей не изменяет ни значения координат точек  $p$  и  $q$  (также меняющихся при общей деформации), ни размеры сегмента соединяющей эти точки кривой  $C$  (в некотором смысле можно сказать, что метрика  $g$  «сохраняется»).

Понятие длины в данном случае оказывается также тесно связанным с понятием *прямой линии* (такие линии обычно называют *геодезическими*). Для любых двух не слишком удаленных друг от друга точек  $p$  и  $q$  геодезическая, или прямая, линия соответствует кратчайшей кривой  $l$  (подразумеваются именно длины в пространстве, определенном метрикой  $g$ ) от  $p$  до  $q$  в виде сегмента  $pq$ , как показано на рис. 2.15. В этом смысле геодезическая линия соответствует *кратчайшему* пути между двумя точками пространства. Кроме того, задав метрику  $g$ , мы можем, например, определить *углы* между двумя гладкими кривыми, т. е. использование

конкретной метрики позволяет ввести в рассмотрение все обычные геометрические представления и понятия, хотя, разумеется, возникающая при этом общая картина должна заметно отличаться от привычной евклидовой геометрии.

Прямые (геодезические) линии в таком метрическом пространстве легко прослеживаются на приведенном ранее рис. 2.3, в, где представлена гравюра Эшера, фактически иллюстрирующая конформное преобразование Бельтрами–Пуанкаре. Для лучшего восприятия рис. 2.3, в следует сравнить с рис. 2.3, б, где то же построение показано в привычной геометрии Евклида, вследствие чего все дуги пересекают круговую

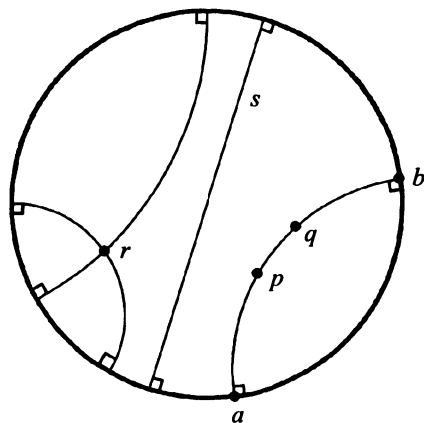


**Рис. 2.15.** Метрика  $g$  определяет в пространстве длины кривых и значения углов между ними; геодезическая линия  $l$  соответствует кратчайшему расстоянию между точками  $p$  и  $q$  в пространстве с заданной метрикой  $g$

границу под прямыми углами (сравните с рис. 2.16). Рассматривая  $a$  и  $b$  в качестве конечных точек дуги, соединяющих точки  $p$  и  $q$  на рисунке, можно ввести представление о гиперболическом  $g$ -расстоянии между точками  $p$  и  $q$ . Оно оказывается равным

$$C \lg \frac{|qa| |pb|}{|qb| |pa|},$$

где величина  $|qa|$  соответствует расстоянию между точками в обычном, «базовом» евклидовом пространстве, а коэффициент  $C$



**Рис. 2.16.** Прямые (геодезические) линии в конформном представлении гиперболической геометрии представляют собой дуги окружностей, которые пересекаются с предельной окружностью под прямыми углами

представляет собой некую положительную константу, называемую *псевдорadiusом* данного гиперболического пространства.

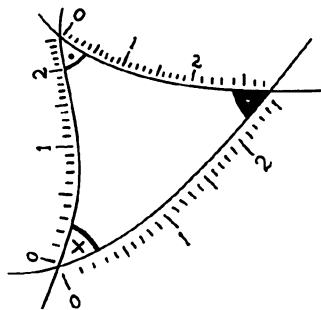
Прежде чем говорить о структурах, соответствующих каждому типу метрики  $g$ , стоит задуматься вообще об иных типах геометрии. Далее мы будем рассматривать различные структуры в так называемой *конформной геометрии*, в рамках которой можно дать определение угла между двумя (гладкими) кривыми в любой точке пространства, но нельзя определить понятие расстояния, или длины. Как уже отмечалось, понятие угла можно ввести с использованием метрики  $g$ , однако при этом само представление о  $g$  нельзя как-то зафиксировать с использованием представлений об углах. Иными словами, для конформной структуры не фиксируется представление о мере длины, и в ней можно определить только лишь *отношения* мер длины объектов в заданных точках, т. е. их инфинитезимальные формы. Изменяя меру длины, мы никак не изменяем отношения между длинами элементов фигур или структур в любом направлении и для любой заданной точки пространства, даже при инфинитезимальных (бесконечно малых) размерах. Иначе говоря, можно увеличивать или уменьшать длины всех объектов в разных точках без изменения их конформной структуры, как показано на рис. 2.17. Такое перемасшта-

бирование формально записывается в следующем виде:

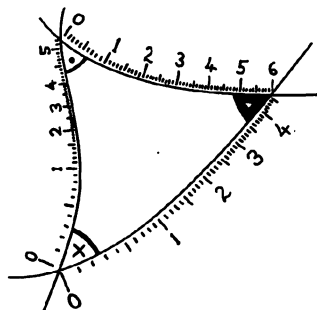
$$g \rightarrow \Omega^2 g,$$

где  $\Omega$  — положительное действительное число, определенное для каждой точки пространства и гладко изменяющееся во всем рассматриваемом пространстве. Таким образом, для любого произвольного положительного значения  $\Omega$  две величины ( $g$  и  $\Omega^2 g$ ) определяют одну и ту же

конформную структуру, но эта же пара значений (при  $\Omega \neq 1$ ) соответствует разным метрическим структурам (напомню, что через  $\Omega$  обозначен коэффициент изменения масштаба). Использование квадрата этого коэффициента в приведенном соотношении  $\Omega^2 g$  объясняется тем, что пространственные или временные компоненты метрики  $g$  могут быть подразделены лишь с использованием операции извлечения *квадратного корня* (см. [2.30]). Возвращаясь



В соответствии  
с метрикой  $g$



В соответствии  
с квадратичной формой  $\Omega^2 g$

Изменяются длины объектов, но сохраняются углы

**Рис. 2.17.** В конформных структурах не сохраняется мера длины, но в них фиксируются значения углов, которые определяются отношениями мер длины в различных направлениях от заданной точки; в такой конформной геометрии масштабы мер длины могут быть увеличены или уменьшены в разных точках, но это не изменяет свойств заданных в таком пространстве структур

к гравюре Эшера на рис. 2.3, в, отметим, что конформная структура гиперболической плоскости (подчеркнем, что речь *не* идет о ее метрической структуре) действительно идентична структуре в евклидовом пространстве, ограниченном внутренней областью граничной окружности, однако она отличается от конформной структуры *всей* евклидовой плоскости.

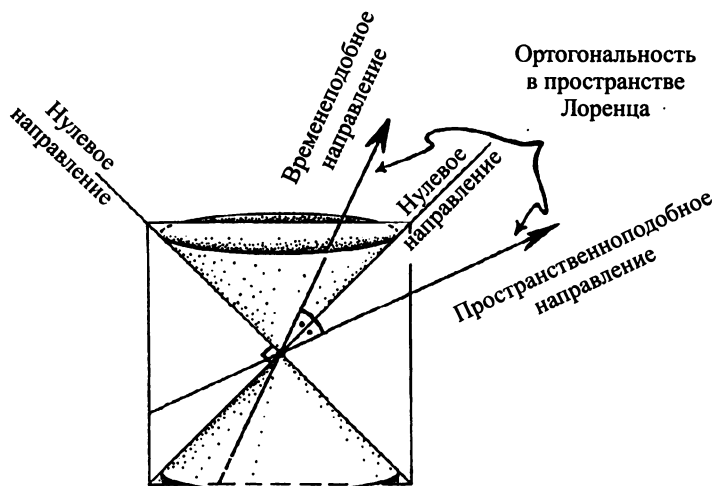
Мы можем использовать все эти представления для геометрии *пространства-времени*, но при этом нужно учитывать существенные различия, которые возникают вследствие применения Минковским для описания понятий евклидовой геометрии нового приема, связанного с использованием так называемой *сигнатуры* метрики, который выглядит каким-то фокусом. В алгебраических понятиях эта операция означает просто замену некоторых знаков с плюса на минус, что в принципе должно демонстрировать, какое число взаимно ортогональных измерений в данном  $n$ -мерном пространстве может рассматриваться в качестве *временеподобных* (т. е. располагаться внутри светового нуль-конуса), а какое число — в качестве *пространственноподобных*, т. е. вне нуль-конуса. Все измерения в геометрии Евклида (искривленной версией которой выступает *геометрия Римана*) рассматриваются только в качестве про-

странственноподобных. Иными словами, обычно использование понятия о пространстве-времени подразумевает, что в рассматриваемом ортогональном пространстве только координата один является *временеподобной*, а все остальные координаты являются *пространственноподобными*. Мы называем такие представления *пространствами Минковского* или *пространствами Лоренца* — в зависимости от того, являются они плоскими или искривленными. Для рассматриваемого нами сейчас пространства-времени обычного (лоренцовского) типа с  $n = 4$  сигнатура равна  $(1 + 3)$ , и это означает, что из четырех взаимно ортогональных направлений в таком пространстве одно является *временеподобным*, а три — *пространственноподобными*. «Ортогональность» между *пространственноподобными* направлениями (или даже между *временеподобными*, если число таких направлений больше единицы) означает просто, что эти направления пересекаются под прямыми углами. Сложнее определить понятие ортогональности между *пространственноподобным* и *временеподобным* направлениями, и поэтому такую ситуацию удобнее описать геометрически, как показано на рис. 2.18, где такие ортогональные направления симметричны относительно «нулевого» направления между ними. С точки зрения *физики* для наблюдателя,

мировая линия которого совпадает с временноподобным направлением, события в ортогональном пространственноподобном направлении должны представляться *одновременными*.

В обычной (евклидовой или римановой) геометрии мы, как правило, рассматриваем длину в представлениях пространственного подразделения точек и событий, что связано с понятием масштабной *линейки*. Но нам еще следует определить, что следует называть линейкой в простран-

стве-времени Минковского или Лоренца. Дело в том, что в этих случаях линейка представляет собой *полоску* и перестает быть удобным средством или устройством (говоря по-современному, гаджетом) для измерения расстояния между двумя точками  $p$  и  $q$ , которые соответствуют двум разным событиям в рассматриваемых пространствах, как показано на рис. 2.19. Предположим, что точки  $p$  и  $q$  располагаются на разных сторонах линейки, а сама линейка очень узкая и не испытывает



**Рис. 2.18.** «Ортогональность» между пространственноподобным и временноподобным направлениями в лоренцовском пространстве-времени, описываемая в евклидовой геометрии с прямоугольным нуль-конусом

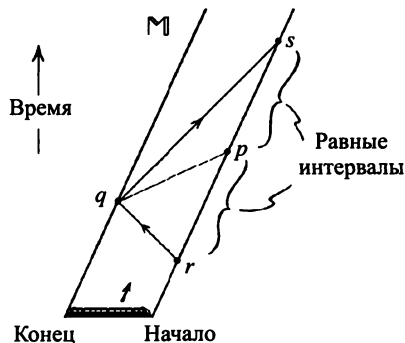
ускорения. Вследствие этого мы можем вообще не учитывать связанные с общей теорией относительности эффекты искривления пространства-времени Эйнштейна и преобразования Лоренца, а ограничиться рассмотрением ситуации в рамках специальной теории относительности. В соответствии с этой теорией линейка позволяет получать точное расстояние между точками  $p$  и  $q$  в пространстве-времени только в том случае, если соответствующие этим двум точкам события являются одновременными в той системе, где сама линейка покоится. Давайте задумаемся, каким образом мы можем удостовериться в том, что события действительно явля-

ются *одновременными* в некоторой системе, внутри которой линейка остается покоящейся? Мы можем воспользоваться исходными аргументами самого Эйнштейна (хотя он предпочитал говорить не о линейке и системах, а о движущемся с постоянной скоростью поезде, длина которого и соответствует длине линейки-измерителя). На базе этих представлений ситуацию можно проиллюстрировать схемой рис. 2.19.

Пусть начало состава будет соответствовать событию  $p$ , а другой головной вагон — событию  $q$ . Представим себе, что наблюдатель, находящийся в начале поезда, посылает световой сигнал (соответствующий



**Рис. 2.19.** Пространственно-временное расстояние между точками  $p$  и  $q$  в пространстве-времени  $M$  не может быть непосредственно измерено линейкой, представляющей собой двумерную полосу



**Рис. 2.20.** Линейка (или поезд) может служить мерой расстояния  $pq$  только в том случае, если они являются одновременными, что требует использования вместо линейки световых сигналов и часов

щий некоторому событию  $r$ ) в конец поезда таким образом, что этот сигнал достигает цели именно в момент события  $q$ , а затем немедленно возвращается назад, поступая к исходному наблюдателю в момент события  $s$ , как показано на рис. 2.20. В этом случае наблюдатель вправе полагать, что события  $p$  и  $q$  являются одновременными (разумеется, в той системе координат, где поезд или линейка считаются неподвижными), но лишь в том случае, если событие  $p$  происходит именно в середине интервала времени между подачей исходного сигнала и его возвращением. Иными словами, необходимо, чтобы время между события-

ми  $r$  и  $p$  точно равнялось времени между событиями  $p$  и  $s$ . В этом (и только в этом!) случае мы вправе полагать, что длина поезда-линейки действительно соответствует длине пространственного интервала между событиями  $p$  и  $q$ .

Отметим также, что описываемая ситуация не намного сложнее простого прикладывания линейки в пространстве для измерения расстояния между пространственными позициями событий. Проблема состоит в том, что наблюдатель должен в действительности замерять *временные* интервалы между  $gr$  и  $ps$ , так как именно совпадение этих интервалов времени является *прямым* свидетельством, позволяющим удостовериться в точности измерения пространственного промежутка  $pq$  (разумеется, с учетом того, что используется система единиц, в которой скорость света  $c$  считается равной 1). Рассмотренная ситуация удачно иллюстрирует основной факт, связанный с использованием метрики в пространстве-времени (а именно что для прямых измерений мы чаще используем измерения *времени*, а не *расстояния!*), так как в приведенном конкретном случае мы заменяем сложные измерения длин кривых реальными измерениями промежутков *времени*. Более того, мы вовсе не должны измерять в единицах времени все кривые в пространстве, а только *те*, которые имеют какие-то причинно-след-

ственные связи с описываемой ситуацией. Для таких кривых мировые линии вовлеченных в события частиц везде *временеподобные* (их касательные векторы попадают внутрь нуль-конусов) или нулевые (касательные векторы располагаются на поверхности нуль-конусов). Первый тип мировых линий соответствует обладающим массой частицам, а второй — частицам без массы покоя. Введенная для такого пространства-времени метрика  $g$  должна обеспечивать определение меры времени для любого конечного сегмента причинно-следственной связи событий вдоль кривой. В этом смысле «геометрия», которую мы приписываем метрике  $g$  пространства-времени, может быть с полным правом названа «хронометрией», что и было предложено раньше известным ирландским теоретиком в области релятивистской механики Джоном Л. Сингом [2.31].

Поскольку существование всей этой теории зависит от возможности естественного определения метрики  $g$  [2.32], для физических основ общей теории относительности очень важно, что в природе на самом глубинном уровне ее строения существуют некие исключительно точные «часовые механизмы». Таким образом, задача измерения времени (и создания часов) может считаться чуть ли не центральной проблемой для всей физики, поскольку работа даже самых совершенных реальных

часовых механизмов должна в конечном итоге осуществляться с использованием какой-то отдельной (но стабильной) частицы, обладающей некой массой. Обозначая массу такой частицы через  $m$  и предполагая, что она остается постоянной, выпишем для нее важнейшую формулу теории относительности (по-видимому, она является самой знаменитой физической формулой), определяющую энергию покоя [2.33] этой частицы,

$$E = mc^2.$$

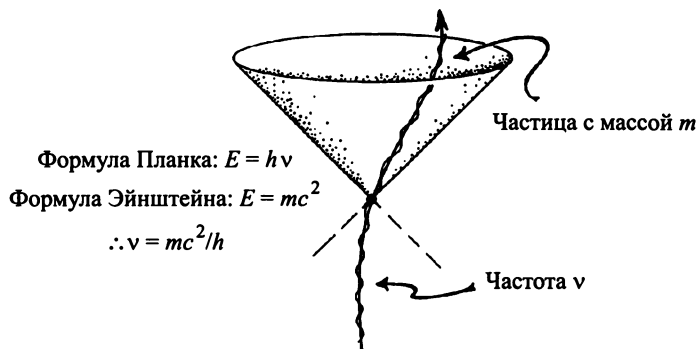
Еще одно почти столь же знаменитое соотношение (формула Планка, ставшая основой *квантовой* теории) имеет вид

$$E = h\nu,$$

где  $h$  — постоянная Планка, позволяющая связать энергию покоя этой частицы с некоторой частотой  $\nu$  квантовых колебаний, как показано на рис. 2.21. Другими словами, любая стабильная и обладающая массой частица представляет собой исключительно точный квантовый *часовой механизм*, «тикающий» с заданной частотой

$$\nu = mc^2/h,$$

величина которой точно пропорциональна массе частицы, а коэффициент пропорциональности представляет собой фундаментальную константу  $c^2/h$ .



**Рис. 2.21.** Любая стабильная и обладающая массой частица ведет себя подобно исключительно точным квантовым часам

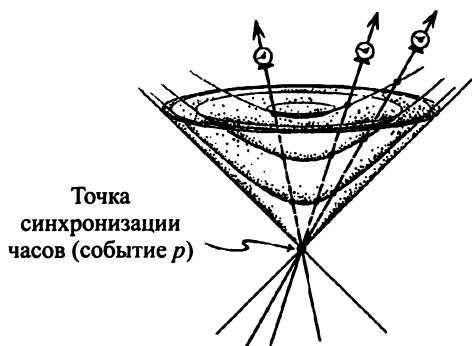
Действительное значение квантовой частоты, соответствующей отдельной частице, настолько велико, что никакая частица не может непосредственно использоваться в качестве реально действующего часового устройства. Поэтому при конструировании любых практически применяемых часовых механизмов мы вынуждены использовать сложные системы, содержащие очень большое количество частиц, каким-то образом собранных вместе и работающих по согласованной программе. Однако стоит напомнить, что ключевым моментом в создании любых часовых механизмов остается наличие в них *массы*. Лишенные массы покоя частицы (например, фотоны) никак не могут быть использованы для создания часовых механизмов, поскольку соответствующие им частоты всегда

равны *нулю*, вследствие чего нам придется ждать *бесконечно долго*, прежде чем какие-то внутренние «часы» фотона начнут «тикать»! Я подчеркиваю этот факт, так как он очень важен для некоторых обсуждаемых далее проблем.

Сказанное можно пояснить с помощью рис. 2.22, где показано несколько часовых механизмов, возникших в одной точке четырехмерного пространства (т. е. в точке, соответствующей одному событию  $p$ ), но двигающихся с разной скоростью. Подразумевается, что все эти скорости ниже скорости света, но сравнимы с ней по порядку величины. Изображенные на рисунке трехмерные поверхности, имеющие вид чашек (или ваз), соответствуют в обычной геометрии так называемым *гиперболами*, а в геометрии Минковского

являются *аналогами* сфер и представляют собой множество точек, равноудаленных от фиксированной точки. Отметим, что в полном соответствии с вышеизложенными представлениями ни одна частица с нулевой массой покоя никогда не сможет достигнуть поверхности хотя бы первой из «чаш» на рис. 2.22, поскольку все соответствующие таким частицам мировые линии располагаются *вдоль* поверхности показанного светового конуса.

Наконец, следует ввести представление о *геодезической линии*. Физически это понятие можно интерпретировать как *временеподобную* мировую линию, соответствующую траектории частицы с не-



**Рис. 2.22.** Трехмерные поверхности в виде чашек или ваз, соответствующие последовательному «тиканию» показанных часовых механизмов



**Рис. 2.23.** Временеподобная геодезическая линия  $l$  характеризуется тем, что даже *наиболее длинная* кривая в данном пространстве, соединяющая любые две точки  $p$  и  $q$ , составляет некую часть линии  $l$

нулевой массой при *свободном движении* в *гравитационном поле*. Математически временеподобная геодезическая линия  $l$  характеризуется тем, что даже наиболее длинная кривая (в смысле длительности времени, соответствующего метрике  $g$  данного пространства), соединяющая любые две точки  $p$  и  $q$  (расположенные, однако, достаточно близко по отношению друг к другу), в действительности составляет некую часть  $l$ . На рис. 2.23 показана такая линия, которая необычным образом иллю-

стрирует указанное свойство *минимизации* длины геодезической линией в евклидовом или римановом пространстве. Геодезические линии могут быть *нулевыми*. Это понятие относится к геодезическим линиям, «длина» которых равна нулю, что достигается лишь в том особом случае, когда они могут быть определены введением только структуры нуль-конусов. Структура нулевых конусов в действительности оказывается эквивалентом *конформной структуры* рассматриваемого пространства-времени, и это обстоятельство также важно для некоторых рассматриваемых далее вопросов.

## 2.4. Черные дыры и сингулярности пространства-времени

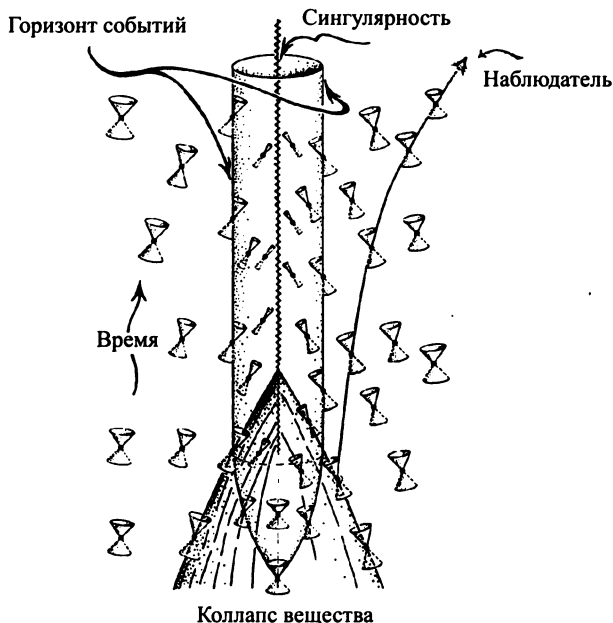
Для большинства физических систем, в которых гравитационные эффекты являются относительно слабыми, расположение нуль-конусов лишь незначительно отличается от расположения в пространстве Минковского  $M$ , но ситуация очень резко изменяется при описании геометрии пространства около черных дыр. На рис. 2.24 я попытался изобразить в пространстве-времени коллапс сверхмассивной звезды (в десятки или большее число раз превосходящей по массе Солнце), которая уже

полностью израсходовала всю свою внутреннюю, связанную с ядерными реакциями, энергию, и под воздействием силы тяжести начала безудержно «схлопываться», коллапсировать внутрь самой себя. На некоторой стадии этого коллапса, начало которой можно связать с моментом, когда так называемая скорость убегания [2.34] с поверхности звезды достигнет скорости света, нуль-конусы наклоняются «внутрь» настолько, что позиция самой удаленной от центра части конуса будущего приобретает на диаграмме вертикальное положение, как показано на рисунке. Проведя огибающие для таких конусов, можно определить трехмерную поверхность, называемую *горизонтом событий*, внутри которой все тела в звезде начинают «падать». Понятно, что при геометрическом построении я «подавил», т. е. исключил, одно из пространственных измерений, чтобы горизонт событий принял на рисунке вид обычной двумерной поверхности, однако это обстоятельство не является принципиальным и поэтому не должно смущать читателя.

Из такого наклона нулевых конусов следует, что мировые линии любой частицы или светового сигнала, возникшие внутри поверхности, соответствующей горизонту событий, никогда не могут «вырваться» за ее пределы, поскольку пересечение гори-

зонта означает нарушение ограничений, определенных в разделе 2.3. Кроме того, если мы проследим (назад во времени) движение светового луча, попадающего в глаз какого-то внешнего наблюдателя (располагающегося очень далеко от исходной

точки, как показано на рис. 2.24), то заметим, что этот луч не может пересечь горизонт событий в обратном направлении, т. е. попасть внутрь с наружной стороны. Теоретически при этом не очень важно, сколь долго станет дожидаться результа-



**Рис. 2.24.** Коллапс сверхмассивной звезды и ее превращение в черную дыру. Наклон нуль-конусов будущего внутрь структуры постепенно приводит к тому, что их оси становятся вертикальными (по отношению к плоскости рисунка), вследствие чего даже свет не может преодолеть силы тяготения. Огибающей поверхностью для таких конусов является горизонт событий

та наблюдений упомянутый выше наблюдатель (иными словами, не имеет значения, на каком расстоянии от события он находится). Однако стоит вспомнить, что практически любое наблюдаемое им событие должно характеризоваться заметным «красным смещением» и очень быстро «исчезать». Практически картина события должна будет как-то «растворяться в поле зрения» для наблюдаемой точки, и, в конечном счете, очень быстро изображение звезды сменится абсолютным затемнением, в полном соответствии с буквальным определением «черной дыры».

Естественно, читатель вправе спросить у автора, какая судьба ожидает то вещество\*, которое падает внутрь звезды и пересекает горизонт событий. Может ли это вещество проявлять какую-то дальнейшую дополнительную активность, например, участвуя во вращательных действиях после достижения центральной части объекта? Возникает ли при этом возможность «отскока» или выброса вещества во внешнее пространство? Самая первая модель

---

\* Вещество может иметь самую разную форму. Один из самых известных специалистов в области гравитации знаменитый профессор Кип Торн недавно в популярной статье обсуждал, что произойдет с девушкой, попавшей на полюс черной звезды. Говоря кратко, девушку было очень жалко. — *Прим. перев.*

показанного на рис. 2.24 коллапса была разработана еще в 1939 году знаменитым физиком Робертом Оппенгеймером и его студентом Хартлэндом Снайдером (им даже удалось получить точное решение уравнений Эйнштейна для описываемой ситуации). В дальнейшем разными авторами предлагалось множество упрощений, позволяющих применять эти уравнения в более наглядных ситуациях. Самым главным и, одновременно, наиболее серьезным упрощением стало требование точной *сферической симметрии* рассматриваемых систем, при которой никак не могли проявляться асимметричные «завихрения» и т. п. Предполагаемая в этих моделях структура «звездного» вещества больше всего напоминала известную в физике модель *несжимаемой жидкости*, которую теоретики-релятивисты часто называют просто пылью (см. разд. 2.1). Основным результатом работы Оппенгеймера и Снайдера, с учетом многих указанных предположений, состоял в том, что такой коллапс вещества должен продолжаться до момента, пока плотность вещества в центральной точке системы не станет *бесконечно* большой, в результате чего бесконечно возрастет и значение соответствующей этой точке кривизны пространства-времени. На рис. 2.24 отвечающая этому решению центральная область показана в виде зигза-

гообразной вертикальной линии в центре, и ее можно назвать *пространственно-временной сингулярностью*. На этой линии теряют смысл решения уравнений Эйнштейна, и вообще становится бесполезным дальнейшее изучение системы в рамках стандартной, известной нам физики.

Сам факт наличия пространственно-временных сингулярностей такого типа вносит в физику фундаментальные противоречия. Поскольку они относятся к моменту конечного коллапса Вселенной, их можно условно назвать «обратными» по отношению к тем, которые мы пытаемся изучить при рассмотрении проблемы возникновения Вселенной в результате Большого взрыва. Отличие заключается в том, что Большой взрыв был отнесен к самому началу возникновения времени, а сингулярности в виде черных дыр возникают и соответствуют *окончанию времени* вообще (по крайней мере, в отношении того вещества, которое на этой стадии развития проваливается в черную дыру). Именно в этом смысле мы можем рассматривать проблему наличия сингулярности (в виде черной дыры) в качестве *обращенной во времени* ситуации, описываемой Большим взрывом.

Отметим также, что каждая причинно-следственная линия, возникшая внутри горизонта событий для коллапса черной

дыры (см. рис. 2.24), при продолжении в будущее должна как-то закончиться на центральной сингулярности. Это аналогично тому, как во всех фридмановских моделях (см. разд. 2.1) каждая продленная в прошлое причинно-следственная линия, вообще говоря, всегда должна завершаться (или на самом деле возникать) в сингулярной точке, соответствующей Большому взрыву. Таким образом (независимо от степени локальности черной дыры), эти две ситуации представляются обращенными во времени по отношению друг к другу, хотя такому выводу противоречат все соображения, относящиеся ко второму закону термодинамики. При этом Большой взрыв должен характеризоваться исключительно низкой энтропией в отличие от ситуации, соответствующей черной дыре. Именно разница между этими двумя процессами (которые внешне кажутся просто обращенными во времени) является очень важным фактором предлагаемых далее рассуждений.

Причины возникновения этой разницы будут подробнее рассмотрены в разделе 2.6, а сейчас мне бы хотелось сделать важное пояснение. Дело в том, что нам предстоит выбрать, будем ли мы *доверять* исходной модели Оппенгеймера–Снайде-ра или космологическим моделям типа фридмановских с высокой симметрией.

В основе картины предлагаемого модели Оппенгеймера–Снайдера гравитационного коллапса лежат два существенных предположения: во-первых, система является *сферически симметричной*, а во-вторых, составляющее ее вещество обладает достаточно редким свойством — оно полностью лишено того, что в физике принято называть давлением. Отметим, что эти гипотезы широко используются и в космологических моделях Фридмановского типа (в частности, требование сферической симметрии накладывается на *все* модели упомянутого выше класса FLRW). Это обстоятельство дает веские основания сомневаться в том, что такие идеализированные модели действительно необходимы для описания коллапса (или, наоборот, взрыва) вещества в экстремальных для общей теории относительности ситуациях.

Именно с этими проблемами я столкнулся осенью 1964 года, когда стал всерьез размышлять о гравитационном коллапсе. Очень важными оказались и соображения, которые были выдвинуты весьма авторитетным и проницательным американским физиком Джоном А. Уилером в связи с тем, что Мартену Шмидту удалось обнаружить в космосе замечательный объект [2.35], обладающий исключительно высокой яркостью и вариабельностью, т. е.

демонстрирующий именно те особенности, которые мы сейчас приписываем «черным дырам». К этому времени у научной общест­венности сложилось почти общепринятое мнение (основанное на теоретической работе советских физиков Евгения Михайловича Лифшица и Исаака Марковича Халатникова), в соответствии с которым, без наложения специальных требований на симметрию системы, при гравитационном коллапсе *не должны возникать* никакие пространственно-временные сингулярности. Я был знаком с этой работой лишь в самых общих чертах, однако сомневался в том, что используемый авторами математический аппарат позволяет получить однозначный ответ, вследствие чего попытался решить задачу собственным методом, который был связан скорее с геометрическими построениями. Я хотел найти общие закономерности того, каким образом могут распространяться лучи света в рассматриваемых системах, как эти лучи сфокусируются в искривленном пространстве-времени и какие типы сингулярных поверхностей возникнут при пересечении этих лучей.

Я и раньше задумывался над этими вопросами, размышляя о стационарной модели Вселенной, упоминавшейся в разделе 2.2. Мне очень нравилась эта модель (но не больше, чем общая теория относи-

тельности Эйнштейна!) прежде всего тем, что она позволяла красиво объединить основные геометрические понятия пространства-времени с фундаментальными принципами физики. Кроме того, меня очень интересовал вопрос о совместимости геометрической и физической картин мира. Дело в том, что при рассмотрении точной модели стационарной Вселенной у физика быстро возникает ощущение, что предполагаемая система не может быть реализована без введения каких-то *плотностей отрицательной энергии*, роль которых, в соответствии с теорией Эйнштейна, заключается в «отторжении» или рассеянии лучей света. В противном случае все они должны неизбежно «искривляться внутрь» под воздействием обычной положительной плотности энергии нормального вещества (см. разд. 2.6). Вообще говоря, введение отрицательной энергии для рассмотрения системы должно казаться любому физика дурным тоном (подобно использованию точек неустойчивости с неясными параметрами и т. п.), вследствие чего я и задумался о том, нельзя ли обойти возникающие сложности, допустив возможность некоторых нарушений в симметрии системы. Однако главные аргументы и принципы, которые я пытался применить для описания топологии поверхности световых лучей в таких системах, настойчиво сви-

детельствовали о том, что в общем случае они могут быть применены лишь тогда, когда описываемые системы *обладают* именно высокой степенью симметрии. Из этого следовало, что модель стационарной Вселенной (даже при всех возможных допущениях относительно нарушений ее симметрии) не может быть согласована с общей теорией относительности без введения каких-то представлений о существовании отрицательной энергии.

Я пытался применить некоторые математические приемы для исследования различных вариантов эволюции отдаленного будущего гравитационных систем. Используемый мной математический аппарат включал общие идеи конформной геометрии пространства-времени (см. разд. 2.3), на которые я буду ссылаться далее, в части 3 книги. Эти идеи позволили мне рассмотреть особенности таких систем при фокусировке световых лучей [2.36] в общем случае, так что я почувствовал себя увереннее и занялся проблемой гравитационного коллапса. Главной сложностью при этом стала формулировка некоторого критерия, который позволял бы определить для гравитационного коллапса особую «точку невозврата», так как во многих рассматриваемых ситуациях процесс мог обращаться во времени, в результате чего коллапс сменялся некоторым «отско-

ком» вещества в исходное состояние. Казалось естественным связать точку невозврата с формированием горизонта событий, после чего гравитационные силы становились настолько мощными, что подавляли все остальные процессы. Сложность заключалась в том, что с математической точки зрения оказалось очень сложным точно определить такую точку невозврата и ее положение, поскольку все операции перехода подразумевали некие предельные переходы. В связи с этими задачами мне пришла в голову удачная мысль относительно «захваченных поверхностей» [2.37] с более локальным характером [2.38], наличие которых в пространстве-времени могло бы обеспечить непрерывность гравитационного коллапса, требуемого в рассматриваемых условиях.

Используя и развивая своеобразные аргументы, связанные с топологией световых лучей, мне удалось сформулировать соответствующую теорему [2.39], относящуюся к условиям возникновения гравитационного коллапса и неизбежному проявлению при коллапсе некоторых сингулярностей, возникновение которых оказалось связанным с двумя вполне «разумными» ограничениями, накладываемыми на свойства пространства-времени. Одно из этих условий состояло в том, что фокусировка световых лучей не может быть

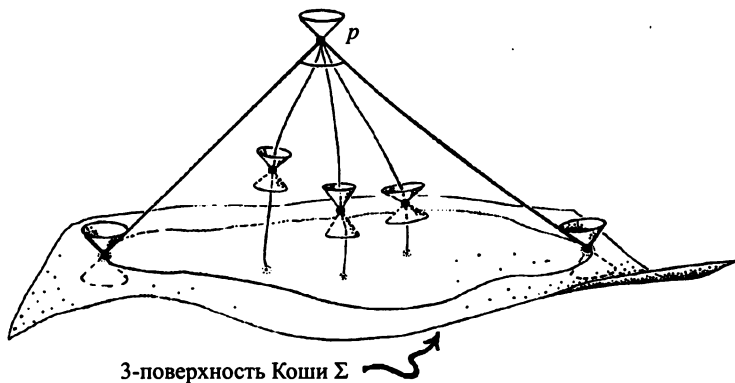
отрицательной. В более простых физических терминах это сводится к тому, что если рассматриваемое пространство-время описывается уравнениями Эйнштейна, то (независимо от присутствия или отсутствия в этих уравнениях космологической константы  $\Lambda$ ) значение потока энергии, пересекающего световой луч, не может быть отрицательным. Другое условие заключалось в том, что система в целом может рассматриваться как некоторая открытая (некомпактная) пространственноподобная трехмерная поверхность, обозначенная нами буквой  $\Sigma$ , и это условие является почти стандартным для ситуаций, связанных с рассмотрением разумно локализованных (т. е. не космологических) физических систем. Геометрически оно сводится лишь к тому, что в таком пространстве-времени любая причинно-следственная линия, продолженная (обратно во времени) из будущего  $\Sigma$  в прошлое, должна пересекать поверхность  $\Sigma$  так, как это показано на рис. 2.25. Существует еще одно ограничение (помимо уже указанного предположения о захвате поверхности), относящееся к тому, что может быть названо сингулярностью в данном контексте. Дело в том, что в общем случае термин «сингулярность» означает просто некоторое препятствие для бесконечного и гладкого продолжения пространства-времени в будущее [2.40],

что совместимо со всеми выдвинутыми условиями или ограничениями.

Основная ценность полученного результата заключается в его общем характере, поскольку выше не только не накладывались какие-либо ограничения на симметрию системы, но даже не вводились упрощающие предположения для более легкого решения используемых уравнений. Ограничения, накладываемые нами на свойства вещества, создающего гравитационные поля, сводятся лишь к «физически разумному» требованию, чтобы потоки энергии, пересекающие в этом веществе световые лучи, не имели отри-

цательных значений. Это требование называют «условием слабой энергии», и оно очевидно выполняется в той физической среде (в виде пыли, лишенной внутреннего давления), которая была предложена в работе Оппенгеймера и Снайдера, а также подразумевалась еще в исходной модели Фридмана. Более того, предлагаемая теория является даже более общей, так как охватывает все типы физически реального классического вещества, которые рассматривались специалистами в рамках теории относительности.

К сожалению, некоторым неприятным следствием общности и значимости полу-



**Рис. 2.25.** Исходная «поверхность Коши»  $\Sigma$ , для которой каждая точка  $p$  будущего характеризуется тем, что любая заканчивающаяся в  $p$  причинно-следственная линия, продленная назад (т. е. обращенная во времени), вновь попадает на эту поверхность

чаемых в предложенной теории результатов выступает очевидная слабость теории, проявляющаяся в том, что модель почти ничего не говорит о деталях процесса, связанного с коллапсом звезды, и, прежде всего, не позволяет предсказать геометрическую форму возникающей при коллапсе сингулярности. Кроме того, данная модель не описывает, каким образом вещество может сжиматься до бесконечной плотности и каким образом при этом достигаются бесконечные значения кривизны рассматриваемого пространства-времени. Наконец, остается совершенно непонятным, *где и как* должно начаться проявление предсказываемого сингулярного поведения.

Многие из полученных данных хорошо согласовывались с упоминавшейся работой российских физиков Лифшица и Халатникова, однако одна теорема, которую я доказал в последние месяцы 1964 года, полностью противоречила всем их предыдущим выводам! К сожалению, противоречие было достаточно очевидным, в результате чего я несколько месяцев испытывал острое чувство растерянности и даже ужаса. Ситуация выправилась позднее, когда молодой русский физик Владимир Белинский помог мне установить связь с этими учеными и они исправили ошибку в одной из своих ранних работ. В исходной публикации авторов сингулярные реше-

ния уравнений Эйнштейна соответствовали лишь очень редким случаям, но после исправления их выводы совпали с моим результатом, в согласии с которым сингулярное поведение описываемых систем в действительности имело общий характер. Более того, в дальнейшей работе Белинского, Халатникова и Лифшица (BKL) был предложен весьма правдоподобный вариант исключительно сложного хаотического поведения системы, при котором проявляется сингулярность нового типа. Такое поведение вытекало из соображений, представленных американским физиком-релятивистом Чарльзом В. Мишером, и оно оказалось вполне вероятным, по крайней мере, для очень широко класса возможных ситуаций.

Я еще вернусь к этой теме позднее (см. разд. 2.6), однако сейчас хочу обсудить другой вопрос, а именно возможность существования каких-то объектов, напоминающих предложенную мной захваченную поверхность, возникновение которой кажется мне весьма вероятным во многих рассматриваемых ситуациях. Хочу напомнить, что сама идея о возможности катастрофического гравитационного коллапса сверхмассивных звезд на поздней стадии их эволюции была предложена еще в 1931 году знаменитым Субраманьяном Чандрасекаром, который рассмотрел

поведение очень маленьких по размеру (но очень больших по массе) звезд, называемых сейчас *белыми карликами*. В качестве примера такого объекта можно привести таинственную темную «подругу» знаменитого своей яркостью Сириуса, масса которой сравнима с массой Солнца, а размер примерно соответствует радиусу Земли. Одной из главных особенностей белых карликов является то, что давление внутри них превышает так называемое *давление электронного вырождения*, т. е. значение, определяемое важным квантово-механическим принципом. В соответствии с ним электроны могут занимать энергетические уровни только в строго определенном порядке и в заданной последовательности. Чандрасекар показал, что при учете эффектов (специальной) теории относительности можно ввести некое предельное значение массы звезды, после которого звезда может поддерживать свое существование, противодействуя силам гравитации. Его идеи выявили парадоксальную возможность существования звезд, чья холодная масса *превышает* названный в его честь предел Чандрасекара (значение этого параметра составляет примерно  $1,4 M_{\odot}$ , где  $M_{\odot}$  — масса Солнца).

Эволюция обычных звезд (типа нашего Солнца) описывается так называемой главной последовательностью развития,

в соответствии с которой на последней стадии развития звезды ее внешние слои (оболочка) начинают раздуваться, после чего звезда превращается в *красный гигант*, что сопровождается формированием ядра с электронным вырождением. В это ядро постепенно захватывается все вещество звезды, и (если при этом не удовлетворяется критерий Чандрасекара) она постепенно превращается в белого карлика, а затем, после дальнейшего медленного остывания, в черного карлика. Строго говоря, такая же судьба неизбежно ожидает и наше Солнце. Однако процесс *коллапса* некоторых значительно более крупных звезд складывается иначе из-за поведения вещества в центре образующихся при их коллапсе белых карликов. Если масса последних превышает упомянутый предел Чандрасекара, то дальнейшая эволюция может приводить к возникновению исключительно мощных образований, получивших название *сверхновых* (звезд), блеск взрыва которых способен на несколько дней затмить свечение всей галактики, в которой они возникли. При этом в космос выбрасывается огромное количество вещества, но оставшееся ядро звезды по-прежнему обладает исключительно высокой плотностью (например, образуя объект с массой примерно  $1,5 M_{\odot}$  при диаметре всего

около 10 км!), в результате чего формируется так называемая *нейтронная звезда*, давление внутри которой достаточно для *нейтронного вырождения*.

Иногда нейтронные звезды проявляют себя в качестве пульсаров (см. разд. 2.1 и [2.6]), многие из которых наблюдаются и в нашей Галактике, однако и для таких звезд существует некий предел возможной массы, составляющий примерно  $1,5 M_{\odot}$ , иногда называемый *пределом Ландау*. Если исходная звезда обладает достаточной массой (например, более  $10 M_{\odot}$ ), то из нее с большой долей вероятности при взрыве будет выброшено много вещества, а его остатка не хватит для того, чтобы ядро звезды сохранилось в виде нейтронной звезды. В этом случае коллапс продолжится, но есть большая вероятность того, что недостающая часть материи будет «поймана» на следующей стадии, когда возникнет захваченная поверхность.

Разумеется, все сказанное не основано на твердых доказательствах и доводах, и читатель может возразить, что нам очень мало известно о необычном поведении вещества при тех чудовищных степенях сжатия, которые предшествуют последним стадиям коллапса. После коллапса могут реализоваться какие-то состояния с захваченной поверхностью, размеры которых будут лишь примерно в три раза

превышать радиус нейтронных звезд. Гораздо более вероятными (и более мощными) должны быть процессы формирования черных дыр, если рассматривать концентрации веществ в очень больших объемах и на очень больших расстояниях, соответствующих звездным скоплениям вблизи центров галактик. Отметим, что проблема сводится к масштабу систем и происходящих в них событий, так как по мере того, как чудовищно возрастают размеры рассматриваемых систем, существенно уменьшается и плотность вещества, при которой могут возникать захваченные поверхности. Поэтому вполне возможно, что в относительно небольшой области пространства, например диаметром  $10^6$  км, способны разместиться, не вступая в реальный контакт между собой, миллионы звезд типа белых карликов, и вся эта область будет легко «окружаться» некоторой захваченной поверхностью\*. Образование черных дыр связано с совершенно неизученным поведением вещества при столь высоких плотностях, что для этих процессов не стоит даже говорить о «физике неизвестного» и т. п.

Существует еще одна важная теоретическая проблема, которую я до сих пор

---

\* Диаметр такой области будет составлять ничтожное расстояние по космическим масштабам, составляющее менее 1 % от радиуса орбиты Земли! — *Прим. перев.*

старался обходить или не упоминать: в своих доводах я по умолчанию предполагал, что образование черных дыр само по себе приводит к возникновению каких-то захваченных поверхностей. Хочу указать, что это предположение, собственно говоря, подразумевает наличие некоей так называемой космической цензуры, существование которой (хотя и считается почти общепризнанным) пока остается лишь неподтвержденной гипотезой [2.41]. Дело в том, что наряду с ВКЛ-гипотезой эта проблема может быть отнесена к наиболее важным нерешенным задачам классического варианта общей теории относительности. Наличие космической цензуры означает, что при гравитационных коллапсах общего типа не могут существовать *голые* сингулярности пространства-времени, где под термином «голые» подразумевается, что возникающие в таких сингулярностях кривые причинности могут регистрироваться какими-то очень удаленными внешними наблюдателями, т. е. эти сингулярности «не укрыты» от наблюдения неким горизонтом событий (отсюда и возникло упоминание о цензуре!). К обсуждению проблемы космической цензуры я вернусь позднее, в разделе 2.6.

В любом случае *наблюдения*, ставшие возможными в настоящее время, подтверждают наличие в пространстве черных

дыр. Очень интересны в этой связи свидетельства о поведении некоторых бинарных звездных систем, содержащих черные дыры, масса которых в несколько раз превышает массу Солнца, хотя стоит заметить, что в ряде случаев эти свидетельства носят «негативный», неподтверждающий характер. Например, иногда динамическое поведение системы начинает определяться именно невидимым компонентом двойной системы, масса которого может существенно превышать оценки для компактных объектов, соответствующие стандартным теоретическим представлениям. Наиболее впечатляющие наблюдения такого рода относятся к очень быстрому орбитальному движению изучаемых звезд относительно какого-то невидимого (но сверхмассивного) компактного образования, расположенного в центре нашей собственной Галактики Млечный Путь. Скорость движения звезд вдруг показывает, что масса центрального в Галактике объекта составляет около  $4\,000\,000 M_{\odot}$ ! Трудно даже представить себе что-либо иное, кроме гигантской черной дыры. Кроме того, к «негативным» свидетельствам можно отнести и то, что некоторые из таких объектов просто «черпают» вещество из окружающего пространства, причем такой захват не сопровождается нагревом «поверхности» объекта. Отсутствие какой-то весомой и заметной поверхности

у таких объектов (образований) выступает прямым и ясным доказательством того, что они являются черными дырами [2.42].

## 2.5. Конформные диаграммы и конформные границы

Существует удобный метод, позволяющий представлять разные модели пространства-времени в общем виде, особенно те, которые обладают сферической симметрией, как, например, модели Оппенгеймера–Снайдера и Фридмана. Метод основан на применении *конформных диаграмм*. Далее я буду использовать и различать два типа таких диаграмм: *строгие* (точные) и *схематические* [2.43]. Очень краткое описание возможностей и преимуществ этих типов приводится ниже.

Начну с описания строгих конформных диаграмм, которые могут применяться для представления разных видов пространства-времени (обозначаемого буквой  $\mathcal{M}$ ), обладающих строгой сферической симметрией. На плоскости такая точная диаграмма выглядит как некая область  $\mathcal{D}$ , каждая внутренняя точка которой соответствует целой сфере, т. е. некоторой поверхности  $S^2$  из пространства  $\mathcal{M}$ . Для большей наглядности описываемых операций мож-

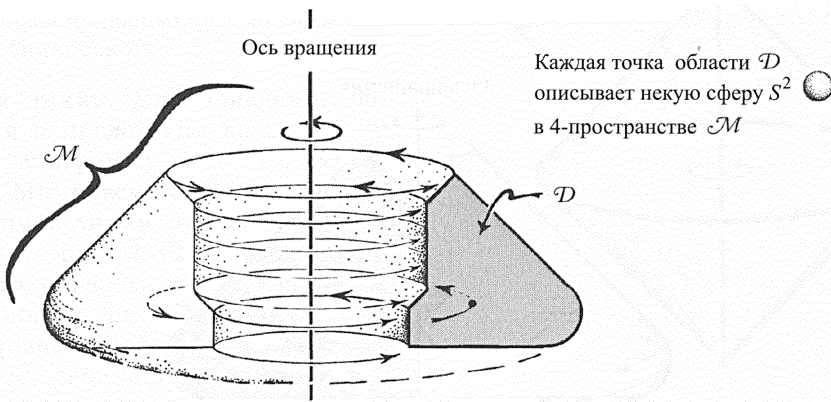
но пожертвовать одним из пространственных измерений и попробовать представить себе *вращение* области  $\mathcal{D}$  влево (против часовой стрелки, как показано на рис. 2.26) вокруг некоторой вертикальной линии, которую назовем *осью* вращения. При таком вращении след каждой точки области  $\mathcal{D}$  представляет собой *окружность*  $S^1$ , которую мы можем легко изобразить. А теперь я предлагаю читателю вспомнить, что в полной, четырехмерной картине изучаемого нами пространства-времени  $\mathcal{M}$  аналогом описанной операции выступает *2-мерное* вращение, след которого и будет создавать в пространстве  $\mathcal{M}$  некую *сферу*  $S^2$ .

При использовании строгих конформных преобразований мы будем часто сталкиваться с ситуацией, когда рассматриваемая ось вращения представляет собой часть *границы* самой области  $\mathcal{D}$ . В этом случае точки оси, принадлежащие этой границе (на диаграмме они показаны *штриховой* прямой в центре), в четырехмерном пространстве-времени соответствуют одной *точке*, а не сфере  $S$ . Вся штриховая прямая (ось) при этом соответствует в  $\mathcal{M}$  одной точке, и на рис. 2.27 показано, каким образом все пространство-время  $\mathcal{M}$  может быть составлено из семейства двумерных пространств, идентичных области  $\mathcal{D}$  при вращении вокруг заданной оси.

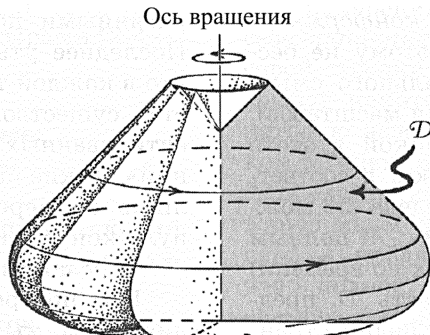
Следуя описанной методике, мы можем рассматривать  $\mathcal{M}$  в качестве *конформного пространства-времени*, и поэтому не беспокоиться относительно реального смысла скейлинга (преобразования масштабов), определяемого полной метрикой  $g$  этого пространства. И таким образом в соответствии с последней фразой раздела 2.3 можно считать пространство-время  $\mathcal{M}$  полным семейством (ориентированных по времени) нуль-конусов. При этом область  $\mathcal{D}$ , представляющая собой двумерное подпространство  $\mathcal{M}$ , «наследует» от  $\mathcal{M}$  двумерную конформную структуру пространства-вре-

мени и обладает собственными «ориентированными по времени» нуль-конусами. Последнее утверждение означает просто, что в каждой точке области  $\mathcal{D}$  предполагается существование двух различных ориентированных на будущее «нуль-направлений». Такие пары нуль-конусов возникают лишь из пересечения копий области  $\mathcal{D}$  нуль-конусами будущего в пространстве  $\mathcal{M}$ , как показано на рис. 2.28.

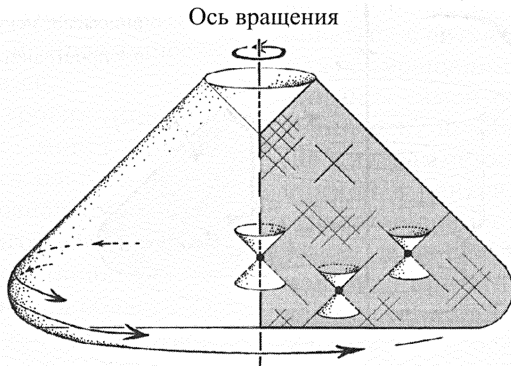
При построении строгих конформных диаграмм мы должны расположить все относящиеся к будущему нуль-конусы в  $\mathcal{D}$  под углом  $45^\circ$  к обращенной вверх



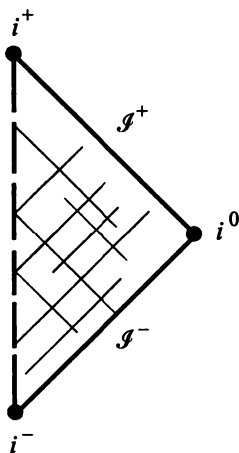
**Рис. 2.26.** Строгая конформная диаграмма, описывающая преобразование обладающей точной сферической симметрией области  $\mathcal{D}$  в пространстве-времени  $\mathcal{M}$ . В этой ситуации двумерная область  $\mathcal{D}$  вращается (в виде двумерной сферы  $S^2$ ), создавая четырехмерное пространство  $\mathcal{M}$



**Рис. 2.27.** Штриховая прямая границы области  $\mathcal{D}$  является осью симметрии, каждая точка которой отображает скорее точку в отдельном пространстве-времени, а не сферу  $S$



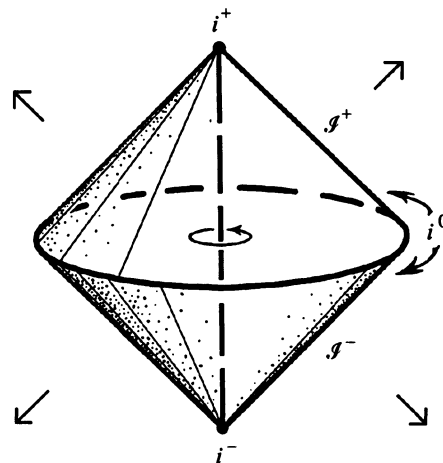
**Рис. 2.28.** Нуль-конусы в области  $\mathcal{D}$ , располагающиеся под углом  $45^\circ$  к вертикали и представляющие собой сечения пространства  $\mathcal{M}$  вложенной в него областью  $\mathcal{D}$



**Рис. 2.29.** Строгая конформная диаграмма пространства Минковского  $\mathbb{M}$

вертикальной линии. Для пояснения общей ситуации я представил на рис. 2.29 конформную диаграмму всего пространства-времени Минковского  $\mathbb{M}$ , проведя все радиальные нуль-линии под углом  $45^\circ$  к вертикали, а на рис. 2.30 попытался показать, каким образом это изображение было получено. На рис. 2.29 четко проявляется основная особенность конформных диаграмм, сводящаяся к тому, что мы видим просто *конечный* по размерам (прямоугольный) треугольник, хотя диаграмма относится ко всему бесконечному пространству-времени  $\mathbb{M}$ . Характерным свойством конформных диаграмм высту-

пает здесь именно тот факт, что они позволяют «сжимать» бесконечные по размерам области пространства и времени, преобразуя их в конечные фигуры. В то же время, на диаграмме показана и сама бесконечность, так как выделенные жирным черным цветом наклонные границы  $\mathcal{I}^-$  и  $\mathcal{I}^+$  представляют собой фактически нуль-бесконечности для прошлого и будущего соответственно, причем каждая из этих нулевых геодезических линий (нуль-прямых) должна в  $\mathbb{M}$  достигать конечных точек как

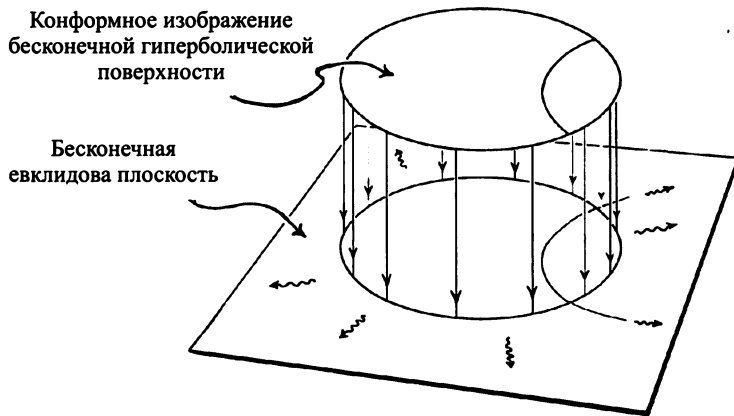


**Рис. 2.30.** Для получения нормальной, или обычной, картины пространства  $\mathbb{M}$  необходимо представить, что наклонные (конические) границы расширяются в бесконечность по указанным стрелкам направлениям

в прошлом, так и в будущем. Буква « $\mathcal{I}$ » произносится обычно как «скрай» и обозначает так называемое script  $\mathcal{I}$  [2.44]. По этой же причине на диаграмме указаны три точки  $i^-$ ,  $i^+$  и  $i^0$ , соответствующие трем разным видам учитываемых бесконечностей (временеподобная бесконечность прошлого, а также пространственноподобная и времениподобная бесконечности будущего). При этом каждая времениподобная геодезическая линия должна обладать в  $\mathbb{M}$  конечными точками в прошлом и будущем ( $i^-$  и  $i^+$ ), а каждая пространственноподобная геодезическая линия завер-

шаться петлей в точке  $i^0$  (далее я поясню, почему  $i^0$  действительно следует рассматривать именно как отдельную точку).

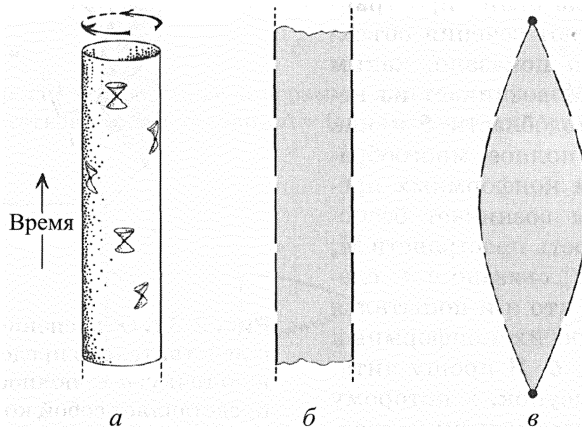
В этой связи мне хочется вновь обратиться к гравюре Эшера на рис. 2.3, *в*, где представлено конформное изображение всей гиперболической плоскости. Отмечу, что граничная окружность на рисунке описывает границу этой плоскости на *бесконечности*, но именно в смысле конформных преобразований, т. е. тем особым методом, когда бесконечностям в описываемом пространстве  $\mathbb{M}$  соответствуют вместе понятия, обозначенные  $\mathcal{I}^-$  и  $\mathcal{I}^+$  ( $i^-, i^+$



**Рис. 2.31.** Расширение гиперболической поверхности в виде гладкого конформного многообразия за пределы конформной границы в той евклидовой плоскости, где она изображается

и  $i^0$ ). Действительно, совершенно аналогично тому, как мы можем продолжить и *расширить* гиперболическую плоскость в виде гладкого конформного многообразия за пределы ее конформной границы в евклидовой плоскости, где она изображена (рис. 2.31), мы можем «гладко» расширить и пространство  $M$  за его пределы, образуя следующее конформное многообразие. При этом пространство  $M$  будет оставаться конформно идентичным той области в модели пространства-времени, которую обычно называют *Вселенной Эйнштейна*  $\mathcal{E}$  или цилиндром Эйнштейна. Эта своеобразная

космологическая модель представляет собой пространственную трехмерную сферу  $S^3$  и одновременно является полностью статической. На рис. 2.32, *а* я попытался выразить интуитивное представление о строении пространства-времени в такой модели (отмечу, что именно при создании этой модели Эйнштейн в 1917 году впервые ввел и использовал космологическую константу  $\Lambda$ , о чем упоминалось в разделе 2.1), а на рис. 2.32, *б* построил строгую конформную диаграмму для такого пространства. Сразу отмечу, что на этой диаграмме мне пришлось использовать две разные «оси



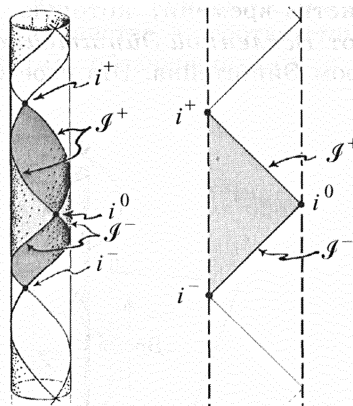
**Рис. 2.32.** Интуитивное изображение структуры Вселенной Эйнштейна  $\mathcal{E}$  (так называемого цилиндра Эйнштейна) (*а*); строгие конформные диаграммы соответствующих объектов (*б* и *в*)

вращения», соответствующие двум разным вертикальным штриховым линиям. Подход внутренне остается совершенно согласованным, поскольку мы просто рассматриваем радиусы объектов  $S^2$ , и именно таким объектам соответствует каждая точка внутренней части диаграммы, «сокращаясь» до нуля в момент достижения штриховой линии. Этим же объясняется тот (странный на первый взгляд) факт, что пространственная бесконечность пространства  $M$  при конформном преобразовании превращается в *отдельную точку*  $i^0$ , поскольку радиус соответствующей ей поверхности  $S^2$  «сокращается» до нуля.

При такой же операции из пространства-времени  $\mathcal{E}$  возникают сечения объектов  $S^3$ . На рис. 2.33, а показано, каким образом пространство  $M$  возникает из некоторой конформной подобласти  $\mathcal{E}$  и как мы можем построить полное многообразие  $\mathcal{E}$  с использованием конформных преобразований. При этом возникает бесконечная последовательность пространств  $M$ , в каждом из которых  $\mathcal{J}^+$  связано с  $\mathcal{J}^-$  следующего пространства, что я и попытался представить в виде строгих конформных диаграмм на рис. 2.33, б. Я прошу читателя запомнить этот рисунок, к которому вернусь позднее, при рассмотрении предлагаемой в части 3 модели.

Давайте еще раз вернемся к рассмотрению введенных в разделе 2.1 космологиче-

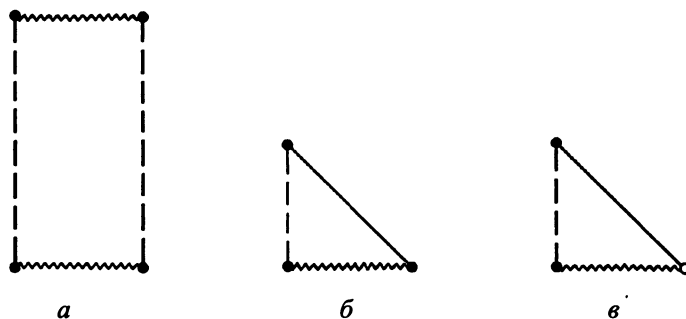
ских моделей Фридмана и более подробно рассмотрим ситуацию, возникающие при значениях  $K > 0$ ,  $K = 0$  и  $K < 0$  в том случае, когда космологическая константа  $\Lambda = 0$ . Конформные диаграммы, соответствующие этим системам ( $K > 0$ ,  $K = 0$  и  $K < 0$ ) я изобразил на рис. 2.34), где выделил сингулярности волнистыми линиями, обозначив границы белыми и черными кружками. При этом белые кружки соот-



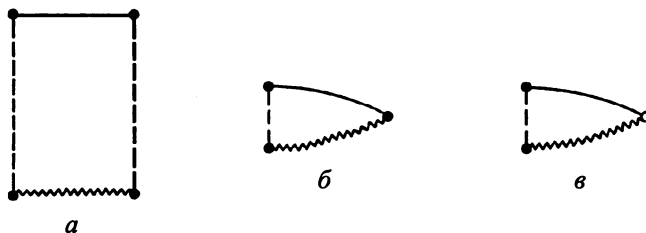
**Рис. 2.33.** Объяснение причин, по которым  $i^0$  действительно представляет собой отдельную точку: а — полное многообразие  $M$  представляет собой конформную подобласть пространства  $\mathcal{E}$ , возникающую из бесконечной последовательности пространств  $M$ ; б — процесс построения строгой конформной диаграммы

ветствуют границам в виде полной сферы  $S^2$ , а черные — отдельным изолированным точкам (как делалось выше для  $M$ ). Отметим, что белые кружки действительно означают граничные сферы в гиперболическом пространстве подобно конформным

отображениям, использованным Эшером для 2-мерной системы. На рис. 2.35 показаны те же системы при положительном значении космологической константы  $\Lambda > 0$ , но при этом, однако, также предполагается, что в случае  $K > 0$  кривизна



**Рис. 2.34.** Строгие конформные диаграммы для трех случаев ( $K > 0$ ,  $K = 0$  и  $K < 0$  соответственно) при условии  $\Lambda = 0$  для космологических моделей Фрийдмана

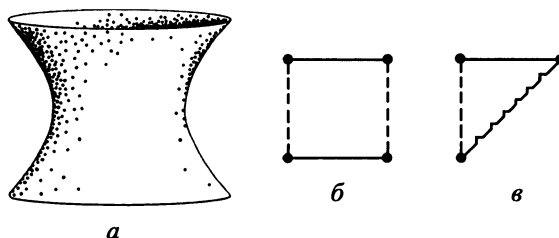


**Рис. 2.35.** Строгие конформные диаграммы для космологических моделей Фрийдмана с  $\Lambda > 0$  в трех описываемых ситуациях:  $a$  —  $K > 0$ ,  $b$  —  $K = 0$  и  $v$  —  $K < 0$

пространства еще недостаточно велика для того, чтобы «преодолеть» воздействие  $\Lambda$  и вызвать предельный повторный коллапс (re-collapse) системы в целом, что и иллюстрируется диаграммами. Кроме того, следует отметить еще одну особенность этих диаграмм, а именно то, что бесконечность  $\mathcal{I}^+$  в будущем для всех описываемых моделей является *пространственноподобной*. Это свойство на рисунках иллюстрируется тем, что угол, который составляют с горизонталью сплошные конечные линии, всегда меньше  $45^\circ$  в отличие от соответствующих случаю  $\Lambda = 0$  диаграмм рис. 2.34, б–в и рис. 2.29, где эти углы равны  $45^\circ$  (т. е.  $\mathcal{I}^+$  представляет собой *нулевую гиперповерхность*). Эти особенности создают основную зависимость гео-

метрической природы предельного пространства  $\mathcal{I}^+$  от значения космологической константы  $\Lambda$ , что играет важную роль при рассмотрении общих идей части 3.

Важной особенностью описываемых космологических моделей Фридмана с  $\Lambda > 0$  является то, что их структура и поведение в отдаленном будущем (т. е. вблизи  $\mathcal{I}^+$ ) очень напоминают известные в теоретической физике *пространства-времени де Ситтера*  $\mathbb{D}$ . Такие пространства описывают некую модельную Вселенную, которая совершенно пуста (не содержит в себе никакого вещества), вследствие чего она геометрически абсолютно симметрична и представляет собой аналог четырехмерной сферы в пространстве Минковского. На рис. 2.36, а я изобразил 2-мерную версию



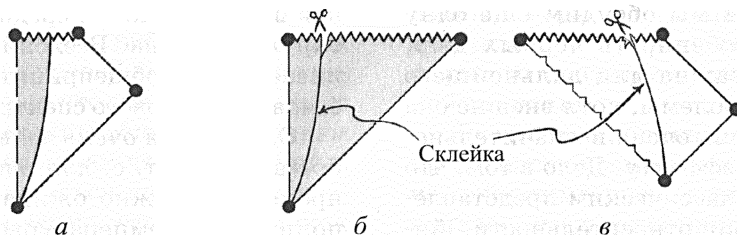
**Рис. 2.36.** Пространство-время де Ситтера: *a* — представленное в трехмерном пространстве Минковского (при двух «исключенных» измерениях); *б* — строгая конформная диаграмма; *в* — разрезав предыдущую диаграмму пополам, мы получим строгую конформную диаграмму для космологической модели стационарной Вселенной

такого пространства  $\mathbb{D}$ , введя лишь одно пространственное измерение. Но реальная ситуация выглядит гораздо сложнее, поскольку полное четырехмерное пространство де Ситтера  $\mathbb{D}$  является гиперповерхностью в некотором пятимерном пространстве Минковского. На рис. 2.36, б я предлагаю строгую конформную диаграмму, соответствующую такой системе. При этом рассмотренная в разделе 2.2 *стационарная модель* точно соответствует одной половине пространства  $\mathbb{D}$ , что и показано на рис. 2.36, в. Из-за требуемого по построению «разреза» через  $\mathbb{D}$ , показанному зубчатой линией, описываемая модель может быть названа «неполной», так как в ней отсутствует развитие во всех направлениях, относящихся к прошлому. На рисунке использованы обычные временеподобные геодезические линии, соответствующие свободному движению лишь тех обладающих массой частиц, чье существование в прошлом ограничивается некоторыми конечными значениями. Этот факт можно считать некоторым недостатком для данной модели при рассмотрении направлений, связанных с будущим, — он может быть отнесен только к будущему движению некоторых частиц или «путешественников» в пространстве [2.45], поскольку можно просто предположить, что такие движения частиц никогда не происходят в реальности.

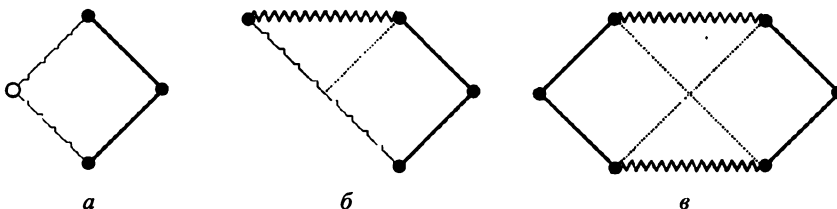
Независимо от того, какую физическую картину мы предпочтем использовать для описания Вселенной, для указания на конформных диаграммах незавершенности или неполноты я использую слегка зазубренные линии. Помимо этого, я применяю в диаграммах еще один тип линий для обозначения горизонта событий черных дыр — пунктир. Таким образом, при полном описании этой довольно сложной ситуации мне приходится прибегать к пяти разным видам линий (штриховые — для осей симметрии, сплошные — для бесконечности, волнистые — для сингулярностей, слегка зубчатые — для незавершенных объектов и пунктирные — для горизонта черных дыр). Кроме того, я использую два вида кружков (черных, соответствующих отдельным точкам в четырехмерном пространстве, и белых, соответствующих их траекториям выхода из  $S^2$ ). Для удобства эти обозначения отдельно показаны на рис. 2.37.

На рис. 2.38, а представлена строгая конформная диаграмма для коллапса черной дыры в модели Оппенгеймера–Снайдера, которая построена путем «склейки» двух диаграмм (для коллапса в модели Фридмана и части диаграммы, предложенной Эддингтоном и Финкельштейном, развития исходного решения Шварцшильда). Эти диаграммы приведены чуть дальше — на рис. 2.38, б, в и рис. 2.39. Дело в том, что





**Рис. 2.38.** Описание коллапса черной дыры в модели Оппенгеймера–Снайдера: *a* — строгая конформная диаграмма, построенная совмещением диаграмм *a* и *b*; *б* — левая часть обращенной по времени модели Фридмана, показанной на рис. 2.34, *б*; *в* — правая часть диаграммы для модели Эддингтона–Финкельштейна, приведенной на рис. 2.39, *б*. В локальных моделях такого типа значение  $\Lambda$  игнорируется, а величина  $f$  считается равной нулю



**Рис. 2.39.** Строгая конформная диаграмма для сферически-симметричного ( $\Lambda = 0$ ) вакуума: *a* — исходное решение Шварцшильда, внешнее по отношению к значению радиуса Шварцшильда; *б* — продолжение метрики для коллапса в рамках модели коллапса Эддингтона–Финкельштейна; *в* — полное продолжение в соответствии с формой, разработанной Крускалом, Синге, Секерешом и Фронсдалом

симальным расширением решения Шварцшильда (часто используется также термин «расширение Крускала–Секереша»). Стоит отметить, что эквивалентное, но более

сложное по форме решение было намного раньше получено Дж. Л. Сингом [2.46]. Соответствующая ему строгая конформная диаграмма приведена на рис. 2.39, *в*.

В разделе 3.4 мы обсудим еще одну характерную особенность черных дыр, которая очень важна для дальнейшего рассмотрения проблемы, хотя внешне она соответствует лишь очень незначительному физическому эффекту. Дело в том, что если следовать классическим представлениям общей теории относительности Эйнштейна, то любая черная дыра действительно должна быть полностью черной, т. е. не характеризоваться какой-то температурой. Однако еще в 1974 году Стивен Хокинг показал, что эффекты квантовой теории поля на фоне искривленного пространства-времени должны приводить к искажению этой простой картины, в результате чего черная дыра должна иметь очень небольшую температуру  $T$ , так как ее значение обратно пропорционально массе дыры [2.47]. Например, у черной дыры с массой  $10 M_{\odot}$  может быть температура  $6 \cdot 10^{-9}$  К, что сравнимо с рекордом низких температур, достигнутым в лаборатории Массачусетского технологического института ( $\sim 10^{-9}$  К), и именно такой температурой должны обладать обычные наблюдаемые нами в 2006 году в космосе черные дыры. Напомню, что величина  $T$  уменьшается с ростом размеров дыры, вследствие чего температура черной дыры в центре нашей Галактики (масса которой составляет  $\sim 4\,000\,000 M_{\odot}$ ) способна опуститься до  $1,5 \cdot 10^{-14}$  К, что на много поряд-

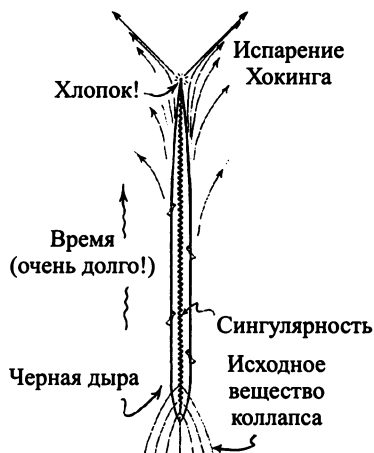
ков величины ниже средней температуры окружающей нас Вселенной ( $\sim 2,7$  К), оцениваемой по общепринятой методике на основе реликтового спектра СМВ.

Однако для *очень больших* промежутков времени, т. е. для очень длительных процессов, можно ожидать дальнейшего понижения температуры (напомню, что если бы экспоненциальное расширение Вселенной продолжалось без конца, то и температура реликтового фонового излучения уменьшалась бы непрерывно, становясь ниже значений, соответствующих самым большим черным дырам). Кроме того, при этом должно начаться излучение энергии черной звезды в окружающее пространство, сопровождающееся потерей массы (в соответствии с формулой Эйнштейна  $E = mc^2$ ). Теряя массу, звезда должна разогреваться и постепенно, через чудовищно большой промежуток времени, примерно через  $10^{100}$  (это число сейчас называют гуголом — *googol*) лет, сократиться до бесконечно малого размера, а затем окончательно исчезнуть. Конечная стадия такого вида, разумеется, не заслуживает энергичного названия «взрыв» и звонкого обозначения «банг», поэтому я назову ее *хлопком* (*pop*). Энергию такого финального события можно сравнить разве лишь с разрывом обычного артиллерийского снаряда, что выглядит обидным после столь длительного ожидания!

Конечно, предложенный сценарий развития основан на очень грубой экстраполяции современного уровня физических знаний, однако отмечу, что анализ Хокинга не противоречит никаким общим принципам и законам природы, так что приведенные выводы могут оказаться вполне разумными, а я лично полагаю, что именно такая судьба почти наверняка ожидает любую черную дыру. Описанный прогноз развития черных звезд представляет собой важную составляющую схемы, которую я буду развивать в последней, третьей части книги. На рис. 2.40 я попытался изобразить

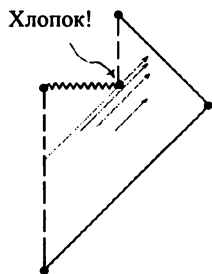
описываемую эволюцию черной звезды, а на рис. 2.41 — представить строгую конформную диаграмму, соответствующую такой эволюции.

Разумеется, большинство возможных пространств-времен не обладают сферической симметрией, а следовательно, все предлагаемые ранее описания в виде строгих конформных диаграмм не могут рассматриваться даже в качестве приближений, и потому для пояснения заложенных в модель теоретических идей часто оказываются очень полезными более простые *схематические диаграммы*. В отличие от



**Рис. 2.40.** Испарение черной дыры по механизму, предлагаемому Хокингом

представленных выше строгих конформных диаграмм они не определяются ясно заданными правилами, вследствие чего читателю иногда необходимо самому напрягать воображение, чтобы полностью представить себе фигуры, описываемые данной диаграммой в пространстве, обладающем тремя или даже четырьмя измерениями! Главная причина, по которой мы применяем эти типы конформных диаграмм для описания пространства-времени, состоит в том, что они позволяют создавать конечные образы *бесконечных* объектов. С одной стороны, они устанавливают какую-то связь, образно говоря, мостик к нашему конечному восприятию бесконечных объектов в пространстве-времени, и именно такие объекты мы пытаемся описать строгими конформными диаграммами, обозначая границы четкими



**Рис. 2.41.** Строгая конформная диаграмма для черной дыры, испаряющейся по механизму Хокинга

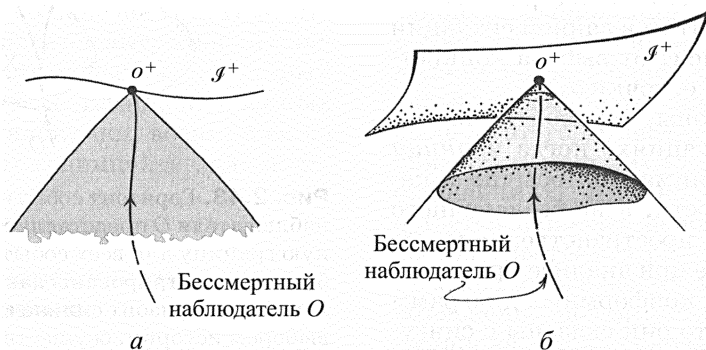
линиями. С другой стороны, схематические диаграммы позволяют как-то «складывать», преподнести в понятной форме объекты, бесконечность которых имеет совершенно иной смысл, так как они представляют собой *сингулярности пространства-времени*, обозначаемые на строгих конформных диаграммах волнистыми линиями. Наглядность, или образность, описания достигается использованием так называемого конформного множителя (масштабного коэффициента)  $\Omega$ , соответствующего преобразованию  $g \rightarrow \Omega^2 g$ , описанному в разделе 2.3. При этом значение  $\Omega$  может плавно уменьшаться вплоть до *нуля*, благодаря чему размеры некоторых (*бесконечных* по размеру областей и объектов) «сокращаются» до конечных значений! В то же время наглядность описания сингулярностей достигается и в тех случаях, когда конформный множитель становится бесконечно большим, в результате чего сингулярные объекты начинают «выглядеть» конечными и математически гладкими из-за своеобразного «вытягивания». Разумеется, нельзя гарантировать, что эти преобразования и операции могут реально осуществиться для любых интересных нас объектов, однако оба указанных типа преобразований и предельных переходов (соответствующих, как было сказано, как схематическим, так и строгим конформным диаграммам) играют важную роль для идей, с которыми я пред-

лагаю ознакомиться позднее. Более того, именно сочетание или комбинация, двух описанных подходов являются центральными для содержания части 3.

Завершая раздел, я бы хотел отдельно рассмотреть ситуацию, связанную с описанием так называемых *космологических горизонтов*, когда действие обоих преобразований проявляется наиболее наглядным образом. Проблема связана с тем, что термин «горизонт» в космологическом контексте может употребляться в двух различных смыслах [2.48], в одном из которых подразумевается *горизонт событий*, а в другом — *горизонт частиц*.

Рассмотрим для начала понятие космологического горизонта событий, которое

очень близко к понятию горизонта событий черной звезды, однако носит более «абсолютный» характер, так как существенно слабее зависит от возможностей внешнего наблюдателя. Космологические горизонты событий реализуются в тех моделях, где присутствует *пространственноподобное* пространство  $\mathcal{I}^+$  типа представленных для всех моделей Фридмана с  $\Lambda > 0$  на строгих конформных диаграммах рис. 2.35 и на рис. 2.36, б в модели Вселенной де Ситтера  $\mathbb{D}$ . Теоретическое усложнение состоит в том, что рассматриваются ситуации, когда это пространственноподобное пространство  $\mathcal{I}^+$  не обладает симметрией (а именно это считается основной особенностью всех моделей с  $\Lambda > 0$ ). На схематических

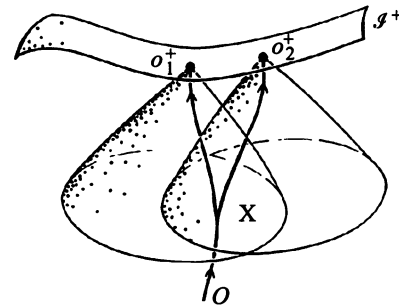


**Рис. 2.42.** Схематическая конформная диаграмма для космологического горизонта событий при  $\Lambda = 1$ : а — двумерный и б — трехмерный случаи

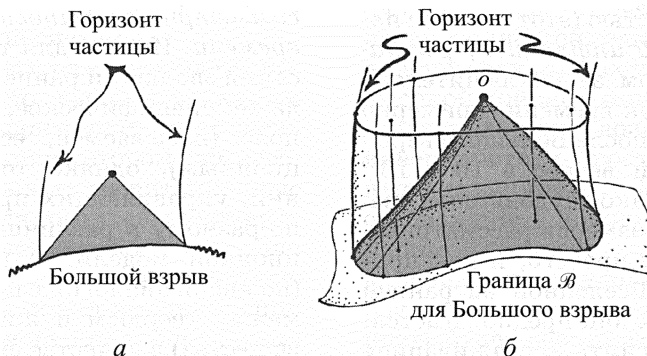
конформных диаграммах рис. 2.42, *a*, *b* я изобразил (для двух и трех измерений пространства-времени соответственно) ту область пространства-времени, которую, в принципе, может рассматривать внешний наблюдатель, обозначенный буквой  $O$  (для того, чтобы избежать проблем, связанных с использованием временной координаты, мы будем считать этого наблюдателя бессмертным!), находящийся на мировой линии  $l$ , которая заканчивается именно в точке  $o^+$  пространства  $\mathcal{S}^+$ . *Горизонт событий*  $\mathcal{C}^-(o^+)$  для такого наблюдателя представляет собой конус прошлого для точки  $o^+$  [2.49], поэтому любое событие, происходящее вне  $\mathcal{C}^-(o^+)$ , никак не может регистрироваться наблюдателем  $O$ , что и показано на рис. 2.43. Но при этом необходимо отметить, что точное расположение горизонта событий в данной ситуации очень сильно зависит от выбора конкретного терминала, т. е. точки  $o^+$ .

С другой стороны, горизонты частиц возникают в ситуациях, когда *граница прошлого* (воспринимаемая обычно в качестве сингулярности, а не бесконечного предела) является пространственноподобной. На самом деле при анализе приведенных ранее строгих конформных диаграмм представляется, что они связаны с сингулярностями, поскольку пространственный характер обычно считается нормой именно для пространственноподобных сингуляр-

ностей. Этот вопрос тесно связан с известной проблемой «космической цензуры», которую я буду рассматривать в следующем разделе. Прежде всего, давайте введем представление об исходной сингулярной границе, обозначив ее через  $\mathcal{B}^-$ . Если событие происходит для наблюдателя  $O$  в некоторой точке пространства-времени  $o$ , то мы можем построить из точки  $o$  соответствующий световой конус прошлого  $\mathcal{C}^-(o)$  и определить его пересечение с границей  $\mathcal{B}^-$ . Любые частицы, возникшие на  $\mathcal{B}^-$  вне этого пересечения, никогда не



**Рис. 2.43.** Горизонт событий бессмертного наблюдателя  $O$  представляет собой абсолютную границу для всех событий, которые могут быть зарегистрированы данным наблюдателем. Этот горизонт сильно связан с личным выбором истории, осуществляемым наблюдателем  $O$ . Изменение «хода мыслей» наблюдателя  $O$  (например, в точке  $X$ ) может привести к изменению горизонта событий



**Рис. 2.44.** Схематическая конформная диаграмма горизонтов частицы в (а) двумерной и (б) трехмерной системах

смогут оказаться в области, видимой для наблюдателя в точке  $o$ , хотя, если мировую линию наблюдателя  $O$  продолжить в будущее, в область его зрения будет попадать все больше и больше частиц. Поэтому обычно рассматривается актуальный *горизонт частицы* для события  $o$ , который «прослеживается» до идеализированных мировых линий галактики, возникшей на пересечении  $\mathcal{C}^-(o)$  с границей  $\mathcal{B}^-$ , как показано на рис. 2.44.

## 2.6. Осознание необычности Большого взрыва

Давайте вернемся к основной проблеме, которой посвящена данная часть книги, а именно — к вопросу о том, каким обра-

зом в нашей Вселенной мог произойти Большой взрыв, т. е. совершенно экстраординарное событие, особенно с учетом его полной необычности по отношению к законам *гравитации*. Проблема состоит в том, что энтропия исходного состояния должна быть, с одной стороны, исключительно малой по отношению ко всему, что было до этого момента, а с другой — быть близкой к максимуму во всех остальных отношениях! Именно это противоречие остается наиболее непонятным и темным обстоятельством в рамках всех современных космологических теорий. В качестве объяснения почти всегда выдвигается популярная идея, основанная на том, что на самых ранних стадиях развития наша Вселенная находилась в состоянии чудовищного расширения с экспоненциально

возрастающей скоростью (этот процесс называют *космической инфляцией*, *расширением*), при котором за исключительно короткий промежуток времени (примерно между  $10^{-36}$  и  $10^{-32}$  с после Большого взрыва) объем Вселенной возрос в  $10^{20}$ ,  $10^{60}$  или даже  $10^{100}$  раз! Такое чудовищное увеличение линейных размеров рассматривается учеными, среди прочего, и как причина однородности Вселенной на ранней стадии развития, так как предполагается, что оно может объяснить «сглаживание» всех тех неоднородностей, которые *должны были* возникнуть в момент зарождения для того, чтобы вообще позднее мог возникнуть принцип, называемый нами вторым законом термодинамики. Именно эта идея лежит в основе инфляционной теории, и она сводится к тому, что наблюдаемая нами сейчас однородность Вселенной может быть объяснена какими-то процессами ее исключительно быстрого, инфляционного расширения на ранней стадии развития. На мой взгляд, эта идея является принципиально ошибочной!

Для того чтобы пояснить, почему я считаю трактовку этой распространенной теории неверной, давайте еще раз рассмотрим проблему на основе общих соображений. Законы динамики, лежащие в основе инфляционной модели, должны соответствовать общим физическим принципам, иными словами, эти законы должны быть

*симметричны относительно обращения времени*. Иногда для теоретического описания эволюции ранней Вселенной вводят даже специфическое, новое физическое поле (называемое, естественно, инфляционным), однако точный вид уравнений, управляющих процессом, выглядит по-разному в различных версиях инфляционной модели. В некоторых случаях (по явной аналогии с процессами перехода между твердым и жидким состояниями вещества) в качестве фактора инфляционного процесса используют представления о своеобразном «фазовом превращении», но стоит вспомнить, что все такие переходы в классической физике рассматриваются в рамках соответствия второму закону и всегда должны сопровождаться каким-то возрастанием энтропии системы. Поэтому введение любого инфляционного поля в теоретическое описание динамики Вселенной никак не может снижать важность приведенных в части 1 доводов. Иными словами, мы все равно должны будем как-то объяснять исключительно низкое значение энтропии в момент зарождения Вселенной. Это низкое значение (в соответствии с доводами раздела 2.2) должно быть связано именно с тем, что на самой ранней стадии эволюции Вселенной гравитационные степени свободы остаются невозбужденными или «неиспользуемыми», по крайней мере, по сравнению с воз-

буждением всех других степеней свободы для рассматриваемой системы.

Для обсуждаемых нами проблем, конечно, очень важно выяснить, каким должно быть то исходное состояние с очень *высокой* энтропией, при котором уже необходимо как-то учитывать гравитационные степени свободы? Для того чтобы составить некоторое представление относительно исходного состояния, я предлагаю читателю вообразить себе, как может выглядеть при обратном ходе времени *коллапсирующая* Вселенная, если ее коллапс происходит в соответствии со вторым законом термодинамики! Понятно, что такой процесс должен неизбежно приводить нас к некоторому сингулярному состоянию с исключительно высокой энтропией. Специально поясню, что предлагаемое простое *рассуждение* о коллапсирующей в обратном направлении времени Вселенной совершенно не означает предположения, что наша реальная Вселенная когда-нибудь будет действительно реколлапсировать подобно представленной на рис. 2.2 замкнутой модели Фридмана с  $\Lambda = 0$ .

Предлагаемая картина коллапса просто описывает гипотетическую ситуацию, которая должна, конечно, происходить в соответствии с уравнениями Эйнштейна. В состоянии полного коллапса системы (подобного рассмотренным в разделе 2.4 общим коллапсам черных дыр) мы можем

ожидать возникновения самых разных неоднородностей, однако позднее (при появлении локальных участков с достаточно высокой концентрацией вещества), по-видимому, должны возникать захваченные поверхности и пространственно-временные сингулярности [2.50]. Любые существовавшие в исходном состоянии нарушения плотности, как следует ожидать, впоследствии чудовищно увеличатся в размерах, так что конечная сингулярность будет возникать из совершенно неупорядоченной смеси «застывающих» и сгущающихся черных дыр. Именно для этой ситуации могут оказаться важными предположения, выдвинутые в упоминавшейся ранее работе ВКЛ (Белинского, Халатникова и Лифшица). Если предположения этих авторов окажутся верными (см. раздел 2.4), то мы действительно можем ожидать возникновения сингулярностей с исключительно сложной структурой.

Далее я еще раз кратко вернусь к проблеме структур сингулярностей, а сейчас предлагаю обсудить существенность общих физических идей, заложенных в инфляционной теории. Давайте внимательно рассмотрим, например, состояние Вселенной в момент разделения вещества и излучения, т. е. именно в тот момент, когда во Вселенной возникло фоновое микроволновое излучение СМВ (см. раздел 2.2). В нашей *действительно* расширяющейся-

ся Вселенной распределение вещества к этому моменту было очень однородным, и этот факт, собственно говоря, является удивительной загадкой, поскольку он не позволяет никаким образом ввести для объяснения хоть какую-то причину возникновения дальнейшего инфляционного раздувания! Для любого объяснения нам придется исходить из того, что в тот момент система *должна была обязательно* содержать в себе огромную неоднородность. Сторонник инфляционной теории может ограничиться простым заявлением о существовании какого-то инфляционного поля (которое само по себе делает возникновение таких неоднородностей крайне маловероятным), однако мы вправе спросить: а что происходило на самом деле?

Мы вполне можем представить себе следующую модель: в момент разделения вещества и излучения Вселенная характеризовалась крайне неоднородным распределением вещества (образно говоря, материя имела вид каких-то крупных комков), однако время при этом текло в обратном направлении, вследствие чего модель описывает весьма неоднородную по строению *коллапсирующую* Вселенную [2.51]. В предложенной выше воображаемой Вселенной, коллапс которой происходит в обратном времени, все такие неоднородности должны очень сильно возрастать в размерах, вследствие чего отклонения от симме-

трии моделей FLRW (см. разд. 2.1) станут более существенными и заметными. Затем (по мере того, как система будет терять присущие моделям FLRW однородности и изотропности) возможности инфляционного поля ослабеют, и гипотетическая, обращенная во времени инфляция просто прекратится вообще, так как она принципиально зависит от свойств исходной модели FLRW, по крайней мере, по тем расчетам, которые могут быть проведены.

Я предлагаю вернуться к рассмотрению тех простых выводов, к которым может привести предложенная выше модель неоднородной коллапсирующей Вселенной. В действительности ее коллапс, или «схлопывание», должно привести к возникновению какой-то новой сингулярности с очень высокой энтропией, возможно, очень похожей на упоминавшиеся ранее модели (типа предложенной Белинским, Халатниковым и Лифшицем), которые описывают ужасную смесь «застывающих» и сгущающихся черных дыр. Можно сразу отметить, что это состояние совершенно не похоже на ту очень однородную, близкую к модели FLRW сингулярность с низким значением энтропии, которая, как кажется, должна соответствовать реальному Большому взрыву. Отмечу, что это различие совершенно не связано с тем, учитывается или нет при разрешенных физических процессах некое специальное,

инфляционное поле. Таким образом, мы возвращаемся к гипотетической модели (обращенной во времени, «комковатой» и коллапсирующей Вселенной) и вновь обнаруживаем, что расширяющаяся Вселенная рождается из какой-то «смеси» с очень высокой энтропией. Эта смесь, по-видимому, является гораздо *более* вероятным начальным состоянием для нашей Вселенной, т. е. обладает гораздо большей энтропией, чем Большой взрыв.

Сливающиеся на последней стадии вообразаемого коллапса черные дыры могут (при обращении времени в расширяющейся Вселенной) создавать некий образ новой исходной сингулярности, которая будет соответствовать [2.52] системе из множества раздваивающихся (бифуркационных) *белых дыр!* Иными словами, белая дыра представляет собой обращенную во времени черную дыру, и я попытался отразить эту ситуацию на рис. 2.45\*. Именно полное *отсутствие* сингулярностей типа предлагаемых белых дыр свидетельствует о со-

вершенной необычности и особом характере нашего Большого взрыва.

В фазовом пространстве начальные сингулярности предлагаемого типа (с множеством раздваивающихся белых дыр) должны иметь гигантские масштабы, значительно превышающие размеры тех сингулярностей, которые порождает интересующий нас Большой взрыв. Простое введение какого-то инфляционного поля не может, конечно, обеспечить *сглаживание* исходных неоднородностей, если они представляют собой конгломерат из сингулярностей, напоминающих описанные выше белые дыры. Это утверждение не требует особых доказательств, так как сохранение неоднородностей обеспечивается использованием уравнений, остающихся справедливыми для любой образовавшейся сингулярности и при любом направлении течения времени.

Более точные представления о чудовищных объемах тех фазовых пространств, которые соответствуют описываемым системам (и в особенности черным дырам) мы можем получить из оценки значений их энтропии. Например, в соответствии с широко известной формулой Бекенштейна–Хокинга энтропия неподвижной (невращающейся) черной дыры с массой  $M$  равна

$$S_{\text{BH}} = \frac{8kG\pi^2}{ch} M^2,$$

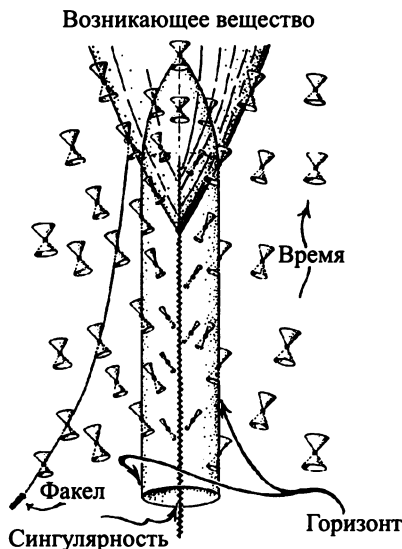
\* В связи со сказанным можно отметить следующую неожиданную аналогию. В гл. 6 известной книги И. Пригожина «Порядок из хаоса» при описании эволюции сложной химической системы (детерминистические кинетические уравнения плюс области со случайными флуктуациями) возникают «бифуркационные каскады». — *Прим. перев.*

а для вращающейся звезды эта величина может возрасть в 1,5 раза (в зависимости от характера вращения). Коэффициент пропорциональности между  $S$  и  $M^2$  представляет собой некую новую константу, составленную из постоянных Больцмана  $k$ , Ньютона  $G$ , Планка  $h$ , а также скорости света  $c$ . Приведенную формулу для энтро-

пии можно переписать и в более общей форме (не связанной с вращением звезды вообще)

$$S_{\text{вн}} = \frac{kc^3 A}{4G\hbar},$$

где  $A$  соответствует площади поверхности горизонта, а  $\hbar = h/2\pi$ .



**Рис. 2.45.** Гипотетическая белая дыра, представляющая собой обращенную во времени черную дыру типа показанной на рис. 2.24. Существование такого объекта грубо нарушает второй закон термодинамики. Например, свет не проходит через горизонт системы, вследствие чего факел (показанный в левом нижнем углу рисунка) проникает в такую дыру только после того, как она взрывается обычным образом

При использовании введенных в конце раздела 3.2 планковских единиц эта формула приводится к очень простому виду

$$S_{\text{вн}} = A/4.$$

Я считаю, что она не позволяет учитывать с удовлетворительной точностью энтропию, связанную с внутренними состояниями черных дыр [2.53], однако получаемые с ее помощью значения содержат основную информацию относительно вклада в энтропию всего внешнего (по отношению к черной дыре) физического квантового мира в соответствии со вторым законом термодинамики. Как уже отмечалось в разделе 2.2, основной вклад в энтропию существующей Вселенной вносят гигантские черные дыры, располагающиеся в центрах галактик, так что можно считать, что именно внутри таких дыр (точнее говоря, внутри нашего горизонта соответствующих частиц, как отмечалось в разделе 2.5) сосредоточена основная масса вещества наблюдаемой нами Вселенной. Легко подсчитать, что энтропия сформировавшейся в результате коллапса черной дыры с такой же массой должна составлять примерно  $10^{124}$ , и это значение можно рассматривать в качестве нижнего предела энтропии для рассматриваемых систем после коллапса. Объем фазового пространства, соответствующий такой мо-

дели, должен равняться [2.54] примерно

$$10^{10^{124}}$$

(из-за наличия логарифма в формуле Больцмана для энтропии, которая приводилась еще в разделе 1.3), в то время как объем фазового пространства нашей Вселенной с такой массой к моменту разделения вещества и излучения (оцениваемый, например, по измерениям спектра реликтового излучения) не должен превышать

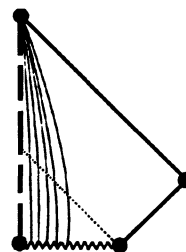
$$10^{10^{89}}.$$

Вероятность нашего существования во Вселенных такого типа обратно пропорциональна объемам соответствующих фазовых пространств, т. е. составляет около  $1/10$  в степени  $10^{124}$ , причем появление этой абсурдно ничтожной величины [2.55] никак не связано с введением в рассмотрение какой-либо инфляционной модели. Можно отметить, что появление и использование величин с приведенными масштабами требуют, вообще говоря, особых теоретических объяснений!

Существует еще одна проблема, требующая дополнительных разъяснений. И она состоит в том, имеем ли мы достаточно разумные основания, чтобы рассматривать требуемую теорией исходную сингулярность (типа описываемой белой дыры, обладающей весьма сложной структурой)

как некое мгновенное событие. Теоретически вопрос сводится к тому, вправе ли мы полагать, что сингулярность типа белой дыры (которая, строго говоря, представляет собой особый тип конформной границы в прошлом пространственно-времени) действительно является временеподобной? Проблема возникает из-за того, что эта исходная временеподобная сингулярность используется затем в качестве представления нулевой точки для какой-то космической координаты времени и считается «моментом» возникновения особого, высоконеупорядоченного большого взрыва.

Более точно говоря, обращенный во времени коллапс Вселенной в модели Оппенгеймера–Снайдера связан с некой пространственноподобной исходной сингулярностью, что легко заметить, сравнив строгую конформную диаграмму рис. 2.46 с ее диаграммой для обращения времени на рис. 2.38, а. Наличие таких пространственноподобных структур кажется характерной особенностью всех сингулярностей ВКЛ-моделей, а при дальнейшем обобщении можно даже сказать, что именно пространственноподобные структуры могут рассматриваться даже в качестве «видового» признака всех таких сингулярностей, так как они могут обращаться в нуль в заданных точках. На этом основано представление о так называемой *стро-*



**Рис. 2.46.** Строгая конформная диаграмма для белой дыры, представленной на рис. 2.45

*гой космической цензуре* [2.56], связанное с упоминавшимся в разделе 2.4, но еще не доказанным предположением относительно решения уравнений Эйнштейна. Предположение сводится к тому, что голые сингулярности не должны наблюдаться (отсюда и шуточное использование термина «цензура») при таких характерных, видовых гравитационных коллапсах, так как они всегда будут скрыты за горизонтом событий черной дыры. Упомянутая строгая космическая цензура включает в себя также утверждение, что все такие сингулярности должны быть пространственноподобными (по крайней мере, в обобщенном смысле), и поэтому мне кажется вполне разумным рассматривать связанные с белыми дырами сингулярности как действительно мгновенные события.

При этом возникает важный вопрос: какой геометрический критерий может

позволить нам различать или отделять «гладкие» сингулярности с очень низкой энтропией (соответствующие обсуждаемому нами Большому взрыву) от гораздо более обширного класса сингулярностей с высокой энтропией, возникающих при рассмотренных ранее коллапсах с обращением времени и с участием белых дыр? Другими словами, нам необходимо ввести короткое и точное определение, заменяющее фразу «гравитационные степени свободы до этого момента остаются неактивированными», т. е. воспользоваться какой-то математической величиной, позволяющей реально оценивать или измерять роль «гравитационных степеней свободы».

В очень многих отношениях (независимо от важных различий) хорошей аналогией гравитационного поля служит электромагнитное поле. В релятивистской физике оно описывается векторной величиной  $F$ , называемой *тензором поля Максвелла* в честь великого шотландского физика Джеймса Клерка Максвелла, который первым в 1861 году получил уравнения, касающиеся поведения электромагнитного поля, и показал, что они могут описывать процесс распространения света. Напомню, что в разделе 2.3 я упоминал также другой тензор — *метрический тензор*  $g$ . Вообще говоря, тензоры играют исключительно важную роль в

общей теории относительности, поскольку именно эти математические величины позволяют точно описывать геометрические и физические особенности, которые связаны или происходят при упомянутых в разделе 2.3 «растягивающих» деформациях, называемых диффеоморфизмами. В специальной теории относительности электромагнитное поле описывается тензором  $F$ , который в каждой точке определяется шестью независимыми числами (три из которых характеризуют компоненты электрического, а три — компоненты магнитного поля в данной точке), а метрический тензор  $g$  определяется в каждой точке десятью независимыми компонентами. В общепринятой системе записи такой тензор представляют в виде метрики типа  $g_{ab}$  с некоторым набором компонент и двумя нижними индексами (которые могут быть симметричны, т. е. удовлетворять условию перестановки  $g_{ab} = g_{ba}$ ). Для максвелловского тензора  $F$  набор компонент можно записать в виде  $F_{ab}$  (с учетом возможной асимметрии, когда  $F_{ab} = -F_{ba}$ ). Каждый из таких тензоров обладает некоторой *валентностью*  $\begin{bmatrix} 0 \\ 2 \end{bmatrix}$ , обусловленной фактом наличия двух нижних индексов. При этом существуют и тензоры с верхними индексами, так что иногда следует рассматривать тензоры вида  $\begin{bmatrix} p \\ q \end{bmatrix}$ , где буквами  $p$  обозначается некий набор верхних, а бук-

вами  $q$  — нижних индексов рассматриваемой тензорной величины. Существует достаточно простой алгебраический прием, называемый *свертыванием* тензора, позволяющий связывать верхние и нижние индексы довольно сложным образом. Частично эта операция напоминает механизм образования химических связей (откуда и возник упомянутый выше явно химический по происхождению термин «валентность»), а в результате его использования происходит слияние, или погашение, индексов. Я не буду вдаваться в их подробности, так как это описано во многих учебниках по тензорному анализу.

Степени свободы электромагнитного поля полностью определяются компонентами тензора  $F$ , однако в теории Максвелла существует также *источник* электромагнитного поля, называемый *вектором плотности потока заряда*  $J$ , который представляет собой  $\begin{bmatrix} 1 \\ 0 \end{bmatrix}$ -тензор с четырьмя компонентами, одна из которых в данной точке соответствует плотности электрического заряда, а три других вместе — векторным компонентам электрического тока. В стационарном состоянии плотность зарядов действует в качестве некоторого источника электрического поля, а плотность самого потока электронов выступает как источник некоторого магнитного поля, однако все это описание

значительно усложняется в нестационарных условиях.

Таким образом, исходя из предложенной выше аналогии при рассмотрении *гравитационного поля* мы должны как-то определить аналоги величин  $F$  и  $J$  в рамках общей теории относительности Эйнштейна, где очень важную роль играет так называемая кривизна пространства-времени, которая может быть точно вычислена, если мы знаем изменения метрики  $g$  по пространству-времени. В свою очередь сама метрика  $g$  описывается некоторым  $\begin{bmatrix} 0 \\ 4 \end{bmatrix}$ -тензором  $R$  (тензор *Римана–Кристоффеля*) с 20 независимыми компонентами для каждой точки. Набор индексов тензора  $R$  обладает довольно сложной симметрией, вследствие чего эти компоненты приходится разбивать на две группы, из которых можно создать два независимых тензора. Один из них —  $\begin{bmatrix} 0 \\ 4 \end{bmatrix}$ -тензор  $S$  с десятью независимыми компонентами, обычно называют *конформным тензором Вейля*, а второй, симметричный  $\begin{bmatrix} 0 \\ 4 \end{bmatrix}$ -тензор  $E$  с десятью независимыми компонентами, — *тензором Эйнштейна*. Он является эквивалентом известного *тензора Риччи* и лишь очень незначительно отличается от него [2.57]. В соответствии с полевыми уравнениями Эйнштейна этот тензор  $E$  выступает в качестве *источника* гравитационно-

го поля, и его, как правило, записывают [2.58] в виде

$$\mathbf{E} = \frac{8\pi G}{c^4} \mathbf{T} + \Lambda \mathbf{g}$$

или (с использованием описанных в подразд. 3.2 планковских постоянных)

$$\mathbf{E} = 8\pi \mathbf{T} + \Lambda \mathbf{g},$$

где  $\Lambda$  — введенная ранее космологическая константа, а  $\begin{bmatrix} 0 \\ 2 \end{bmatrix}$ -тензор энергии  $\mathbf{T}$ , описывающий плотность массы-энергии и все остальные физические величины, связанные в рамках теории относительности. Другими словами, в гравитационной теории тензор  $\mathbf{E}$  (или, что эквивалентно, тензор энергии  $\mathbf{T}$ ) является гравитационным аналогом величины  $\mathbf{J}$ , в то время как тензор Вейля  $\mathbf{C}$  в этой теории — аналог величины  $\mathbf{F}$  в теории Максвелла.

Читатель вправе задать следующий совершенно законный вопрос. Известно, что наличие электромагнетизма проявляет себя в форме наглядных физических эффектов, к числу которых относятся, например, полученные еще Фарадеем красивые паттерны из железных опилок между магнитными полюсами и т. п. Какие аналогичные эффекты мы должны или можем наблюдать в описываемой нами системе с тензорами  $\mathbf{C}$  и  $\mathbf{E}$ ? Ответ сводится к тому, что мы действительно *видим* (в буквальном

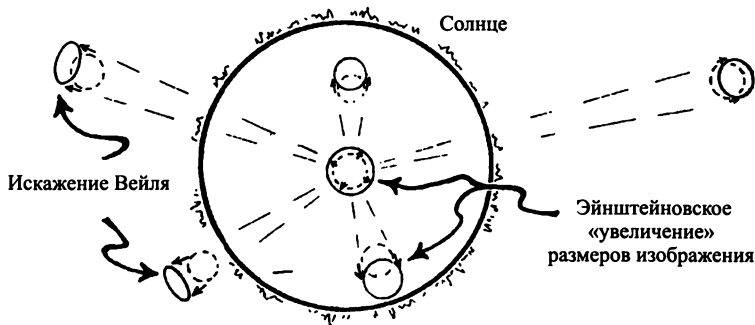
смысле этого слова) эффект существования тензора  $\mathbf{E}$  (а конкретнее — тензора  $\mathbf{C}$ ), поскольку эти тензоры непосредственно влияют на траектории прохождения лучей света. В этом смысле тензоры  $\mathbf{E}$  и  $\mathbf{T}$  *полностью* эквивалентны, так как величина  $\Lambda \mathbf{g}$  никак не воздействует на световые лучи. Можно с полной определенностью утверждать, что первым и совершенно явным подтверждением справедливости общей теории относительности стало прямое наблюдение соответствующих искажений траектории лучей света в гравитационном поле Солнца. Измерения проводились при астрономических наблюдениях полного солнечного затмения в районе острова Принсипе знаменитой экспедицией, организованной сэром Артуром Эддингтоном в 1919 году.

В сущности тензор  $\mathbf{E}$  в описываемой физической (точнее, почти оптической) системе действует как усиливающая (собирающая, положительная) линза, а действие тензора  $\mathbf{C}$  точно соответствует действию астигматической (рассеивающей) линзы. Так что рассмотрение их совместного действия в рамках обычной оптики позволяет выявить воздействие массивного тела, каким является Солнце. Разумеется, свет практически не может проходить через объем, занимаемый небесным телом типа Солнца или Луны (свидетель-

ством чего служат, например, лунные затмения), и речь идет вовсе не о простых оптических наблюдениях. Однако я предлагаю читателю представить, что он просто рассматривает картину неба на фоне Солнца и пытается зафиксировать, каким образом изменится траектория светового луча при прохождении мимо Солнца, если учесть слабое усиление интенсивности излучения (благодаря наличию поля  $E$ ) при заданной массе звезды. Прямой эффект от воздействия тензора  $E$  должен состоять в простом *увеличении* размеров наблюдаемых объектов [2.59], однако вследствие искажений изображения далеких участков звездного неба они должны по-разному растягиваться *вне* солнечного диска

(а именно это наблюдается в *действительности*). В результате для наблюдаемых далеких участков звездного неба возникает известный в оптике эффект *астигматизма*, при котором круглые объекты приобретают форму эллипсов, как показано на рис. 2.47. Вносимые гравитационным полем искажения приводят к возникновению «эллиптичности», степень которой позволяет оценить величину *кривизны Вейля*  $S$  на траектории проходящих мимо Солнца лучей света.

Этот предсказанный Эйнштейном эффект гравитационной линзы позднее стал исключительно ценным инструментом исследований в современной астрономии и космологии, так как он позволяет оце-



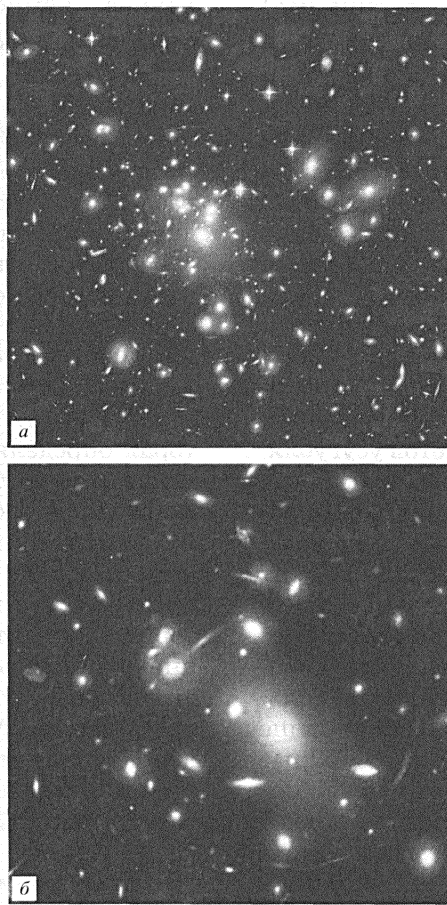
**Рис. 2.47.** Наличие кривизны Вейля для пространства, окружающего небесное тело большой массы (в данном случае Солнца), приводит к появлению искажений (неконформных) картины звездного неба за диском

нить распределение масс для объектов, которые невозможно наблюдать непосредственно. В большинстве случаев фоновое изображение (участок звездного неба за диском Солнца или любого массивного объекта) состоит из большого числа очень далеких галактик, вследствие чего изображение в объективе регистрирующего прибора позволяет проверить, приобретает ли форма наблюдаемых астрономических объектов дополнительную эллиптичность. Если такое изменение действительно имеет место, то на его основе можно рассчитать гравитационную массу тел, вызывающих искажения. Сложность расчетов усугубляется тем неприятным фактом, что многие галактики сами по себе имеют форму эллипсов, вследствие чего сложно определить, является ли наблюдаемая степень эллиптичности конкретной галактики ее собственной характеристикой или же это следствие описываемого астигматического искажения. Однако при наличии большого числа галактик на фоновой картине можно применять достаточно надежные статистические методы обработки изображений и получать ценную информацию об интересующем нас распределении масс в межзвездном пространстве. В некоторых случаях можно даже визуализировать результаты таких исследований и создавать изображения типа рис. 2.48, на которых

возникающая дополнительная эллиптичность проявляется очень наглядно и красиво. Исключительно важным применением данной методики стала возможность изучения распределений в пространстве упоминавшейся ранее *темной материи* (см. разд. 2.1), недоступной для исследования другими известными методами [2.60].

Тот факт, что возникновение эллиптичности изображения в направлении распространения световых лучей обеспечивается или, образно говоря, создается наличием тензора  $C$ , обуславливает роль этого тензора в качестве именно той величины, которая определяет *конформную кривизну*. В конце раздела 2.3 отмечалось, что конформная структура пространства-времени фактически отражает структуру его нуль-конусов, а конформная кривизна пространства-времени (создаваемая тензором  $C$ ) при этом служит мерой отклонения структуры нуль-конусов этого пространства от соответствующей структуры пространства Минковского  $M$ . Ранее мы видели, что именно такое отклонение создает эллиптичность в пучках проходящих световых лучей.

Теперь мы можем перейти к рассмотрению и формулировке условий, определяющих особую специфичность Большого взрыва. Прежде всего в соответствии с вышесказанным, мы должны потребовать,

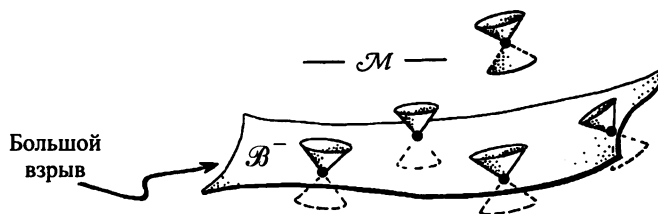


**Рис. 2.48.** Примеры изображений, получаемых с использованием эффекта гравитационной линзы: *a* — галактический кластер Abell 1689; *б* — галактический кластер Abell 2218

чтобы гравитационные степени свободы оставались к моменту взрыва невозбужденными, что можно сформулировать в виде примерно следующего утверждения: «... в этот момент кривизна Вейля  $S$  исчезает». В течение многих лет я действительно предполагал, что сингулярностям исходных моментов должно соответствовать какое-то условие типа  $S = 0$ , поскольку именно оно выглядело «обратным» по отношению к условиям сингулярностей конечных моментов во всех других случаях, возникающих, например, в черных дырах (когда значения  $S$  бесконечно возрастают), при коллапсе Оппенгеймера–Снайдера и, возможно, в сингулярностях ВКЛ-моделей [2.61] с их огромными расхождениями. Обсуждаемое условие исчезновения тензора  $S$  для исходных сингулярностей я назвал *гипотезой кривизны Вейля* (Weyl curvature hypothesis, WCH), и оно представляется, вообще говоря, вполне приемлемым, хотя с ним также связаны некоторые сложности, определяемые возможностью большого числа разных формулировок этого условия. Основная проблема связана с тем, что  $S$  является *тензорной* величиной, для которой очень трудно точно и однозначно сформулировать математические требования при образовании пространственно-временных сингулярностей, так как

для таких сингулярностей перестает существовать само определение тензора (по крайней мере, в обычном смысле).

К счастью, моему коллеге по Оксфорду Полу Тоду удалось разработать и даже детально сформулировать совершенно иной, но математически очень убедительный подход к решению проблем упомянутой гипотезы WCH. В его работе предполагается, что существует некая 3-поверхность  $\mathcal{N}$  Большого взрыва, которая выступает как гладкая граница прошлого для описываемого пространства-времени  $\mathcal{M}$ . Эта поверхность  $\mathcal{M}$  рассматривается в качестве конформного многообразия (точно так же, как в случае совершенно симметричных моделей FLRW, представленных строгими конформными диаграммами на рис. 2.34 и рис. 2.35), а различие, однако, заключается в том, что в этих специальных моделях более *не предполагается* наличие FLRW-симметрии. Диаграмма для модели Тода представлена на рис. 2.49. Налагаемое в подходе Тода ограничение сводится к тому, что при Большом взрыве тензор  $S$ , по крайней мере, остается *конечным* (поскольку на поверхности  $\mathcal{N}$  предполагается гладкость конформной структуры), так что  $S$  не может отклоняться очень сильно. Эти утверждения кажутся достаточными для выполнения сформулированных ранее требований.



**Рис. 2.49.** Схематическая конформная диаграмма предложенного Тодом подхода для формулировки гипотезы кривизны Вейля, в которой предполагается, что Большому взрыву соответствует гладкая граница прошлого  $\mathcal{B}^-$  для описываемого пространства-времени  $\mathcal{M}$

Для пояснения математической сути предложенного Тодом подхода имеет смысл сформулировать его в виде следующего утверждения: пространство-время может быть гладко продолжено в виде конформного многообразия на не очень большое расстояние непосредственно перед гиперповерхностью  $\mathcal{B}^-$ . Тут читатель вправе изумленно спросить: как можно оказаться перед поверхностью или *до* поверхности Большого взрыва? Разумеет-

ся, это невозможно, отвечу я, поскольку ведь предполагается, что именно Большой взрыв стал началом всего и всех событий в нашем мире, для которого нельзя вообразить себе никакие «до»! Читателю не стоит беспокоиться, ведь я предлагаю чисто математический трюк, так что математическое продолжение вовсе не должно иметь какого-то *физического* смысла.

Или должно...?

## Часть 3

# Конформная циклическая космология

### 3.1. Связь с бесконечностью времени

С точки зрения физики, ужасно интересно, каким было вещество или материя очень давно, т. е. почти сразу после Большого взрыва? Одно совершенно ясно: это вещество было *горячим*, исключительно горячим! Кинетическая энергия движения частиц в самой ранней Вселенной должна была быть немыслимо большой и чудовищно превышать даже достаточно скромное значение энергии покоя (в соответствии со знаменитой формулой  $E = mc^2$ , где  $m$  — масса покоя частицы). Из этого следует, что масса покоя частиц вообще перестает быть значимой и эффективной величиной (т. е. может считаться равной нулю), по крайней мере по отношению к динамическим процессам в системах, рассматриваемых при таком состоянии. Этот факт очень важен, поскольку из него вытекает, что в самый ранний период эволюции наша Вселенная реально состояла

из лишенных массы покоя (их называют также *безмассовыми*, безынерционными и т. п.) частиц.

Это утверждение можно сформулировать в другом виде, если вспомнить некоторые идеи современной физики элементарных частиц [3.1] о возникновении *массы* фундаментальных частиц. В соответствии с распространенной точкой зрения, масса покоя частицы возникает лишь в результате существования некоторой *особой* частицы, называемой *бозоном Хиггса* (или, возможно, целого семейства таких частиц). Далее масса покоя всех фундаментальных частиц природы возникает в результате их взаимодействия с некоторым квантовым полем (которое и ассоциируется с бозоном Хиггса) за счет очень тонкой квантово-механической операции «нарушения симметрии». Именно это позволяет приписывать частицам массу, которой они не могли бы обладать в отсутствие частицы Хиггса.

В то же время, бозону Хиггса также приписывается некоторая собственная масса (или, что эквивалентно, некоторая энергия покоя). Из этого следует, что в соответствии со стандартными представлениями на самом раннем этапе эволюции Вселенной (когда ее температура была настолько велика, что энергии частиц превышали значение этой хиггсовской энергии покоя) *все* частицы должны были быть эффективно безмассовыми, подобно фотонам.

Безмассовые частицы, о которых мы говорили ранее в разделе 2.3, никак не выявляются в конкретных проявлениях полной *метрической* природы пространства-времени, поскольку они связаны непосредственно только с его *конформной* структурой, т. е. со структурой нуль-конусов. Для уточнения ситуации можно просто сказать, что нужно рассматривать какие-то первичные, лишенные массы, частицы (фотоны), которые в дальнейшем должны оставаться такими же безмассовыми вплоть до настоящего времени [3.2]. Более точное изучение природы фотонов требует их описания в рамках странной, но исключительно точной *квантовой механики* (а точнее, квантовой теории поля). Я не буду вдаваться в детали этой теории (частично она рассматривается в разделе 3.4), так как в дан-

ном случае особое значение имеет лишь вопрос о том, квантами какого физического поля выступают фотоны. Нам точно известно, что им является *электромагнитное* поле Максвелла, характеризующееся представлением в разделе 2.6 тензором  $F$ . Наибольшую важность для нашей книги имеет то, что описывающие такое поле уравнения Максвелла являются полностью *конформно-инвариантными*. Это означает, что при замене любой метрики  $g$  на конформно связанную с ней метрику  $\hat{g}$ , т. е. при операции

$$g \rightarrow \hat{g},$$

где

$$\hat{g} = \Omega^2 g,$$

а  $\Omega$ , как отмечалось, — некая положительно определенная и плавно изменяющаяся скалярная величина в данном пространстве-времени (см. разд. 2.3). Из этого следует, что можно соответствующим образом определить коэффициенты масштабирования как для самого поля  $F$ , так и для его источника (вектора переноса заряда  $J$ ), в результате чего мы вновь получаем набор уравнений Максвелла [3.3] в их точной форме, однако с использованием величины  $\hat{g}$  вместо  $g$ . Таким образом, любое решение таких уравнений

Максвелла (но при заданном выборе масштабирования конформного преобразования) в некотором смысле «превосходит» любое индивидуальное точное решение, возникшее при выборе какого-то одного масштаба преобразований (более детально эти рассуждения приводятся в разделе 3.2 и в приложении А6). Очень упрощенно приведенные соображения можно свести к следующему: на основе квантовой теории поля [3.4] данное описание соответствует поведению *частицы* (т. е. фотона) с использованием метрики  $\hat{g}$ , при котором каждый отдельный фотон переходит в другой фотон и т. д., «не замечая» никаких локальных изменения масштаба.

В действительности теория Максвелла является конформно-инвариантной в самом строгом смысле, поскольку связывающие пары электрических зарядов *электромагнитные взаимодействия* «не чувствуют» локальных изменений масштаба. В пространстве-времени для фотонов и их взаимодействий с заряженными частицами требуется наличие *структур в виде нуль-конусов* (конформных пространственно-временных структур, для которых и были сформулированы соответствующие уравнения), но *не требуется* введения масштабного множителя, позволяющего выделить определенную метрику пространства среди остальных,

соответствующих заданной структуре нуль-конусов. Более того, именно такая инвариантность соответствует известным *уравнениям Янга–Миллса*, описывающим не только *сильные* взаимодействия, т. е. силы, действующие между нуклонами (протоны, нейтроны и составляющие их кварки, а также множество других частиц), но и *слабые* силы, ответственные, например, за процессы радиоактивного распада частиц. Математическая теория Янга–Миллса [3.5] выстроена на системе уравнений Максвелла с использованием дополнительных «внутренних индексов», позволяющих замещать один фотон некоторым мультиплетом частиц (см. приложение А7). При рассмотрении сильных взаимодействий в качестве аналогов электронов и фотонов теории Максвелла выступают частицы, называемые *кварками и глюонами*. Кварки (в отличие от глюонов) в теории сильных взаимодействий являются носителями массы покоя, причем само представление о массе оказывается связанным с уже упомянутым выше бозоном Хиггса. В стандартной теории слабых взаимодействий (ее часто называют теорией электрослабого взаимодействия, так как она включает в себя электромагнетизм в качестве одной из компонент) фотон рассматривается просто как одна из трех частиц мульти-

плета, обозначаемых обычно  $W^+$ ,  $W^-$  и  $Z$ , причем массы всех этих частиц вновь связаны с бозоном Хиггса. В соответствии с общепринятой теорией, полная конформная инвариантность может быть восстановлена при очень высоких температурах, соответствующих состоянию после Большого взрыва. Как предполагается, восстановление может произойти также, например, при столкновении частиц сверхвысокой энергии на знаменитом ускорителе LHC (Large Hadron Collider — Большой адронный коллайдер) в Женеве после достижения расчетной мощности [3.6], так что, возможно, эксперименты на этой установке позволят нам многое прояснить в существующей стандартной теории элементарных частиц. В любом случае, даже если анализ будущих результатов выявит неполноту существующей теории, дальнейшее повышение энергии ускорителей должно привести к неприменимости понятия массы покоя и доминированию законов конформной инвариантности в наблюдаемых физических процессах.

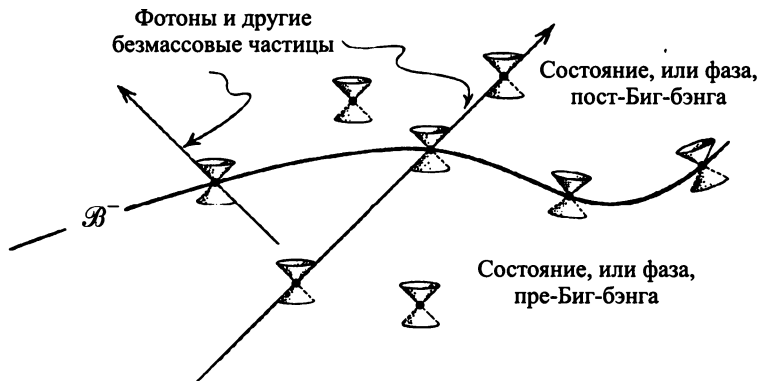
Завершая вводную часть, стоит подчеркнуть, что сразу после Большого взрыва, например, через  $10^{-12}$  с после этого события [3.7], когда температура системы превосходила  $10^{16}$  К, физические законы Вселенной, по-видимому, вообще не

включали в себя масштабный коэффициент  $\Omega$ . При этом структура пространства-времени определялась только *конформной* геометрией [3.8], вследствие чего происходящие в ней процессы были нечувствительны к любым локальным изменениям масштаба. Конформное изображение последовательности событий Большого взрыва в модели Тода (см. разд. 2.6, рис. 2.49) соответствует гладкой пространственноподобной 3-поверхности  $\mathcal{B}$ , являющейся математическим расширением конформного «пространства-времени» на момент, *непосредственно предшествующий* Большому взрыву. Теоретически это представляет собой попытку (строго математически) когерентно сдвинуть всю картину событий, что с физической точки зрения достаточно разумно позволяет избежать всех последствий чудовищного изменения состояний системы (непосредственно перед Большим взрывом и после него состояния для простоты можно назвать пре-Биг-бэнг и пост-Биг-бэнг соответственно). Поведение нуль-конусов по общим представлениям модели Тода показано на рис. 3.1.

Проблема состоит в том, можем ли мы рассматривать эту чисто гипотетическую область событий в качестве *реальной*, т. е. существующей физически? Даже при положительном ответе на этот вопрос нам

следует задуматься о том, какому типу пространственно-временных объектов соответствует такая пре-Биг-бэнг-фаза. При этом напрашивается предположение о существовании какой-то коллапсирующей фазы, которая неким образом способна «отскакивать» или отражаться внутрь расширяющейся Вселенной именно в момент Большого взрыва. Легко заметить, что эта ситуация совершенно противоречит всему, что я пытался сказать ранее, так как она подразумевает, что коллапсирующая фаза Большого взрыва каким-то образом с невероятной точностью «наце-

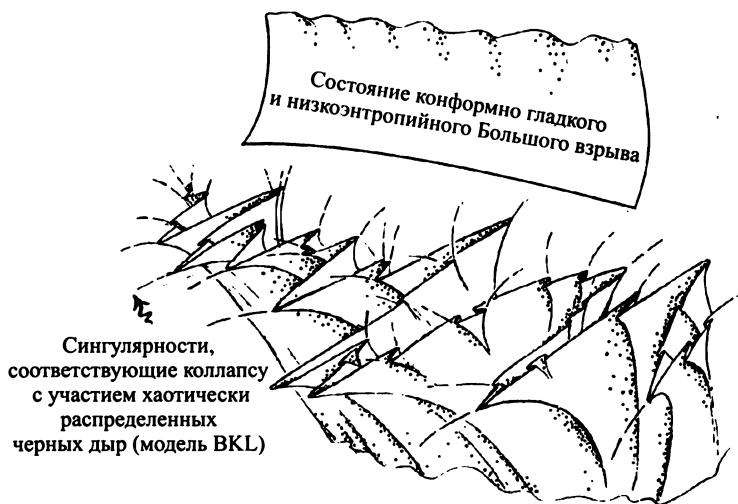
лена» на создание совершенно особенного, специфического состояния для столь же исключительного состояния самого реального Большого взрыва! Вся эта картина представляет собой весьма грубое нарушение второго закона (по отношению к фазовому состоянию до Большого взрыва, поскольку из нее следует, что энтропия системы может каким-то самостоятельным образом резко уменьшиться до (относительно) очень низкого уровня, соответствующего Большому взрыву) — все это напоминает описание некоторой Вселенной, коллапс которой *соответствует*



**Рис. 3.1.** Траектории возникших на раннем этапе пре-Биг-бэнга фотонов и других, не обладающих эффективной массой, частиц/полей могут быть непрерывно продолжены в предыдущую фазу или, наоборот, в будущее, что позволяет таким частицам/полям даже переносить информацию из будущей фазы (пост-Биг-бэнг) в прошлую (пре-Биг-бэнг)

второму закону (см. разд. 2.6). Ситуация в целом подразумевает коллапс некоторого сплошного пространства-времени, образно говоря, изрешеченного черными дырами, которое должно формировать какую-то сингулярность. Эта геометрическая картина совершенно не похожа на ту, которая требуется для непрерывного конформного преобразования, удовлетворяющего условиям описанной выше модели Тода (рис. 3.2). Разумеется, мы можем просто принять, что для второго закона

термодинамики время в такой, предшествующей Большому взрыву, фазе должно рассматриваться и учитываться совсем по-другому (см. рассуждения в конце разд. 1.6), однако легко заметить, что такие рассуждения также явно будут противоречить общей направленности предлагаемой книги. Автор надеется обнаружить нечто большее, напоминающее «объяснение» второго закона (или, по крайней мере, какие-то рациональные доводы, связанные с ним), а не просто *декларирование* очевид-



**Рис. 3.2.** Вариант сингулярности, который следует ожидать при коллапсе, полностью отличном от конформно гладкого и низкоэнтропийного большого взрыва обычного типа

ной возможности возникновения каких-то специальных (или даже абсурдных) физических состояний в критический момент развития Вселенной, когда происходит вышеописанный «отскок». Более того, выясняется, что само описание «отскока» связано со специфическими *математическими* трудностями, о которых рассказывается далее в разделе 3.3 при рассмотрении моделей Толмена для заполненной излучением Вселенной (см. также приложение Б6).

Поэтому я предлагаю совершенно иной подход, а именно: рассмотреть как бы иное «окончание времени», относящийся к крайне далекому будущему. В соответствии с описанными в разделе 2.1 моделями, в которых предполагается наличие положительной по знаку космологической постоянной  $\Lambda$  (как показано на рис. 2.5), наша Вселенная в предельном состоянии должна вступить в фазу экспоненциального расширения, которая очень точно моделируется строгой конформной диаграммой на рис. 2.35, соответствующей гладкой, пространственноподобной конформной границе  $\mathcal{I}^+$  для будущего. Конечно, наша собственная Вселенная сейчас характеризуется определенными типами неоднородностей (а также очень большими *локальными* отклонениями от строгой симметрии моделей FLRW), и это обусловлено

наличием в ней черных дыр, прежде всего, особо массивных, располагающихся вблизи центров галактик. Однако, в соответствии с тем, что было изложено в разделе 2.5, все эти черные дыры должны были исчезнуть при хлопках (см. рис. 2.40 и соответствующую строгую конформную диаграмму 2.41), хотя самые массивные черные дыры должны сохраняться в течение немислимо длительных промежутков времени порядка гуглов, т. е.  $\sim 10^{100}$  лет.

После столь исключительно длительного периода Вселенная физически будет состоять (в простейшем варианте, при подсчете по числу частиц) главным образом из фотонов от света звезд и реликтового излучения (подвергнутых заметному воздействию эффекта красного смещения), а также из частиц так называемого излучения Хокинга, которые очень быстро рассеиваются в пространстве в виде низкоэнергетических фотонов, унося с собой практически всю энергию и массу огромного числа очень крупных черных дыр. Помимо этого, на описываемом этапе Вселенная должна содержать гравитоны (так называют квантовые составляющие гравитационных волн), возникающие при взаимодействии (столкновении) дыр с ближайшими соседями, особенно с упомянутыми выше сверхмассивными черными дырами в галактических центрах

(такие взаимодействия очень важны для обсуждаемых в книге проблем, что будет более детально рассмотрено в разделе 3.6). Отмечу, что фотоны и гравитоны не обладают массой покоя (относятся к безмассовым частицам), вследствие чего оба этих типа частиц не могут быть использованы для создания какого-либо «часового механизма» в духе рассуждений раздела 2.3 (см. также рис. 2.21).

Вселенная на этом этапе развития должна содержать заметное количество темной материи, независимо от смысла, который вкладывается в определение этой таинственной формы вещества (см. разд. 2.1 и 3.2, где излагается моя точка зрения по этому вопросу). Количество этой материи должно быть достаточным большим для того, чтобы Вселенная могла избежать «захвата» упомянутыми черными дырами. Сейчас мы очень плохо понимаем, каким образом темная материя (взаимодействующая только посредством гравитационных сил) может быть применена в конструкции каких-то часовых механизмов. Само признание возможности такого применения уже подразумевает некие сложные изменения в философском подходе к проблеме, однако, как будет показано далее в разделе 3.2, такие же сложные изменения в философии в любом случае потребуются от чи-

тателя для восприятия основных идей концепции, предлагаемой в данной книге. Сказанное выше вновь указывает на то, что на последних стадиях расширения Вселенной именно *конформная* структура пространства-времени остается подходящей в физическом смысле идеей развития.

Наконец наступает финальная стадия развития Вселенной, которую можно считать довольно скучной, поскольку на этом этапе заканчиваются все сколь-нибудь интересные физические процессы! Финалу предшествуют весьма важные события: финальные хлопки последних, самых крошечных остатков черных дыр, которые в конечном счете (как предполагается данной моделью) должны вообще исчезнуть в результате «болезненно» медленного процесса излучения Хокинга. Кому-то может показаться неприятной даже сама мысль об ужасающе скучных и бесконечно затянутых во времени последних стадиях существования, а точнее умирания, грандиозной Вселенной, особенно если вспомнить, что она рождалась в результате мощных, ярких, разнообразных и очень эффектных событий. В ранней истории Вселенной мы видим возникновение красивых галактик из великолепных звезд, зачастую окруженных свитой планет, на которых впоследствии может

возникнуть жизнь с экзотическими формами растений, животных и т. п. Более того, где-то на этих планетах возможно появление разума, т. е. способности изучать и понимать историю мира, эстетически воспринимать окружающий мир, создавать художественные произведения. Грустно думать о том, что все это обречено на гибель и постепенное умирание, особенно из-за того, что закат Вселенной должен затянуться на чудовищно длительный срок (ожидание... ожидание... ожидание в течение немислимо длительных  $10^{100}$  лет или больше). Наблюдателю остается только ждать, ... ждать, ... и ждать — вплоть до финального хлопка, который можно уподобить выстрелу маленькой сигнальной артиллерийской пушки, символизирующему конец фантастически длинной эпохи, после чего начнется новый, гигантский по продолжительности период расширения Вселенной с экспоненциальным ростом параметров.

И так далее... вплоть до нового бесконечного угасания. Неужели эта картина полностью описывает всю возможную историю Вселенной?

Я долго находился в подавленном состоянии от такой перспективы, но летом 2005 года мне вдруг пришла в голову мысль о том, что после столь скучного полного угасания описываемой Вселен-

ной в ней не останется ничего, о чем вообще стоило бы грустить! Разумеется, во Вселенной не сохранится никаких людей, поскольку они будут состоять главным образом из лишенных массы частиц типа гравитонов и фотонов (согласитесь, трудно представить себе какие-то создания из гравитонов и фотонов, которые могут действительно испытывать *переживания*, сопоставимые с нашими!). Принципиальная проблема состоит в том, что для лишенных массы частиц не существует понятия «течение» времени. Каждая такая частица может даже достигать бесконечности (т. е. поверхности  $\mathcal{I}^+$ ) прежде, чем произойдет первое «тиканье» в этих внутренних часах, что я попытался как-то выразить на рис. 2.22. Кто-то (вполне справедливо!) может даже просто сказать, что понятие бесконечности вообще теряет свое значение и «важность» при рассмотрении частиц без массы типа гравитонов и фотонов.

Ситуацию можно схематически описать следующим образом. Для создания любого часового механизма Вселенная должна обязательно содержать частицы, обладающие *массой покоя*, поскольку в противном случае теряется возможность измерения «хода времени» (как, впрочем, и возможность определения расстояний, так как для таких экспериментов также необходимо точно измерять отрезки

времени, что уже обсуждалось в разделе 2.3). Это условие объясняется также обсуждавшимся ранее обстоятельством, что *безмассовые* частицы связаны не с *метрической* структурой пространства-времени, а только с *конформной* (или нуль-конусной) структурой. Для таких частиц упомянутая выше предельная гиперповерхность  $\mathcal{I}^+$  представляет собой некую область их конформного пространства-времени, которая выглядит совершенно однородной повсюду, что позволяет без ограничений предположить, что эту область конформного пространства-времени можно гипотетически продолжить и распространить даже на «другую сторону» гиперповерхности  $\mathcal{I}^+$ . Более того, существует разработанный Гельмутом Фридрихом [3.9] мощный математический аппарат, подтверждающий возможность продолжения конформного пространства-времени на будущее, но лишь при выполнении одного общего условия — наличия космологической константы  $\Lambda$  с положительным значением.

Сказанное выглядит неким отражением рассмотренной ранее проблемы физической природы гиперповерхности в процессе Большого взрыва с учетом гипотезы Тода. Возникает впечатление, что для обеих поверхностей ( $\mathcal{I}^+$  и  $\mathcal{I}^-$ ) можно осуществить (хотя и по разным обоснованиям) гладкие расширения их конформного

пространства-времени на обратные стороны гиперповерхностей, причем таким образом, что материальное содержание этих обратных сторон будет соответствовать таким же *безмассовым* частицам, чье поведение принципиально определяется теми же конформно-инвариантными уравнениями. Таким образом, вся картина физического поведения вещества математически может быть расширена и продолжена по обе стороны поверхностей предполагаемой границы (конформного) пространства-времени.

При этом сразу возникают очевидные вопросы: а не может ли оказаться так, что обе рассматриваемые поверхности ( $\mathcal{I}^+$  и  $\mathcal{I}^-$ ) одинаковые? Не являются ли они единым объектом? Нельзя ли представить, что в обсуждаемой модели Тода предполагаемое конформное множество соответствует ситуации, при которой наша Вселенная испытывает некие «закрутки» таким образом, что все, лежащее за пределами  $\mathcal{I}^+$ , описывает нашу же Вселенную, которая просто начинает развиваться вновь после очередного Большого взрыва и конформно сжимается к  $\mathcal{I}^-$ ? Гипотеза на первый взгляд представляется весьма структурной, но мне кажется совершенно невероятной, так как она связана с чрезвычайно серьезными проблемами. Дело в том, что описываемая ситуация подразумевает наличие такого пространства-времени,

в котором могут существовать *замкнутые временноподобные кривые*, что сразу приводит к многочисленным парадоксам, связанным с причинностью или, по крайней мере, к большим сложностям их объяснения. Все эти парадоксы и ограничения зависят от возможности когерентной передачи информации через границу гиперповерхности  $\mathcal{I}^+/\mathcal{B}^-$ , однако в разделе 3.6 будет показано, что данная проблема реально разрешима в рамках предлагаемой мною теории. В то же время связанные с такими замкнутыми временноподобными кривыми проблемы действительно серьезно нарушают замкнутость и согласованность подхода в целом [3.10], и именно по этой причине я не поддерживаю вышепредложенную гипотезу об идентичности поверхностей  $\mathcal{I}^+$  и  $\mathcal{B}^-$ .

Однако я хочу представить читателю еще одну, как говорят американцы, большую идею, состоящую в том, что *существует* другая физически реальная и предшествующая  $\mathcal{B}^-$  область, описывающая в некотором отдаленном будущем другую (но *тоже* физически реальную) фазу вне нашей  $\mathcal{I}^+$ , которая должна будет распространяться вплоть до следующего большого взрыва в новой фазе развития. В соответствии с общей идеей я буду называть каждую фазу (которая начинается с нашей поверхности  $\mathcal{B}^-$  и доходит

до поверхности  $\mathcal{I}^+$ ) текущим *эоном*\*. А затем предположу, что Вселенная в целом может рассматриваться как конформное многообразие, состоящее из последовательности (возможно, бесконечной) эонов, каждый из которых относится к полной истории расширения Вселенной, как показано на рис. 3.3. При этом поверхность  $\mathcal{I}^+$  для каждого эона соответствует поверхности  $\mathcal{B}^-$  следующего, в результате чего *конформные* преобразования структуры пространства-времени происходят последовательно и совершенно гладко.

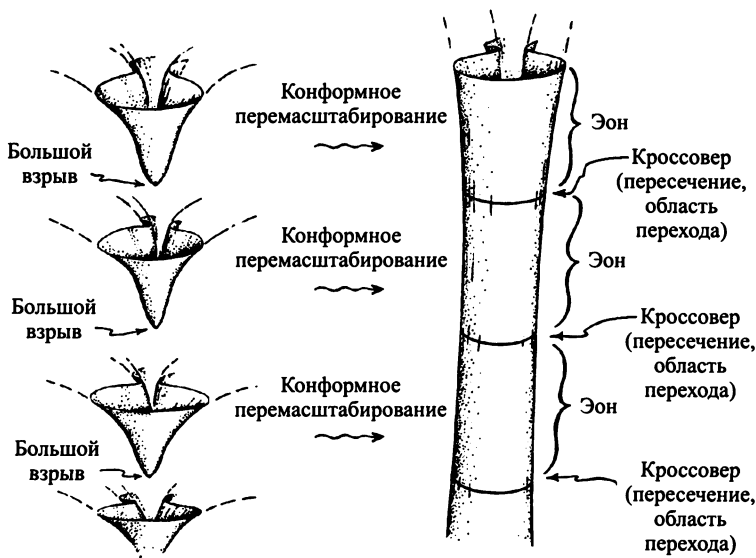
Читатель вправе спросить о том, что может произойти в далеком будущем, когда температура и соответствующая плотность излучения опустятся ниже нулевой отметки, в результате чего очередной цикл типа большого взрыва начнется при бесконечных значениях температуры и плотности. Ответ заключается в том, что в этой ситуации именно конформное «растяжение» доведет бесконечные значения температуры и плотности до некоторых конечных значений, вследствие чего конформное «перемешивание» увеличит значения температуры и плотности также до каких-то конечных значений. В итоге проблема состоит в выборе таких правил масштабирования, при которых опера-

---

\* Древние греки такие циклы называли зонами, т. е. эрами времени. — *Прим. перев.*

ции растяжения и перемешивания оказались бы «подогнанными» таким образом, что применимость физических законов по обе стороны гиперповерхности осталась совершенно нечувствительной к преобразованиям. Кроме того, следует отметить, что *мера объема* фазового пространства  $\mathcal{P}$ , описывающего все возможные физически активные состояния системы и их участие в процессах по обе стороны кроссовера (см. разд. 1.3), является конформно-

инвариантной [3.11]. Прежде всего этого означает, что при уменьшении размеров в рассматриваемых пространствах происходит соответствующее увеличение значений импульсов (*и наоборот!*) таким образом, что произведение этих величин совершенно не меняется при перемасштабировании. Этот факт имеет особое значение для всей излагаемой теории, как будет показано в разделе 3.4. Далее я буду называть всю описанную схему развития Вселенной



**Рис. 3.3.** Общая схема конформной циклической космологии, где, как и на рис. 2.5, я попытался избежать предвзятости относительно того, является ли Вселенная пространственно открытой или же она замкнутая

конформной циклической космологией (Conformal Cyclic Cosmology, CCC), обозначая ее аббревиатурой КЦК [3.12].

### 3.2. Структура конформной циклической космологии

Проблема, касающаяся структуры предлагаемой конформной циклической космологии, включает в себя множество разнообразных аспектов, что требует детального обсуждения рассмотренных ранее моментов. Принципиальный вопрос состоит в том, на что может быть похоже *полное* содержимое Вселенной в очень отдаленном будущем. Из предложенных ранее объяснений следует, что Вселенная в далеком будущем должна состоять главным образом из фотонов (свет ранее рожденных звезд, микроволновое фоновое излучение, а также испарение черных звезд по механизму Хокинга). Кроме того, я предполагал также, что значительную долю вещества Вселенной будут составлять фоновые гравитоны, под которыми я подразумеваю базовые квантовые составляющие гравитационных волн, представляющих собой как бы «рябь» кривизны пространства-времени, которая возникает преимущественно при взаимодействиях (столкновениях) гигантских черных дыр, располагающихся в центрах галактик.

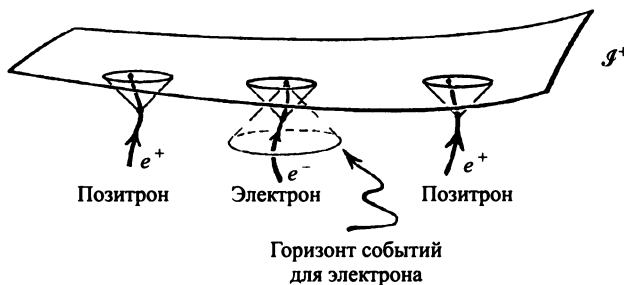
Фотоны и гравитоны относятся к безмассовым частицам, поэтому с общеприимской точки зрения достаточно разумно предположить, что в очень далеком будущем, на самых последних стадиях развития Вселенной, в принципе станет невозможно создавать какие-либо «часовые механизмы» из такого вещества. Другими словами, в далеком будущем сама Вселенная станет такой, что в ней будет «потерян шанс» прослеживания масштабов времени, так как геометрия физической Вселенной реально станет *конформной* (т. е. геометрией нуль-конусов), а не той строго метрической геометрией, которая соответствует общей теории относительности Эйнштейна. Далее мы увидим, что существуют тонкие особенности гравитационных полей, действительно заставляющие нас примириться с таким общеприимским подходом, а сейчас я предлагаю обсудить еще одну связанную с этим подходом проблему.

Дело в том, что выше, говоря об основном материальном содержании Вселенной на последних стадиях ее развития, я не учитывал, что очень большое количество вещества вообще не содержится в черных дырах, а относится просто к физическим телам, образно говоря, «выкинутым» из исходных галактик в результате каких-то случайных процессов. В некоторых случаях такие физические

тела даже покидают исходные галактические кластеры (в которых они зародились и где содержали большое количество темной материи) и поэтому никогда не «падают» внутрь черных дыр. Давайте рассмотрим, например, что произойдет с объектом типа белого карлика, если он каким-либо образом оставляет исходную галактику, охлаждается и превращается в невидимого черного карлика. Ранее при обсуждении этой ситуации выдвигалось предположение, что протоны могут спонтанно распадаться, хотя экспериментальные данные свидетельствуют о том, что реальная скорость связанных с этим процессов является исключительно низкой [3.13]. Однако в любом случае при таком процессе должны образовываться про-

дукты распада, поэтому, даже если большая часть вещества черного карлика будет затем коллапсировать внутрь черной дыры, во Вселенной должно оставаться заметное число «ускользающих» массивных частиц, которым каким-то образом и в каком-то виде удается «удраться» из тех галактических кластеров, в которых они образовались.

Моя идея относится в основном к *электронам* (а также к их античастицам, называемым позитронами), поскольку именно они представляют собой заметный класс электрически заряженных и одновременно обладающих массой частиц. При этом предполагается, что протоны и другие заряженные частицы, массы которых превышают массу электронов и



**Рис. 3.4.** Возможная ситуация с «ускользающими» случайными электронами или позитронами, которые оказались замкнутыми в своем горизонте событий и не могут потерять электрический заряд в результате обычной парной аннигиляции

позитронов, в течение огромных промежутков времени, теряя массу, будут становиться более легкими частицами. Так, например, мы можем предположить, что за огромные периоды времени все протоны, потеряв массу, превратятся в более легкие позитроны, следовательно, среди «выживших» частиц должен сохраниться хотя бы один позитрон! Аналогичные аргументы я мог бы использовать для отрицательных частиц, поэтому следует ожидать, что в конечном счете во Вселенной сохранится достаточно большое число электронов и соответствующее число позитронов. Кроме того, могут остаться и заряженные частицы, обладающие массой (протоны и антипротоны, если они, конечно, все не превратятся в более легкие электроны и позитроны), но основная проблема остается связанной с электронами и позитронами.

Проблема заключается в возможности существования неких заряженных, реально безмассовых частиц (как положительных так и отрицательных), в которые будут обращаться электроны и позитроны, и в том, как это согласуется с явным обилием электронов и позитронов в окружающем нас мире? Само наличие безмассовых, но заряженных частиц (среди множества других типов) представляется бесспорным и проявляется во множестве разнообразных процессов [3.14], однако

все эти процессы происходят без создания таких безмассовых и заряженных частиц. Именно этим можно объяснить тот факт, что в окружающем нас мире не существуют безмассовые заряженные частицы. Читатель вправе спросить, а не противоречит ли этому философскому подходу явное обилие (обладающих массой) электронов и позитронов в окружающем нас мире?

Возможно, существующие электроны и позитроны просто продолжают «искать друг друга», а при встрече аннигилируют, образуя безмассовые фотоны, возникновение и дальнейшее существование которых не нарушает предлагаемых философских обоснований. С другой стороны, к несчастью, можно представить, что в очень далеком будущем большинство таких изолированных заряженных частиц окажется «в одиночестве» внутри своих космологических горизонтов событий, как показано на рис. 3.4 (см. также рис. 2.43). При этом в некоторых случаях для таких частиц вообще станет практически невозможной встреча и аннигиляция с частицами противоположного знака. Решением проблемы может стать некоторое «ослабление» требований предложенного общеподлинного философского подхода, в результате чего мы можем предположить, например, что отдельные электроны или позитроны в такой ситуации (каким-то образом «захваченные»

внутри своего горизонта событий) вообще не могут быть «использованы» для конструирования обжуждаемых нами реальных часовых механизмов. Сразу отмечу, что такой подход кажется мне неудовлетворительным, поскольку он снижает планку используемых общезначимых требований.

Еще более радикальный подход к данной проблеме заключается в предположении, что сохранение электрического заряда вообще *не относится* к строжайшим требованиям законов природы. Это означает, что какие-то электрически заряженные частицы (в некоторых, экстремальных, ситуациях) могут распасться без сохранения заряда, т. е. сразу попадать в «вечность», где уже нет никакого электрического взаимодействия. В этом варианте электроны и позитроны мгновенно становятся незаряженными частицами, превращаясь, например, в *нейтрино* (один из трех известных типов нейтрино возможно относится к безмассовым частицам [3.15]). У нас нет никаких экспериментальных свидетельств того, что закон сохранения электрического заряда может нарушаться, но можно предположить, что фотон также обладает некоторой, очень малой массой, которая «обнуляется» при предлагаемом подходе.

Существует еще одна проблема, которую я воспринимаю очень серьезно, а не

просто в качестве «наименьшего из всех зол». Она заключается в том, что сама масса покоя вовсе не является абсолютной физической константой, как иногда нам представляется. В очень далеком будущем все обладающие массой частицы (т. е. электроны, позитроны, а также еще не распавшиеся к этому моменту протоны, антипротоны и т. п.) уже не будут обладать зарядом, но сохранят массу покоя. Именно они могут стать теми компонентами темной материи, масса покоя которых будут очень-очень медленно «затухать», стремясь к нулевому значению в пределе. Идея о непостоянстве массы покоя к настоящему времени не подтверждается никакими экспериментальными доказательствами, однако стоит отметить, что не существует и никаких свидетельств о справедливости закона сохранения зарядов. Ситуация осложняется при учете того, что в случае с электрическим зарядом мы имеем дело с некоторой *аддитивной* величиной (в том смысле, что полный заряд системы всегда равен сумме зарядов ее отдельных компонентов). Для массы покоя это утверждение вовсе не является бесспорным хотя бы потому, что формула Эйнштейна  $E = mc^2$  свидетельствует только о том, что полная энергия системы складывается из энергий компонентов. Более того, следует помнить, что теоретическое определение элементар-

ного электрического заряда даже в стандартной теории элементарных частиц не указано четко (например, это значение в описании антинижнего кварка составляет одну треть от заряда протона и т. п.), вследствие чего все остальные заряды во Вселенной остаются целочисленными, но плохо определенными! Ни с чем подобным мы не сталкиваемся при рассмотрении систем с отличной от нуля массой покоя, вследствие чего предложенные выше соображения относительно массы частиц остаются неясными. Само представление о существовании какой-то определенной массы покоя для данного типа элементарных частиц (типа абсолютной константы) остается неясным, по крайней мере в рамках общепризнанной стандартной теории частиц, особенно на самом *раннем* периоде развития Вселенной. Как отмечалось в разделе 3.1, из таких соображений следует, что эти значения в очень далеком будущем должны постепенно «затухать» до нуля.

С учетом изложенного мы можем сделать некий общий «технический» вывод относительно представления о массе покоя элементарных частиц вообще. Стандартная математическая процедура, относящаяся к элементарной частице, сводится к тому, что она может быть определена в качестве «неприводимой группы клас-

са Пуанкаре», т. е. каждая элементарная частица может быть определена таким неприводимым представлением. В свою очередь, *группа Пуанкаре* представляет собой математическую структуру, описываемую некоторыми правилами симметрии в пространстве Минковского  $\mathbb{M}$ , причем симметрия выглядит естественной одновременно в контексте и специальной теории относительности, и квантовой механики. Используемая при этом группа Пуанкаре обладает двумя важными особенностями, связанными с *операторами Казимира* [3.16], относящимися к *массе покоя* и *внутреннему (собственному) спину* частиц. Операторы должны быть таковы, чтобы обе эти величины (масса покоя и внутренний спин частиц) описывались квантовыми числами, соответствующими разрешенному переходу, которые остаются постоянными достаточно долго (иначе мы не можем считать данную частицу стабильной и не взаимодействующей с другими). Однако эта роль симметрии в пространстве Минковского  $\mathbb{M}$  становится менее фундаментальной, если в физических законах учитывать положительную космологическую константу  $\Lambda$  (подобно тому, как обычно для  $\mathbb{M}$  считается, что  $\Lambda = 0$ ). Поэтому при рассмотрении космологических проблем мы должны вместо группы симметрии  $\mathbb{M}$  ввести группу симметрии для

так называемого *пространства-времени де Ситтера*  $\mathbb{D}$ , которая в конечном счете и соответствует предлагаемой концепции (см. разд. 2.5 и рис. 2.36, *a*, *b*). С другой стороны, выясняется, что масса покоя *неточно* соответствует оператору Казимира для группы де Ситтера (ввиду наличия дополнительного малого члена с учетом константы  $\Lambda$ ), вследствие чего предельное состояние системы остается неясным, но общее, очень медленное «затухание», уменьшение массы покоя представляется мне несомненным [3.17].

Постепенному и неуклонному уменьшению массы покоя частиц, предполагаемому предложенной выше теорией, соответствуют некоторые необычные последствия, которые должны учитываться в общей схеме конформной циклической космологии (КЦК), поскольку они создают новые проблемы, относящиеся к измерению времени. Я напому читателю, что в конце раздела 3.2 идея существования массы покоя элементарных частиц использовалась для описания некоторой достаточно хорошо обоснованной шкалы времени, требуемой для перехода всех масштабируемых объектов от конформных структур к полностью метрическим. Даже если принять (и это вполне разумно с точки зрения всего предыдущего изложения), что постепенное, хотя и чрезвычай-

ное медленное уменьшение массы покоя частиц является теоретически необходимым, то мы вновь попадаем в довольно сложную ситуацию. Дело в том, что при этом остается неясным, должны ли мы (и как именно) при этом по-прежнему пользоваться представлением о безмассовых частицах для точного определения метрики пространства-времени, учитывая, что в пространстве присутствуют также обладающие массой покоя частицы, масса которых постепенно уменьшается или, образно говоря, «угасает»? Если мы попытаемся при этом увязать проблему с конкретным типом частиц (например, с электронами), то это позволит нам лишь ввести некоторую новую шкалу измерения времени, связанную, например, со скоростью превращения электронов в безмассовые частицы при достижении  $\mathcal{I}^+$  (см. приложение А2), но это возвращает нас к тому, что  $\mathcal{I}^+$  вовсе *не является* бесконечной, и расширение Вселенной (в соответствии с этой «электронной метрикой») либо как-то «затормозится» и приостановится, либо перейдет в некий коллапс. Вообще говоря, вся описываемая ситуация плохо согласуется с уравнениями Эйнштейна. Более того, вместо «электронной метрики» мы могли бы воспользоваться какой-либо иной метрикой (например, протонной или нейтринной) и получить совершенно иную

геометрию пространства-времени, существенно отличающуюся от «электронной» версии. Сказанное справедливо лишь до тех пор, пока мы не доведем масштабирование пространства до нуля. Честно говоря, мне этот подход кажется неудовлетворительным.

Все-таки для сохранения смысла уравнений Эйнштейна (с учетом космологической константы  $\Lambda$ ) мы должны предложить для всего зона полной истории Вселенной некий другой вариант масштабирования для метрики пространства-времени. Все, что мы можем сделать (хотя это кажется явно недостаточным для «практического» создания требуемого часового механизма), — это, по-видимому, использовать для масштабирования времени саму константу  $\Lambda$  или (что представляется весьма похожим) эффективное значение гравитационной постоянной  $G$ . В этом случае нам, возможно, удастся сохранить общую картину развития бесконечно расширяющейся по экспоненциальному закону Вселенной в очень отдаленном будущем, однако без серьезных проблем для философского обоснования Вселенная будет неизбежно терять локальные «особенности» масштаба времени.

Этот вопрос тесно связан с фактом, который я до сих пор старался скрывать или не упоминать, а именно с тем, что хотя

свободное гравитационное поле и обладает конформной инвариантностью (поскольку оно описывается конформным вектором Вейля  $S$ , который действительно описывает конформную кривизну), связь поля с его источниками сама по себе *не является* конформно-инвариантной! Ситуация полностью отлична от той, к которой мы привыкли при рассмотрении полей в теории Максвелла, где конформной инвариантностью обладают *одновременно* как электромагнитное поле  $F$ , так и связанные с полем  $F$  его источники, описываемые вектором переноса заряда  $J$ . Таким образом, мы вновь убеждаемся в том, что любая попытка серьезного учета *гравитации* в предлагаемой общей картине развития Вселенной несколько «искажает» главную философскую основу теории КЦК. Другими словами, возможно, нам следует учитывать, что теория КЦК, строго говоря, относится к описанию не физического мира вообще, а только к его *безгравитационному* варианту, т. е. к тому физическому миру, для которого уравнения Эйнштейна не содержат космологической константы  $\Lambda$  и где отсутствует «ход времени».

Проблема состоит в том, что теория Эйнштейна связана с идеей конформной инвариантности довольно сложным образом, характеризуемым тонкими особен-

ностями. Например, относящиеся к электромагнетизму уравнения на самом деле сохраняют свою форму при конформном изменении масштаба, так что мы, например, можем проследить изменения, связанные с заменой метрики пространства-времени  $g$  на ее конформный аналог  $\hat{g}$  при перемасштабировании с использованием *масштабного коэффициента* (конформного фактора)  $\Omega$ , представляющего собой положительное число, гладко изменяющееся в пространстве-времени (см. разд. 2.3, 3.1):

$$g \longrightarrow \hat{g} = \Omega^2 g.$$

При рассмотрении конформной инвариантности уравнений теории Максвелла мы должны ввести операции перемасштабирования не только для описывающего это поле  $\begin{bmatrix} 0 \\ 2 \end{bmatrix}$ -тензора  $F$ , но и для  $\begin{bmatrix} 1 \\ 0 \end{bmatrix}$ -тензора  $J$  источника (потока зарядов, тока смещения). Иными словами, необходимо определить две операции:

$$F \longrightarrow \hat{F} = F \text{ и } J \longrightarrow \hat{J} = \Omega^{-4} J.$$

Уравнения Максвелла при этом могут быть записаны символически в форме

$$\nabla F = 4\pi J,$$

где  $\nabla$  означает некий специфический набор дифференциальных операторов [3.18], определяемый видом метрики  $g$ . При преобразовании масштаба по условию  $g \longrightarrow \hat{g}$

оператор  $\nabla$  должен быть заменен на некоторую другую операторную величину  $\hat{\nabla}$  (определяемую соответственно видом метрики  $\hat{g}$ ), что приводит к уравнению (см. приложение А6)

$$\hat{\nabla} \hat{F} = 4\pi \hat{J},$$

которое по виду совпадает с представленным выше, но записано для операторов с «колпачком», что и отражает *конформную инвариантность* уравнений Максвелла. В частном случае  $J = 0$  мы получаем так называемые свободные уравнения Максвелла

$$\nabla F = 0,$$

что позволяет при замене  $g \longrightarrow \hat{g}$  определить условие конформной инвариантности в виде

$$\hat{\nabla} \hat{F} = 0.$$

Полученный (конформно-инвариантный) набор уравнений определяет процесс распространения *электромагнитных волн* (света) и может также выступать в качестве квантово-механического уравнения Шредингера, описывающего поведение отдельных свободных фотонов (см. разд. 3.4 и приложения А2, А6).

Ситуация усложняется при рассмотрении гравитационных членов этих уравнений, так как, с одной стороны,  $\begin{bmatrix} 0 \\ 2 \end{bmatrix}$ -тен-

зор  $E$  для источника (тензор Эйнштейна, замещающий тензор  $J$ , см. разд. 2.6) при изменении масштаба не проявляет свойств конформной инвариантности, но с другой — *существует* конформно-инвариантный аналог комбинации  $\nabla F = 0$ , определяющий процесс распространения гравитационных волн и, соответственно, аналогичный квантово-механическому уравнению Шредингера для распространения отдельных свободных гравитонов. Символически я могу записать это (см. приложения A2, A5, A9) в виде уравнения

$$\nabla K = 0,$$

особенность которого заключается в том, что, если считать  $\begin{bmatrix} 0 \\ 4 \end{bmatrix}$ -тензор  $K$  идентичным конформному тензору  $C$  Вейля (см. разд. 2.6), т. е. принять

$$K = C$$

при использовании исходной физической метрики  $g$ , то при перемасштабировании и переходе к новой метрике  $g \rightarrow \hat{g} = \Omega^2 g$  мы должны применить два разных масштабных преобразования

$$C \rightarrow \hat{C} = \Omega^2 C \text{ и } K \rightarrow \hat{K} = \Omega K$$

для того, чтобы сохранить смысл тензора  $C$ , обеспечивающего *меру* конформной кризисы и сохраняющего конформную инва-

риантность распространения волны  $K$ . Это может быть представлено в виде уравнения

$$\hat{\nabla} \hat{K} = 0,$$

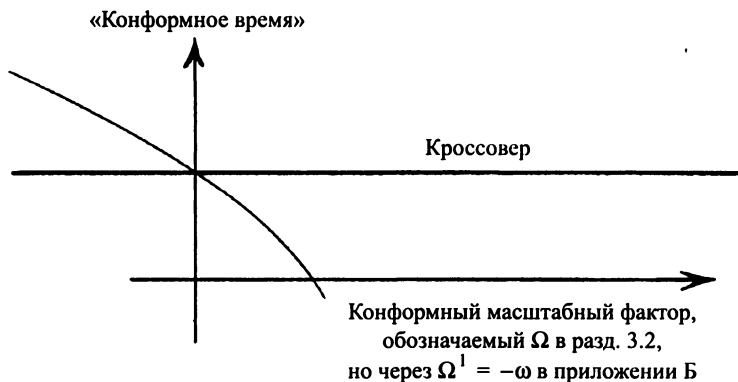
что приводит нас к следующему правилу скейлинга [3.19]:

$$\hat{K} = \Omega^{-1} C.$$

Из этого вытекают некоторые необычные следствия, играющие важную роль для развиваемой здесь теории КЦК. Например, если мы переходим в область  $\mathcal{I}^+$  из прошлого, то мы должны пользоваться конформным коэффициентом  $\Omega$ , величина которого гладко стремится к нулю [3.20], но при этом с неравной нулю производной по нормали (геометрический смысл этого условия поясняет рис. 3.5). Конформная инвариантность уравнения для распространения волны  $K$  в данном случае подразумевает, что его величина должна стремиться в области  $\mathcal{I}^+$  к *конечному* (но обычно не равному нулю) пределу, конкретное значение которого определяется интенсивностью и поляризацией *гравитационного излучения* (т. е. некоторого гравитационного аналога светового излучения) при продолжении переменных в бесконечность, вследствие чего они и могут как-то быть отмечены в  $\mathcal{I}^+$ , что показано на рис. 3.6. Сказанное относится и к

значениям  $F$  на  $\mathcal{I}^+$ , определяющим интенсивность и поляризацию поля электромагнитного излучения (света). Вследствие того что  $\Omega$  становится равным нулю на поверхности  $\mathcal{I}^+$ , приведенное выше уравнение (переписанное в форме  $\hat{C} = \Omega^2 \hat{K}$ ) подразумевает, что из конечности  $\hat{K}$  фактически вытекает равенство нулю самого конформного тензора  $\hat{C}$  на поверхности  $\mathcal{I}^+$ , если мы предполагаем конечность метрики  $\hat{g}$  на  $\mathcal{I}^+$ . Теория КЦК требует, чтобы конформная геометрия оставалась *гладкой* на кроссовере трехмерной поверхности  $\mathcal{I}^+$  при переходе от каждой зона к сле-

дующему. Поскольку тензор  $\hat{C}$  определяет прямую меру конформной геометрии на поверхности  $\mathcal{I}^+$ , из сказанного следует, что конформная кривизна должна также равняться нулю именно на всей поверхности *большого взрыва*  $\mathcal{I}^-$  последующего зона. При таком подходе теория КЦК фактически превращается в *более строгий* вариант упоминавшейся выше гипотезы кривизны Вейля WCH (см. разд. 2.6), а не сводится к простому условию конечности конформной кривизны, что непосредственно следует из гипотезы Тода. Иными словами, в КЦК мы отказываемся от



**Рис. 3.5.** Постепенное изменение значения (с положительного на отрицательное) конформного масштабного коэффициента  $\Omega$  на кроссовере. Отметим, что кривая ни в одной области не наклоняется так, чтобы совпасть с вертикалью или горизонталью. «Конформное время» на рисунке соотнесено с «высотой» соответствующей конформной диаграммы

требования, чтобы конформная кривизна действительно *исчезала* на поверхности  $\mathcal{I}^-$  при возникновении каждого нового эона в соответствии с исходной идеей WCH.

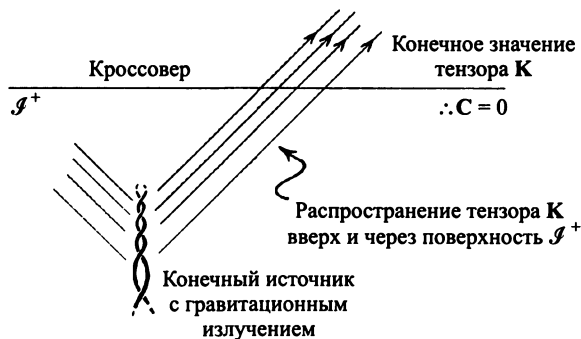
На другой стороне поверхности кроссовера (т. е. непосредственно за поверхностью  $\mathcal{I}^-$  следующего эона) значение конформного коэффициента  $\Omega$  становится *бесконечным*, но именно таким сложным образом, при котором обратно пропорциональное ему значение  $\Omega^{-1}$  будет изменяться на этой поверхности  $\mathcal{I}^-$  гладким (непрерывным) образом [3.21]. Иными словами, мы описываем ситуацию, при которой коэффициент  $\Omega$  может быть как-то так продолжен через трехмерную поверхность

кроссовера, чтобы он неожиданно при этом становился обратно равным по величине ( $\Omega^{-1}$ )! Это может быть достигнуто за счет введения и использования нового  $\begin{bmatrix} 0 \\ 1 \end{bmatrix}$ -тензора  $\Pi$  (1-форма), который математически записывается в виде формулы [3.32]:

$$\Pi = \frac{d\Omega}{\Omega^2 - 1}.$$

Введенный этим соотношением тензор  $\Pi$  характеризуется двумя очень важными особенностями: он остается гладким по всей 3-поверхности кроссовера и одновременно не меняется при подстановке  $\Omega \rightarrow \Omega^{-1}$ .

В рамках развиваемой теории КЦК требуется, чтобы тензор  $\Pi$  действитель-



**Рис. 3.6.** Распространение гравитационного поля, определяемого тензором  $K$ , в соответствии с конформно-инвариантным уравнением, вследствие чего в общем случае его конечные и не равные нулю значения достигаются на поверхности  $\mathcal{I}^+$

но представлял собой гладко изменяющуюся на кроссовере величину, так что именно тензор  $\Pi$  (а не коэффициент  $\Omega$ ) содержит всю связанную со скейлингом информацию, и, таким образом, переход  $\Omega \rightarrow \Omega^{-1}$  на кроссовере может происходить с сохранением гладкости  $\Pi$  при пересечении поверхности кроссовера. Поэтому мы должны сформулировать определенные математические условия поведения  $\Omega$  на  $\mathcal{I}^+$  и показать, что эти условия действительно являются необходимыми и достаточными (эта проблема подробно обсуждается в приложении Б). В результате этих действий мы получаем возможность найти точную и однозначно определенную математическую процедуру продолжения безмассовых полей в будущее через трехмерную поверхность кроссовера в предположении, что в очень отдаленном будущем предыдущего зона (т. е. непосредственно перед  $\mathcal{I}^+$ ) существовали только безмассовые поля.

При выборе масштаба скейлинга в рассматриваемой ситуации существования лишь безмассовых полей мы очень ограничены в подборе перемасштабированной метрики  $\hat{g}$  для области, находящейся непосредственно перед  $\mathcal{I}^+$  предыдущего зона, так как эта метрика должна быть совместима с уже существующей конформной структурой. Свобода скейлинга определяется свойствами некоторого

поля  $\psi$ , которое должно удовлетворять уравнению для самосогласованного (т. е. нелинейного) скалярного поля безмассовых частиц (в приложении Б2 я называю его  $\psi$ -уравнением). Различные решения этого  $\psi$ -уравнения соответствуют разным метрикам изменения масштаба, и это позволяет построить на основе исходной метрики  $\hat{g}$  некоторые другие  $\psi^2 \hat{g}$ -метрики такого вида, что для них уравнения Эйнштейна (с космологической постоянной  $\Lambda$ ) будут относиться только к безмассовым источникам. Выбор конкретного значения  $\psi$  дает нам при этом исходную физическую  $g$ -метрику Эйнштейна, которая относится к некоторому «фантомному полю» (так как в этой  $g$ -метрике Эйнштейна величина  $\Lambda$  исчезает, принимая просто значение 1). Такое фантомное поле не обладает никакими независимыми физическими степенями свободы в предшествующей  $\mathcal{I}^+$  области, а лишь позволяет «проследивать развитие» метрики  $g$  таким образом, что дает нам возможность выявить скейлинг, который возвращает нашу систему от использованной в текущей процедуре метрики  $\hat{g}$  к самой исходной метрике  $g$ .

На другой стороне кроссовера (т. е. непосредственно после большого взрыва последующего зона) простое гладкое продолжение полей приводит к тому, что гравитационная постоянная следующего зона

оказывается отрицательной, т. е. не имеющей физического смысла. Поэтому нам необходимо развить некую альтернативную интерпретацию результатов этих рассуждений, и в качестве такой альтернативы выступает величина  $\Omega^{-1}$ , согласованная с тензором  $\Pi$  на другой стороне кроссовера. Данный подход позволяет обращать фантомное поле  $\varphi$  в *реальное физическое* поле (хотя оно вначале и является бесконечно большим на стороне кроссовера, соответствующей большому взрыву). Возникает естественное искушение интерпретировать это фантомное, возникающее после большого взрыва, поле  $\varphi$  как источник начальной формы новой *темной материи*, предшествующей возникновению массы. Такая интерпретация просто связана с тем, что используемая нами математика сама «навязывает» *некий* новый, доминирующий «вклад» в физическую природу скалярного поля при большом взрыве в новом эоне. Вклад возникает из описанного ранее поведения конформного множителя и является дополнительным по отношению к вкладам от фотонов (электромагнитное поле) или других обладающих массой частиц (предполагается, что они должны потерять массу покоя в тот момент, когда достигнут 3-поверхности кроссовера). Возможность такой трансформации обусловлена математической

согласованностью, возникающей сразу после введения условия  $\Omega \rightarrow \Omega^{-1}$ .

Дополнительная особенность, появляющаяся вследствие этих математических операций, состоит в том, что на соответствующей большому взрыву стороне кроссовера введенное ранее необходимое условие (о том, что все источники должны быть безмассовыми) не может быть выполнено строго. Эта особенность сохраняется несмотря даже на то, что проявление массы покоя (связанное с ограничением нежелательных степеней свободы в конформном множителе) в системе «откладывается» на очень длительное время. Таким образом, некая компонента вещества после большого взрыва содержит основу для появления в дальнейшем частиц, обладающих массой покоя. Естественно, можно предположить, что эта компонента каким-то образом связана с полем Хиггса (или относящимся к нему проявлениям) при формировании специфического свойства «массы» в ранней Вселенной.

Темная материя является доминантной формой вещества, наблюдаемого в настоящее время на ранних стадиях развития нашего собственного эона. Она составляет около 70% обычного вещества нашей Вселенной (слово «обычный» здесь означает, что мы просто *не учитываем* вклад от космологической постоянной  $\Lambda$ ,

т. е. величину, называемую «темной материей» [3.23]). Необходимо отметить, что существование темной материи не совсем «вписывается» в рамки основной, так называемой стандартной модели элементарных частиц, так как взаимодействие темной материи с другими видами вещества сводится исключительно к эффекту гравитационного притяжения. Фантомное поле  $\omega$  на последних стадиях предшествующего эона появляется в качестве эффективной скалярной компоненты гравитационного поля, возникающего только потому, что мы ранее ввели процедуру перемасштабирования  $g \rightarrow \Omega^2 g$ , вследствие чего это поле не обладает независимыми степенями свободы. В следующем эоне возникшее новое  $\omega$ -вещество постепенно приобретает те степени свободы, которыми оно обладало в гравитационных волнах эона. Можно представить, что темная материя в момент нашего Большого взрыва обладала неким специальным «свойством», которому и соответствует величина  $\omega$ . Общая идея состоит в том, что вскоре после Большого взрыва (предположительно к моменту проявления поля Хиггса) это новое  $\omega$ -поле обретает некую массу, а затем превращается в черную материю, играющую, по-видимому, очень важную роль в последующем формировании распределения вещества с теми разнообразными неоднородностями, которые наблюдаются в наше время.

Интересно отметить, что наличие двух различных «темных» величин (темной материи и темной энергии), сам факт существования которых постепенно выявился только в результате космологических исследований последних десятилетий, оказывается важным элементом для теории КЦК. Вся предлагаемая теоретическая схема заведомо *не будет* работать без условия  $\Lambda > 0$ , поскольку вытекающая из него *пространственноподобная* природа  $\mathcal{I}^+$  необходима для «подгонки» к пространственноподобной природе  $\mathcal{I}^-$ . Более того, как отмечалось ранее, эта теоретическая схема требует существования некоторого исходного распределения особого вещества, которое разумно интерпретировать как темную материю\*. Интересно также отметить, что такая интерпретация обосновывается и теоретическими соображениями, и результатами экспериментальных наблюдений.

Важнейшей проблемой и даже загадкой (типа паззла) для специалистов в обла-

---

\* Проблема наличия в природе двух новых и одновременно совершенно разных темных «сущностей» (энергии и материи) в последнее время стала предметом обсуждения не только в научной, но и в научно-популярной литературе (см., например, статью Т. Оганесяна «Темная история с темной материей» в журнале «Эксперт», № 37, 2012, стр. 62–68). — *Прим. перев.*

сти космологии и квантовой теории поля остается определение конкретного *значения* космологической постоянной  $\Lambda$ . Величину  $\Lambda g$  в квантовой теории поля очень часто называют *энергией вакуума* (см. разд. 3.5). По некоторым соображениям, связанным с теорией относительности, было принято считать, что эта энергия вакуума должна описываться  $[0]_2$ -тензором, пропорциональным величине  $g$ . Однако вскоре выяснилось, что величина  $\Lambda$  при таком коэффициенте пропорциональности фантастически (примерно в  $10^{120}$  раз!) превосходит наблюдаемые значения, что делает данную идею явно несостоятельной [3.24]. Еще одна загадка связана с тем, что наблюдаемые очень малые значения космологической постоянной  $\Lambda$  являются именно такими, какие необходимы для запуска процесса расширения Вселенной, и при этом они соответствуют полной сумме сил гравитационного взаимодействия в существующей *сейчас* Вселенной. Когда-то эта сумма была чудовищно большой, а в будущем, после расширения, она должна стать ничтожно малой, вследствие чего совпадение значений представляется необычным.

С другой стороны, мне кажется, что «таинственность» такого совпадения (а также многих других фактов, относящихся к астрономическим наблюдени-

ям, доказывающим, что значение космологической постоянной  $\Lambda$  является очень малым) преувеличена. Конечно, конкретное значение  $\Lambda$  может быть всегда как-то объяснено, но само совпадение, возможно, связано со следующим обстоятельством. Дело в том, что величина  $\Lambda$  может быть записана в виде специфической комбинации фундаментальных физических констант (гравитационной постоянной  $G$ , скорости света  $c$  и постоянной Планка  $h$ ), связанных друг с другом удивительно красивой и простой формулой, в знаменателе которой фигурирует некое очень большое число  $N$ :

$$\Lambda \approx \frac{c^3}{N^6 G \hbar},$$

где

$$\hbar = \frac{h}{2\pi}$$

есть введенная Дираком форма записи постоянной Планка (иногда ее называют *приведенной* постоянной Планка). Значение числа  $N$  составляет примерно  $10^{20}$ , и еще в 1937 году великий физик Поль Дирак отметил, что разные целочисленные степени этого числа должны (приблизительно) соответствовать некоторым весьма общим соотношениям между безразмерными фундаментальными физиче-

скими константами, особенно в системах с гравитационными взаимодействиями. Например, соотношение интенсивности сил электрического и гравитационного взаимодействий между электроном и протоном в атоме водорода составляет примерно  $10^{40} \approx N^2$ . Дирак также оценил общий возраст Вселенной величиной  $N^3$ , используя абсолютную единицу измерения времени, называемую *временем Планка*  $t_p$ . Время Планка  $t_p$  и связанную с ним *планковскую* длину  $l_p = ct_p$  в физике часто рассматривают в качестве своеобразных «минимальных» единиц пространства и времени (образно их можно назвать квантами пространства и времени). Введение этих единиц согласуется с общими идеями квантовой теории гравитации, а их конкретные значения равны

$$t_p = \sqrt{\frac{G\hbar}{c^5}} \approx 5,4 \cdot 10^{-44} \text{ с,}$$

$$l_p = \sqrt{\frac{G\hbar}{c^3}} \approx 1,6 \cdot 10^{-35} \text{ м.}$$

Используя указанные планковские единицы, а также планковскую массу  $m_p$  и планковскую энергию  $E_p$  в виде

$$m_p = \sqrt{\frac{\hbar c}{G}} \approx 2,1 \cdot 10^{-5} \text{ г,}$$

$$E_p = \sqrt{\frac{\hbar c^5}{G}} \approx 2,0 \cdot 10^9 \text{ Дж}$$

(эти единицы определяются совершенно естественным образом, хотя и не имеют пока никаких практических применений), можно легко вычислить все остальные фундаментальные постоянные природы в виде чисел\*. Например, константа  $\Lambda$  в данной системе единиц равна  $\approx N^{-6}$ .

Приравняв к единице постоянную Больцмана (т. е. положив  $k = 1$ ), можно получить также планковскую единицу для *температуры*, которая в этой системе имеет немыслимо большое значение ( $2,5 \cdot 10^{32}$  К). Ниже в разделе 3.4 я буду пользоваться планковскими единицами при оценке огромных значений энтропии для черных дыр или всей Вселенной в целом, но для этих гигантских систем выбор системы единиц измерения играет мало-существенную роль.

\* Сам Дирак был убежден, что эти соотношения не являются просто «совершенно удивительными совпадениями», и полагал, что они должны найти фундаментальное объяснение, когда появится больше сведений об атомной физике и космологии. Эта проблема подробно обсуждается им в книге: П. А. М. Дирак. *Пути физики*. Москва: Энергоатомиздат, 1983, стр. 67–79 (Лекция пятая. Космология и гравитационная постоянная). — *Прим. перев.*

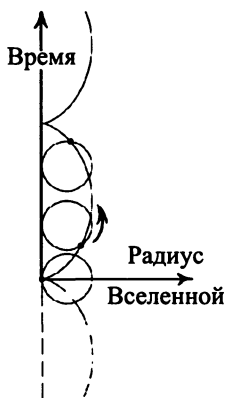
Первоначально сам Дирак полагал, что, поскольку возраст Вселенной должен (очевидно) возрастать с течением времени, и значение  $N$  также должно увеличиваться (или, что эквивалентно, уменьшаться значение  $G$ ), причем обратно пропорционально квадрату возраста Вселенной. Однако позднее были проведены более точные измерения величины  $G$ , свидетельствующие, что если параметр  $G$  (или, эквивалентно, число  $N$ ) не остаются постоянными, то наличие скорости их изменения не может удовлетворять требованиям исходных идей теории Дирака [3.25]. Затем в 1961 году Роберт Дике, используя развитый Брендоном Картером подход [3.26], показал, что в рамках общепринятой теории эволюции звездных систем время жизни звезды, принадлежащей к обычной, так называемой «главной последовательности», связано с различными фундаментальными константами природы сложной зависимостью. Он выяснил, что любой космический объект, жизнь и эволюция которого определяются существованием примерно в середине его обычного цикла звездной активности, оказывается как бы в такой Вселенной, возраст которой (измеренный в планковских единицах времени) действительно примерно пропорционален величине  $N^3$ . Ранее

отмечалось, что значение  $\Lambda \approx N^{-6}$  может быть обосновано теоретически, так что, возможно, сказанное действительно позволяет объяснить удивительное совпадение закономерностей для целочисленных степеней космологической константы  $\Lambda$ , наблюдаемое в существующей сейчас Вселенной. Однако, с другой стороны, все вышеприведенные доводы носят умозрительный и качественный характер, и, по общему мнению, для понимания этих закономерностей необходима разработка более сложных и точных теорий.

### 3.3. Ранние модели состояния Вселенной перед Большим взрывом

Интересно сопоставить предложенную выше идею, или схему КЦК, с более ранними моделями активности Вселенной непосредственно перед Большим взрывом (это состояние можно назвать пре-Биг-бэнгом, а состояние после Большого взрыва - пост-Биг-бэнгом). Ранее упоминалось, что самые первые космологические модели, совместимые с теорией относительности Эйнштейна, были предложены еще в 1922 году Фридманом, и уже в них отмечалась возможность реализации «осциллирующей Вселенной». Сама термино-

логия при этом возникла, по-видимому, вследствие того что если в замкнутой модели Фрийдмана без космологической постоянной ( $K > 0$ ;  $\Lambda = 0$ , как показано на рис. 2.2, а) *радиус* трехмерной сферы, описывающей пространственную компоненту Вселенной, представить в виде функции от времени, то эта функция будет иметь вид *циклоиды*, т. е. кривой, образуемой точкой на окружности, которая «катится» вдоль оси времени, нормализированной таким образом, что  $c = 1$  (рис. 3.7). Данная кривая, продолженная в обе стороны по оси времени, будет описывать, очевидно, пространственно-замкнутую Вселенную, пери-



**Рис. 3.7.** Для представленной на рис. 2.2, а модели Фрийдмана зависимость радиуса Вселенной от времени имеет вид циклоиды

одически расширяющуюся и затем сжимающуюся при последовательных больших взрывах (или, если угодно, при «больших хлопках»). В соответствии с этим мы можем рассматривать общую эволюцию мира в виде бесконечной последовательности некоторых эпох или циклов, описываемых показанной на рис. 3.8 циклоидой. Такая идея в 1930 году вызвала интерес у самого Эйнштейна [3.27]. Разумеется, каждый «отскок» или скачок при переходе между циклами означает, что радиус Вселенной становится равным нулю, чему соответствует некая *пространственно-временная сингулярность* (т. е. кривизна простран-

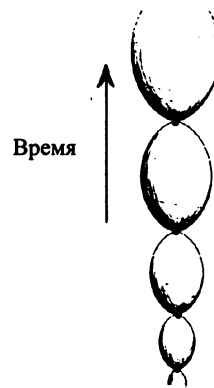


**Рис. 3.8.** Допуская существование циклоиды на рис. 3.7, мы получаем модель осциллирующей замкнутой Вселенной

ства-времени стремится к бесконечности). В этой ситуации уравнения Эйнштейна перестают обычным образом описывать воспринимаемую эволюцию Вселенной даже при использовании некоторых модифицированных уравнений, подобных предложенным в разделе 3.2.

Для целей нашей книги особую важность имеет вопрос о том, каким образом эта модель может быть согласована со вторым законом термодинамики, поскольку в рамках циклической модели нельзя ввести представление о требуемом этим законом постепенном развитии системы, сопровождаемом непрерывным ростом энтропии. Для решения этой проблемы еще в 1934 году выдающийся американский физик Ричард Чейс Толмен предложил модификацию осциллирующей модели Фридмана [3.28], в которой вещество Вселенной (имевшее в исходной модели Фридмана форму некоторой «пыли») заменяется более сложным по структуре гравитационным материалом. Такая замена придает веществу дополнительную степень свободы и тем самым создает новые возможности для изменений, сопровождающихся требуемым ростом энтропии. Модель Толмена очень похожа на осциллирующую модель Фридмана, прямым развитием которой она является. А важное отличие состоит в том, что последовательные ци-

клы (зоны) имеют большую длительность и им соответствуют возрастающие радиусы Вселенных, как показано на рис. 3.9. Модель Толмена по-прежнему относится к типу FLRW (см. разд. 2.1), вследствие чего в ней отсутствуют обусловленные гравитационным «слипанием» вклады в общее возрастание энтропии системы, а возрастание носит относительно медленный и плавный характер. Тем не менее Толмен своей работой внес существенно важный вклад в развитие астрофизики: эта работа привела к нескольким очень интересным



**Рис. 3.9.** В модели Толмена свойства составляющего Вселенную вещества допускают рост энтропии (и, соответственно, выполняется второй закон), вследствие чего размеры Вселенной возрастают на каждой последующей стадии развития

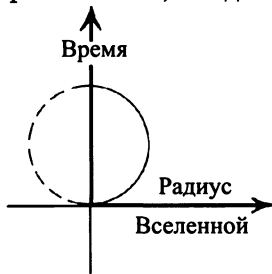
и удивительным попыткам серьезного учета роли второго закона в космологии.

Можно отметить еще один вклад Толмена в космологию, который имеет важное значение для развиваемой в данной книге теории КЦК. Дело в том, что используемое ранее представление о веществе Вселенной в виде несжимаемой жидкости (своеобразной «пыли», как отмечалось в разделе 3.1) позволяло вводить и использовать в моделях фридмановского типа некий источник гравитации (эйнштейновский тензор  $E$ ; см. разд. 2.6). Это допущение можно считать хорошим первым приближением только в условиях, когда моделируемое вещество является в разумной степени дисперсным и *холодным*. Однако при изучении ситуаций в непосредственной близости к Большому взрыву мы обязаны, естественно, рассматривать вещество в очень *горячем* состоянии (см. начало подразд. 3.1), поэтому вблизи этой точки в качестве гораздо более подходящего приближения следует использовать представление о *некогерентном излучении*. Фридмановская *пыль* остается очень удобным средством описания эволюции Вселенной после момента подразделения вещества и излучения, описанного в разделе 2.2. В этой связи стоит заметить, что Толмен ввел в рассмотрение некие радиационно-заполненные аналогии для всех

шести представленных в разделе 2.1 моделей Фридмана, соответствующих описанию состояния Вселенной в непосредственной близости к Большому взрыву. Общий вид предложенных им решений незначительно отличается от соответствующих решений Фридмана, так что приведенные выше рис. 2.2 и рис. 2.5 вполне можно рассматривать как решения для радиационной модели Толмена. Сказанное применимо и к строгим конформным диаграммам для этих решений (рис. 2.34 и рис. 2.35), но с одним важным исключением, относящимся к рис. 2.34, *a*, на котором треугольник должен быть заменен *квадратом*. Дело в том, что при построении строгих конформных диаграмм часто существует некоторая свобода выбора формы за счет изменения масштаба. Именно для диаграммы рис. 2.34, *a* эти изменения масштаба осуществляются достаточно сложным образом и требуют особого внимания.

Фридмановская ветвь циклоиды в виде арки на рис. 3.7 (для случая  $K > 0$ ), описывающая изменение радиуса Вселенной во времени, в радиационной модели Толмена превращается в *полуокруг* (рис. 3.10), описывающий ту же зависимость от времени ( $K > 0$ ). Представляется просто поразительным сам факт такого резкого изменения зависимостей при переходе от цикло-

иды к полукругу, поскольку естественное (аналитическое) продолжение толменовского полукруга должно приводить к построению полного *круга* [3.29]. Проблема в том, что это замечание теряет смысл, когда мы пытаемся рассматривать реальное значение параметра времени вне пределов исходной модели. По существу это означает, что значения радиуса Вселенной в модели Толмена должны становиться *комплексными числами* [3.30], как только мы осуществим аналитическое продолжение для фазы, предшествующей в этой модели большому взрыву. Таким образом, прямое аналитическое продолжение, обеспечивающее «отскок» именно того типа, который должен происходить в «осциллирующей» модели Фридмана для случая  $K > 0$ , по-видимому, теряет смысл, когда мы начина-



**Рис. 3.10.** В модели Толмена (заполненная излучением Вселенная) зависимость радиуса Вселенной от времени представляет собой полукругность

ем рассматривать вещество Вселенной не в виде фридмановской пыли, а в виде толменовского излучения. Для описания Вселенной вблизи точки Большого взрыва эта замена и модель Толмена позволяют получить гораздо более реалистическую картину поведения системы, поскольку в этой области мы действительно должны учитывать наличие сверхвысоких температур.

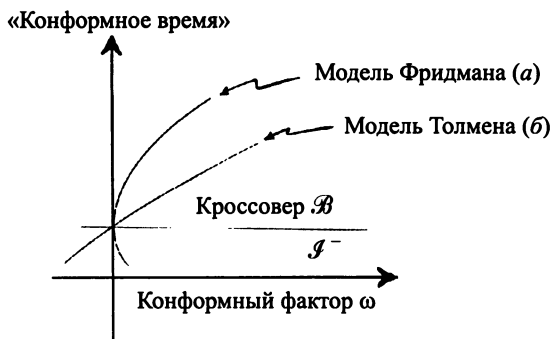
Различие в поведении сингулярности очень важно и связано с гипотезой Тода (см. разд. 2.6). Оно соотносится с характером конформного коэффициента  $\Omega$ , обеспечивающего «раздувание» больших взрывов до гладкой 3-поверхности  $\mathcal{N}$  как для решений уравнений Фридмана, так и для решений соответствующих уравнений в радиационной модели Толмена. Поскольку значение  $\Omega$  на поверхности  $\mathcal{N}$  обращается в *бесконечность*, для математического описания удобнее пользоваться величиной, *обратно пропорциональной*  $\Omega$ , для обозначения которой я буду использовать прописную букву  $\omega$ , т. е.

$$\omega = \Omega^{-1}.$$

(Читатель может быть уверен, что разницей в обозначениях является лишь кажущимся, и определения  $\omega$  и  $\Omega$  в данной части книги и в приложении Б являются действительно *согласованными*.) Для

моделей Фрийдмана на 3-поверхности  $\mathcal{B}$  величина  $\omega$  ведет себя подобно *квадрату* локального (конформного) параметра времени, исчезающего на поверхности  $\mathcal{B}$ . Поэтому аналитическое продолжение  $\omega$  через поверхность  $\mathcal{B}$  происходит гладко, без изменения знака, вследствие чего и обратно пропорциональная к  $\Omega$  величина не должна становиться отрицательной при пересечении  $\mathcal{B}$ , как показано на рис. 3.11, *а*. С другой стороны, при использовании радиационной модели Толмена величина  $\omega$  изменяется *пропорционально* некоторому локальному параметру времени (исчезающему на  $\mathcal{B}$ ). Гладкость преобразования  $\omega$  требует изменения знака, вследствие чего и сам

коэффициент  $\Omega$  должен изменить знак и стать *отрицательным* на одной из сторон поверхности  $\mathcal{B}$ . В действительности именно такое поведение оказывается очень близким к соответствующему предлагаемой в данной книге теории КЦК. В разделе 3.2 было показано, что гладкое конформное продолжение далекого будущего для предшествующего зона соответствует пересечению трехмерной поверхности кроссовера с отрицательным значением  $\Omega$  для рассматриваемого зона, как показано на рис. 3.11, *б*. Это приводит нас к ситуации с катастрофическим «обращением» знака гравитационной постоянной, если только мы не осуществим некое переключение  $\Omega \rightarrow \Omega^{-1}$  на



**Рис. 3.11.** Поведение  $\omega$  для «пылевой» модели Фрийдмана (*а*) и радиационной модели Толмена (*б*). С КЦК согласуется только модель (*б*). Обозначения и терминология поясняются в приложении Б (см. также рис. 3.5)

поверхности кроссовера (см. разд. 3.2). Однако после переключения поведение  $(-)\Omega$  на соответствующей Большому взрыву стороне кроссовера становится похожим скорее на поведение решения радиационной модели Толмена, чем на какое-то из решений моделей Фридмана. Этот факт является вполне удовлетворительным, поскольку ранее уже отмечалось, что решение Толмена представляет собой очень удачное локальное приближение для описания состояния пространства-времени сразу после Большого взрыва (по причинам, уже изложенным в разделах 2.6, 3.4 и 3.6, я не учитываю и не упоминаю здесь возможность инфляции Вселенной).

Существует еще одна теоретическая идея, которая, по мнению многих астрофизиков, может быть встроена в циклические модели разных типов, например в модели Фридмана (рис. 3.8) или в некоторые модификации радиационной модели Толмена (рис. 3.9). Авторство этой идеи принадлежит, по-видимому, выдающемуся физiku Джону А. Уилеру, который первым предложил неожиданную и интригующую идею о принципиальной возможности изменения с течением времени самих безразмерных фундаментальных констант природы по мере того, как Вселенная проходит через так называемые

сингулярные состояния. К сингулярностям относятся, например, состояния с равным нулю радиусом Вселенной, что и характерно именно для рассматриваемых нами осциллирующих моделей.

Конечно, поскольку для описания состояния Вселенной в сингулярных состояниях мы вынуждены отменять все известные «нормальные» динамические законы физики, почему бы нам не пойти и чуть дальше, допустив также возможность изменения лежащих в основе этих законов фундаментальных постоянных природы?

Однако при таком предположении возникает серьезное осложнение. Дело в том, что, по мнению многих ученых, сама возможность существования определенных форм жизни на Земле обусловлена некоторыми удивительными соотношениями между конкретными значениями обсуждаемых фундаментальных постоянных. Часть этих соотношений мы вполне можем пренебречь, так как они относятся лишь к отдельным известным нам формам жизни. Так, есть параметры, определяющие тот удивительный факт, что плотность льда меньше плотности воды (из которой он образуется), вследствие чего кажется аномальным существование жизни в водных бассейнах типа озер,

покрытых слоем льда, при температуре внешней среды ниже точки замерзания. Другие соотношения между константами имеют гораздо более важное значение, и их нарушения могут привести к очень серьезным последствиям. Например, известно, что масса нейтронов немного больше массы протонов, из чего вытекают все различия в структуре стабильных атомных ядер и благодаря чему в природе наблюдается разнообразие химических элементов и их свойств. Могли бы мы, люди, вообще возникнуть в мире из других элементов? Одним из самых удивительных проявлений обсуждаемой проблемы соответствия между значениями фундаментальных постоянных природы стало подтверждение великим химиком Уильямом Фаулером замечательного предсказания Фреда Хойла о существовании такого особого энергетического уровня у атома углерода, отсутствие которого привело бы к невозможности синтеза внутри звезд всех элементов тяжелее углерода. Тогда в природе и в составе планет не существовало бы множества необходимых для жизни химических элементов, включая азот, кислород, хлор, натрий, серу и т. д. В связи с этим интересно отметить, что Фаулер получил Нобелевскую премию (он разделил ее с Чандрасекаром в 1982 году), а Фреду Хойлу эта премия так и не досталась!

Существует так называемый антропный принцип\*, названный так Брэндоном Картером, который подробно изучил эту проблему [3.31] и показал, что если бы значения фундаментальных констант не соответствовали точно и конкретно состоянию нашей Вселенной (или даже, более детально, местоположению и времени существования нашей Вселенной), то мы обнаружили бы себя в совершенно ином мире, но эти новые значения констант, возможно, способствовали бы зарождению и существованию других разумных форм жизни. Я не буду развивать далее эти чрезвычайно интересные и спорные идеи, а также излагать свою собственную точку зрения относительно них, но только замечу, что упомянутый принцип слишком часто и без достаточных оснований используется для объяснения многих малоубедительных теорий [3.32]. В этой связи сразу укажу также, что в соответствии с предлагаемой в книге теорией КЦК при переходе от одного эона развития к другому возможны очень существенные изменения

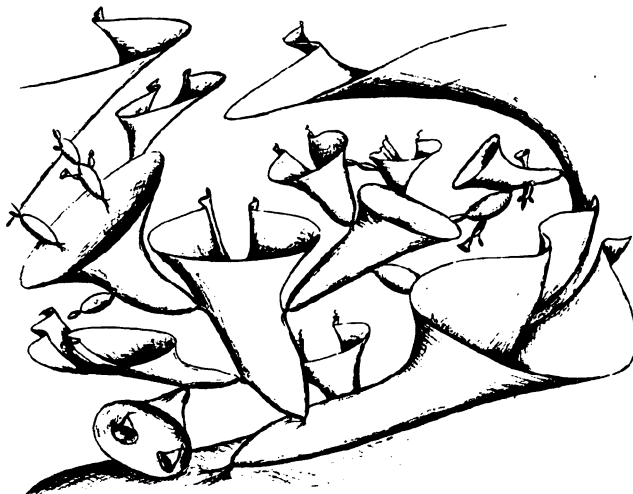
---

\* Первым и основным обоснованием концептуального и весьма популярного сейчас в астрофизике антропного принципа (которому посвящено множество книг и исследований) стала флуктуационная гипотеза Л. Больцмана относительно Н-теоремы, рассмотренная в начале данной книги (разд. 1.1). — *Прим. перев.*

физических закономерностей. Допустим, может измениться значение обсуждаемого в разделе 3.2 числа  $N$ , целочисленные степени которого, как отмечалось ранее, способны определять соотношения между различными безразмерными значениями фундаментальных физических констант.

Идея Уилера применима и к несколько экзотической теории, предложенной Ли Смолином в его изданной в 1997 году книге под названием «Жизнь в Космосе» [3.33]. Смолин выдвинул весьма спорную (но очень соблазнительную!) гипотезу о том, что при коллапсе и формирова-

нии черных дыр их внутренние области (вследствие пока не известных эффектов квантовой гравитации) могут приобретать способность к расширению за счет своеобразных «скачков» или отскоков, после чего каждая такая область способна стать «зародышем» следующей новой фазы расширения Вселенной. Каждая такая Вселенная-младенец затем расширяется до «взрослого» состояния, содержащего собственные черные дыры, и т. д., и т. д., как показано на рис. 3.12. Для меня проблема состоит в том, что все такие переходы (коллапс  $\rightarrow$  расширение) совершенно



**Рис. 3.12.** Экзотическая идея Смолина о Вселенной, в которые новые стадии развития, или «эоны», возникают из сингулярностей внутри черных дыр

не похожи на требуемые теорией КЦК гладкие конформные преобразования, не говоря уже о том, что связь этих переходов со вторым законом термодинамики весьма неясна. Тем не менее очень большим преимуществом этой модели представляется тот факт, что она позволяет изучать проблему с точки зрения известного в биологии *принципа естественного отбора*, а также допускает некоторые статистические оценки и предсказания. Смолин сам провел интересные оценки такого типа и сравнил полученные результаты с известными статистическими данными наблюдений для черных дыр и нейтронных звезд. Идея Уилера в этой теории заключается в том, что при каждом переходе (коллапс  $\rightarrow$  расширение) предполагается только замедленное, т. е. умеренное изменение безразмерных фундаментальных констант, вследствие чего при образовании новых черных дыр проявляется некая склонность к передаче своеобразных «наследственных» признаков. Это обстоятельство позволяет даже усматривать в данной модели аналогии с механизмом какого-то естественного, биологического отбора.

С моей скромной точки зрения, не менее забавными и причудливыми представляются некоторые космологические гипотезы, основанные на так называемой *теории струн*. В рамках этой теории

предполагается, что все развитие Вселенной происходит вследствие существования в струнах дополнительных, скрытых измерений. Насколько мне известно, самая первая гипотеза, связывающая состояние Вселенной перед Большим взрывом (пре-Биг-бэнг-состояние) с этой теорией, была предложена Габриэлем Венециано [3.34] примерно за 7 лет до возникновения развиваемой в данной книге теории КЦК. Обе теории имеют много общего, что обусловлено, в частности, использованием одного и того же общего подхода (конформного перемасштабирования объектов, называемого рескейлингом), а также идеи, что период инфляции (раздувания) Вселенной может рассматриваться как экспоненциальное расширение в фазе развития той Вселенной, которую мы сейчас наблюдаем. С другой стороны, модель Венециано тесно связана с упомянутой выше теорией струн (она стала настолько популярной в последние годы, что физики, подражая социологам, в шутку говорят о существовании целой «культуры теории струн» и т. п.). В целом модель Венециано плохо сочетается с КЦК, в основном из-за присущей КЦК особенности четко предсказывать пути развития, о чем рассказывается в разделе 3.6.

Аналогичные замечания можно высказать и в отношении более позднего варианта теории струн, развитого в работе

Поля Стейнхардта и Нейла Турока [3.35]. В нем переход от одного эона к следующему происходит через столкновения D-брейнов (D-брейнми в этой теории называют структуры с некоторым приложением (обладающим бóльшим числом измерений) к обычному четырехмерному представлению о пространстве-времени). При таких столкновениях переход между эонами происходит за весьма короткое время и очень редко (один раз примерно за  $10^{12}$  лет), когда еще сохраняются все черные дыры, участвующие в астрофизических процессах. Еще раз повторю, что независимо от всего сказанного достаточно точное сравнение описываемых гипотез с КЦК очень усложняется концептуальным различием КЦК с упомянутой выше культурой теории струн вообще. Для большей ясности в этом вопросе следовало бы переформулировать общетеоретические схемы сравниваемых гипотез таким образом, чтобы их объекты можно было рассмотреть в привычном четырехмерном пространстве-времени. Кроме того, для сравнения методов необходимо, чтобы роль используемых в теории струн избыточных измерений была каким-то образом и хотя бы приближенно закодифицирована в представлениях четырехмерной динамики.

Помимо упомянутых выше теоретических схем для описания отскока (скачка)

Вселенной от фазы коллапса к следующей фазе расширения, в литературе встречаются многочисленные попытки использования идей *квантовой гравитации* [3.36]. В этих случаях обычно несингулярная квантовая эволюция заменяется таким сингулярным состоянием, которое формально *по классическим представлениям* должно возникнуть в момент, когда размеры системы минимальны. Авторы многих работ в этом направлении часто пытаются ввести разные упрощенные модели с малым числом измерений, однако возможность использования четырехмерного пространства-времени обычно остается сомнительной. Более того, большинство предлагаемых моделей при описании квантовой эволюции *не позволяют* избавиться от сингулярностей в общем смысле. Наиболее удачной гипотезой обсуждаемого типа можно считать предложенный Аштекаром и Боджовольдом подход [3.37], основанный на использовании в квантовой теории гравитации новой, так называемой переменной *управления циклом*, в результате чего квантовая эволюция при описании становится похожей на классический процесс формирования космологических сингулярностей.

Однако, насколько мне известно, ни одна из предлагаемых ранее гипотез пре-Биг-бэнг-состояния не позволила добиться серьезного прорыва в понимании

перечисленных в части 1 фундаментальных проблем, связанных со вторым законом термодинамики. Кроме того, все эти гипотезы не позволили решить и задачу о подавлении гравитационных степеней свободы при Большом взрыве, которая фактически является *ключевой* для формулировки второго закона в известном нам виде, что подчеркивалось в разделах 2.2, 2.4 и 2.6. В действительности все приведенные гипотезы могут быть без сомнения отнесены к моделям FLRW-типа и не приближают нас к решению упомянутых ранее принципиальных вопросов.

Еще в начале XX века космофизики с полной уверенностью заявляли, что все наши представления могут очень сильно измениться, как только мы позволим себе ввести хоть какие-нибудь отклонения от симметрии FLRW-моделей. Сам Эйнштейн выразил надежду [3.38], что избежать возникновения сингулярностей в теории удастся введением *неоднородностей* (при этом общий дух работы Эйнштейна соответствовал появившейся гораздо позже работе Лифшица и Халатникова, ошибочность которой обнаружили позднее и сами авторы; см. разд. 2.4). На основе теорем о сингулярности, доказанных в конце 1960-х годов [3.39], стало ясно, что надежды Эйнштейна не могут оправдаться в рамках классической общей теории

относительности, следовательно, во всех моделях такого типа обязательно должны возникать и учитываться пространственно-временные сингулярности. Более того, мы уже знаем, что, когда в фазе коллапса наблюдается присутствие и неизбежный рост сингулярностей, гравитационный коллапс сопровождается значительным возрастанием энтропии. Таким образом, если предположить, что развитие в пре-Биг-бэнг-фазе действительно происходит в соответствии со вторым законом и при полностью активированных гравитационных степенях свободы, то мы должны наблюдать нечто совершенно отличное от «непосредственного отскока» (неважно, классического или квантового). Моя собственная попытка заняться этой серьезной проблемой стала одной из принципиальных причин для выдвижения и разработки предлагаемой в данной книге концепции КЦК, которая многим кажется необычной и странной. В этой теории используется бесконечная смена масштабов, позволяющая обеспечить геометрическую «подгонку» развития событий между любыми двумя последовательными этапами развития, которые я называю эонами.

При этом, однако, остается совершенно непонятным и глубоко загадочным очень важный вопрос: каким образом предлагаемый в теории циклический процесс

может оставаться совместимым со вторым законом термодинамики, в соответствии с которым энтропия должна непрерывно повышаться в течение каждого из эонов? Именно эта проблема (как говорят англичане, вызов) является центральной для предлагаемой книги, и я попытаюсь детально рассмотреть и обсудить ее в следующем подразделе.

### 3.4. Квадратура круга для второго закона

Я предлагаю читателю вернуться к вопросу, с которого и начиналось повествование, т. е. к проблеме возникновения самого второго закона термодинамики. Отмечу прежде всего, что при любом рассмотрении второго закона мы сталкиваемся с некоторой загадкой, или головоломкой, которая, кстати, никак *не связана* с развиваемой мной в данной книге теорией КЦК. Загадка заключается в том, что все имеющиеся фактические данные свидетельствуют об очень существенном возрастании энтропии Вселенной (или, если принимать на веру общую идею КЦК, хотя бы энтропии данного эона развития Вселенной), но одновременно состояния Вселенной в очень далеком прошлом и в очень отдаленном будущем оказываются

весьма похожими друг на друга. Конечно, они не являются почти или совершенно одинаковыми, однако нас, физиков-теоретиков, не может не настаивать столь очевидное подобие состояний (я употреблю слово «подобие» именно в том смысле, в каком оно используется в привычной всем нам евклидовой геометрии, когда все различие между объектами может быть сведено лишь к разнице масштабов, даже если эта разница достаточно большая). Более того, любое общее изменение масштаба в нашем случае оказывается *иррелевантным*, т. е. не имеющим прямого отношения к мере значений *энтропии*. Величина энтропии определяется замечательной формулой Больцмана (см. конец раздела 1.3), так как благодаря отмеченному в конце раздела 3.1 важному свойству рассматриваемых систем их объемы в фазовом пространстве при конформных масштабных преобразованиях не изменяются [3.40]. При этом, однако, особо стоит отметить, что энтропия во Вселенной кажется возрастающей, причем *довольно сильно*, несмотря на все эффекты слипания и группирования под воздействием гравитации. Загадка связана с тем, как увязать эти очевидные и кажущиеся противоречащими друг другу факты. Некоторые физики полагают, что предельное, максимальное значение

энтропии достигается в нашей Вселенной не за счет коллапса вещества в черных дырах, а вследствие возрастания так называемой энтропии Беркенштейна–Хокинга на границах *космологического* горизонта событий. Такая возможность рассматривается в разделе 3.5, где я доказываю, что эта энтропия не имеет отношения к обсуждаемой в данной части книги проблеме.

Давайте рассмотрим более тщательно вероятное состояние ранней Вселенной в том случае, когда условия ее существования изменялись таким образом, чтобы уничтожить или, образно говоря, просто «убить» при большом взрыве все гравитационные степени свободы системы. Вследствие этого на самой ранней стадии развития Вселенной гравитационная энтропия должна играть очень незначительную роль. Нужно ли в этом случае рассматривать и учитывать космическую инфляцию, т. е. раздувание Вселенной? Позднее читатель увидит, что я лично скептически отношусь к реальной возможности такого процесса (разд. 3.6), но это в сущности не очень важно для обсуждаемой проблемы в целом. Можно пренебречь возможностью инфляции или же принять изложенные в разделе 3.6 предположения, в соответствии с которыми теория КЦК дает всего лишь альтернативную интерпретацию процесса инфляции, при кото-

рой она *представляет* собой некую фазу экспоненциального расширения предыдущего зона. Можно также просто считать, что рассматриваемая ситуация возникает *вслед* за так называемым космическим моментом (около  $10^{-32}$  с), когда заканчивается инфляция.

Как я уже указывал в разделе 3.1, вполне разумно предположить, что на раннем этапе развития Вселенной (его длительность составляет примерно  $10^{-32}$  с) доминирующими факторами в физических законах являются конформно-инвариантные закономерности, а сама Вселенная состоит лишь из компонентов, не обладающих эффективной массой. Независимо от того, насколько справедлива упоминавшаяся ранее (разд. 2.6) теорема Тода, по-видимому, мы не очень ошибемся, предположив, что это раннее состояние Вселенной (с существенно подавленными гравитационными степенями свободы) соответствует одному из конформных растяжений, которое может привести к образованию гладкого несингулярного состояния, по-прежнему содержащего только безмассовые частицы (в основном, по-видимому, фотоны). На этом раннем этапе развития Вселенной мы еще должны учитывать дополнительные степени свободы для *темной материи*, также не имеющей эффективной массы.

На другом конце временной шкалы мы имеем дело с предельным состоянием экспоненциально раздутой Вселенной типа де Ситтера (разд. 2.5), тоже заполненной безмассовыми компонентами (фотонами). При этом в системе может присутствовать некоторое количество какого-либо постороннего, или, образно говоря, «беспризорного», вещества (состоящего, например, из стабильных и обладающих массой частиц), однако значение энтропии такой системы будет почти полностью определяться фотонами. Полагаю, что мы вновь не очень сильно ошибемся, предположив (напомню полученные Фридрихом результаты, которые упоминались в разд. 3.1), что если мы конформно «сожмем» отдаленное будущее, то получим гладкое состояние Вселенной, и оно будет не очень отличаться от того, которое получается при конформном растяжении системы вблизи Большого взрыва (примерно  $10^{-32}$  с). Если угодно, можно считать, что число степеней свободы системы *увеличивается* при растяжении Вселенной в результате Большого взрыва, поскольку помимо степеней свободы, возможно, активируемых в темной материи, гипотеза Тода допускает также существование гравитационных степеней свободы, соответствующих больше ненулевому (но конечному) значению тензора Вейля  $C$ , а не условию  $C = 0$ ,

связанному с теорией КЦК (см. разд. 2.6 и 3.2). Но отмечу, что если такие степени свободы действительно существуют, то это лишь усиливает обсуждаемое нами противоречие, так как мы сталкиваемся со следующей непростой проблемой. В этом случае значение энтропии на самой ранней стадии развития Вселенной оказывается чуть меньше (а возможно, реально даже чуть больше!), чем в отдаленном будущем, несмотря на то, что между моментом  $10^{-32}$  с и отдаленным будущим обязательно должен происходить исключительно быстрый рост энтропии.

Для более содержательного анализа изучаемой физической головоломки нам необходимо подробнее рассмотреть природу и масштабы основных факторов, или вкладов, вызывающих стремительный рост энтропии. В настоящее время считается признанным, что основной вклад в энтропию Вселенной вносят гигантские черные дыры, располагающиеся вблизи центров большинства (или всех?) галактик. Вообще говоря, точно оценить размеры черных дыр в галактиках очень сложно, поскольку сама физическая сущность этих объектов препятствует их прямому наблюдению! Например, в центре нашей собственной Галактики (являющейся довольно типичной) располагается, по-видимому, черная дыра с массой около  $4 \cdot 10^6 M_{\odot}$ .

(см. разд. 2.4). Для этой дыры на основе формулы Бекенштейна–Хокинга легко вычисляется значение энтропии в пересчете на 1 барион (напомню, что термин «барион» относится к протонам и нейтронам), которое равно  $10^{21}$ /барион. Число барионов в системе остается неизменным (никакие нарушения этого принципа до сих пор не наблюдались), так что значение  $10^{21}$  на 1 барион можно считать разумной оценкой для всей Вселенной [3.41]. Следующий по значимости вклад в энтропию Вселенной создается упоминавшимся ранее фоновым микроволновым излучением СМВ, и он составляет не более  $10^9$  на 1 барион. Приведенные цифры наглядно демонстрируют, как стремительно увеличивались значения энтропии Вселенной с момента подразделения вещества и излучения (около  $10^{-32}$  с), причем основную роль в этом процессе чудовищного возрастания играли именно черные дыры. Для большей наглядности и придания тексту некоторой драматичности я выпишу эти значения энтропии в обычной математической форме. Энтропия Вселенной (в пересчете на 1 барион вещества) в излучении СМВ равна примерно 1 000 000 000, а текущее значение (вычисленное по упомянутой выше формуле) соответствует числу

1 000 000 000 000 000 000 000 !

Повторю, что основной вклад в возрастание энтропии вносят черные дыры. Более того, мы можем ожидать, что эти черные дыры в будущем (а следовательно, и энтропия всей Вселенной) продолжат энергично увеличиваться, так что даже *это* достаточно внушительное число будет позднее существенно «перекрыто». Таким образом, из всего изложенного следует, что изучаемые нами парадоксы, или «загадки», связанные с возрастанием энтропии, для рассматриваемой системы (Вселенная, черные дыры, реликтовое излучение и т. п.) меняют свой смысл и могут быть сформулированы в виде других вопросов: как сказанное ранее можно согласовать с основополагающими теоретическими представлениями, описанными в самом начале этой части книги, и что происходит с чудовищной энтропией, соответствующей этим черным дырам, в конечном состоянии?

Далее мы попытаемся понять, куда «девается» вся эта энтропия и каким образом могут «сжиматься» приведенные выше ее немислимые по величине значения. Для этого нам следует вспомнить, какая судьба ожидает в очень отдаленном будущем нашу Вселенную вместе с черными дырами, ответственными за чудовищное возрастание энтропии. В соответствии с изложенными в разделе 2.5 представле-

ниями примерно через  $10^{100}$  лет они должны постепенно испариться в процессе так называемого излучения Хокинга, а затем «умереть» и окончательно исчезнуть с финальным хлопком!

При этом мы должны помнить, что все эти процессы, связанные с черными дырами (рост энтропии вследствие захвата ими вещества Вселенной, а также последующее постепенное уменьшение размеров и массы из-за испарения Хокинга), вполне совместимы с действием второго закона и, более того, эти процессы сами выступают в качестве прямых следствий, или *проявлений*, второго закона! С учетом этого, вообще говоря, мы можем не вдаваться в тонкости исходных предпосылок работы Хокинга 1974 года, посвященной температуре и энтропии черных дыр, в предположении, что эти объекты сформировались в далеком прошлом относительно гравитационного коллапса. Если мы не будем стремиться к использованию совершенно *точного* значения входящего в уравнение Бекенштейна–Хокинга коэффициента  $8kG\pi^2/ch$ , а ограничимся некоторым его приближением, то сможем найти обоснование для той обобщенной формулы, которая была предложена Бекенштейном в его самой первой публикации 1972 года, посвященной описанию энтропии черных дыр [3.42]. В этой рабо-

те он использовал чисто физические доводы (основанные как на втором законе, так и на принципах квантовой механики и общей теории относительности) для обоснования воображаемого эксперимента, относящегося к «падению» объектов внутрь черной дыры. Температура поверхности неподвижной (невращающейся) черной дыры с массой  $M$  определяется формулой Хокинга

$$T_{\text{вн}} = \frac{K}{M},$$

(где константа  $K$  фактически должна быть разделена на  $4\pi$ ). Это выражение вытекает из общих, стандартных термодинамических представлений при использовании формулы для энтропии [3.43]. Величина  $T_{\text{вн}}$  соответствует оптической температуре объекта при наблюдении с бесконечного расстояния, а мощность излучения черной дыры определяется в предположении, что распределение температуры однородно по всей поверхности сферы, радиус которой равен радиусу Шварцшильда для данной черной звезды (см. разд. 2.4).

Я специально выделяю эти особенности обсуждаемой модели, чтобы подчеркнуть, что все описываемые ею «странные» объекты и процессы (черные дыры, их температура и энтропия, испарение Хокинга и т. п.), несмотря на их некоторую

непривычность, тем не менее, почти полностью относятся к обычной физике нашей Вселенной и согласуются с ее фундаментальными принципами, причем прежде всего именно с имеющим особую важность *общепризнанным вторым законом*. Предполагается, что присущая черным дырам чудовищная по величине энтропия является следствием необратимости процессов их формирования и того замечательного факта, что структура стационарных черных дыр требует для описания своего состояния лишь очень небольшого числа параметров [3.44]. Любой частный набор значений этих параметров должен соответствовать весьма обширному объему в фазовом пространстве, которому по формуле Больцмана (разд. 1.3) будет соответствовать и очень высокое значение энтропии для данного набора. Для согласования с общефизической картиной мира мы можем предположить, что общее поведение и роль черных дыр в предлагаемой модели действительно описываются верно (за исключением того, что в эту картину нельзя внести финальный хлопок в истории развития черной дыры!). И все же трудно представить, что на конечной стадии развития Вселенной может происходить что-то иное.

Но должны ли мы *действительно* верить в существование таких хлопков?

Являются ли они необходимыми? До тех пор, пока описываемое пространство-время остается геометрически *классическим* (не квантовым), черная дыра будет продолжать терять за счет излучения энергию (массу) с такой интенсивностью, чтобы исчезнуть за конечное время, примерно равное  $2 \cdot 10^{67} (M/M_{\odot})^3$  лет. Отметим, что в модели предполагается, что за это время масса дыры  $M$  не изменится, т. е. в дыру не «упадут» новые объекты [3.45]. Проблема заключается в том, насколько долго, как мы можем полагать, именно классическая геометрия пространства-времени разумным образом отражает реальную физическую картину состояния Вселенной. Наиболее общие оценки (основанные именно на свойствах размерности пространства) показывают, что проявления каких-то форм или эффектов квантовой гравитации можно ожидать лишь после того, как размеры дыры уменьшатся до немыслимо ничтожной по величине единицы длины Планка  $l_p$ , равной примерно  $10^{-35}$  м, составляющей около  $10^{-20}$  от классического радиуса протона. Предполагается, что на заключительной стадии развития масса дыры будет примерно соответствовать планковской массе  $m_p$ , энергия — планковской энергии  $E_p$ , а длительность этой стадии не превысит планковское время  $t_p$  (см. конец разд. 3.2). Некоторые физики

допускают возможность того, что этой конечной точке развития дыры соответствует некий стабильный «остаток» ее массы (по порядку величины равный примерно  $m_p$ ), но это предположение трудно согласовать с законами квантовой теории поля [3.46]. Более того, конечное состояние черной дыры, по-видимому, не зависит от ее исходных размеров и содержит лишь очень небольшую долю ее массы/энергии, хотя стоит отметить, что среди физиков нет полного согласия относительно этого возможно крошечного «остатка» черной дыры [3.47]. Однако в рамках теории КЦК предполагается, что *никакое* обладающее массой покоя вещество не может сохраняться в нашей Вселенной вечно, вследствие чего существование финального хлопка (а также условие полного «исчезновения» любых масс покоя для всех частиц после хлопка) являются не только вполне приемлемыми и удобными, но и совместимыми со вторым законом.

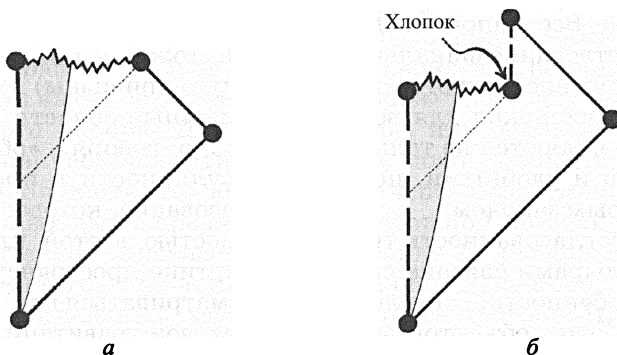
Несмотря на эту согласованность требований, с черными дырами связана еще одна необычная особенность, обусловленная тем, что для этих объектов эволюция пространства-времени в будущем неизбежно приводит к возникновению внутренней *пространственно-временной сингулярности*, что представляет собой уникальный физический эффект для

всех систем или задач, как-то связанных с расчетом будущих состояний. Хотя эта сингулярность и выступает некоторым следствием общей классической теории относительности (см. разд. 2.4 и 2.6), но все же трудно поверить, что классическое описание (даже при серьезной модификации с использованием идей квантовой гравитации) может привести к таким чудовищным искривлениям пространства-времени. В сингулярности радиус кривизны пространства уменьшается до совершенно ничтожных значений — порядка планковской единицы длины  $l_p$  (см. конец разд. 3.2). В частности, для располагающихся в галактических центрах черных дыр такие сингулярности (с ничтожными по величине значениями радиуса кривизны) должны выглядеть как крошечные области, окружающие (или, образно говоря, «обнимающие») точку сингулярности в пространстве-времени. Образование, которое мы называем сингулярностью в этой классической картине и картине пространства-времени, должно рассматриваться как то «место, где законы квантовой гравитации начинают преобладать» над законами известной нам физики. Для практических целей это различие представляется незначительным, поскольку, строго говоря, пока не создан общепризнанный математический аппарат,

способный каким-то образом заменить созданную Эйнштейном картину непрерывного пространства-времени, вследствие чего мы не можем описывать то, что происходит вообще при дальнейшем уменьшении пространственных масштабов. Мы можем только присоединять к данным математическим объектам некие сингулярные границы с немислимой кривизной, предполагая, что это позволит объектам как-то соответствовать хаотическому поведению ВКЛ-моделей (см. разд. 2.4 и 2.6).

Для более глубокого понимания роли сингулярности в классической картине

поведения физических картин вообще давайте подробно рассмотрим конформную диаграмму на рис. 3.13, обе части которой в некоторой степени отражают существенные преобразования, или видоизменения, рисунков 2.38, *a* и 2.41 соответственно. Эти рисунки можно интерпретировать как строгие конформные диаграммы, но тогда в них должна быть введена и строгая сферическая симметрия. Поэтому кажется маловероятным, чтобы эта симметрия полностью сохранилась в том остатке Вселенной при коллапсе, особенно если при коллапсе возникают какие-то неоднородности. Однако, если мы допустим



**Рис. 3.13.** Конформные диаграммы в нерегулярном представлении (что предполагает недостаток симметрии), описывающие гравитационный коллапс в черную дыру (*a*) и коллапс с последующим испарением вещества по Хокингу (*b*). Сингулярность остается пространственноподобной вследствие предполагаемого существования строгой космической цензуры

существование упомянутой ранее *строгой космической цензуры* (см. конец разд. 2.5 и разд. 2.6) непосредственно перед моментом хлопка [3.48], то эти сингулярности должны оказаться преимущественно *пространственноподобными*, а диаграммы рис. 3.13 сохраняют свой вид и будут качественно соответствовать *схематическим* конформным диаграммам, несмотря на наличие сильно выраженной неоднородности в геометрии пространства-времени вблизи классической сингулярности.

Понятно, что области, в которых следует ожидать проявления каких-либо эффектов квантовой гравитации, «отменяющих» законы классической физики и привычную картину пространства-времени, должны располагаться очень близко к сингулярности, т. е. там, где искривления пространства-времени достигают критических значений, при которых мы уже не можем «доверять» классическому описанию событий. В этой связи мне представляется совершенно безнадежной попытка ввести в теорию КЦК некую «3-поверхность кроссовера», позволяющую гладко продолжить пространство-время через сингулярность и попасть, образно говоря, сразу на «другую сторону». Гипотеза Тода была предложена в свое время именно для того, чтобы *отличать* такие «прирученные» сингулярности, участву-

ющие в Большом взрыве, от некоторых других объектов (возможно, относящихся к хаотическим моделям ВКЛ-типа), наличие которых можно предположить внутри сингулярностей черных дыр. Несмотря на существование описанной в разделе 3.3 интересной и подталкивающей к новым исследованиям гипотезы Смолина (см. рис. 3.12), я не питаю больших надежд на то, что теория квантовой гравитации «спасет» ситуацию в астрофизике. Я не считаю, что она позволит описать требуемый «отскок» с использованием каких-то пространственно-временных зеркал почти в прямом смысле, т. е. отражающих поведение Вселенной за счет введения симметричных относительно времени фундаментальных физических процессов. Если бы это оказалось действительно так, то возникающий объект напоминал бы белую дыру (см. рис. 2.46) или смесь бифуркаций белых дыр, возможность существования которых мы обсуждали в разделе 2.6 (эта ситуация противоположна показанной на рис. 3.2). Такие физические системы представляются абсолютно несвойственными окружающей нас Вселенной, не говоря уже о том, что они не могут иметь ничего общего со вторым законом, основанным на нашем жизненном опыте.

Можно уверенно предположить, что (по крайней мере, для того типа физи-

ческой эволюции, который мы можем наблюдать и обсуждать) в близких к сингулярностям областях пространства-времени физика или, точнее говоря, действие известных нам физических законов просто *заканчивается*\*. Либо в качестве альтернативы эти законы сохраняются, но структура самой Вселенной полностью изменяется, так что в любом случае вещество в области сингулярности оказывается «потерянным» для нашей Вселенной. Но теряется ли при этом реальное действие этого вещества? Возможно, оно «ускользает» куда-то в сторону от нашего внимания, как показано на рис. 3.13, б, где обусловленные квантовой гравитацией искажения привычных геометрических представлений о пространстве-времени

---

\* К вопросу о действии известных физических законов в космологии и познаваемости Вселенной вообще можно отметить, что на конференции в Кембридже, посвященной 100-летию со дня рождения П. Дирака, великий физик Стивен Хокинг прочитал лекцию с характерным названием «Godel and the end of physics». В лекции (со ссылкой на знаменитую теорему Геделя) он предполагал, что «...возможно, теорию развития Вселенной вообще нельзя сформулировать в виде конечного числа утверждений». Это положение соответствует общему подходу Р. Пенроуза к проблеме познаваемости окружающего мира, предлагаемому в других его книгах. — *Прим. перев.*

могут распространяться иным, например пространственноподобным, образом, совершенно запрещенным законами обычных причинно-следственных связей, описанных в разделе 2.3. Даже в этом случае нам трудно представить, как необходимая для процесса информация может возникать задолго до момента хлопка, поскольку огромная часть объема информации к этому моменту содержится внутри вещества гигантских черных дыр, масса которых в миллионы раз может превосходить массу нашего Солнца\*\*. Вся эта информация, которая должна высвободиться и, образно говоря, мгновенно «залить» Вселенную, должна содержаться в крошечной по объему области, соответствующей моменту хлопка. Лично мне очень трудно поверить в такую возможность, и я считаю гораздо более правдоподобным, что информация, относящаяся ко всем направленным в будущее процессам, попадая в такую пространственно-временную сингулярность, разрушается.

---

\*\* Выступая с лекцией в начале апреля 2013 года в московском Политехническом музее, сэр Роджер сказал: «Биг-бэнг обладает безумно низкой энтропией, то есть это очень высокоорганизованная форма материи, а черные дыры, наоборот, — это объекты с циклопически высокой энтропией». Именно это противоречие лежит в основе обсуждаемой теории. — *Прим. перев.*

Однако существует альтернативная (и часто упоминаемая в литературе) гипотеза [3.49], согласно которой «утекающая» закодирована в результате известного в физике «квантового переплетения», который в данном случае выражается в форме тонких корреляций между компонентами испускаемого черной дырой излучения Хокинга. В этой гипотезе излучение Хокинга не только носит привычный нам тепловой (или хаотический) характер, но и играет более сложную роль. Дело в том, что содержащаяся в нем полная информация (которая, как предполагалось, должна необратимо разрушаться внутри сингулярности) теперь может быть каким-то образом полностью учтена (возможно, даже воспроизведена или «скопирована») и вне сингулярности. Я лично серьезно сомневаюсь в справедливости таких предположений, так как в соответствии с ними любая попадающая в ближайшую окрестность сингулярности информация должна затем как-то копироваться в виде квантово перепутанной информации, что само по себе может приводить к нарушениям основных принципов квантовой механики [3.50].

Более того, в своей первой работе 1974 года, посвященной возможности существования теплового излучения чер-

ных дыр [3.51], сам Хокинг признавал, что поступающая в дыру информация (в виде так называемой пробной волны) должна расщепляться на две части, одна из которых покидает дыру, а вторая «падает» в нее. При этом, в соответствии с предположениями Хокинга, попадающая внутрь дыры часть необратимо разрушается, из чего сразу следует, что вторая, излучаемая, составляющая имеет термическую природу, и ее температура точно равна тому значению, которое мы сейчас называем температурой Хокинга. К этой спорной ситуации относится конформная диаграмма рис. 2.38, *a*, которая, на мой взгляд, достаточно убедительно свидетельствует в пользу того, что поступающая в дыру информация действительно расщепляется на две составляющие, одна из которых падает внутрь дыры, а вторая излучается в бесконечное пространство. Попавшая в дыру информация «погибает», причем это обстоятельство очень важно для рассматриваемой проблемы в целом. Дело в том, что Хокинг в течение многих лет был наиболее известным сторонником идеи, что попадающая внутрь черной дыры информация действительно теряется, однако на 17-й Международной конференции по общей теории относительности и гравитации, проведенной в Дублине (2004), Хокинг изменил свою

точку зрения. Более того, он даже публично признал поражение в известном пари, которое они (совместно с Кипом Торном) заключили ранее с Джоном Прескиллом. Хокинг объявил, что раньше он ошибался, а теперь убежден [3.52], что вся поступающая в дыру информация целиком отражается во внешнее пространство. Мне кажется, что Хокингу не следовало так легко сдаваться, и он мог быть более стойким в своих убеждениях (как гласит английская поговорка, *he must stick his guns* — «настоящие артиллеристы даже под обстрелом не бросают свои пушки»). По моему собственному мнению, его исходные идеи были гораздо ближе к истине!

С другой стороны, новая точка зрения Хокинга оказывается намного ближе к традиционной, общепринятой позиции специалистов в области квантовой теории поля. На самом деле, действительное разрушение физической информации пока вовсе не относится к общепринятым научным представлениям, и даже саму идею о том, что информация внутри черных дыр может как-то уничтожаться описываемым образом, физики часто называют информационным *парадоксом* черных дыр. Основная причина такого скептического отношения заключается в том, что (по мнению очень многих физиков) поведение черных дыр в квантовой гравитации не должно нарушать один из важнейших

принципов квантовой теории вообще, известный под названием *унитарной эволюции*. Считается, что этот принцип должен выполняться при всех симметричных, относительно хода времени, процессах эволюции [3.53] любых квантовых систем, описываемых *уравнением Шредингера*. По своей сути информация не может быть уничтожена в процессах унитарной эволюции, поскольку эта эволюция должна быть обратимой. Вследствие этого потеря информации (являющаяся важным элементом предлагаемого Хокингом процесса испарения черных дыр), по всей видимости, *несовместима* с принципом унитарной эволюции.

Я не буду вдаваться в детали квантово-механических построений [3.54], а лишь очень кратко упомяну самые рудиментальные положения этой теории, необходимые для дальнейшего изложения. Основным понятием, используемым для описания квантовой системы, является *квантовое состояние* или *волновая функция* системы, которую обычно обозначают греческой буквой  $\psi$ . Как упоминалось чуть ранее, предоставленное себе квантовое состояние будет развиваться во времени в соответствии с уравнением Шредингера. Это уравнение описывает унитарную эволюцию в виде детерминистического, симметричного относительно времени и непрерывного процесса, кото-

рый далее я буду обозначать буквой  $U$  (unitarity). Для определения значения, которое имеет некий наблюдаемый параметр  $q$  в момент времени  $t$ , к функции  $\psi$  применяется особая математическая операция, называемая *наблюдением* или *измерением*. Эту процедуру обозначают буквой  $O$  (observation), а ее применение к функции  $\psi$  позволяет получить некий набор возможных значений этой функции ( $\psi_1, \psi_2, \psi_3, \psi_4, \dots$ ), каждое из которых соответствует возможным значениям ( $q_1, q_2, q_3, q_4, \dots$ ) наблюдаемого параметра  $q$  с соответствующими вероятностями  $P_1, P_2, P_3, P_4, \dots$  для регистрации этих значений. Таким образом, в результате специфической математической процедуры мы получаем набор альтернативных значений и их вероятностей, определяемых операцией  $O$  и функцией  $\psi$ . Пытаясь понять, что действительно *произошло* в физическом мире при осуществлении измерения, мы обнаруживаем, что функция  $\psi$  каким-то скачком просто *превращается* в одну из функций из заданного набора  $\psi_1, \psi_2, \psi_3, \psi_4, \dots$  (например, в функцию  $\psi_j$ ). Этот выбор носит совершенно случайный характер, однако для него мы имеем точно заданную вероятность  $P_j$ . Процесс, при котором функция  $\psi$  замещается конкретной функцией  $\psi_j$  из указанного набора в результате некоего выбора (с которым природа предстает перед нами в процессе

измерения), называют обычно *редукцией квантового состояния* или *коллапсом волновой функции*, и ниже я буду обозначать его буквой  $R$  (reduction). После такого скачкообразного изменения новая волновая функция  $\psi_j$  опять описывается унитарной эволюцией  $U$  и может быть подвергнута новому измерению.

Наиболее удивительной особенностью квантовой механики выступает наличие очень необычного, гибридного подхода, при котором поведение квантового скачка определяется чередованием двух совершенно разных по типу математических операций, одна из которых,  $U$ , является совершенно непрерывной и детерминированной, а вторая,  $R$ , — дискретной и вероятностной. Неудивительно, что физиков не устраивает такое положение вещей, при котором им приходится постоянно заниматься выбором среди множества разработанных в этой связи сложных философских концепций. Как вспоминал Гейзенберг, сам Шредингер когда-то говорил: «...если эти чертовы квантовые скачки сохранятся, то я всегда буду жалеть, что связал свою жизнь с квантовой теорией» [3.55]. Многие другие физики, с огромным уважением относящиеся к эволюционному уравнению Шредингера, не только разделяют его раздражение «квантовыми скачками», но и полагают, что у нас пока нет математического аппарата для полного

описания эволюции квантовых систем. Наиболее распространенная точка зрения сводится к тому, что история эволюции квантовых систем частично содержится (некоторым образом) в операции  $U$  (с соответствующей «интерпретацией» смысла функции  $\psi$ ), а частично — в операции  $R$ . Это связывает воедино указанные операции и создает «полную историю», и такое положение объясняется тем, что истинное «состояние» включает в себя не только рассматриваемую квантовую систему, но все ее сложное окружение, в том числе измерительную аппаратуру, а также, возможно, экспериментаторов. Иными словами, *мы сами*, как внешние наблюдатели, можем выступать в качестве некоторой части внешнего окружения квантового состояния, описываемого уравнением унитарной эволюции.

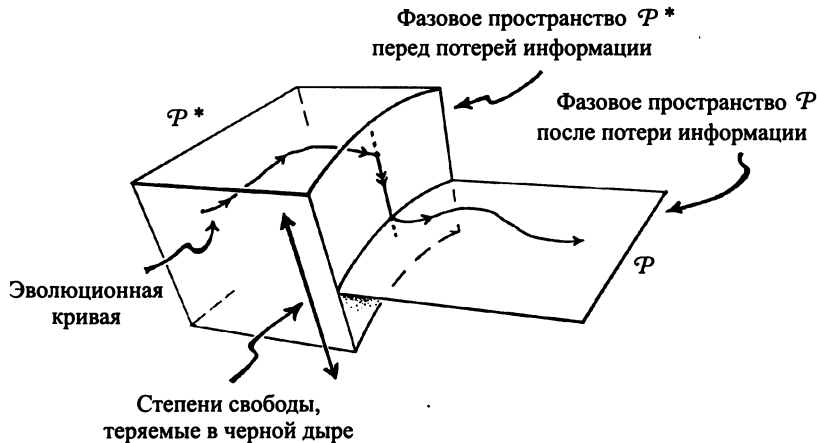
Мне не хочется заниматься разбором множества альтернативных теорий и противоречий, обусловленных неопределенностью ситуации с операциями  $U$  и  $R$ . Я лишь отмечу, что моя точка зрения в основном совпадает с позицией самих Шредингера, Эйнштейна и (что может показаться странным) Дирака [3.56], которым мы обязаны наиболее общей на сегодняшний день формулировкой принципов квантовой механики [3.57]. Современная квантовая механика (несмотря на все ее блестящие успехи в объяснении наблю-

даемых явлений и на отсутствие экспериментальных данных, противоречащих ее принципам) до сих пор является лишь временной, промежуточной теорией. Более конкретно моя точка зрения сводится к тому, что процессы типа  $R$  представляют собой *некое отклонение* от строгого соблюдения законов единства природы, и такие отклонения возникают именно в те моменты, когда в процессах начинают играть серьезную (хотя малозаметную и тонкую) роль гравитационные силы [3.58]. В действительности я очень долго полагал, что потеря информации в черных дырах и вытекающие из этого нарушения операций  $U$  представляют собой яркий пример того, что строгое следование операциям  $U$  *не может* быть частью истинной (но еще несозданной!) теории квантовой гравитации.

Я верю, что именно в этом *заключается* решение той загадки, или головоломки, с которой начинался этот раздел книги, и поэтому предлагаю воспринимать обсуждаемую возможность потери информации в черных дырах и следующего из этой потери нарушения операций  $U$  в качестве не просто вероятного и правдоподобного, но и необходимого условия *реальности* в ситуациях рассматриваемого типа. Мы должны еще раз обратиться к больцмановскому определению энтропии в контексте возможного испарения черных дыр.

Что в действительности могут означать слова «потеря информации» в случае сингулярности? Мне кажется, что при рассмотрении такого процесса удобнее всего воспользоваться представлением о потере, или *исчезновении, степеней свободы*, в результате чего некоторые из описывающих фазовое пространство параметров пропадают, а само фазовое пространство соответственно *уменьшается*. Для динамических систем такой эффект представляется совершенно новым и непривычным, так как обычно при исследовании динамической эволюции (см. разд. 1.3)

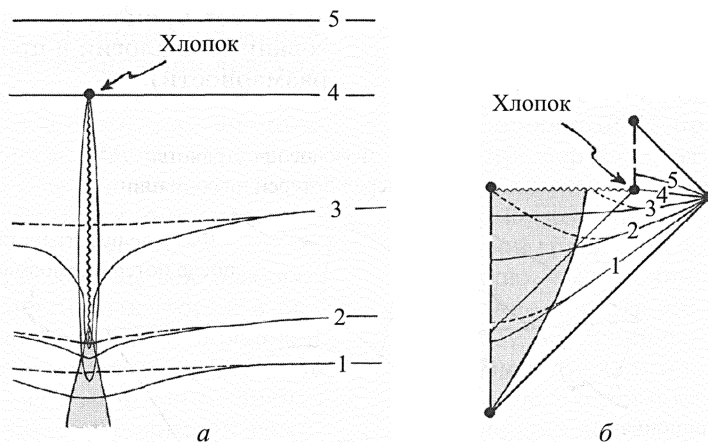
фазовое пространство  $\mathcal{P}$  остается фиксированным, а процесс эволюции описывается движением отдельной точки в этом неизменном пространстве. В ситуации же с испарением черной дыры исчезновение каких-то степеней свободы на некоторых этапах развития системы (означающее наблюдающееся *сжатие* фазового пространства) само вдруг оказывается необходимым элементом описания эволюции! На рис. 3.14 я попытался изобразить этот процесс (естественно, с использованием аналогии в пространстве низкой размерности).



**Рис. 3.14.** Эволюция фазового пространства при потере информации внутри черных дыр

При испарении черной дыры этот процесс носит непростой характер, и поэтому мы не должны считать, что он «неожиданно» происходит в какой-то конкретный момент времени, например при хлопке. Скорее можно полагать, что процесс будет протекать как-то незаметно, «скрытно». Это связано с тем, что в общей теории относительности не существует единого «универсального времени», и это имеет

особую значимость при рассмотрении поведения черных дыр, где геометрия пространства-времени может очень сильно отклоняться от пространственно однородной структуры. Ситуацию наглядно иллюстрирует картина коллапса Оппенгеймера–Снайдера (разд. 2.4, рис. 2.24) с конечным испарением по механизму Хокинга (разд. 2.5, рис. 2.40 и рис. 2.41). Далее на рис. 3.15 я изобразил этот про-



**Рис. 3.15.** Черная дыра с испарением по механизму Хокинга: *а* — схематическое изображение в обычном пространстве-времени; *б* — строгая конформная диаграмма. Мы можем полагать, что потеря внутренних степеней свободы происходит только при хлопке, чему соответствуют временные «срезы», показанные сплошными линиями. Альтернативным является процесс, при котором такая потеря происходит постепенно, в течение всей истории черной дыры («срезы» времени для этого варианта показаны штриховыми линиями)

цесс (*a*) и соответствующую ему строгую конформную диаграмму (*b*), где сплошными кривыми представлено семейство пространственноподобных 3-поверхностей (их можно назвать «срезами» в некоторые моменты времени, когда в дыре происходит мгновенная потеря информации в результате хлопка). Штриховыми линиями на рисунках показано другое семейство пространственноподобных 3-поверхностей, которое соответствует тем системам, в которых потеря информации происходит постепенно, в течение всего времени существования черной дыры. Хотя рисунок и диаграмма относятся, строго говоря, только к системам со сферической симметрией, они могут быть, по-видимому, схематически использованы и при описании всех других систем, для которых предполагается существование упоминавшейся выше строгой «космической цензуры» (исключая, естественно, состояние самого хлопка).

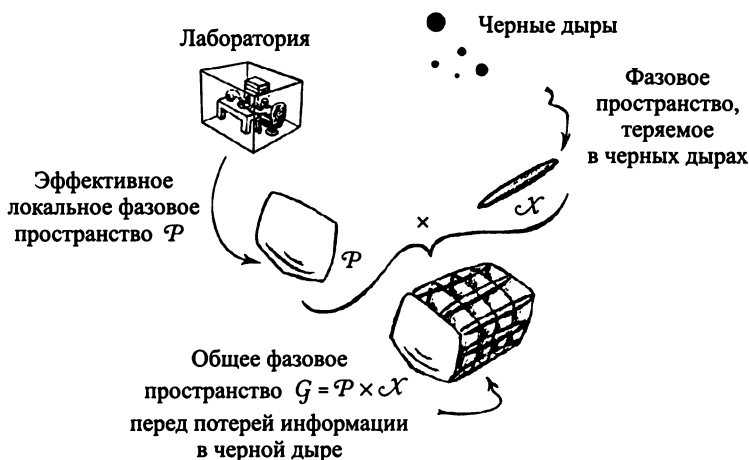
Образно говоря, то «безразличие», с которым система реагирует на механизм и сам факт потери информации, наглядно демонстрирует, что эта потеря не влияет на внешнюю (термо)динамику. Мы можем даже считать, что второй закон в этой ситуации продолжает действовать обычным образом, т. е. энтропия продолжает возрастать. При этом, однако, мы должны очень внимательно следить за правильно-

стью использования самого понятия энтропии. Дело в том, что энтропия относится ко *всем* степеням свободы системы, включая степени свободы для того вещества, которое уже попало внутрь черных дыр. Степени свободы такого захваченного дырой вещества рано или поздно, по приведенным выше причинам, начнут «противостоять» сингулярности и будут «потеряны» для системы, вследствие чего к моменту, когда черная дыра исчезнет с хлопком, масштабы ее фазового пространства могут радикально уменьшиться. Систему в этот момент можно образно сравнить со страной, которая проводит девальвацию национальной валюты, после чего масштабы всех внутренних расчетов и платежей уменьшаются. Учитывая, что в формуле Больцмана для энтропии используется логарифм числа состояний системы, уменьшение масштаба объемов должно быть учтено просто вычитанием некоторой постоянной величины из общей энтропии Вселенной, внешней по отношению к рассматриваемой черной дыре.

Эти рассуждения полезно сравнить с теми, которые уже приводились в конце раздела 1.3, где отмечалось, что именно использование Больцманом логарифма в его знаменитой формуле позволяет придать энтропии (при рассмотрении независимых систем) исключительно важное свойство аддитивности. В обсуждаемой

выше ситуации степени свободы вещества сначала поглощаются черными дырами, а потом исчезают в них, так что дыры в данном случае служат *внешней* частью для рассматриваемой системы. В разделе 1.3 в качестве такой части (внешней по отношению к лаборатории) выступала Галактика Млечный Путь, параметры которой и определяли соответственно внешнее фазовое пространство  $\mathcal{X}$ . В нашем случае внешней частью системы выступают черные дыры (я предлагаю читателю сравнить рис. 1.9 и рис. 3.16), которые за-

меняют Галактику Млечный Путь, а *внутренней* частью (ей на рисунках соответствует фазовое пространство  $\mathcal{P}$ ) выступает весь мир вне этих дыр, включая лабораторию экспериментаторов. Как и раньше на рис. 1.9, в ситуации на рис. 3.16 для определения энтропии внутри лаборатории мы «выбрасываем» из рассмотрения все связанные с внешней областью степени свободы, включая и те, которые могли бы быть поглощены черной дырой в центре галактики. Различие между внешней и внутренней частями рассматриваемой



**Рис. 3.16.** Разрушение (потеря) информации в черных дырах не влияет на локальное фазовое пространство (сравните с рис. 1.9), хотя должно быть учтено в полном объеме информации перед потерей

системы является условным, так что потеря информации в черных дырах (каждая из которых должна завершаться собственным хлопком) может служить не просто свидетельством ненарушения второго закона, а наоборот, быть доказательством его справедливости!

В любом случае, однако, объем фазового пространства Вселенной (в качестве *единого целого*) при описываемой потере информации должен существенно и очень резко уменьшиться [3.59], что и позволяет решить головоломку, с рассмотрением которой я начал этот раздел книги. Задача оказывается связанной с весьма сложными и тонкими проблемами физики вообще, вследствие чего обсуждение согласованности предлагаемой идеи с положениями теории КЦК требует детального рассмотрения множества смежных вопросов. С общей точки зрения, такое согласование выглядит вполне разумно, поскольку возрастание полной энтропии, обеспечиваемое развитием Вселенной за весь период существования нашего эона (цикла развития), должно быть каким-то образом, условно и очень упрощенно говоря, как-то «кредитовано и оплачено»\*. Хотя я не представляю пока, каким обра-

зом можно провести достаточно точный расчет описываемых процессов, мне кажется, что хорошим приближением для оценки эффективного уменьшения энтропии из-за разрушения информации может стать следующая процедура. Необходимо оценить величину энтропии Беркенштейна–Хокинга для максимальных размеров черных дыр, достигаемых перед началом испарения (и потери энтропии вследствие излучения Хокинга), а затем определить для общей энтропии тот коэффициент «сжатия» всего учитываемого фазового пространства, который необходим для старта (начала) следующего эона развития Вселенной. Очевидно, что проверка «жизнеспособности» предлагаемой в книге теории КЦК требует проведения множества детальных исследований, но я не вижу причин, по которым КЦК принципиально не может быть согласована с приведенными в книге представлениями и соображениями.

### 3.5. Конформная циклическая космология и квантовая гравитация

Теория КЦК позволяет не только рассмотреть роль второго закона, но и по-новому подойти к изучению целого ряда про-

---

\* Автор употребляет термин *indulge*, имеющий много смыслов, включая «отсрочку по платежам». — *Прим. перев.*

блем, возникших в физике и космологии за последние десятилетия. В частности, в настоящее время исследователям очень важно понять, каким образом в классическом варианте общей теории относительности могут возникать сингулярности, а также каким образом существование этих сингулярностей может быть согласовано с принципами квантовой механики. Далее я расскажу в общих чертах о теории КЦК и покажу, что она действительно является необычной, причем не только в связи с описанием сингулярностей при Большом взрыве, но и в гораздо более общем смысле. Теория позволяет рассмотреть перспективы применения известных нам законов физики в будущем, когда развитие сингулярностей либо завершится внутри черных дыр, либо продолжится в бесконечное будущее, образно говоря, возродится (что и предполагает теория КЦК) как большой взрыв на следующем эоне, т. е. на следующем цикле развития.

Я начну этот раздел с того, что еще раз проанализирую физическую ситуацию в отдаленном будущем, чтобы прояснить некоторые вопросы, обсуждение которых я отложил в предыдущем разделе 3.4. При рассмотрении возрастания энтропии в очень далеком будущем я отмечал, что (в соответствии с теорией КЦК) рост энтропии происходит главным образом

в результате формирования (и застывания) огромных черных дыр. После этого начинается постепенное испарение этих дыр за счет излучения Хокинга, которое стартует лишь после того, как реликтовое излучение СМВ охладится ниже значения так называемой температуры Хокинга для черных дыр. Однако ранее было показано, что в теории КЦК существует условие, в соответствии с которым исходная и конечная области развития системы в крупнозернистом разбиении рассматриваемого фазового пространства (см. разд. 1.3 и 3.4) должны быть «подогнаны», т. е. хорошо согласованы друг с другом, несмотря на чудовищное возрастание энтропии в процессе развития. Это условие удовлетворяется, если воспринять идею о возможной огромной «потере информации» внутри черных дыр (первым такую возможность предложил когда-то сам Хокинг, позднее отказавшийся от собственной идеи). В результате такого процесса фазовое пространство может «истончаться», пустеть и даже заметно терять свою размерность. Иными словами, оно сначала раздувается, а затем разрушается за счет возрастания и последующего «разрушения» числа степеней свободы черных дыр. После полного испарения черной дыры мы обнаруживаем, что из-за большой потери степеней свободы в системе устанавлива-

ется равная нулю мера энтропии. Это означает, что из значения общей энтропии фактически «вычитаются» весьма заметные «вклады», в результате чего число разрешенных состояний, необходимых для следующего большого взрыва (на следующей зоне!), оказывается столь сильно ограниченным. В этих обстоятельствах начинают удовлетворяться условия так называемой гипотезы кривизны Вейля, создающей потенциал для гравитационного слипания (группирования) вещества в следующем зоне.

Как полагают многие специалисты, к этой дискуссии относится еще одна важная проблема, обсуждения которой я до сих пор избегал несмотря на то, что она, очевидно, очень тесно связана с центральной темой книги (см. конец первого абзаца в разд. 3.4). Речь идет об определении «космологической энтропии», возникающей из-за существования *космологических горизонтов событий* для моделей с  $\Lambda > 0$  (см. рис. 2.42, а и б). Его существование обусловлено наличием *пространственно-подобной* конформной границы будущего  $\mathcal{I}^+$ , которая возникает именно при положительном знаке космологической постоянной  $\Lambda$ . Напомню, что космологический горизонт событий представляет собой световой конус прошлого от предельной конечной точки  $o^+$  (на поверхности  $\mathcal{I}^+$ ), где находится «бессмертный» наблюдатель  $O$ ,

упоминавшийся в разделе 2.5 (рис. 3.17). Если мы примем точку зрения, что такие горизонты событий можно изучать теми же методами, которые используются при описании черных дыр, то для вычисления энтропии космологического горизонта событий можно воспользоваться уже упоминавшейся ранее формулой Бекенштейна–Хокинга ( $S_{\text{BH}} = 1/4 A$ ; см. разд. 2.6). Это позволяет записать предельное значение энтропии в планковских единицах:

$$S_{\Lambda} = 1/4 A_{\Lambda},$$

где через  $A_{\Lambda}$  обозначена площадь пространственного сечения данного горизонта в пределе отдаленного будущего. В действительности (как будет показано в приложении Б5) эта площадь точно равна

$$A_{\Lambda} = 12\pi/\Lambda,$$

что дает для энтропии космологической границы значение

$$S_{\Lambda} = 3\pi/\Lambda,$$

зависящее только от значения  $\Lambda$ . Такой результат вполне ожидаем, так как в использованном подходе мы игнорировали все реальные детали происходящего физического процесса (с самого начала я полагал, что  $\Lambda$  действительно представляет собой некую космологическую *константу*). Поэтому, если мы признаем справед-

ливость предложенной выше аналогии, то ожидаемое значение рассматриваемой температуры [3.60] должно равняться

$$T_{\Lambda} = \left(\frac{1}{2\pi}\right) \sqrt{\frac{\Lambda}{3}}.$$

Таким образом, для реально наблюдаемых величин  $\Lambda$  температура  $T_{\Lambda}$  должна иметь бессмысленно ничтожные значения (примерно  $10^{-30}$  К), а энтропия — фантастически большие значения (около  $3 \cdot 10^{122}$ ).

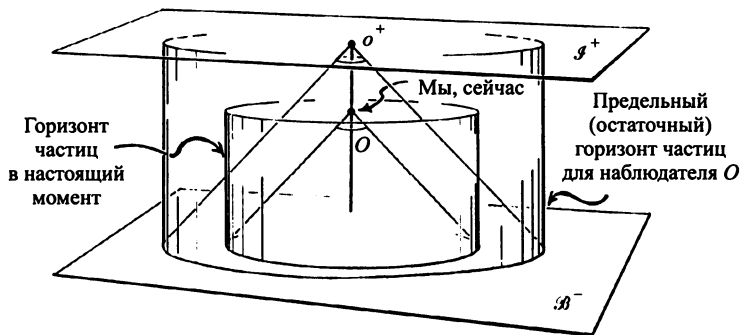
Необходимо отметить, что полученное значение энтропии оказывается намного больше того, которое следовало бы ожидать для описываемого процесса образования и последующего конечного испарения черных дыр в наблюдаемой сейчас Вселенной. Расчеты для этого случая дают величину, не превышающую  $10^{115}$ , но необходимо учитывать, что черные дыры могут содержаться также внутри существующего горизонта частиц (разд. 2.5), поэтому мы должны определить, к какой собственно области Вселенной относится полученное значение энтропии  $S_{\Lambda}$ . На первый взгляд можно полагать, что  $S_{\Lambda}$  относится к предельному значению энтропии всей Вселенной, поскольку эта величина представляет собой просто некоторое число (точно определенное значением космологической константы  $\Lambda$ ). Оно никак не связано не только с детальным описанием событий внутри

Вселенной, но даже с выбором внешнего наблюдателя  $O$  на поверхности  $\mathcal{S}^+$ , который создает для нас конкретную конечную точку  $o^+$  на поверхности  $\mathcal{S}^+$ , определяющую особое будущее. Однако такой подход может оказаться ошибочным, в частности, из-за возможности Вселенной быть бесконечной в пространстве. Вследствие этого энтропия *существующей сейчас* Вселенной может значительно превосходить величину  $S_{\Lambda}$ , что будет противоречить второму закону. Более разумной и приемлемой выглядит точка зрения, по которой  $S_{\Lambda}$  соответствует предельной энтропии лишь для той части нашей Вселенной, которая заключена в рассматриваемом нами космологическом горизонте событий (т. е. внутри светового конуса прошлого, начинающегося в произвольно выбранной точке  $o^+$  на  $\mathcal{S}^+$ ). Вещество, к которому относится энтропия этой области, должно содержаться внутри *горизонта частиц* для точки  $o^+$  (рис. 3.17).

Как будет показано в разд. 3.6, к моменту достижения точки  $o^+$  количество вещества внутри *существующего* горизонта частиц, в соответствии со стандартными предсказаниями космологии относительно эволюции Вселенной [3.61], должно примерно в  $(3/2)^3 \approx 3,4$  раза превышать количество вещества внутри *существующего* горизонта частиц. Поэтому если все это вещество полностью собрать в одну черную дыру, значение энтропии будет равно при-

мерно  $11,4 \cdot 10^{124}$  (напомню, что, как было показано в разделе 2.6, именно величина  $10^{124}$  приблизительно соответствует *верхнему пределу* энтропии, достижимому для вещества, находящегося внутри наблюдаемой в настоящее время черной дыры). Таким образом, значение энтропии черной дыры должно составлять примерно  $10^{125}$ . Если бы такая величина действительно достигалась внутри Вселенной с наблюдаемым значением  $\Lambda$ , то это означало бы грубое нарушение второго закона, поскольку  $10^{125} \gg 3 \cdot 10^{122}$ . Однако, если мы примем, что значение  $T_\Lambda$  не имеет прямого отношения к температуре окружающей Вселенной (т. е. как

бы «непереводима» в другие состояния) для данного значения  $\Lambda$ , то такая огромная черная дыра будет всегда оставаться холоднее своего окружения и поэтому никогда не сможет испариться в результате хокинговского излучения. При этом у нас еще остается проблема, связанная с выбором положения точки  $o^+$  на поверхности  $\mathcal{S}^+$  вне этой черной дыры, но таким образом, чтобы световой конус прошлого все же наталкивался на эту дыру (в том же смысле, в каком внешний световой конус прошлого может когда-либо сталкиваться с какой-то черной дырой вообще). Поэтому кажется, что энтропия черной

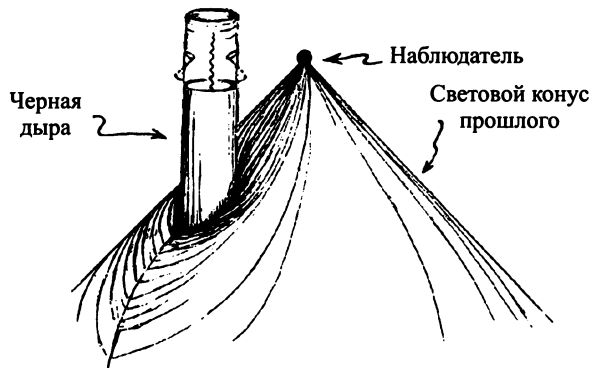


**Рис. 3.17.** Изображение текущего состояния нашей Вселенной (зона), на котором радиус горизонта частиц данного момента приблизительно равен  $2/3$  от ожидаемого предельного значения радиуса горизонта частиц в конечном состоянии

дыры должна быть также включена в общую энтропию Вселенной (как это показано на рис. 3.18), что вновь приводит нас к серьезному нарушению второго закона.

Более того, можно даже заметить, что наши рассуждения обладают дополнительным «запасом прочности». Действительно, мы нашли, что общее содержание вещества в рассматриваемой Вселенной соответствует примерно  $10^{81}$  барионов и приблизительно в 3,4 раза превышает  $10^{80}$  (число барионов в существующей сейчас Вселенной). По-видимому, недостающий для подсчета множитель ( $\sim 3$ ) обусловлен тем, что содержание темной материи заметно превышает содержание обычного, т. е. барионного вещества. Легко

заметить, что такое количество вещества можно разделить на 100 отдельных областей, каждая из которых будет содержать  $10^{79}$  протонов. Если из каждой такой области сформируется одна черная дыра, то температура этих дыр превысит  $T_{\Lambda}$ , так что все они испарятся, вследствие чего энтропия каждой дыры достигнет величины около  $10^{119}$ , а для всех ста дыр она составит примерно  $10^{121}$ , что превышает полученное выше значение  $3 \cdot 10^{120}$ , нарушая требования второго закона (хотя и очень незначительно!). Возможно, приведенные оценки покажутся читателю слишком грубыми для конкретных умозаключений или выводов, однако, на мой взгляд, они являются серьезным сигна-



**Рис. 3.18.** Световой конус прошлого для любого наблюдателя (независимо от того, находится он на поверхности  $\mathcal{H}^+$  или нет) должен скорее «сталкиваться» с черной дырой, чем пересекать ее горизонт

лом, *предостерегающим* от физической интерпретации величин  $S_\Lambda$  и  $T_\Lambda$  в качестве действительной энтропии и действительной температуры соответственно.

Я скептически настроен против идеи, что  $S_\Lambda$  в любом случае представляет собой *истинную* энтропию, по крайней мере, из-за двух следующих соображений. Во-первых, если величина  $\Lambda$  *действительно представляет* собой некую константу, то  $S_\Lambda$  является фиксированным числом (зависящим только от конкретного значения  $\Lambda$ ), которое не может привести к проявлению каких-либо реально различимых отдельных степеней свободы. В этом случае объем соответствующего фазового пространства вообще не должен быть связан с наличием или отсутствием параметра  $\Lambda$  в данной системе. В рамках теории КЦК этот довод выглядит особенно убедительным, поскольку при «подгонке» поверхностей  $\mathcal{J}^+$  (предыдущего зона) и  $\mathcal{J}^-$  (следующего зона) между ними нельзя найти «место» для требуемого большого числа различимых степеней свободы, наличие которых могло бы обеспечить необходимое огромное значение космологической энтропии  $S_\Lambda$ . Более того, мне кажется очевидным, что приведенные выше соображения будут сохранять свою значимость даже *вне рамок* теории КЦК, если вспомнить о замечании (разд. 3.4) относительно

инвариантности меры объема при конформных изменениях масштаба [3.62].

Во-вторых, мы должны также рассмотреть возможность того, что величина  $\Lambda$  является не константой, а некоторым весьма сложным и странным математическим объектом, который некоторые космофизики изысканно называют «скалярным полем темной энергии». В этом случае огромное значение энтропии  $S_\Lambda$  может возникать из-за наличия степеней свободы этого космологического  $\Lambda$ -поля. Лично мне такая гипотеза совершенно не нравится, поскольку она не столько дает ответы на интересующие нас вопросы, сколько создает новые сложные проблемы. Например, рассматривая величину  $\Lambda$  в виде меняющегося во времени поля, похожего на привычные физические поля (типа электромагнитного), мы сталкиваемся с очень сложной задачей преобразования уравнений исходных полей. В конце раздела 2.6 мы использовали уравнение поля Эйнштейна, имеющее (в планковских единицах) вид

$$E = 8\pi T + \Lambda g,$$

в которое входит величина  $\Lambda g$ , выделенная в отдельный « $\Lambda$ -член». В соответствии с предложенной выше гипотезой, мы обязаны отказаться от  $\Lambda$ -члена и заменить его на некоторый *тензор энергии*  $T(\Lambda)$  для

данного  $\Lambda$ -поля, который (после умножения на  $8\pi$ ) должен быть близок к величине  $\Lambda g$ , что приводит к приближенному равенству

$$8\pi T(\Lambda) \cong \Lambda g.$$

Эта величина должна рассматриваться в качестве некоторого вклада в тензор *полной* энергии, приобретающий вид  $T + T(\Lambda)$ . Теперь мы имеем уравнение Эйнштейна, записанное без  $\Lambda$ -члена:

$$E = 8\pi \{T + T(\Lambda)\}.$$

Однако при этом величина  $\Lambda g$  в тензоре энергии принимает (вследствие умножения на  $8\pi$ ) очень необычный вид, совершенно непохожий на уравнения для всех других полей, что приводит к дальнейшим осложнениям. Например, если мы по-прежнему хотим рассматривать энергию в качестве эквивалента *массы* (по формуле Эйнштейна  $E = mc^2$ ), то мы должны учитывать в какой-то форме *притяжение*, в то время как  $\Lambda$ -поле должно характеризоваться эффектом *отталкивания*, хотя его энергия положительна. Еще более сложной, на мой взгляд, является проблема *условия слабой энергии*, упоминавшаяся в разделе 2.4. Это условие лишь частично удовлетворяется при использовании точного члена  $\Lambda g$ , но оно почти полностью

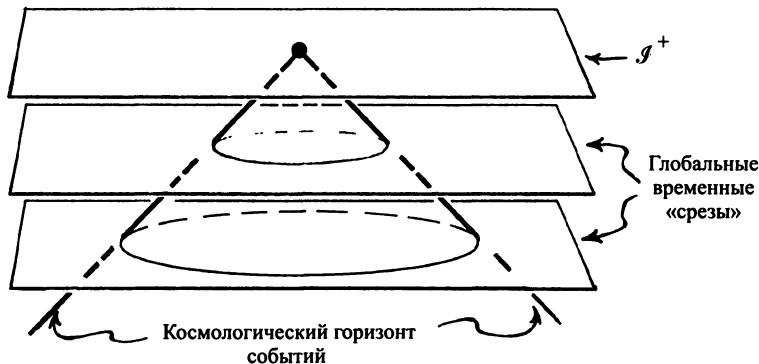
нарушается в случае, когда мы позволяем значениям  $\Lambda$ -поля варьироваться в больших пределах.

Лично у меня есть и более фундаментальное возражение против того, чтобы рассматривать величину  $S_\Lambda = 3\pi/\Lambda$  в качестве реальной энтропии Вселенной в целом, и оно сводится к тому, что в этом случае (в отличие от ситуации с черными дырами) не существует никаких физических обоснований для абсолютной *потери информации* внутри сингулярностей. Некоторые специалисты считают, что информация «теряется» сразу, как только она попадает в прошлое за горизонтом событий наблюдателя. Но стоит отметить, что в такой трактовке потеря начинает зависеть от восприятия самого наблюдателя. Действительно, если мы рассмотрим последовательность пространственноподобных поверхностей (рис. 3.19), то сразу заметим, что по отношению к Вселенной в целом не теряется ничего, что можно было бы как-то ассоциировать с космологической энтропией, поскольку при этом отсутствуют какие-либо пространственновременные сингулярности, за исключением уже существовавших ранее внутри отдельных черных дыр [3.63]. Более того, я сомневаюсь, что существует хоть какое-то четкое *физическое* обоснование для введения энтропии  $S_\Lambda$ , похожее, например,

на предложение Бекенштейна для энтропии черной дыры, упоминавшееся в начале этого раздела [3.64].

Для большей ясности я обращусь к понятию космологической температуры  $T_{\Lambda}$ , которая в этой ситуации также оказывается зависящей от присутствия наблюдателя. Для черной дыры Хокинг определил температуру, используя величину, названную им поверхностной гравитацией (или, если угодно, притяжением поверхности) и связанную с эффектом ускорения, которое испытывает наблюдатель, находящийся в некоторой стационарной позиции вблизи черной дыры (термин «стационарный» в этом случае относится к положению наблюдателя относительно системы коор-

динат, связанной с бесконечностью). В то же время падающий в дыру наблюдатель вообще *не должен* воспринимать локальную температуру Хокинга [3.65], т. е. температура Хокинга имеет субъективный характер и может рассматриваться в качестве так называемого «тревожного» эффекта или Унру-эффекта (Unruh effect), поскольку наблюдатель должен чувствовать изменения космологической температуры даже в плоском пространстве Минковского  $M$ . Переходя к рассмотрению проблемы космологической температуры для пространства де Ситтера  $D$ , мы должны также ожидать, что эту температуру должен чувствовать только движущийся



**Рис. 3.19.** Всеобъемлющая структура семейства глобальных временных «срезов» свидетельствует, что на космологическом горизонте событий (в отличие от случая с черными дырами) не может быть потери информации

с ускорением — *ускоряющийся* наблюдатель, а не тот, который находится в состоянии свободного падения (т. е. движется по геодезической линии пространства, как описывалось в конце разд. 2.3). Поэтому свободно двигающийся в фоновом пространстве де Ситтера наблюдатель должен *перестать ускоряться* и, по-видимому, *не должен* ощущать температуру  $T_{\Lambda}$ .

Основой для введения и использования космологической энтропии служит математически очень элегантная (но сугубо формальная) процедура, основанная на аналитическом продолжении (разд. 3.3). Используемый при этом математический аппарат на самом деле кажется очень привлекательным, однако существуют сомнения в его актуальности, поскольку (с чисто технической стороны) этот аппарат применим только к структурам с точной сферической симметрией типа пространства де Ситтера  $\mathbb{D}$  [3.66]. Кроме того, при его использовании сохраняется упоминавшаяся ранее проблема субъективности восприятия наблюдателя, связанная с возможным ускорением, так как получается, что пространства де Ситтера  $\mathbb{D}$  могут иметь много разных типов симметрии, соответствующих разным ускорениям (точнее говоря, состояниям ускорения).

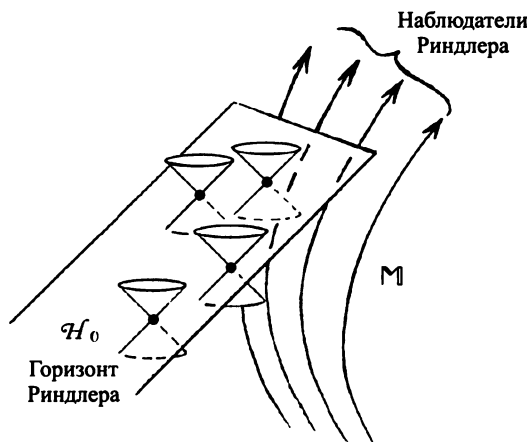
Ситуация несколько проясняется при тщательном изучении «тревожного» эффекта в пространстве Минковского  $\mathbb{M}$ . На

рис. 3.20 я попытался изобразить группу наблюдателей, движущихся в таком пространстве с одинаковым и постоянным ускорением. Такую группу обычно называют *наблюдателями Риндлера* [3.67], и из квантовой теории поля следует, что они должны (в соответствии с описываемым «тревожным» эффектом) ощущать самые ничтожные изменения космологической температуры при достижимых ускорениях. Читателя не должно смущать использование терминов типа «температура» для объектов, движущихся в абсолютном вакууме, поскольку речь идет о сугубо формальной температуре. Для таких наблюдателей на рисунке представлен горизонт будущего  $\mathcal{H}_0$ , который ассоциируется с этой температурой, и поэтому мы должны принимать во внимание, что с  $\mathcal{H}_0$  ассоциируется также и некоторое значение энтропии (для согласования не только с данной температурой, но и с отдельными представлениями теории Бекенштейна–Хокинга эволюции черных дыр). Если мы представим себе область в ближайшем окружении такого горизонта для очень массивной черной дыры, то ситуация будет напоминать изображенную на рис. 3.21 (где горизонт будущего  $\mathcal{H}_0$  локально совпадает с горизонтом черной дыры), в результате чего наблюдатели Риндлера превращаются в упоминавшихся выше «наблюдателей, находящихся в

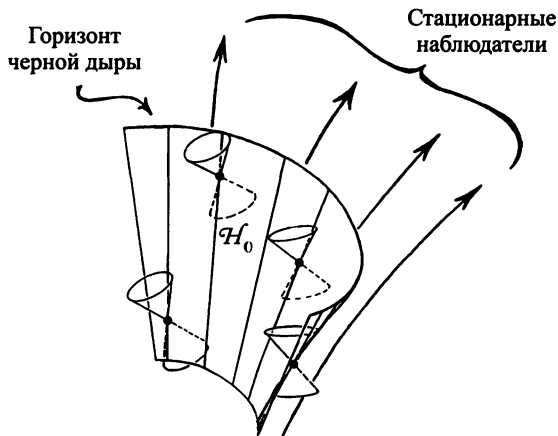
стационарном положении вблизи черной дыры». Такие наблюдатели должны «чувствовать» локальную температуру Хокинга в отличие от наблюдателя, который свободно падает в дыру, т. е. выступает аналогом инерционного (не ускоряющегося) наблюдателя в  $M$ , который не способен ее воспринимать. При этом, однако, ассоциирующаяся с  $\mathcal{H}_0$  энтропия должна становиться бесконечной, если мы переносим всю эту пространственную картину вправо, т. е. в бесконечность. Это рассуждение демонстрирует, что подробное и полное рассмотрение проблемы энтропии

и температуры черных дыр действительно должно включать в себя и учет некоторых нелокальных обстоятельств, возникающих в обсуждаемых системах.

Как было показано в [3.68], космологический горизонт событий  $\mathcal{H}_\Lambda$ , возникающий в системах с константой  $\Lambda > 0$ , очень похож на горизонт Риндлера  $\mathcal{H}_0$ . Действительно, после предельного перехода  $\Lambda \rightarrow 0$  мы обнаруживаем, что  $\mathcal{H}_\Lambda$  *актуально превращается* в горизонт Риндлера, но теперь в некоторой *глобальной* форме и этот результат должен быть как-то согласован с приведенной ранее формулой



**Рис. 3.20.** Наблюдатели Риндлера (движущиеся в пространстве с одинаковым и постоянным ускорением) чувствуют температуру Унру



**Рис. 3.21.** Наблюдатели, находящиеся в стационарном положении вблизи горизонта черной дыры, чувствуют сильное ускорение и температуру Хокинга. Локально ситуация почти совпадает с той, которая представлена на рис. 3.20

для энтропии  $S_\Lambda = 3\pi/\Lambda$  (так как она при указанном предельном переходе дает значение  $S_0 = \infty$ ). Одновременно он заставляет нас задуматься о законности применения используемых понятий и объективной реальности рассматриваемой энтропии вообще, поскольку полученное *бесконечное* значение энтропии не имеет объективного смысла в пространстве Минковского [3.69].

Я уверен, что обсуждение этой темы стоит продолжить, так как понятия энтропии и температуры для вакуума имеют отношение к *квантовой гравитации*

и тесно связаны с очень важной для нас концепцией энергии вакуума\*. Дело в том, что в современной квантовой теории поля вакуум не является абсолютно пассивной и инертной средой, и он (на микроскопическом уровне), образно говоря, «кипит»

\* Во избежание недоразумения отметим, что сам термин «вакуум» не является однозначным. Рассматриваемый в квантовой теории поля вакуум, о котором говорит Пенроуз, — это отдельное понятие, которое в отечественной литературе называют физическим вакуумом. — *Прим. перев.*

в результате так называемых квантовых флуктуаций, т. е. процессов мгновенного образования (и столь же мгновенного исчезновения) *виртуальных* элементарных частиц и соответствующих им античастиц. В планковских масштабах длины  $l_p$  такие квантовые флуктуации должны управляться *гравитационными* взаимодействиями, но выполнение расчетов по определению этой энергии вакуума пока сильно осложнено. Тем не менее из общих соображений симметрии и требований теории относительности можно получить для энергии вакуума достаточно хорошее приближение в виде тензора энергии  $T_v$ , имеющего вид

$$T_v = \lambda g$$

для некоторого значения  $\lambda$ . Легко заметить, что этот тензор очень похож на член энергии  $T(\Lambda)$  в рассмотренном ранее выражении для космологической константы, поэтому очень часто (и вполне естественно) исследователи именно так интерпретируют космологическую константу, полагая, что она действительно *является* энергией вакуума при условии

$$\lambda = (8\pi)^{-1}\Lambda.$$

При этом часто возникает идея приписывать именно упомянутым квантовым

флуктуациям те дополнительные «степени свободы», которые обеспечивают очень большое значение космологической энтропии  $S_\Lambda$ , полученное ранее. Однако в данном случае следует помнить, что эти степени свободы не являются «различными» (в том смысле, который я отмечал выше), и поэтому они учитываются по отношению ко всему фазовому пространству в целом. Учет осуществляется как бы *однородно* по всему пространству-времени, в результате чего такие степени свободы создают просто некий *фон*, на который не влияет никакая нормальная физическая активность, проявляющаяся внутри данного пространства-времени.

Возможно, еще большие проблемы при упомянутой выше интерпретации степеней свободы квантовых флуктуаций связаны с тем, что при попытке вычисления значения  $\lambda$  мы получаем следующие ответы:

$$\lambda = \infty, \lambda = 0 \text{ или } \lambda \approx t_p^{-2},$$

где  $t_p^{-2}$  — планковское время (см. разд. 3.2). Наиболее «честным» является первый из этих ответов (который вытекает из всех общих законов квантовой теории поля при их *прямом* применении!), однако именно он и является наиболее ошибочным. Второй и третий ответы получены на основе предсказаний о том, каким *должно* быть

значение  $\lambda$  при использовании одной или другой стандартной операции из тех, которые физики называют «вычитанием бесконечностей в духе Фейнмана» (такие операции при достаточном умении часто позволяют получать исключительно точные результаты в расчетах, относящихся к не-квантовой гравитации). Раньше теоретики отдавали предпочтение результату  $\lambda = 0$ , поскольку считалось, что соответствующее ему значение  $\Lambda = 0$  является наиболее подходящим для описания результатов астрофизических наблюдений, но позднее, как упоминалось в разд. 2.1, наблюдения за сверхновыми звездами показали, что более вероятным оказывается значение  $\Lambda > 0$ , а самые свежие данные только подтвердили это заключение. В настоящее время наиболее приемлемым считается значение  $\lambda \approx t_p^{-2}$ . Если космологическая константа действительно является энергией вакуума в предложенном выше смысле (представляет собой энергию *гравитационных* квантовых флуктуаций), то единственной подходящей шкалой масштабов остаются планковские постоянные. Другими словами, необходимый для задания  $\lambda$  масштаб *должен* быть получен из времени Планка  $t_p$  (или, что эквивалентно, из длины Планка  $l_p$ ) с использованием разумно подобран-

ных множителей. Из соображений размерности можно сразу предположить, что значение должно быть обратно пропорционально квадрату длины, вследствие чего приближенный ответ  $\lambda \approx t_p^{-2}$  представляется вполне разумным и ожидаемым. В то же время в разделе 2.1 уже указывалось, что наблюдаемое значение  $\Lambda$ , по-видимому, составляет приблизительно

$$\Lambda \approx 10^{-120} t_p^{-2},$$

и эта цифра явно свидетельствует о серьезных ошибках в наших рассуждениях, связанных либо с упомянутой интерпретацией ( $\lambda = \Lambda/8\pi$ ), либо с методом расчета!

Некоторые из приведенных нами выводов весьма спорны и недостаточно обоснованы, поэтому интересно обсудить, как все эти проблемы выглядят в рамках предлагаемой теории КЦК. Физический статус величин  $S_\Lambda$  и  $T_\Lambda$  не играет *принципальной* роли для КЦК в целом, поскольку, даже если энтропию  $S_\Lambda$  и температуру  $T_\Lambda$  рассматривать в качестве «истинных» физических величин, у нас не появятся причины для изменения общей схемы и картины действия КЦК. Ни одна из черных дыр, возникновения которой можно ожидать в известной нам Вселенной, не должна достигать тех размеров, при которых величина  $T_\Lambda$  начнет серьезно влиять

на эволюцию системы. Что касается величины  $S_\Lambda$ , то ее определение, по-видимому, не поможет нам найти ответ к рассмотренной в разделе 3.4 загадке, так как проблема оказывается связанной с наличием *различимых* степеней свободы (т. е. таких, которые могут быть как-то соотнесены и связаны с реальными динамическими процессами). Простое введение некой, называемой энтропией, величины с фиксированным значением  $3\pi/\Lambda$  не должно действительно изменять ситуацию, и мы можем забыть о ее наличии, поскольку она, по всей вероятности, не играет никакой роли в динамике системы. Даже если рассматривать энтропию в качестве отражающей сущность физической величины, она не будет соответствовать никаким «различимым» степеням свободы, так что, в любом случае, я лично предлагаю игнорировать *обе величины* ( $S_\Lambda$  и  $T_\Lambda$ ) и продолжать обсуждение без их учета.

С другой стороны, схема теории КЦК создает ясную (но отличную от конвенциональной) картину возможного влияния квантовой гравитации на классические сингулярности пространства-времени. Неизбежность возникновения сингулярностей пространства-времени в классическом варианте общей теории относительности (разд. 2.4, 2.6 и 3.3) заставила физиков

обратить внимание на *некоторую* форму квантовой гравитации, позволяющую понять физические последствия возникновения исключительно сильных искривлений пространства-времени, которые должны наблюдаться в ближайшем окружении этих сингулярностей. Однако среди специалистов нет единого мнения относительно того, каким образом гравитация может менять свойства областей, содержащих такие сингулярности. Впрочем, говоря откровенно, среди специалистов очень мало согласия и по вопросу о том, чем в действительности *является* и как проявляет себя сама «квантовая гравитация».

Тем не менее теоретики уже привыкли считать, что пока радиус кривизны пространства-времени остается очень большим (по сравнению с планковской длиной  $l_p$ ), разумная «классическая» картина может сохраняться, возможно, с очень маленькими «квантовыми поправками» к обычным уравнениям общей теории относительности. Но как только кривизна в некоторых (сингулярных) точках пространства-времени становится очень большой, радиус кривизны в этих точках может уменьшиться до абсурдно малых значений масштаба  $l_p$  (что примерно на 20 порядков величины меньше классического радиуса протона), и ситуация полностью

изменяется. В сингулярности привычная картина гладкого и непрерывного пространства-времени нарушается, а затем исчезает, сменяясь чем-то радикально отличным и требующим особого описания.

Более того, Джон Уилер и некоторые другие исследователи убедительно показали, что поведение вещества на крошечных, планковских масштабах носит хаотический и турбулентный характер, так что даже самое обычное, воспринимаемое нами (почти плоское) пространство-время имеет дискретную, гранулярную или иную малопонятную структуру, которая должна описываться традиционным образом.

Для описания вещества на этих масштабах придумано множество необычных моделей (с замысловатыми названиями), некоторые из них перечислены ниже. Уилер предположил существование эффектов квантовой гравитации, вызывающих в пространстве-времени на планковских масштабах сложные «завихрения» с топологическими особенностями, которые он назвал квантовой пеной и «червоточинами» [3.70]. Полученные другими авторами дискретные структуры пространства-времени также имеют необычное строение и могут быть образно представлены в виде перепутанных «петель» с узлами [3.71], спиновых пен [3.72], реше-

точных структур [3.73] и др. [3.74–3.76]. Стоит отметить использование сложных математических структур с «некоммутативной геометрией», моделирующих идеи квантовой механики [3.77], а также многомерной геометрии с элементами струн или мембран [3.78]. Авторы некоторых работ предлагают даже модели, в которых пространство и время постепенно полностью исчезают, в результате чего наше нормальное восприятие пространства-времени остается лишь каким-то «полезным» представлением действительности, образуемым из разных, более примитивных геометрических структур. Такими являются, например, «маховские» теории [3.79] и теория «твистора» [3.80]\*. Сам факт создания множества столь разнообразных и необычных моделей наглядно свидетельствует, что в научном сообществе нет никакого общего мнения относительно того, что действительно происходит с так называемым пространством-временем на уровне масштабов единиц Планка.

\* Возможностям развития идеи придуманного автором книги Р. Пенроузом понятия «твистор» (так называемая световая конгруэнтность Робинсона) посвящена статья под названием «Простой поворот судьбы. Старая идея "твистора" Роджера Пенроуза подстегнула революцию в области суперструн» в журнале «В мире науки» (сводный номер № 08–09, август–сентябрь, 2010, стр. 8). — *Прим. перев.*

Однако в рамках теории КЦК мы обнаруживаем, что процесс Большого взрыва весьма отличается от сценариев, предлагаемых авторами этих необычных революционных моделей. КЦК предлагает гораздо более *консервативную* картину эволюции Вселенной. В рамках этой теории мы можем продолжать пользоваться совершенно гладким пространством-временем (отличающимся от эйнштейновского пространства-времени лишь отсутствием конформных изменений масштаба), а для описания эволюции используются обычные, конвенциональные, математические операции. В КЦК сингулярности образуются глубоко внутри черных дыр, однако, с другой стороны, они сильно отличаются по структуре от сингулярности Большого взрыва, и мы должны также учитывать экзотические физические процессы, связанные с разрушением информации. Это фактически вынуждает нас вводить в теорию идеи квантовой гравитации, которые настолько сильно отличаются от привычных представлений современной физики, что эти идеи легко объединяются с некоторыми из самых экстравагантных гипотез, перечисленных выше.

В течение долгих лет моя точка зрения состояла в том, что существуют два разных сингулярных «конца», или состояния, времени (исходное, начальное,

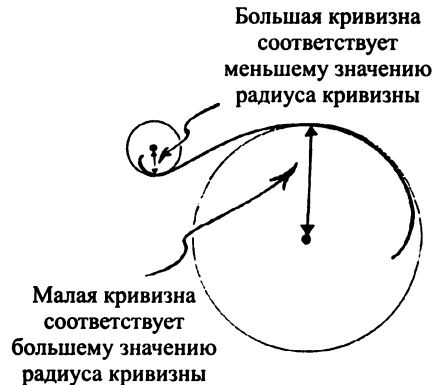
и конечное, финальное), причем эти «концы» имеют совершенно разный характер. Такое представление хорошо согласуется с действием второго закона, поскольку по некоторым причинам гравитационные степени должны быть сильно «подавлены» на одном конце, но могут быть «активизированы» на другом. Меня всегда крайне поражало, что квантовая гравитация проявляется в двух пространственно-временных сингулярностях столь разным образом. Однако я воображал (и эта мысль, кажется, соответствует господствующей сейчас точке зрения), что должна существовать некая форма *квантовой гравитации*, определяющая вид геометрических структур, которые мы обнаруживаем вблизи обоих *типов* сингулярной геометрии пространства-времени. В явном противоречии с общепринятой точкой зрения я одновременно полагал, что эта истинная «квантовая гравитация» должна обладать грубой асимметрией по отношению к направлению времени, объяснение которой требует какой-то модификации стандартных правил уже существующей квантовой механики. Это соответствовало тем моим ожиданиям и намерениям, о которых рассказано в конце раздела 3.4.

До разработки идей КЦК я никак не мог представить себе, что Большой взрыв можно трактовать как период, или состав-

ную часть, *классической* эволюции для системы, поведение которой определяется детерминистическими дифференциальными уравнениями наподобие тех, что используются в стандартном варианте общей теории относительности. Главный вопрос заключался в том, каким образом в теории КЦК чудовищные искривления пространства-времени (когда значения радиусов кривизны вблизи Большого взрыва становятся близкими к планковской единице длины  $l_p$ ) приводят к появлению «на сцене» требуемой *квантовой гравитации* со всем сопровождающим ее хаосом? Ответ заключается в том, что кривизна бывает разная (по поговорке: есть кривизна и ...кривизна). Более точно, в рассматриваемой нами теории действительно существуют две разные кривизны: кривизна Вейля  $S$  и кривизна Эйнштейна  $E$ , причем последняя является эквивалентом так называемой кривизны Риччи (см. разд. 2.6 и приложение А). В теории КЦК предполагается, что «безумный» характер квантовой гравитации (независимо от того, какова ее природа!) начинает реально проявляться только тогда, когда радиус кривизны уменьшается до масштабов планковской единицы длины. Речь при этом идет только о кривизне Вейля (описываемой конформным тензором кривизны  $S$ ), а радиус кривизны, связанной с

тензором Эйнштейна  $E$ , при этом может становиться сколь угодно малым. Иными словами, геометрия пространства-времени зависит только от кривизны Вейля, и поэтому оно будет оставаться по существу классическим и гладким до тех пор, пока значение кривизны Вейля *превышает* единицу длины Планка (рис. 3.22).

В теории КЦК обнаруживается, что при Большом взрыве кривизна Вейля  $S = 0$  (и следовательно, радиус кривизны *бесконечно* большой), вследствие чего должны оставаться справедливыми классические представления и рассуждения. Поэтому детальный характер и история большого взрыва каждого зона полностью определяются тем, что происходило со Вселенной в отдаленном будущем предыдущего зона. Из этого вытекают возможности прямого наблюдения (экспериментальной проверки) относящихся к теории явлений, часть которых рассматривается в разделе 3.6. В частности, классические уравнения, применяемые в описании к эволюции безмассовых полей (существовавших в отдаленном будущем прошлого зона), должны быть применимы к описанию эволюции этих полей и после Большого взрыва (т. е. в следующем зоне). Хотя в рамках существующих стандартных подходов к описанию самой ранней Вселенной предполагается, что ее поведение



**Рис. 3.22.** Вообще говоря, радиус кривизны обратно пропорционален самому искривлению (т. е. он уменьшается с ростом кривизны и возрастает при ее уменьшении). Обычно полагают, что квантовая гравитация начинает доминировать после того, как радиус кривизны пространства-времени уменьшится до масштабов планковской единицы длины, однако в теории КЦК предполагается, что сказанное относится только к кривизне Вейля

при большом взрыве определяется именно *квантовой гравитацией*. В сущности на основе таких же предположений (сформулированных в гипотезе о инфляционном поле) создана инфляционная космология, позволяющая объяснять наблюдаемые очень слабые отклонения (порядка нескольких долей от  $10^5$ ) в распределении температуры реликтового фонового излучения СВМ тем, что эти отклонения возникли из-за «квантовых флуктуаций» Вселенной в момент рождения. Как будет показано в следующем разделе, теория

КЦК позволяет совершенно по-новому объяснить это явление.

### 3.6. Возможности экспериментальной проверки

В этом разделе я хочу предложить для обсуждения некоторые специальные методики, позволяющие реально проверить справедливость и ценность рассматриваемой концепции КЦК. Иногда высказывается мнение, что теория КЦК вообще не

может быть экспериментально проверена, поскольку чудовищные температуры при Большом взрыве должны буквально уничтожать, «стирать» любую информацию относительно особенностей строения Вселенной на предыдущем эоне. Иными словами, считается, что Большой взрыв «отделяет» нас от всех проявлений физической активности в прошлом цикле развития, которые можно было бы наблюдать и изучать. Однако нам следует помнить, что (при буквальном и прямом толковании второго закона!) такой Большой взрыв должен обладать поразительно высокой «организованностью» (порядком, упорядоченностью и т. п.), а из общей идеи предлагаемой читателю книги следует, что характер этой «организованности» должен позволять Большому взрыву конформно развиваться и расширяться от эона к эону, причем с развитием по очень специфическому, детерминистическому закону эволюции. Это обстоятельство позволяет нам надеяться на то, что существуют некие возможности актуально «просматривать насквозь» хотя бы некоторые из особенностей предыдущего эона!

Читатель вправе спросить, какие именно особенности отдаленного будущего (из предыдущих эонов) могут быть доступны для наших наблюдений. Прежде всего отметим, что если теория КЦК справедлива, то общая геометрия пространства

(пространственная геометрия) должна сохраняться (точнее, подгоняться), т. е. совпадать с геометрией пространства предыдущего эона. Например, если Вселенная в предыдущем эоне была пространственно конечной, то такой же должна быть и наша Вселенная, а если пространство предыдущего эона описывалось евклидовой ( $K = 0$ ) и гиперболической ( $K > 0$ ) трехмерной геометрией, то именно это мы должны наблюдать и дальше. Сохранение общих особенностей геометрии вытекает из того, что геометрия трехмерного пространства Вселенной полностью определяется видом геометрии поверхности кроссовера, связывающего два последовательных эона. К сожалению, описанное свойство является практически бесполезным и не создает никаких новых возможностей для проверочных наблюдений, поскольку у нас нет никакой независимой информации относительно общей пространственной геометрии предыдущего эона.

Такая возможность, однако, возникает на несколько меньших масштабах рассмотрения, так как при каждом новом эоне может происходить перегруппировка распределения вещества в соответствии с какими-то динамическими процессами, возможно, более сложного (но, в принципе, понятного) типа. Конечное состояние и поведение распределения вещества в рамках теории КЦК известны, так как

вещество должно превратиться в безмассовое излучение (см. требования разд. 3.2), сохраняя при этом сигнатуру характеристик излучения СМВ. Задача состоит в том, чтобы на основе таких сохранившихся данных установить наиболее важные процессы, происходившие в течение предыдущего эона, и попытаться как-то расшифровать сигналы, скрытые в упоминавшихся выше неоднородностях распределения СМВ.

Однако для интерпретации сигналов такого рода мы должны глубже понять природу породивших их сигналов, т. е. тщательно изучить динамические процессы, протекавшие при предыдущем эоне и переходе от него к настоящему. Прежде и проще всего было бы предположить, что в основных чертах развитие Вселенной в течение предыдущего эона очень напоминало развитие в нашем собственном эоне, и это общее сходство сохранится и в отдаленном будущем.

Наиболее очевидным представляется предположение, что экспоненциальное расширение, характерное для отдаленного будущего предыдущего эона (когда, по нашим предположениям, в поведении эона доминировала положительная космологическая константа), соответствует поведению нашего собственного эона, если мы будем считать величину  $\Lambda$  некоторой

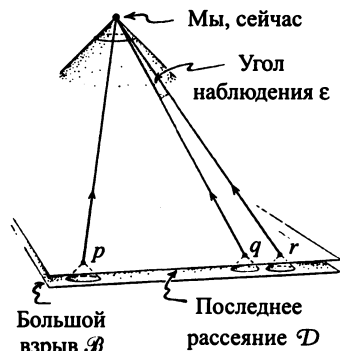
константой. Очень заманчивые гипотезы и возможности связаны с тем, что конечное экспоненциальное расширение в весьма отдаленном будущем для предыдущего эона вдруг оказывается очень похожим на инфляционную фазу самого раннего периода развития нашей Вселенной. Эта фаза экспоненциального расширения, которая является сейчас очень популярной и общепризнанной, продолжалась от  $10^{-36}$  до  $10^{-32}$  с существования нашего *собственного* эона (см. разд. 2.1 и 2.6), т. е. начиналась сразу после Большого взрыва. С другой стороны, в теории КЦК эта инфляционная фаза будет располагаться непосредственно *перед* Большим взрывом и должна идентифицироваться с экспоненциальным расширением отдаленного будущего при предыдущем эоне. Как уже отмечалось в разделе 3.3, такая идея была впервые выдвинута Габриэлем Венециано [3.81], хотя предложенная им модель тесно связывалась с упоминавшейся ранее теорией струн\*.

---

\* Русский перевод этой статьи Г. Венециано под названием «Миф о начале времен» был опубликован в журнале «В мире науки» (№ 8, 2004, стр. 29–37), причем с эпиграфом, который полностью соответствует духу предлагаемой книги, а именно — «Согласно теории струн, Большой взрыв был не началом образования Вселенной, а лишь следствием ее предыдущего состояния». — *Прим. перев.*

Важный момент предлагаемой в книге теории состоит в том, что в рамках стандартной современной картины инфляционной космологии существуют два аспекта (оба они связаны со слабыми вариациями в температурном распределении излучения СМВ), которые могут быть, по-видимому, одновременно отнесены и к теориям, относящимся к пре-Биг-бэнг-состояниям Вселенной. Один из них заключается в том, что имеются экспериментально наблюдаемые *корреляции* температурных вариаций СМВ по небесной сфере фактически до углов  $60^\circ$ , что кажется несовместимым с обычными космологическими моделями фридмановского или толменовского типа (см. разд. 2.1 и 3.3), если мы предполагаем, что состояние Большого взрыва является исходно свободным от любых корреляций. Эта несовместимость иллюстрируется схематической конформной диаграммой рис. 3.23, на которой хорошо видно, что если поверхность последнего рассеяния  $\mathcal{D}$  (подразделение вещества и излучения) располагается слишком близко к 3-поверхности Большого взрыва  $\mathcal{B}$ , то никак нельзя при наблюдении заметить корреляцию событий, которые на небесной сфере разделены угловым расстоянием, не превышающим  $2^\circ$ , даже эти события находятся в какой-то каузальной, т. е. выражающей

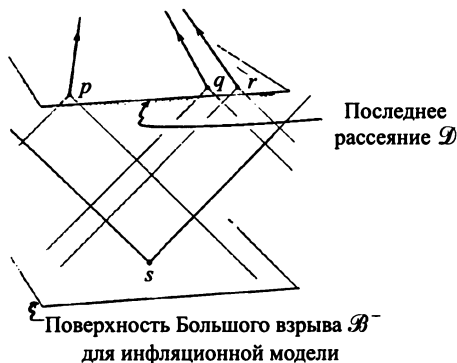
причинно-следственную обусловленность связи. Это обстоятельство заставляет нас предположить, что все такие корреляции возникают вследствие процессов, происходящих только *после* Большого взрыва, так что разные точки на поверхности фактически совершенно не могут быть коррелированы. Инфляция Вселенной позво-



**Рис. 3.23.** В стандартных (преинфляционных) космологических моделях предполагалось, что между парами точек  $q$  и  $r$ , угловое расстояние между которыми превышает указанное на рисунке значение  $\varepsilon = 2^\circ$ , не могут существовать никакие корреляции, поскольку световые конусы прошлого для таких пар не пересекаются; однако такие корреляции могут наблюдаться для углов примерно до  $60^\circ$ , как это показано для случая точек  $p$  и  $r$

ляет создавать такие корреляции только в результате того, что сама «инфляционная фаза» увеличивает расстояние между плоскостями  $\mathcal{B}^-$  и  $\mathcal{D}$  на предлагаемой конформной диаграмме [3.82], создавая большие по величине углы (при рассмотрении с определенной точки зрения), которые соответствуют как бы возникновению нового причинно-следственного контакта, как показано на рис. 3.24.

Еще одним очень важным аспектом, экспериментально свидетельствующим в пользу инфляционной теории, выступает тот факт, что флуктуации начальной



**Рис. 3.24.** Эффект инфляции увеличивает расстояние между плоскостями  $\mathcal{B}^-$  и  $\mathcal{D}$ , в результате чего и возникают корреляции, показанные на рис. 3.23

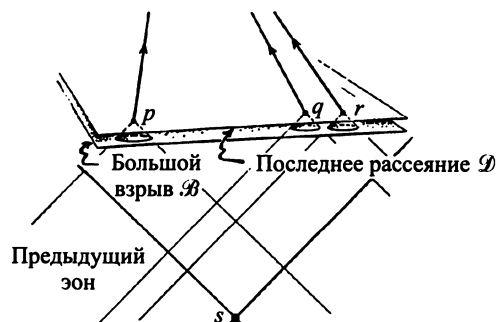
плотности, из-за которых, как предполагается, позднее возникают температурные флуктуации в спектре излучения СМВ, по-видимому, являются *масштабно-инвариантными*. Объяснение в рамках инфляционной космологии сводится к тому, что в исходном состоянии Вселенной существовали случайно распределенные неоднородности, соответствующие начальным, крошечным по размерам *квантовым флуктуациям* упоминавшегося выше инфляционного поля (разд. 2.6), возникающего очень быстро после Большого взрыва. При экспоненциальном инфляционном расширении такие флуктуации чудовищно увеличиваются в размерах, затем реализуются [3.83] в форме реальных неоднородностей плотности вещества (в основном темного) во Вселенной. Известно также, что экспоненциальное расширение представляет собой самоподобный процесс, благодаря чему неоднородное распределение флуктуаций в исходном веществе после инфляционной фазы превращается в неоднородности плотности, обладающие некоторой *масштабной инвариантностью*. Кстати, задолго до развития инфляционной модели такая гипотеза была предложена в 1970 году Е. Р. Харрисоном и Ю. Б. Зельдовичем, которые отметили, что наблюдаемые отклонения от однородности

могут быть объяснены, если предположить существование *масштабной инвариантности* для самих исходных флуктуаций. Эта гипотеза подтверждается не только соображениями инфляционной модели, но и анализом последних экспериментальных измерений интенсивности СМВ, демонстрирующих наличие скалярной инвариантности этого излучения в гораздо больших масштабах, чем предполагалось раньше. Более того, такие измерения служат сейчас важным подтверждением исходной инфляционной модели, поскольку лишь предложенная выше идея позволяет теоретически обосновать наблюдаемые эффекты масштабной инвариантности.

Действительно, если мы откажемся от инфляционной картины развития Вселенной, то нам будет необходимо найти *хоть какие-нибудь* альтернативные объяснения для двух экспериментально наблюдаемых явлений: наличия масштабной инвариантности и существования корреляций между исходными неоднородностями плотности вне горизонта наблюдений. В теории КЦК (как и в более ранней схеме Венециано) для объяснения обоих этих явлений приходится «сместить» инфляционную фазу развития Вселенной и считать, что она начинается не сразу после Большого взрыва, а в некой фазе *расширения*, предшествующей Большому взрыву, как было описано

выше. Поскольку при этом эффективно сохраняется требуемое свойство самоподобия (как и в инфляционной модели), существующие в системе исходные флуктуации плотности также будут сохранять свойство масштабной инвариантности. Кроме того, характерные для фридмановских и толменовских моделей корреляции вне масштабов наблюдений при таком подходе будут возникать раньше, т. е. еще при процессах, протекающих в предыдущем эоне (рис. 3.25).

Для более ясного представления о том, как будут выглядеть эти события в рамках теории КЦК, мы должны выяснить, какие именно процессы были характерны для предыдущего эона. Однако прежде,



**Рис. 3.25.** В теории КЦК показанные на рис. 3.23 корреляции могут возникать еще в процессах, протекающих в предыдущем эоне

чем мы начнем вдаваться в подробности их описания, нам предстоит рассмотреть еще одну серьезную задачу. Я имею в виду упоминавшуюся в разделе 3.3 идею Дж. Уилера, предположившего, что значения фундаментальных констант природы в прошлом эоне развития могут *не совпадать* совершенно точно с их значениями в нашем собственном эоне. В наиболее очевидной (и возможно, даже простейшей) форме эта возможность может реализоваться, например, для обсуждавшегося в конце раздела 3.2 очень большого числа  $N$  (значение которого в нашем эоне равно  $N \approx 10^{20}$ ), так как, строго говоря, мы не можем быть уверены, что оно имело такое же значение в предшествующем нашему эоне. В таких ситуациях у нас есть лишь два решения. Самое простое и легкое из них сводится к тому, чтобы вообще отказать от этой «опасной» гипотезы и *предположить*, что числовые значения фундаментальных констант (типа  $N$ ) не меняются при переходе от предыдущего эона к настоящему (либо меняются столь незначительно, что мы не можем зарегистрировать изменения из-за недостаточной точности измерений и т. п.). В то же время мы должны помнить, что если действительно существуют четко выраженные физические эффекты, изменяющие значения чисел типа  $N$ , то возникает

интереснейшая возможность *проверить*, является ли число  $N$  действительно фундаментальной константой (и в этом случае оно, в принципе, точно вычисляется математически). Если же  $N$  способно оперативно изменяться при переходе от одного эона к другому, то такое изменение должно происходить по какой-то весьма специфической математической схеме, которая *сама* может стать объектом экспериментального исследования.

Дополнительный набор вопросов возникает в связи с предсказаниями, относящимися к эволюции *нашего собственного эона* в очень отдаленном будущем. В теории КЦК связанные с эволюцией требования и ожидания представляются достаточно ясными. В частности, величина  $\Lambda$  должна действительно оставаться космологической *константой*, а экспоненциальное расширение нашего эона будет продолжаться вечно. Хокинговское испарение черных дыр должно быть *реальностью* и продолжаться до тех пор, пока все черные дыры не исчезнут, сохранив навсегда свою полную энергию в виде низкоэнергетических фотонов и гравитационного излучения. Причем это должно происходить и с самыми сверхмассивными дырами, рост которых тоже неминуемо завершится их полным исчезновением. Поэтому стоит задуматься: а нельзя ли реально

*зарегистрировать* излучение Хокинга, относящееся к предыдущему зоне? Мы должны помнить, что полная масса-энергия любой черной дыры (независимо от того, насколько крупной она была в момент своего зарождения) в конечном счете обязательно превратится в описанное низкочастотное электромагнитное излучение. Позднее эта энергия должна попасть на поверхность кроссовера между зонами и каким-то образом оставить свой тончайший отпечаток в реликтовом излучении СМВ. Не исключено, что если теория КЦК окажется верной, то может оказаться, что информация обо всех этих процессах может быть получена (образно говоря, «вычесана») из крошечных неоднородностей распределения СМВ. Получение данных такого типа стало бы замечательным достижением, но следует помнить также, что осуществление такой регистрации, конечно, является исключительно сложной задачей, поскольку остатки излучения Хокинга в нашем собственном эоне должны соответствовать каким-то абсурдно крошечным по величине физическим эффектам, а возможно, просто совершенно не регистрируются!

Более необычный вариант проверки КЦК может быть связан с тем, что, как было показано выше, в конечном итоге, после гигантских «растяжек» времени

должна исчезнуть даже масса покоя всех частиц (разд. 3.2). Согласно этой схеме, потеря массы покоя относится ко всем частицам, включая заряженные, и поэтому мы вправе ожидать, что в асимптотическом пределе все частицы превратятся в безмассовые, чему должен соответствовать и какой-то наблюдаемый физический эффект. К сожалению, мы очень мало знаем о процессе распада вещества по предлагаемому механизму и поэтому не можем его оценить. По-видимому, скорость распада исключительно низка, поэтому тот факт, что до сих пор такие процессы никем никогда не были зарегистрированы, не может служить доводом против теории КЦК. При этом стоит отметить, что если скорости распада массы примерно одинаковы (или хотя бы соизмеримы) для всех типов элементарных частиц, то этот факт должен проявляться в очень медленном уменьшении значения гравитационной постоянной. Наиболее точные экспериментальные измерения для этой величины, проведенные в 1998 году [3.84], показали, что значения гравитационной постоянной не могут превышать  $1,6 \cdot 10^{-12}$  в год. К этим результатам можно относиться критически, если учесть, что даже время существования нашей Вселенной (примерно  $10^{12}$  лет) выглядит пустяковым (как говорят англичане, очень «слабым пивом») по

сравнению с периодом не менее  $10^{100}$  лет, который требуется для полного исчезновения всех черных дыр. К моменту написания этой книги мне не было известно ни одного серьезного предложения, относящегося к экспериментальной проверке аспектов теории, связанных с окончательным распадом массы.

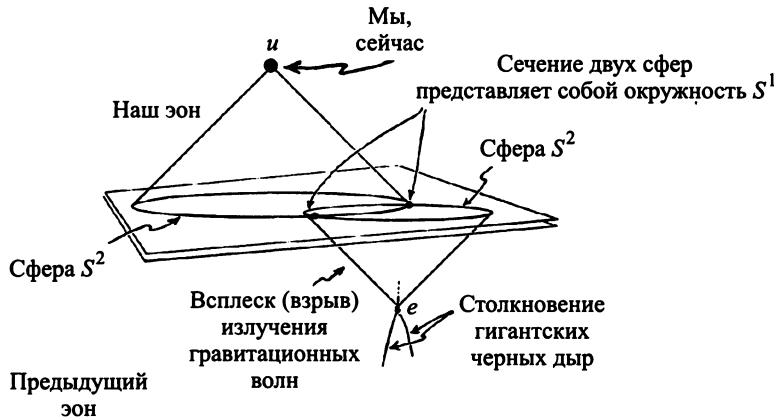
Существует, однако, еще одна принципиальная возможность проверки приложений КЦК, использующая дополнительный анализ спектра реликтового излучения СМВ. Речь идет о гравитационном излучении, возникающем при столкновении сверхкрупных черных дыр, располагающихся, как уже отмечалось, главным образом, в центрах галактик. Давайте рассмотрим, что именно может происходить при таких столкновениях. В тех случаях, когда дыры сближаются на столь близкое расстояние, что начинают существенно воздействовать на характер движения друг друга, мы должны ожидать всплеска, или «взрыва», интенсивности гравитационного излучения. В результате в пространство выбросится огромное количество энергии, после чего скорость относительного движения сталкивающихся дыр заметно уменьшится. При более тесном сближении звезд может произойти даже «захват» орбит, после чего они начнут двигаться по связанным траекториям относительно

друг друга, а затем (по мере потери энергии из-за излучения) постепенно сближаться, по-прежнему продолжая терять колоссальное количество энергии, и сольются в одну громадную черную дыру. В особых, предельных случаях общая черная дыра может образоваться в результате прямого, «лобового» столкновения, причем образовавшийся объект будет иметь существенно искаженный вид, и его полное «успокоение» из-за гравитационного излучения может продолжаться очень долго. В любом случае все такие столкновения должны приводить к чудовищному по интенсивности излучению гравитационных волн, которые будут уносить в пространство огромное количество вещества от образовавшегося комбинированного объекта.

В рассматриваемых нами масштабах времени описанный всплеск гравитационных волн (его можно назвать взрывом) можно уверенно считать мгновенным, так что (в предположении отсутствия крупных искажающих эффектов в ближайшем окружении) он должен полностью «содержаться» внутри очень тонкой и почти сферической по форме «оболочки», которая возникает в точке столкновения  $e$  и начинает распространяться в пространстве-времени со скоростью света. На рис. 3.26 приведена схематическая

конформная диаграмма для описываемого процесса всплеска излучения, где представлен распространяющийся наружу световой конус  $\mathcal{C}^+(e)$ , направленный от точки столкновения  $e$  к поверхности  $\mathcal{I}^-$  (где  $\mathcal{I}^-$  представляет собой поверхность  $\mathcal{I}^+$  для предшествующего эона). Хотя можно, конечно, предположить, что мощность такого излучения с течением времени будет бесконечно ослабевать (в результате чего к моменту достижения поверхности  $\mathcal{I}^-$  оно станет совершенно ничтожным по интенсивности), однако более

тщательный анализ показывает, что реальная ситуация должна развиваться совсем по-другому. Напомню, в разделе 3.2 было показано, что гравитационное поле может быть описано  $[0_4]$ -тензором  $K$ , удовлетворяющим конформно-инвариантному уравнению  $\nabla K = 0$ . Поскольку это уравнение действительно является конформно инвариантным, мы можем полагать, что тензор  $K$  распространяется в пространстве по данной схеме (рис. 3.26), где граница будущего  $\mathcal{I}^-$  рассматривается лишь в качестве обычной пространственноподобной



**Рис. 3.26.** Столкновения гигантских черных дыр в предыдущем эоне развития Вселенной должны сопровождаться огромными всплесками гравитационного излучения, которое проявится в виде некоторого «круга» с повышенной или пониженной температурой (в зависимости от общей геометрии пространства) на общей картине излучения СМВ

трехмерной поверхности. Гравитационная волна достигает  $\mathcal{S}^{\wedge}$  за конечное время, вследствие чего значение  $\mathbf{K}$  остается конечным, и оно даже может быть приближенно оценено из представленных на рис. 3.26 общих геометрических соотношений.

Дело в том, что при построении диаграммы рис. 3.26 используется связь в метрике конформного преобразования между тензором  $\mathbf{K}$  и конформным тензором  $\mathbf{C}$  (соотношение  $\hat{\mathbf{C}} = \Omega^2 \mathbf{K}$ , см. разд. 3.2). Расчеты показывают, что, если даже по достижении поверхности  $\mathcal{S}^{\wedge}$  конформный тензор  $\mathbf{C}$

достигает *нулевого* значения, он все же имеет *не равную нулю* нормальную (к поверхности) производную в момент пересечения границы поверхности  $\mathcal{S}^{\wedge}$ , как показано на рис. 3.27 (сравните с рис. 3.6). Приводимые в приложении В12 доводы показывают, что сам факт существования нормальной производной такого типа должен непосредственно приводить к возникновению двух прямых физических эффектов. Первый эффект заключается в воздействии *конформной геометрии* системы на поверхность кроссовера ( $\mathcal{S}^{\wedge}/\mathcal{B}^-$ ) через связанную с конформной кривиз-



**Рис. 3.27.** В момент, когда всплеск гравитационного излучения (от столкновения черных дыр) пересекает трехмерную поверхность кроссовера, в нем должно возникать исходное вещество для следующего зона в виде заметного «толчка» в направлении излучения

ной величину (так называемый тензор Коттон–Йорка). Поэтому мы не можем ожидать, что пространственная геометрия следующего эона будет совершенно точно совпадать с существующей в момент Большого взрыва геометрией, характерной для моделей FLRW-типа, т. е. в нашем собственном эоне должны возникать слабые неоднородности. Второй эффект (который, по-видимому, может быть легко зарегистрирован) связан с тем, что рассмотренное в разделе 3.2 вещество  $\omega$ -поля может являться начальной фазой для *новой темной материи*, вследствие чего должен наблюдаться заметный «толчок» в направлении излучения, как показано на рис. 3.27.

Если мы обозначим (как на рис. 3.26) наше расположение в нынешнем пространстве-времени точкой  $u$ , то соответствующий световой конус прошлого  $\mathcal{C}^-(u)$  в точке  $u$  представляет собой ту часть Вселенной, которую мы можем непосредственно «видеть». Таким образом, пересечение конуса  $\mathcal{C}^-$  с поверхностью последнего рассеяния (подразделение вещества и излучения)  $\mathcal{S}$  является именно тем, что мы наблюдаем сейчас в реликтовом излучении СМВ. Однако вследствие того, что строгое конформное отображение  $\mathcal{S}$  располагается очень близко (примерно на 1% от полной длительности нашего эона, как

показано на рисунке) к поверхности кроссовера  $\mathcal{B}^-$ , мы не очень сильно ошибемся [3.85], считая его просто пересечением поверхностей  $\mathcal{C}^-(u)$  и  $\mathcal{B}^-$ . Пренебрегая всеми эффектами неоднородности вещества в нашем собственном эоне, мы можем считать это пересечение геометрической *сферой*. Световой конус будущего  $\mathcal{C}^+(e)$  тоже должен пересекаться с  $\mathcal{S}^+ (= \mathcal{B}^+)$  на некоторой геометрической сфере (см. рис. 3.26), и вследствие этого мы можем пренебречь неоднородностями плотности в *предыдущем* эоне. Таким образом, та область излучения от столкновения черных дыр, которую мы можем непосредственно «видеть» в спектре СМВ, должна соответствовать пересечению двух сфер на поверхности  $\mathcal{B}^-$ , что представляет собой некую геометрически точную *окружность*  $\mathcal{C}$  (я по-прежнему игнорирую очень слабые различия между поверхностями  $\mathcal{B}^-$  и  $\mathcal{S}$ ).

«Толчок», который получает (предполагаемая) зарождающаяся темная материя следующего эона от гравитационного всплеска по описанному механизму, должен иметь некоторый компонент в направлении «к нам», и этот компонент может приближаться или удаляться (в зависимости от геометрических соотношений между положениями точек  $u$  и  $e$ , а также поверхности кроссовера), причем эффект направленности «толчка»

(к нам или от нас) будет одинаково проявляться по всей окрестности  $S$ . Таким образом, можно ожидать, что при каждом из рассматриваемых столкновений черных дыр в предыдущем зоне (для которого две возникающие сферы пересекаются) на общей картине фонового излучения должен появиться «круг», температура которого соответственно выше или ниже температуры окружающего СМВ-фона.

В качестве полезной и наглядной аналогии я предлагаю читателю представить себе поверхность пруда, орошаемого слабым, редким дождем в тихий, безветренный день. При попадании каждой дождевой капли на поверхности воды возникают круговые волны (рябь), концентрически распространяющиеся от точки падения. Когда дождь усиливается и количество ударов увеличивается, рябь от отдельных капель начинает непрерывно перекрываться сложным образом, так что вскоре становится невозможно отделить рябь от отдельного удара капли дождя. Каждый удар капли о поверхность можно сравнить со столкновением черных дыр, а рябь — с гравитационным всплеском излучения в точке удара. Окончание дождя можно образно сравнить с полным исчезновением черных дыр в результате хоккингского испарения. Сфотографировав поверхность пруда в момент прекращения дождя, мы получим остаточную картину ряби, кото-

рая выглядит совершенно неупорядоченно, хаотически. На первый взгляд кажется, что восстановить по ней ход событий совершенно невозможно, но, подвергнув такую фотографию соответствующему статистическому анализу по современным методикам, мы можем (если, конечно, дождь продолжался не очень долго) восстановить картину пространственно-временного распределения мест ударов капель дождя. Статистика дает достаточно надежные доказательства, что эта фотография возникла на основе сочетания некоторой последовательности дискретных ударов и их следов.

Вначале мне просто казалось, что статистический анализ реликтового излучения может служить хорошим тестом для проверки некоторых гипотез КЦК. Поэтому, посетив Принстонский университет в мае 2008 года, я попросил консультацию у Дэвида Шпергеля, считающегося одним из лучших в мире экспертов в области анализа данных, относящихся к реликтовому излучению. Когда я спросил его о возможности проявления предлагаемого эффекта в фоновом излучении, он решительно ответил: «Нет, — но потом добавил, — хотя это никто не проверял...». Позднее он поставил такую задачу перед постдоком Амиром Хаджяном, который провел предварительный анализ результатов наблюдений, полученных аппаратурой

на спутнике WMAP, пытаясь обнаружить свидетельства существования эффекта описанного типа.

Хаджян искал корреляции для последовательности радиусов, изменяющихся в промежутке от  $1^\circ$  примерно до  $60^\circ$  (с шагом около  $0,4^\circ$ ; общее число разных значений радиуса составило 171). Для каждого из них строились окружности с таким значением в 196 608 различных точках, однородно распределенных по небесной сфере и имеющих температуру, равную средней для реликтового излучения СМВ в ближайшем окружении. Затем строилась гистограмма, позволяющая выделять любые заметные отклонения от «гауссовского поведения» для случайного распределения данных. При этом на гистограммах с самого начала были замечены пики (выбросы), как бы свидетельствующие о том, что на некоторых окружностях интенсивность излучения действительно подтверждает предсказания теории КЦК. Но вскоре выяснилось, что такие подтверждения явились ложными, так как они относились к окружностям, соответствующим тем областям нашей собственной Галактики Млечный Путь, которые сами отличаются более высокой или низкой температурой по сравнению с окружением. Для исключения таких неинформативных корреляций потребовалось «подавить» информацию, поступающую от областей

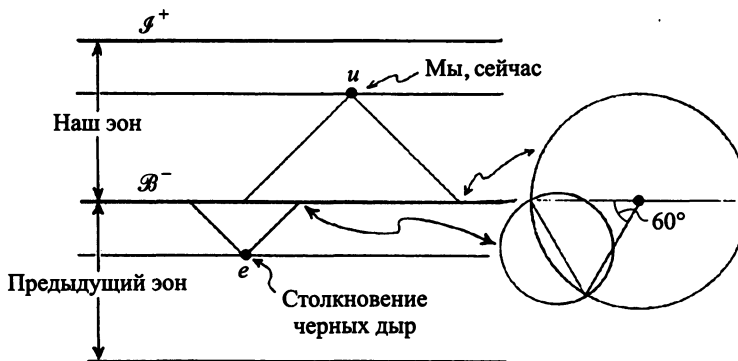
звездного неба, располагающихся вблизи так называемой плоскости Галактики, что позволило быстро и эффективно убрать данные от тех участков неба, которые не связаны с предлагаемой теорией.

Уже на этом этапе статистического анализа выяснилось, что на достаточно большом количестве «кругов» с такими выбросами угловые радиусы наблюдаемых эффектов превышали  $30^\circ$ . Это означает, что они не могли возникнуть (во всяком случае, в рамках теории КЦК), если бы история предыдущего эона напоминала в общих чертах ту историю, которая считается характерной для нынешнего эона. Дело в том, что предполагаемые и обсуждаемые нами столкновения галактических черных дыр вообще не могли происходить до того момента, как в предыдущем эоне возникло именно то, что можно назвать «настоящим временем» для этого эона. В нашем эоне это соответствует моменту, когда Вселенная «поднимается» примерно на  $2/3$  высоты по вертикальной оси конформной диаграммы развития, представленной на рис. 3.28. Простые геометрические соображения показывают, что интересующие нас столкновения черных дыр, происходящие в тех точках  $e$ , которые лежат выше  $2/3$  по вертикальной оси диаграммы предыдущего эона (как показано на рисунке), должны действительно создавать круги с угловым радиусом

сом меньше  $30^\circ$  от точки наблюдения  $u$ , что не согласуется с наличием упоминавшихся выше выбросов. Возникающие при этом температурные корреляции должны растягивать (деформировать, пересекать) небесную сферу под углом более  $60^\circ$ .

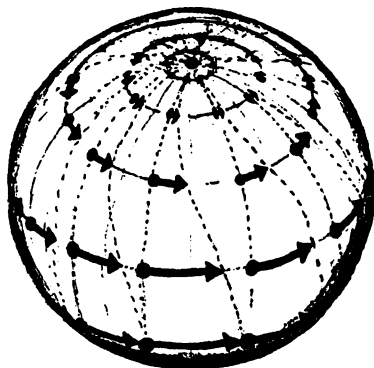
Совершенно удивительным оказался тот факт, что именно вблизи значения  $60^\circ$  все наблюдаемые температурные корреляции *кажутся* исчезающими, что (насколько мне известно) является совершенно необъяснимым в рамках стандартной инфляционной модели, однако может стать, возможно, некоторым подтверждением гипотезы КЦК.

Продолжив анализ гистограмм, Хаджян заметил, что после удаления упомянутых выбросов на них все еще остаются заметные систематические отклонения от нормального распределения Гаусса. Эти отклонения (в особенности четко наблюдаемый избыток холодных окружностей в области углов между 7 и 15) выглядели очень интересными и, на мой взгляд, требовали дополнительного анализа и объяснения. Конечно, наблюдаемые эффекты вполне могли быть ложными, неинформативными, т. е. не иметь никакого отношения к теории КЦК, но мне показался очень важным тот факт, что отклонения от



**Рис. 3.28.** По-видимому, наша Вселенная («мы, сейчас» на рисунке) располагается примерно на  $2/3$  высоты диаграммы для текущего эона, и следовало бы ожидать, что все корреляции излучения (от столкновений черных дыр в самом начале предыдущего эона) «срежутся» под углом примерно  $60^\circ$

случайного распределения носили очень специфический характер, а именно: соответствующие им области небесной сферы (по которым проводилось усреднение) имели вид *кругов*, а не других фигур. Иными словами, их форма соответствовала именно предсказываемым теорией КЦК нарушениям в распределении СМВ. Поэтому я предложил провести повторный анализ результатов наблюдений, включив в него дополнительную «закрутку», т. е. искажение небесной сферы (математические формулы для этого преобразования приводятся на рис. 3.29), позволяющую при рас-



**Рис. 3.29.** Закрутка небесной формы в сферических координатах (с использованием преобразований  $\theta' = \theta$ ;  $\phi' = \phi + 3a\lambda\theta^2 - 2a\theta^3$ ) придает окружностям более эллиптическую форму

четах сохранять площадь анализируемых областей, в результате чего окружности на небесной сфере приобрели некоторую эллиптичность, как показано на рис. 3.29. По моим начальным предположениям, в соответствии с идеями КЦК наблюдаемый негауссовский эффект должен был проявляться сильнее в отсутствии закрутки, ослабевать при небольшой закрутке и почти полностью исчезать при достаточно сильной.

Результаты анализа, проведенного Хаджяном осенью 2008 года, оказались совершенно неожиданными и стали для меня полным сюрпризом! Расчеты показали, что в диапазоне угловых радиусов от 8,4 до 12,4 (анализ проводился по 12 последовательностям разных гистограмм) слабая закрутка систематически приводит к весьма заметному *усилению* не гауссовского эффекта, который исчезает лишь при дальнейшем увеличении закрутки. На других участках гистограмм также обнаруживалась аналогичная «чувствительность» к круговым формам. Эти результаты сперва полностью ошеломили меня, так как я никак не мог представить, как можно объяснить усиление эффекта при весьма малом значении закрутки. Затем мне пришло в голову, что это может быть связано с очень большой неоднородностью в распределении масс (преимущественно в нашем собственном эоне), которая слегка

искажает все круглые «формы» и придает им эллиптичность [3.86]. Напомню, в разделе 2.6 было показано, что наличие кривизны Вейля может приводить к существенным искажениям формы объектов (см. рис. 2.48). В соответствии с предлагаемой мной моделью усиление эффекта в наших расчетах может быть объяснено именно тем, что благодаря счастливой случайности введенная мной в схему расчетов искусственная небольшая «закрутка» пространства совпала с реальным искажением, вызываемым кривизной Вейля. Это совпадение, по-видимому, стало причиной случайной согласованности некоторых значений. В других областях такая «закрутка», возможно, приведет к *рассогласованности* значений, однако эффект способен проявляться в усилении, вследствие чего в определенных обстоятельствах и эта *рассогласованность* может легко разрушаться под воздействием «шумов».

К сожалению, наличие значительных искажений, связанных с кривизной Вей-

ля, очень сильно усложняет описываемый процесс анализа наблюдаемых данных. Для дальнейших более точных расчетов было бы полезно разбить небесную сферу на малые области и выявить именно те области вдоль линии наблюдения (между точкой  $u$  и 3-поверхности последнего рассеяния  $\mathcal{D}$ ), в которых кривизна Вейля проявляется достаточно заметно. Получается, что при этом следует как-то учитывать возможность существования во Вселенной и других известных неоднородностей в распределении вещества, например так называемых космических войдов (пустот) и т. п. [3.87]. В любом случае такие расчеты позволяют надеяться на выявление новых закономерностей и новых путей размышления над сложившейся ситуацией. Можно предположить и то, что истина проявится в достаточно близком будущем, так что скоро статус и физический смысл предлагаемой теории конформной циклической космологии будут определены совершенно четко и точно.

## Эпилог

Том недоверчиво посмотрел на тетю Прициллу и сказал: «А знаешь, тетя, *эта теория* действительно самая сумасшедшая из всего, что мне приходилось слышать!»

Они пошли к машине, чтобы вернуться домой, но Том вдруг остановился и еще раз бросил пристальный взгляд на запру-

ду перед водяной мельницей. Дождь уже почти прекратился, так что на поверхности пруда отчетливо выделялись точки падения последних одиночных крупных капель. Том всмотрелся в них и вспомнил сказанное тетей. Его переполнило чувство удивления ... и восторга!

## Приложения

### А. Конформное изменение масштаба, 2-спиноры, теории Максвелла и Эйнштейна

В большинстве используемых далее уравнений я пользуюсь формализмом 2-спиноров, что не вызывается особой необходимостью, поскольку не менее удобным и более знакомым является формализм 4-спиноров. Однако теория 2-спиноров позволяет не только гораздо проще выразить свойства конформной инвариантности (см. приложение А6), но и дать систематическую картину распространения безмассовых полей и применения уравнения Шредингера для соответствующих частиц.

Применяемые далее обозначения включают в себя абстрактные индексы, введенные в работах Пенроуза и Риндлера (1984, 1986) [А.1], за исключением того что здесь чаще используется буква  $\Lambda$  вместо  $\lambda$ , а скалярная кривизна  $\Lambda$  равна  $R/24$ . Именно к работе [А.1] относятся все ссылки с обозначением P&R, так что практически все приведенные уравнения могут быть найдены в издании этой работы 1986 года (том 2). Используемый в данной работе тензор Эйнштейна  $E_{ab}$  *противоположен по знаку* к используемому в работе P&R тензору Эйнштейна ( $R_{ab} - 1/2 Rg_{ab}$ ), но знак тензора Риччи  $R_{ab}$  не изменяется, так что уравнения Эйнштейна для поля принимают вид (см. разд. 2.6 и 3.5)

$$E_{ab} = \frac{1}{2} Rg_{ab} - R_{ab} = 8\pi GT_{ab} + \Lambda g_{ab}.$$

#### А1. Обозначения 2-спиноров: уравнения Максвелла

В формализме 2-спиноров используются величины с абстрактными индексами спиноров (для комплексного двумерного спинорового простран-

ства), и далее я буду использовать для обозначений написанные курсивом заглавные буквы латинского алфавита без штрихов ( $A, B, C, \dots$ ) или со штрихами ( $A', B', C', \dots$ ), взаимозаменяемые при комплексном сопряжении. Каждой точке (комплексифицированного) касательного пространства-времени соответствует тензорное произведение спинового пространства, и это позволяет ввести новые абстрактные индексы типа

$$a = AA'; b = BB'; c = CC'; \dots,$$

где строчные латинские буквы  $a, b, c, \dots$  относятся именно к касательным пространствам. Более точно следует говорить, что *верхние* индексы относятся к касательным пространствам, а *нижние* — к кокасательным пространствам-временам.

При использовании такого формализма антисимметричный тензор поля Максвелла  $F_{ab}$  ( $= -F_{ba}$ ) может быть выражен в форме симметричного двухиндексного 2-спинора  $\varphi_{AB}$  ( $= \varphi_{BA}$ ):

$$F_{ab} = \varphi_{AB} \varepsilon_{A'B'} + \bar{\varphi}_{A'B'} \varepsilon_{AB},$$

где величина  $\varepsilon_{AB}$  ( $= -\varepsilon_{BA} = \overline{\varepsilon_{A'B'}}$ ) определяет комплексную симплексную структуру в спиновом пространстве-времени, и эта структура связана с метрикой уравнением с абстрактными индексами

$$g_{ab} = \varepsilon_{AB} \varepsilon_{A'B'},$$

в котором индексы спинора «поднимаются» и «опускаются» в соответствии со следующими правилами (важен также порядок индексов при  $\varepsilon$ ):

$$\xi^A = \varepsilon^{AB} \xi_B;$$

$$\xi_B = \xi^A \varepsilon_{AB};$$

$$\eta^{A'} = \varepsilon^{A'B'} \eta_B;$$

$$\eta^{B'} = \eta^{A'} \varepsilon_{A'B'}.$$

Уравнения поля Максвелла (в разделе 3.2 они совместно записывались в форме  $\nabla F = 4\pi J$ ) с источником в виде вектора тока заряда  $J^a$  принимают вид

$$\nabla_{[a} F_{bc]} = 0; \nabla_a F^{ab} = 4\pi J^b,$$

где ограничивающие индексы квадратные скобки обозначают антисимметризацию, а круглые — симметризацию соответственно. Уравнение сохранения потока заряда можно записать как:

$$\nabla_a J^a = 0.$$

Используя так называемые респективные 2-спинорные формы (см. P&R 5.1.52, 5.1.54), представим эти уравнения следующим образом:

$$\nabla^{A'B} \varphi^A_B = 2\pi J^{AA'} \quad \text{и} \quad \nabla_{AA'} J^{AA'} = 0.$$

При отсутствии источников ( $J^a = 0$ ) мы получаем свободное поле Максвелла (записанное в разделе 3.2 через  $\nabla F = 0$ ) в виде

$$\nabla^{AA'} \varphi_{AB} = 0.$$

## **A2. Уравнение для полей безмассовых частиц (уравнение Шредингера)**

В случае  $n = 2$  это выражение переходит (P&R 4.12.42) в уравнение для свободного поля безмассовой частицы с полуцелым спином  $1/2 n (> 0)$  или в уравнение Шредингера [A.2], имеющее вид

$$\nabla^{AA'} \phi_{ABC...E} = 0,$$

где величина  $\phi_{ABC...E}$  имеет  $n$  индексов и является полностью симметричной:

$$\phi_{ABC...E} = \phi_{(ABC...E)},$$

Для случая  $n = 0$  уравнение поля обычно имеет вид  $\square \phi = 0$ , где оператор Даламбера  $\square$  определяется как обычно:

$$\square = \nabla_a \nabla^a,$$

но специально для искривленного пространства-времени он переопределен так, что оператор  $\nabla_a$  относится к *ковариантному* дифференцированию, вследствие чего полный оператор может быть записан в форме уравнения (P&R 6.8.30)

$$(\square + R/6) \phi = 0,$$

и он является конформно-инвариантным в том смысле, что (как будет показано в примечании А6) величина  $R = R_a^a$  представляет собой скалярную кривизну.

### А3. Характеристики кривизны пространства-времени

Тензор *кривизны* (Римана–Кристоффеля)  $R_{abcd}$  обладает симметрией вида

$$R_{abcd} = R_{[ab][cd]} = R_{cdab}; \quad R_{[abc]d} = 0$$

и связан с коммутаторами производных (см. P&R 4.2.31) соотношением

$$(\nabla_a \nabla_b - \nabla_b \nabla_a) V^d = R_{abc}{}^d V^c,$$

которое фиксирует условие выбора знака для  $R_{abcd}$ . Мы можем определить тензоры Риччи и Эйнштейна и скаляр Риччи соответственно в виде

$$R_{ac} = R_{abc}{}^d; \\ E_{ab} = 1/2 R g_{ab} - R_{ab}, \text{ где } R = R_a^a,$$

а также конформный тензор Вейля  $C_{abcd}$  (см. P&R 4.8.2)

$$C_{ab}{}^{cd} = R_{ab}{}^{cd} - 2R_{[a}{}^{[c}g_{b]}{}^{d]} + 1/3 Rg_{[a}{}^c g_{b]}{}^d,$$

обладающий той же симметрией, что и  $R_{abcd}$ , но имеющий нулевой след

$$C_{abc}{}^b = 0.$$

При записи в виде спиноров мы получаем (см. P&R 4.6.41) форму

$$C_{abcd} = \Psi_{ABCD} \varepsilon_{A'B'} \varepsilon_{C'D'} + \bar{\Psi}_{A'B'C'D'} \varepsilon_{AB} \varepsilon_{CD}$$

с полностью симметричным конформным спинором  $\Psi_{ABCD}$ :

$$\Psi_{ABCD} = \Psi_{(ABCD)}.$$

Остающаяся в  $R_{abcd}$  информация содержится в скалярной кривизне  $R$  и в «бесследовой» части тензора Риччи (или Эйнштейна), которая в последнем случае представляет собой спинорную величину  $\Phi_{ABC'D'}$  с заданной симметрией и эрмитовостью:

$$\Phi_{ABC'D'} = \Phi_{(AB)(C'D')} = \bar{\Phi}_{CDA'B'},$$

где (см. P&R 4.6.21)

$$\Phi_{ABA'B'} = -1/2 R_{ab} + 1/8 Rg_{ab} = 1/2 E_{ab} - 1/8 Rg_{ab}.$$

#### А4. Безмассовые гравитационные источники

В приложении Б мы рассмотрим, в частности, полевые уравнения Эйнштейна для случая, когда (симметричный) тензор источника  $T_{ab}$  является *бесследовым*:

$$T_a{}^a = 0,$$

что соответствует *безмассовым* (т. е. обладающим нулевой массой покоя) частицам, вследствие чего относящаяся к ним спинорная величина  $T_{ABA'B'} = \overline{T}_{A'B'AB} = T_{ab}$  должна характеризоваться симметрией вида

$$T_{ABA'B'} = T_{(AB)(A'B')}.$$

Уравнение расходимости (дивергенции) вида  $\nabla^a T_{ab} = 0$  (т. е.  $\nabla^{AA'} T_{ABA'B'} = 0$ ) может быть переписано следующим образом:

$$\nabla_{B'}^{A'} T_{CDA'B'} = \nabla_{(B}^{A'} T_{CD)A'B'},$$

а приведенные ранее уравнения Эйнштейна принимают форму (см. P&R 4.6.32)

$$\Phi_{ABA'B'} = 4\pi G T_{ab}, \quad R = 4\Lambda.$$

Если частицы обладают массой покоя, и, следовательно, след  $T_{ab}$  равен

$$T_a^a = \mu,$$

то уравнения Эйнштейна имеют вид

$$\Phi_{ABA'B'} = 4\pi G T_{(AB)(A'B')}; \quad R = 4\Lambda + 8\pi G\mu.$$

## A5. Тожества Бианки

Обобщенное тождество Бианки  $\nabla_{[a} R_{bc]de} = 0$  в спинорной форме с использованием введенных индексов принимает вид (см. P&R 4.10.7, 4.10.8):

$$\nabla_{B'}^A \Psi_{ABCD} = \nabla_{(B}^{A'} \Phi_{CD)A'B'}$$

и

$$\nabla^{CA'} \Phi_{CDA'B'} + \frac{1}{8} \nabla_{DB'} R = 0,$$

где  $R$  — некоторая константа (с этой ситуацией мы сталкивались при рассмотрении уравнений Эйнштейна с *безмассовыми* источниками), что позволяет получить

$$\nabla^{CA'} \Phi_{CDA'B'} = 0,$$

из чего следует

$$\nabla_{B'}^A \Psi_{ABCD} = \nabla_B^{A'} \Phi_{CDA'B'},$$

если использовать в правой части симметрию  $B'CD$ . После подстановки в уравнение Эйнштейна с безмассовым источником получаем

$$\nabla_{B'}^A \Psi_{ABCD} = 4\pi G \nabla_B^{A'} T_{CDA'B'}$$

(см. P&R 4.10.12). Отметим, что при  $T_{ABCD} = 0$  мы будем иметь уравнение (см. P&R 4.10.9)

$$\nabla^{AA'} \Psi_{ABCD} = 0,$$

совпадающее с уравнением для свободного поля безмассовой частицы в приложении А2 для случая  $n = 4$  (т. е. для спина 2).

## А6. Конформное перемасштабирование

В соответствии с конформным перемасштабированием (при гладко меняющемся  $\Omega > 0$ )

$$g_{ab} \mapsto \hat{g}_{ab} = \Omega^2 g_{ab}$$

мы можем записать, используя абстрактные индексы, следующие соотношения:

$$\hat{g}^{ab} = \Omega^{-2} g^{ab};$$

$$\begin{aligned}\hat{\varepsilon}_{AB} &= \Omega \varepsilon_{AB}; & \hat{\varepsilon}^{AB} &= \Omega^{-1} \varepsilon^{AB}; \\ \hat{\varepsilon}_{A'B'} &= \Omega \varepsilon_{A'B'}; & \hat{\varepsilon}^{A'B'} &= \Omega^{-1} \varepsilon^{A'B'}.\end{aligned}$$

В этих соотношениях оператор  $\nabla_a$  должен быть преобразован

$$\nabla_a \longrightarrow \hat{\nabla}_a$$

таким образом, чтобы действие  $\nabla_a$  на некую общую величину, записанную с использованием спинорных индексов, имело вид

$$\begin{aligned}\hat{\nabla}_{AA'}\phi &= \nabla_{AA'}\phi; \\ \hat{\nabla}_{AA'}\xi_B &= \nabla_{AA'}\xi_B - \Upsilon_{BA'}\xi_A; \\ \hat{\nabla}_{AA'}\eta_{B'} &= \nabla_{AA'}\eta_{B'} - \Upsilon_{AB'}\eta_{A'},\end{aligned}$$

где

$$\Upsilon_{AA'} = \Omega^{-1} \nabla_{AA'} \Omega = \nabla_a \lg \Omega.$$

По этим правилам можно последовательно воздействовать на любую величину с большим числом нижних индексов (можно построить правила и для верхних индексов, но сейчас в этом нет необходимости).

Выбрав для безмассового поля  $\phi_{ABC\dots E}$  операцию масштабирования (скейлинга) вида

$$\hat{\phi}_{ABC\dots E} = \Omega^{-1} \phi_{ABC\dots E},$$

мы найдем, применив указанные ранее правила, что

$$\hat{\nabla}^{AA'} \hat{\phi}_{ABC\dots E} = \Omega^{-3} \nabla^{AA'} \phi_{ABC\dots E},$$

так что равенство нулю одной из сторон автоматически приводит к равенству нулю другой, между тем как уравнения для безмассовых полей должны быть конформно-инвариантными. Для уравнений Максвелла

с источниками можно показать, что конформная инвариантность для всей системы  $\nabla^{A'B}\varphi_B^A = 2\pi j^{AA'}$ ;  $\nabla_{AA'}J^{AA'} = 0$  (см. P&R 5.1.52 и 5.1.54 в приложении А2) сохраняется при масштабных преобразованиях

$$\hat{\varphi}_{AB} = \Omega^{-1}\varphi_{AB} \text{ и } \hat{J}^{AA'} = \Omega^{-4}J^{AA'},$$

поскольку мы имеем

$$\hat{\nabla}^{A'B}\hat{\varphi}_B^A = \Omega^{-4}\nabla^{A'B}\varphi_B^A \text{ и } \hat{\nabla}^{AA'}\hat{J}_{AA'} = \Omega^{-4}\nabla^{AA'}J_{AA'}.$$

## А7. Поля Янга–Миллса

Далее мы должны рассмотреть уравнения Янга–Миллса, составляющие основу современного понимания природы сильных и слабых взаимодействий между частицами, так как они также должны оставаться конформно-инвариантными до тех пор, пока мы не введем *массу*, которая будет последовательно учтена посредством поля Хиггса. Силы, связанные с полем Янга–Миллса, могут быть описаны следующей тензорной величиной (некой «узелковой кривизной»):

$$F_{ab\Theta}^{\Gamma} = -F_{ba\Theta}^{\Gamma},$$

где индексы (абстрактные)  $\Theta$ ,  $\Gamma$ , ... относятся к группам внутренней симметрии (U(2), SU(3) и т. п.), как-то связанным с симметрией частиц. Узелковую кривизну можно выразить через спинорную величину  $\varphi_{AB\Theta}^{\Gamma}$  (см. P&R 5.5.36) в виде

$$F_{ab\Theta}^{\Gamma} = \varphi_{AB\Theta}^{\Gamma}\varepsilon_{A'B'} + \bar{\varphi}_{A'B'\Theta}^{\Gamma}\varepsilon_{AB},$$

где (для унитарной внутренней группы) комплексное сопряжение переводит нижние внутренние индексы в верхние и наоборот. Уравнения поля отражают это свойство, если в уравнениях Максвелла вводятся дополнительные внутренние индексы по описанной ранее схеме. Благодаря конформной инвариантности теория Максвелла применима и к уравнениям

Янга–Миллса, так как внутренние индексы  $\Theta, \Gamma, \dots$  не изменяются при конформном перемасштабировании.

### А8. Изменение масштаба тензоров при равной нулю массе покоя

Следует отметить, что для бесследового тензора энергии  $T_{ab}$  ( $T_a^a = 0$ ) масштабное преобразование (см. P&R 5.9.2)

$$\hat{T}_{ab} = \Omega^{-2} T_{ab}$$

не меняет вид уравнения сохранения  $\nabla^a T_{ab} = 0$ , поскольку есть условие

$$\hat{\nabla}^a \hat{T}_{ab} = \Omega^{-4} \nabla^a T_{ab}.$$

В теории Максвелла мы имеем выражение для тензора энергии  $F_{ab}$ , которое в спинорной форме приобретает вид (см. P&R 5.2.4)

$$T_{ab} = \frac{1}{2\pi} \varphi_{ab} \bar{\varphi}_{A'B'}.$$

В теории Янга–Миллса мы просто вводим в это выражение дополнительные индексы

$$T_{ab} = \frac{1}{2\pi} \varphi_{AB\Theta} \bar{\varphi}_{A'B'} \Phi_{\Gamma}.$$

Для безмассовых скалярных полей, описываемых рассмотренным ранее уравнением  $(\square + R/6) \phi = 0$  (см. P&R 6.8.30), присутствует конформная инвариантность (см. P&R 6.8.32), которая определяется соотношением

$$(\hat{\square} + \hat{R}/6) \hat{\phi} = \Omega^{-3} (\square + R/6) \phi,$$

где

$$\hat{\phi} = \Omega^{-1} \phi,$$

что позволяет получить тензор энергии, иногда называемый *новым улучшенным* [А.3] (см. P&R 6.8.36), в виде

$$\begin{aligned} T_{ab} &= C\{2\nabla_{A(A'}\phi\nabla_{B')} \phi - \phi\nabla_{A(A'}\nabla_{B')} \phi + \phi^2\Phi_{ABA'B'}\} = \\ &= 1/2 C\{4\nabla_a\phi\nabla^a\phi - g_{ab}\nabla_c\phi\nabla^c\phi - 2\phi\nabla_a\nabla_b\phi + 1/6 R\phi^2 g_{ab} - \phi^2 R_{ab}\}, \end{aligned}$$

в котором  $C$  представляет собой некоторую положительную константу, удовлетворяющую условиям

$$T_a^a = 0, \nabla^a T_{ab} = 0 \text{ и } \hat{T}_{ab} = \Omega^{-2} T_{ab}.$$

### А9. Конформные масштабные преобразования тензора Вейля

Конформный спинор  $\Psi_{ABCD}$  относится к информации, связанной с конформной кривизной пространства-времени, и является конформно-инвариантным (см. P&R 6.8.4):

$$\hat{\Psi}_{ABCD} = \Psi_{ABCD}.$$

Стоит отметить любопытное и одновременно важное различие между этой конформной инвариантностью и той, которая необходима для удовлетворения требований к уравнениям безмассовых свободных полей, когда в правой части должен присутствовать множитель  $\Omega^{-1}$ . Для снятия этого противоречия мы можем ввести и определить новую величину  $\Psi_{ABCD}$ , которая везде и всегда пропорциональна  $\Psi_{ABCD}$ , однако преобразуется по условию

$$\hat{\Psi}_{ABCD} = \Omega^{-1} \Psi_{ABCD},$$

из которого следует, что «наше» уравнение Шредингера для гравитонов [А.4] (см. P&R 4.10.9) в вакууме ( $T_{ab} = 0$ )

$$\nabla^{AA'}\Psi_{ABCD} = 0$$

является конформно-инвариантным. В разделе 3.2 это уравнение записывалось в виде

$$\nabla K = 0.$$

Для введенного ранее тензора Вейля  $C_{abcd}$  (см. АЗ, P&R 4.6.41) можно определить величину

$$K_{abcd} = \Psi_{ABCD} \varepsilon_{A'B'} \varepsilon_{C'D'} + \bar{\Psi}_{A'B'C'D'} \varepsilon_{AB} \varepsilon_{CD}$$

и установить соответствующие коэффициенты масштабного преобразования (записанные в разделе 3.2 в виде  $\hat{C} = \Omega^2 C$  и  $\hat{K} = \Omega K$ ):

$$\hat{C}_{abcd} = \Omega^2 C_{abcd} ; \hat{K}_{abcd} = \Omega K_{abcd}.$$

## Б. Уравнения для области кроссовера

Как и в приложении А, абстрактные индексы используются согласно работам Пенроуза и Риндлера (1984, 1986), однако космологическая константа обозначается чаще через  $\Lambda$  (а не через  $\lambda$ ), а скалярная кривизна обычно соответствует величине  $R/24$ . Некоторые аспекты предлагаемой далее гипотезы нуждаются в проверке и дополнительном исследовании, но мы можем получить классические уравнения, которые позволяют достаточно точно и полно описать возможные варианты развития отдаленного будущего нашей зона в те области, которые названы пост-Биг-бэнг-эволюцией.

### Б1. Метрики $\hat{g}_{ab}$ , $g_{ab}$ и $\check{g}_{ab}$

Далее мы рассмотрим геометрию областей, располагающихся вблизи 3-поверхности кроссовера  $\mathcal{X}$ . В соответствии с общими идеями части 3 предлагаемой книги предполагается существование некоторой области  $\mathcal{C}$  (она может быть образно названа воротником, ошейником, хомутом — *collar*) в гладком и конформно меняющемся пространстве-времени, содержащем 3-поверхность кроссовера  $\mathcal{X}$ . Последняя может быть продолжена как в прошлое, так и в будущее таким образом, что внутри области  $\mathcal{C}$  до поверхности кроссовера  $\mathcal{B}$  будут существовать только безмассовые поля. Мы выбираем с некоторой долей произвольности для этого «воротника»

гладкий метрический тензор  $\mathbf{g}_{ab}$ , который должен быть совместим с конформной структурой пространства-времени (по крайней мере, локально). Обозначим через  $\hat{\mathbf{g}}_{ab}$  физическую метрику Эйнштейна в 4-области  $\mathcal{C}^\wedge$  (непосредственно перед  $\mathcal{X}$ ), а через  $\check{\mathbf{g}}_{ab}$  — в 4-области  $\mathcal{C}^\vee$  (непосредственно после  $\mathcal{X}$ ), т. е. положим

$$\hat{\mathbf{g}}_{ab} = \Omega^2 \mathbf{g}_{ab} \quad \text{и} \quad \check{\mathbf{g}}_{ab} = \omega^2 \mathbf{g}_{ab}.$$

Отметим, что это не совсем соответствует обозначениям, используемым в разделе 3.2, где мы обозначали физическую метрику через  $\mathbf{g}_{ab}$  без «шапочки», но этот факт не меняет смысла полученных в приложении А формул. В качестве мнемонического правила отметим, что символы « $\wedge$ » и « $\vee$ » могут быть также образно отнесены к направлению нуль-конусов в точках  $\mathcal{X}$ . В каждой из двух указанных выше областей предполагается, что уравнения Эйнштейна остаются справедливыми при фиксированном значении космологической константы  $\Lambda$ , а все гравитационные источники в более ранней области  $\mathcal{C}^\wedge$  считаются безмассовыми, и для них тензор полной энергии  $\hat{T}_{ab}$  является *бесследовым*, вследствие чего

$$\hat{T}_a^a = 0.$$

По причинам, которые будут разъяснены позднее, я использую еще одну букву  $\check{U}_{ab}$  для обозначения тензора энергии в  $\mathcal{C}^\vee$ , а для согласования с формализмом обозначений этот тензор должен иметь небольшой след

$$\check{U}_a^a = \mu,$$

в результате чего компоненты, соответствующие в тензоре энергии массе покоя частиц, начинают возникать в области  $\mathcal{C}^\vee$ . Можно даже указать, что это напоминает возникновение массы покоя по механизму Хиггса [Б.1], однако я не буду проводить такое сравнение далее. Стоит отметить, что индексы при переменных с «шапочкой» (типа  $\hat{T}_{ab}$ ) становятся

верхними или нижними в соответствии со значениями  $\hat{g}^{ab}$  и  $\hat{g}_{ab}$  ( $\hat{\epsilon}^{AB}$ ,  $\hat{\epsilon}^{A'B'}$ ,  $\hat{\epsilon}_{AB}$  и  $\hat{\epsilon}_{A'B'}$ ), в то время как величины с обратной «шапочкой» (типа  $\check{U}_{ab}$ ) меняются в соответствии с  $\check{g}^{ab}$ ,  $\check{g}_{ab}$ ,  $\check{\epsilon}^{AB}$ ,  $\check{\epsilon}^{A'B'}$ ,  $\check{\epsilon}_{AB}$  и  $\check{\epsilon}_{A'B'}$ . Уравнения Эйнштейна остаются справедливыми в обеих областях ( $\mathcal{C}^\wedge$  и  $\mathcal{C}^\vee$ ), в результате чего мы получаем условия с «шапочкой» и обратной «шапочкой» в виде

$$\begin{aligned}\hat{E}_{ab} &= 8\pi G \hat{T}_{ab} + \Lambda \hat{g}_{ab}; \\ \check{E}_{ab} &= 8\pi G \check{U}_{ab} + \Lambda \check{g}_{ab},\end{aligned}$$

где я предполагаю, что обеим областям соответствует *одинаковая* [Б.2] космологическая константа, так что

$$\hat{R} = 4\Lambda; \quad \check{R} = 4\Lambda + 8\pi G\mu.$$

Давайте предположим на время, что метрика  $\mathfrak{g}_{ab}$ , которая, образно говоря, как-то охватила всю трехмерную поверхность области кроссовера  $\mathcal{X}$ , выбирается совершенно произвольным образом, но при условии, что она является гладкой и совместимой с уже существующими конформными структурами  $\mathcal{C}^\wedge$  и  $\mathcal{C}^\vee$ . Позже я представлю вариант уникального масштабного преобразования для метрики  $\mathfrak{g}_{ab}$  в каноническом и удобном виде, обеспечивающем специфический выбор метрики  $\mathfrak{g}_{ab}$ , которую я обозначу просто через  $g_{ab}$  с использованием обычных прописных букв. Я также введу обычные обозначения для величин кривизны (типа  $R_{abcd}$ ) независимо от того, какими я пользуюсь знаками —  $\mathfrak{g}_{ab}$  или  $g_{ab}$ .

## Б2. Уравнения для области $\mathcal{C}^\wedge$

Далее я буду рассматривать уравнения, относящиеся к области  $\mathcal{C}^\wedge$ , а затем — к области  $\mathcal{C}^\vee$  (см. приложение Б11). Мы можем записать правила преобразования тензоров Эйнштейна (и Риччи) в виде (см. P&R 6.8.24)

$$\hat{\Phi}_{ABA'B'} - \Phi_{ABA'B'} = \Omega \nabla_{A(A'} \nabla_{B')B} \Omega^{-1} = -\Omega^{-1} \hat{\nabla}_{A(A'} \hat{\nabla}_{B')B} \Omega$$

совместно с условием (P&R 6.8.25)

$$\Omega^2 \hat{R} - R = 6 \Omega^{-1} \square \Omega,$$

означающим, что

$$\left(\square + \frac{R}{6}\right)\Omega = \frac{1}{6} R \Omega^3.$$

Полученное уравнение представляет особый интерес с точки зрения чистой математики, поскольку является примером так называемых *уравнений Калаби* [Б.3], но одновременно имеет ценность и для *физики*, так как является уравнением конформно-инвариантного самосвязного скалярного поля  $\varpi$ , которое при  $R = 4\Lambda$  можно записать в форме

$$\left(\square + \frac{R}{6}\right)\varpi = \frac{2}{3} \Lambda \varpi^3.$$

Каждое решение этого « $\varpi$ -уравнения» (так я буду называть его ниже) приводит к новой метрике  $\varpi^2 g_{ab}$ , скалярная кривизна которой имеет постоянное значение  $4\Lambda$ . Конформная инвариантность этого  $\varpi$ -уравнения выражается в том, что если мы выберем некий *новый* конформный коэффициент  $\tilde{\Omega}$  и перейдем от  $g_{ab}$  к новой конформно связанной метрике  $\tilde{g}_{ab}$  по правилу

$$g_{ab} \longmapsto \tilde{g}_{ab} = \tilde{\Omega}^2 g_{ab},$$

то при конформном изменении масштабов для  $\varpi$ -поля:

$$\tilde{\varpi} = \tilde{\Omega}^{-1} \varpi,$$

мы получим уравнение (как указывалось ранее в примечании А8; см. P&R 6.8.32)

$$\left(\tilde{\square} + \frac{\tilde{R}}{6}\right)\tilde{\varpi} = \tilde{\Omega}^{-3} \left(\square + \frac{R}{6}\right)\varpi,$$

из которого немедленно вытекает требуемая конформная инвариантность приведенного нелинейного  $\varpi$ -уравнения (отмечу, что при  $\tilde{\Omega} = \Omega$  и  $\varpi = \Omega$

мы просто возвращаемся к эйнштейновской метрике  $\hat{g}_{ab}$  с  $\tilde{\omega} = 1$ , так что уравнение превращается в тождество  $2/3 \Lambda = 2/3 \Lambda$ .

В приложении А8 показано, что *тензор энергии* для такого физического  $\omega$ -поля в *отсутствии* члена  $\omega^3$  должен равняться (P&R 6.8.36)

$$\begin{aligned} T_{ab}[\omega] &= C\{2\nabla_{A(A'}\omega\nabla_{B')B}\omega - \omega\nabla_{A(A'}\nabla_{B')B}\omega + \omega^2\hat{\Phi}_{ABA'B'}\} = \\ &= C\omega^2\{\omega\nabla_{A(A'}\nabla_{B')B}\omega^{-1} + \hat{\Phi}_{ABA'B'}\}, \end{aligned}$$

где  $C$  — некоторая константа. Более того, было показано, что наличие члена  $\omega^3$  в  $\omega$ -уравнении не нарушает уравнение сохранения в виде  $\nabla^a T_{ab}[\omega] = 0$ , так что мы можем использовать это выражение также в качестве тензора энергии для указанного  $\omega$ -поля, выбрав при согласовании для константы  $C$  значение

$$C = \frac{1}{4\pi G}.$$

Сравнивая его с использованным ранее значением (P&R 6.8.24, B2), можно получить выражение

$$T_{ab}[\Omega] = \frac{1}{4\pi G}\Omega^2\hat{\Phi}_{ABA'B'} = \Omega^2\hat{T}_{ab}$$

из уравнения Эйнштейна

$$\hat{\Phi}_{ABA'B'} = 4\pi G\hat{T}_{ab},$$

в котором используется метрика  $\hat{g}_{ab}$ . Для бесследового тензора энергии можно показать, что при масштабном преобразовании  $\hat{T}_{ab} = \Omega^{-2}T_{ab}$  (А8, P&R 5.9.2) уравнение остается неизменным. Это позволяет интересно переформулировать теорию Эйнштейна (по отношению к метрике  $g_{ab}$ ) для случая безмассовых источников  $T_{ab}$  и привести ее к виду

$$T_{ab} = T_{ab}[\Omega].$$

### Б3. Роль фантомного поля

Далее я буду называть величину  $\Omega$  (рассматриваемую как частный пример безмассового, самосвязного и конформно-инвариантного поля  $\psi$ ) *фантомным* полем [Б.4]. Такое поле не создает для нас никаких физически независимых степеней свободы, а его наличие (при метрике  $\mathfrak{g}_{ab}$ ) просто позволяет свободно осуществлять масштабные преобразования. Поэтому возможно изменение масштаба физической метрики таким образом, чтобы получалась гладко изменяющаяся метрика  $\mathfrak{g}_{ab}$ , конформная по отношению к физической метрике Эйнштейна, которая будет гладко «покрывать» все переходы и связи от одного эона к другому. Применяя такие метрики, покрывающие все 3-поверхности кроссовера, мы можем детально рассмотреть специфические связи между эонами в соответствии с требованиями теории КЦК, используя классические дифференциальные уравнения в явной форме.

Роль фантомного поля состоит именно в отслеживании, позволяющем переходить от текущей физической метрики к *реальной*, действительной, т. е. находить масштаб, переводящий метрику  $\mathfrak{g}_{ab}$  обратно в физическую (за счет преобразования  $\hat{\mathfrak{g}}_{ab} = \Omega^{-2}\mathfrak{g}_{ab}$ ). Уравнения Эйнштейна остаются справедливыми в пре-кроссовер-пространстве  $\mathcal{E}^\wedge$ , однако они записываются теперь через метрику  $\mathfrak{g}$  просто в виде  $T_{ab} = T_{ab}[\Omega]$ . Иными словами, предполагается, что уравнения поля Эйнштейна определяются требованием, чтобы тензор полной энергии  $T_{ab}$  для физически материальных полей в области пространства-времени  $\mathcal{E}^\wedge$  (при условии, что эти поля безмассовые и конформно-преобразуемые) равнялся тензору энергии фантомного поля  $T_{ab}[\Omega]$ . Может показаться, что это требование является простой переформулировкой теории Эйнштейна (с использованием метрики  $\mathfrak{g}_{ab}$ ) в открытой области пространства  $\mathcal{E}^\wedge$ , но в действительности мы имеем дело с более тонкой ситуацией. Дело в том, что такая замена позволяет «расширить» действие указанных уравнений значительно дальше и даже далеко за пределы поверхности будущего  $\mathcal{S}^*$ . Но для эффективного проведения таких операций необходимо более внимательно изучить при-

менимость уравнений, относящихся к описываемым величинам и процессам, особенно в близкой к  $\mathcal{X}$  области. Более того, мы должны понять и как-то ограничить упомянутую ранее произвольность выбора начальной  $\mathbf{g}$ -метрики (т. е. конформного коэффициента  $\Omega$ ) для «хомута»  $\mathcal{C}$ .

В действительности, однако, некоторая свобода в выборе  $\Omega$  остается. Фактически до сих пор требование состояло в следующем:  $\Omega$  должно быть таким, чтобы метрика  $\mathbf{g}_{ab}$  (получаемая из физической метрики Эйнштейна  $\hat{\mathbf{g}}_{ab}$  посредством преобразования  $\mathbf{g}_{ab} = \Omega^{-2}\hat{\mathbf{g}}_{ab}$ ) оставалась конечной, не равной нулю и гладкой при пересечении  $\mathcal{X}$ . Даже требование существования таких значений  $\Omega$  может показаться строгим, но Гельмутом Фридрихом [Б.5] были получены ценные результаты, позволяющие поверить, что положительная космологическая константа  $\Lambda$  существует, что и дает полную свободу в подборе безмассовых радиационных полей в модели расширяющейся Вселенной, свободной от источников массы и внедренной в (гладкое) пространственноподобное  $\mathcal{S}^+$ . Иными словами, можно ожидать, что мы должны обнаружить гладкую конформную границу  $\mathcal{S}^+$  на переходе к  $\mathcal{C}^\wedge$ . Это является автоматическим следствием устройства самой модели расширяющейся Вселенной, в которой все гравитационные источники представляют собой безмассовые поля и их распространение описывается конформно-инвариантными уравнениями. Отметим, что на этой стадии не выдвигается даже требование постоянства скалярной кривизны  $R$  для данной  $\mathbf{g}$ -метрики, а единственное ограничение сводится к тому, чтобы  $R = 4\Lambda$  и конформный коэффициент  $\Omega^{-1}$ , возвращающий нас к эйнштейновской метрике  $\hat{\mathbf{g}}_{ab}$ , обязательно удовлетворял  $\varpi$ -уравнению  $(\square + \overset{\hat{R}}{R})\varpi = \frac{2}{3}\Lambda\varpi^3$  с  $\hat{\mathbf{g}}$ -метрикой.

#### Б4. Нормаль $\mathbf{N}$ к поверхности $\mathcal{X}$

Мы видим, что по мере приближения к гиперповерхности снизу  $\mathcal{S}^+ (= \mathcal{X})$   $\Omega \rightarrow \infty$ , так как роль коэффициента  $\Omega$  заключается в том, чтобы повысить масштаб конечной  $\mathbf{g}$ -метрики до бесконечности на  $\mathcal{S}^+$ , соответ-

ствующей отдаленному будущему прошлого зона. Однако при этом мы обнаруживаем, что параметр

$$\omega = -\Omega^{-1}$$

достигает снизу на  $\mathcal{S}^+$  нулевого значения (необходимость введения знака «минус» разъясняется ниже), вследствие чего

$$\nabla^a \omega = N^a$$

не равняется нулю на 3-поверхности кроссовера и создает на точках поверхности  $\mathcal{X}$  ( $=\mathcal{S}^+$ ) направленный к будущему временноподобный 4-вектор  $N$ , *нормальный* к этой поверхности. Идея предлагаемого метода состоит в том, чтобы гладко продолжить  $\omega$  через поверхность  $\mathcal{X}$  от  $\mathcal{U}^+$  в область  $\mathcal{U}^-$  с не равными нулю производными таким образом, чтобы получить *то же самое* (положительное) значение параметра  $\omega$ , которое требуется для  $\mathcal{U}^-$  метрикой Эйнштейна  $g_{ab} = \omega^2 g_{ab}$  (именно для этого в соотношении  $\omega = -\Omega^{-1}$  использовался знак «минус»). Необходимо также отметить, что условие «нормализации» (P&R 9.6.17)

$$g_{ab} N^a N^b = \frac{1}{3} \Lambda$$

представляет собой *автоматически* общее свойство конформной бесконечности (в данном случае это означает  $\mathcal{X}$ ), когда источники гравитационного поля являются точно безмассовыми, вследствие чего величина

$$\left(\frac{3}{\Lambda}\right)^{\frac{1}{2}} N$$

представляет собой *единичный* нормальный вектор к поверхности  $\mathcal{X}$  независимо от выбора конформного коэффициента  $\Omega$ .

## Б5. Область горизонта событий

Отметим также, что мы можем легко доказать отмеченный в разделе 3.5 факт, что предельное сечение любого *космологического горизонта собы-*

*тий* должно равняться  $12\pi/\Lambda$ . Любой горизонт событий (рассматриваемый с учетом предыдущего зона) представляет собой световой конус прошлого  $\mathcal{C}$  из конечной точки будущего  $o^+$  на поверхности  $\mathcal{X}$  с бессмертным наблюдателем в этой точке, как указывалось в разделе 2.5 (см. рис. 2.43). Предельное значение  $\mathcal{C}$  в точке  $o^+$  при переходе снизу равно  $4\pi r^2$ , где  $r$  (при заданной  $g$ -метрике) представляет собой пространственный радиус сечения. При метрике  $\hat{g}_{ab}$  эта площадь равняется  $4\pi r^2\Omega^2$ , и из сказанного ранее (см. разд. Б4) легко видеть, что  $\Omega r$  в пределе достигает значения  $(1/3\Lambda)^{-1/2}$  для сечения в точке  $o^+$ , так что требуемая площадь горизонта событий действительно равняется  $4\pi(3/\Lambda) = 12\pi/\Lambda$ . Хотя этот факт предлагается в рамках теории КЦК, все ограничения сводятся к малой гладкости метрик  $\hat{g}_{ab}$ ,  $\mathfrak{g}_{ab}$  и  $\check{g}_{ab}$  для пространственноподобной конформной бесконечности, что является довольно слабым требованием при  $\Lambda > 0$ , как было показано в упоминавшейся работе Фридриха [Б.6].

## Б6. Предположение об обратной пропорциональности

Конечно, некоторым осложнением в данной частной ситуации выступает то, что при описании перехода от  $\mathcal{C}^\wedge$  к  $\mathcal{C}^\vee$  мы не имеем никакой гладко изменяющейся величины ( $\Omega$  или  $\omega$ ), описывающей масштабное преобразование к *обеим* эйнштейновским метрикам ( $\hat{g}_{ab}$  и  $\check{g}_{ab}$ ) однородным образом. В качестве решения этой проблемы выдвигается уже упоминавшееся предположение об *обратной пропорциональности* в виде  $\omega = -\Omega^{-1}$ , при котором вводится удобная 1-форма  $\Pi$ , определяемая как

$$\Pi = \frac{d\Omega}{\Omega^2 - 1} = \frac{d\omega}{1 - \omega^2},$$

т. е.

$$\Pi_a = \frac{\nabla_a \Omega}{\Omega^2 - 1} = \frac{\nabla_a \omega}{1 - \omega^2},$$

поскольку такая 1-форма является конечной и гладкой при переходе через поверхность  $\mathcal{X}$ , если мы принимаем эту простую форму обратно

пропорциональной зависимости. Параметр  $\Pi$  содержит в себе информацию относительно масштабирования метрики в пространстве-времени, хотя и, безусловно, в несколько неоднозначной форме [Б.7]. Мы можем провести интегрирование и получить параметр  $\tau$ , что дает

$$\Pi = d\tau; \quad -\operatorname{ctg} \tau = \Omega (\tau < 0); \quad \operatorname{tg} \tau = \omega (\tau \geq 0).$$

Отметим, что и в этом случае возникает затруднение с выбором знака, поскольку, хотя величина  $\Pi$  и нечувствительна к замене  $\Omega$  на  $\Omega^{-1}$  (или  $\omega$  на  $\omega^{-1}$ ), но при переходе от  $\Omega^{-1}$  к  $\omega$  происходит изменение знака. Мы можем считать, что знак конформного коэффициента просто не существенен, поскольку в перемасштабировании метрик  $\hat{g}_{ab} = \Omega^{-2}g_{ab}$  и  $\check{g}_{ab} = \omega^2g_{ab}$  участвуют лишь *квадраты* конформных коэффициентов  $\Omega$  и  $\omega$ , в результате чего выбор подходящего знака (положительный или отрицательный) для каждого из этих конформных коэффициентов является чисто условным. Однако, как отмечалось в приложении А, существует много других величин, при масштабных преобразованиях которых учитываются *не только* квадраты переменных  $\Omega$  (или  $\omega$ ). Особенно заметно это различие для масштабных изменений типа  $\hat{\Psi}_{ABCD} = \Psi_{ABCD}$  и  $\hat{\psi}_{ABCD} = \Omega^{-1}\Psi_{ABCD}$ , приводящих к уравнению

$$\Psi_{ABCD} = \Omega^{-1}\psi_{ABCD}, \quad \text{т. е. } \mathbf{C} = \Omega^{-1}\mathbf{K}$$

в пространстве  $\mathcal{C}^\wedge$ , поскольку в них участвует физическая метрика Эйнштейна  $\hat{g}_{ab}$ , для которой

$$\hat{\Psi}_{ABCD} = \hat{\psi}_{ABCD}, \quad \text{т. е. } \hat{\mathbf{C}} = \hat{\mathbf{K}}$$

(это условие отличается от того, которое вводилось в разделе 3.2, так как сейчас рассматриваются операторы с «шапочкой», как и полагается в уравнениях Эйнштейна). Рассматривая «гладкость» поведения таких величин при переходе через  $\mathcal{X}$  (с учетом изменения знаков  $\Omega$  и  $\omega$  при прохождении через  $\infty$  и  $0$  соответственно), мы должны тщательно проверять физический смысл изменения этих знаков.

В действительности обсуждаемая нами специфичная обратная пропорциональная зависимость величин  $\Omega$  и  $\omega$  определяется некоторым

ограничением на выбор масштабирования для метрики  $\mathbf{g}_{ab}$ , а именно — условием

$$R = 4\Lambda,$$

связанным с соотношением  $\hat{R} = 4\Lambda = \check{R} - 8\pi G\mu$  (см. приложение Б1). Такое масштабирование легко осуществить (по крайней мере, локально), просто выбрав новую локальную метрику  $\tilde{\mathbf{g}}_{ab}$  для  $\mathcal{C}$ :

$$\tilde{\mathbf{g}}_{ab} = \tilde{\Omega}^2 \mathbf{g}_{ab},$$

где  $\tilde{\Omega}$  является некоторым гладким решением  $\psi$ -уравнения на кроссовере. Эта  $\tilde{\mathbf{g}}$ -метрика, однако, не единственная из тех, которые можно рассматривать для кроссовера при каноническом подходе, поскольку существует множество возможных решений  $\tilde{\Omega}$  для избранного нами  $\psi$ -уравнения. Чуть позже мы определим некоторые другие требования, которым должна удовлетворять наша каноническая метрика  $\mathbf{g}_{ab}$ . Например, давайте просто предположим, что метрика  $\mathbf{g}_{ab}$  выбрана таким образом, что  $R = 4\Lambda$  (т. е. переобозначим метрику  $\tilde{\mathbf{g}}_{ab}$  новым выбором  $\mathbf{g}_{ab}$ ). Без ограничения в виде условия  $R = 4\Lambda$  обсуждаемая обратная пропорциональность между  $\Omega$  и  $\omega$  не может быть точной. Но для конформных коэффициентов  $\omega$ , ожидаемых в гипотезе Тода [Б.8] (см. конец разд. 2.6, а также разд. 3.1 и 3.2) для Большого взрыва с чисто радиационными источниками гравитации (типа решений Толмена, предлагаемых в разд. 3.3 и [Б.9]), возможно, что решения будут обратно *пропорциональны* для гладких продолжений коэффициента  $\Omega$  предыдущего зона. Выбор условия  $R = 4\Lambda$  для метрики  $\mathcal{C}$  на  $\mathcal{X}$  фиксирует пропорциональность знаку  $(-)$ 1 и иллюстрирует тот факт, что замечательное соотношение (возникшее при воздействии на  $\Pi_a$  оператором дивергенции  $\nabla^a$  и использовании  $\psi$ -уравнения для  $\Omega$ )

$$\Omega = \frac{\nabla^a \Pi_a}{\frac{2}{3}\Lambda - 2\Pi_b \Pi^b},$$

которое следует из описанного выше замещения на  $R$  и специфического выбора формы  $\Pi$  (а не из более общей формы  $d\Omega/(\Omega^2 - A)$ , например), зависит от того, что конформный коэффициент  $\Omega$  должен затем становиться отрицательным в виде  $\omega = -1/\Omega$ , а не в виде, например,  $-A/\Omega$ . Отметим, что на  $\mathcal{X}$  при  $\Omega = \infty$  мы должны иметь

$$\Pi_b \Pi^b = \frac{1}{3} \Lambda,$$

а нормальный к поверхности  $\mathcal{X}$  вектор должен быть также равен  $\Pi_a = \nabla_a \omega = N_a$  и иметь длину  $\sqrt{\Lambda/3}$ , как отмечалось ранее (P&R 9.6.17).

## Б7. Динамика перехода через $\mathcal{X}$

Возможно ли, что полученные нами динамические уравнения позволят обеспечить переход системы через  $\mathcal{X}$  по однозначному маршруту? Я предполагаю, что в отдаленном будущем предыдущего эона уравнения Эйнштейна сохраняют силу, а все источники являются безмассовыми и распространяются в соответствии с хорошо определенными, детерминистическими и конформно-инвариантными классическими моделями. Мы можем также предположить, что выполняются уравнения Максвелла и уравнения Янга–Миллса (для безмассовых частиц), а также соотношения типа Дирака–Вейля  $\nabla^{AA'} \phi_A = 0$  (уравнение Дирака в пределе частиц с нулевой массой), и некоторые из них действуют подобно калибровочным полям. Во всех случаях рассматриваются ситуации, когда нулевая масса покоя достигается в результате предельного перехода к нулю, в соответствии с материалом раздела 3.2. Связь этих систем с гравитационным полем выражается уравнением  $T_{ab} = T_{ab}[\Omega]$ , в котором  $\Omega$  представляет собой фантомное поле. Мы знаем, что значение  $T_{ab}[\Omega]$  должно быть конечным на  $\mathcal{X}$  (несмотря на то что значение  $\Omega$  становится бесконечным), поскольку  $T_{ab}$  должно само оставаться конечным на  $\mathcal{X}$ . Распространение полей, связанных с  $T_{ab}$ , также должно оставаться

конформно-инвариантным, вследствие чего исчезают проблемы, относящиеся к конкретному расположению  $\mathcal{X}$  в  $\mathcal{C}$ . Гипотеза теории КЦК состоит в том, что, поскольку ситуация становится более сложной из-за источников, обладающих массой частиц (обычных или связанных с механизмом Хиббса и т. п.), действие *тех же* конформно-инвариантных уравнений для источников вещества может быть продлено в область пост-Биг-бэнга  $\mathcal{C}^\vee$ . Однако далее будет показано, что даже в этой спорной ситуации мы не можем избежать проблемы возникновения источников частиц с не равной нулю массой покоя после пересечения поверхности  $\mathcal{X}$  (см. приложение B11).

### Б8. Конформно-инвариантный оператор $D_{ab}$

Для понимания физического смысла введения  $\mathcal{C}^\vee$  и роли уравнений Эйнштейна в этой области я предлагаю рассмотреть уравнение для  $T_{ab}[\Omega]$  в явном виде

$$T_{ab}[\Omega] = \frac{1}{4\pi G} \Omega^2 \left\{ \Omega \nabla_{A(A'} \nabla_{B')B} \Omega^{-1} + \Phi_{ABA'B'} \right\},$$

которое может быть переписано в виде (при  $\omega = -\Omega^{-1}$ )

$$\left\{ \nabla_{A(A'} \nabla_{B')B} + \Phi_{ABA'B'} \right\} \omega = 4\pi G \omega^3 T_{ab}[\Omega].$$

Это уравнение интересно тем, что в левой его части стоит оператор второго порядка

$$D_{ab} = \nabla_{A(A'} \nabla_{B')B} + \Phi_{ABA'B'},$$

который влияет на скалярную величину с конформным весом 1 (если при этом дополнительная симметрия по  $AB$  при действии оператора не важна, как это, например, происходит здесь для скаляров). Этот оператор раньше был определен в качестве так называемого конформного инвари-

анта Иствуда и Райса [Б.10]. В тензорных обозначениях (с учетом принятых ранее правил знаков  $R_{ab}$ ) мы имеем уравнение

$$D_{ab} = \nabla_a \nabla_b - \frac{1}{4} g_{ab} \square - \frac{1}{2} R_{ab} + \frac{1}{8} R g_{ab},$$

в котором величина  $\omega$  действительно имеет конформный вес 1, поскольку метрика  $g_{ab}$  затем преобразуется по правилу

$$g_{ab} \mapsto \tilde{g}_{ab} = \tilde{\Omega}^2 g_{ab}.$$

Используя определение  $\tilde{\omega}$  для метрики  $\tilde{g}$ , отражающее определение  $\omega$  для метрики  $g$

$$\tilde{g}_{ab} = \tilde{\omega}^2 \hat{g}_{ab} \quad \text{так же как и} \quad g_{ab} = \omega^2 \hat{g}_{ab},$$

находим

$$\omega \mapsto \tilde{\omega} = \tilde{\Omega} \omega,$$

(т. е. соответствие конформному весу). Таким образом, мы имеем соотношение

$$\tilde{D}_{ab} \tilde{\omega} = \tilde{\Omega} D_{ab} \omega,$$

позволяющее переписать условие конформной инвариантности в операторной форме:

$$\tilde{D}_{ab} \circ \tilde{\Omega} = \tilde{\Omega} \circ D_{ab}.$$

Уравнения Эйнштейна для  $\hat{g}$ -метрики (переписанные для метрики  $g$ ) преобразуются к виду

$$D_{ab} \omega = 4\pi G \omega^3 T_{ab},$$

из чего следует, что величина  $D_{ab} \omega$  должна исчезать *в третьем порядке* при переходе через  $\mathcal{R}$ ; когда (как и следует ожидать)  $T_{ab}$  остается

гладким при переходе  $\mathcal{D}$ . В частности, из того факта, что  $D_{ab}\omega = 0$  на  $\mathcal{D}$ , следует

$$\nabla_{A(A'}\nabla_{B')B}\omega \quad (= -\omega\Phi_{ABA'B'}) = 0 \text{ на } \mathcal{D}.$$

Мы можем переписать это в виде

$$\nabla_{(a}N_{b)} = \frac{1}{4}g_{ab}\nabla_c N^c \text{ на } \mathcal{D}$$

(с учетом  $N_c = \nabla_c\omega$ , как отмечалось в приложении Б4), из чего следует, что нормали к поверхности  $\mathcal{D}$  являются «бессдвиговыми» на  $\mathcal{D}$ , а это условие, в свою очередь, означает, что поверхность  $\mathcal{D}$  является, как говорят математики, омбилической в каждой из своих точек [Б.11].

## Б9. Сохранение положительности гравитационной константы

Возможно, мы лучше усвоим физическую интерпретацию положений теории КЦК, рассмотрев ее в рамках взаимодействия между полями безмассовых гравитационных источников (описываемых величинами  $T_{ab}$ ) и гравитационными полями (или «полями гравитонов»)  $\Psi_{ABCD}$ , относящимися к уравнению «с шапочкой» (P&R 4.10.12) приложения А5, переписанному с учетом условия  $\omega = -\Omega^{-1}$  в виде

$$\nabla_{B'}^A(-\omega\Psi_{ABCD}) = 4\pi G\nabla_B^{A'}\left((- \omega)^2 T_{CDA'B'}\right),$$

из которого можно получить эквивалентное уравнение «без шапочки»

$$\nabla_{B'}^A\Psi_{ABCD} = -4\pi G\left\{\omega\nabla_B^{A'}T_{CDA'B'} + 3N_B^{A'}T_{CDA'B'}\right\}.$$

Отметим, что данное уравнение остается хорошо определенным при гладком возрастании величины  $\omega$  через точку 0 (от отрицательных значений к положительным), и это показывает, что семейство дифференциальных уравнений в частных производных, которое определяет поведение всей системы при использовании  $g$ -метрики, не создает осложнений и при переходе через поверхность  $\mathcal{D}$  от  $\mathcal{C}^\wedge$  к  $\mathcal{C}^\vee$ .

Представим далее, что мы возвращаемся к описанию с использованием исходной  $\hat{g}$ -метрики при переходе к  $\mathcal{E}^\vee$ . В этом случае (независимо от исходного «сбоя» на  $\mathcal{A}$ ) описывающие эволюцию пространства-времени  $\mathcal{E}^\vee$  классические уравнения должны приводить к модельной картине Вселенной, коллапс которой происходит по обратной экспоненте («внутри» от бесконечности), так что процесс должен быть очень похож на обращенное во времени отдаленное будущее нашей собственной Вселенной. Важный момент этой интерпретации связан с тем, что при изменении знака  $\omega$  с отрицательного на положительный в приведенном ранее произведении  $G\omega$ , определяющем «эффективную гравитационную постоянную», изменяется доминирующая роль  $\omega$ , так что произведение *изменяет знак* при пересечении поверхности  $\mathcal{X}$  [Б.12]. Альтернативная интерпретация, предлагаемая теорией КЦК, состоит в следующем: из соображений физической совместимости с квантовой теорией поля и т. п. состояние с отрицательной гравитационной постоянной области ранней  $\mathcal{E}^\vee$  не может быть разумно обосновано для тех систем, в которых важны гравитационные взаимодействия. В рамках КЦК более приемлемым считается, что мы можем продвигаться в области  $\mathcal{E}^\vee$  вплоть до того момента, когда возникнет метрика  $g$  и положительный на данный момент времени конформный коэффициент  $\omega$  заменит отрицательный на данный момент времени  $\Omega$ , вследствие чего эффективная гравитационная постоянная вновь станет положительной.

### **Б.10. Исключение неинформативных степеней свободы**

На этом этапе рассмотрения в рамках теории КЦК возникает проблема *единственности* продолжения и развития в область  $\mathcal{E}^\vee$ , связанная с тем, что из-за произвольности выбора конформного коэффициента в системе могут возникать неинформативные («ложные») степени свободы, оказывающие нежелательное воздействие на неконформно инвариантную гравитационную динамику развития в области  $\mathcal{E}^\vee$ . Эти неинформативные степени свободы должны быть исключены, чтобы продвижение

через поверхность  $\mathcal{X}$  не зависело от дополнительных условий, которые не могут быть определены физически в области  $\mathcal{C}^\wedge$ . Неинформативные, так называемые калибровочные, степени свободы, обусловленные выбором  $\check{g}$ -метрики, можно выразить в виде некоторого конформного множителя  $\Omega$ , действующего на  $\mathfrak{g}_{ab}$  и создающего некую новую метрику  $\mathfrak{g}_{ab}$  (в соответствии с тем, что было показано ранее)

$$\mathfrak{g}_{ab} \longmapsto \tilde{\mathfrak{g}}_{ab} = \tilde{\Omega}^2 \mathfrak{g}_{ab},$$

в результате чего мы должны, в конечном счете, рассматривать преобразование

$$\omega \longmapsto \tilde{\omega} = \tilde{\Omega}\omega.$$

Предъявляемые до сих пор требования к величине  $\tilde{\Omega}$  сводились лишь к тому, что она должна представлять собой положительно определенное и гладко изменяющееся скалярное поле на  $\mathcal{C}$  (по крайней мере, на конечных локальных участках), удовлетворяющее  $\mathfrak{w}$ -уравнению для данной метрики  $\mathfrak{g}$ , причем возникновение этих требований обусловлено сохранением равенства скалярной кривизны  $\tilde{R}$  величине  $4\Lambda$ . При этом  $\mathfrak{w}$ -уравнение представляет собой обычное гиперболическое уравнение второго порядка, так что мы можем ожидать существования единственного решения для  $\tilde{\Omega}$  (в достаточно узком переходе на  $\mathcal{X}$ ), если и значение  $\tilde{\Omega}$ , и значение его *нормальной производной* будут получены в виде гладких функций на  $\mathcal{X}$ . Этого можно было добиться сразу, если бы мы знали, какие именно значения должны быть выбраны для однозначного определения метрики  $\mathfrak{g}$ . Соответственно, возникает вопрос: какие требования, предъявляемые к метрике  $\mathfrak{g}$  могут исключить возникновение неинформативных степеней свободы?

При этом, однако, понятно, что мы *не можем* наложить на  $\check{g}$ -метрику (возможно, совместно с  $\tilde{\omega}$ -полем) условие, чтобы она оставалась конформно-инвариантной для целого класса масштабных преобразований, при которых сохраняется упомянутое условие  $\tilde{R} = 4\Lambda$ . В качестве тривиаль-

ного примера укажу, что мы не можем в виде одного из условий потребовать, чтобы скалярная кривизна  $\tilde{R}$  для данной  $\tilde{g}$ -метрики принимала какое-либо значение, *отличное* от  $4\Lambda$ . А требование, чтобы оно *равнялось*  $4\Lambda$ , не является дополнительным условием для данного поля и поэтому не может быть использовано для дальнейшего ограничения возникающих в системе неинформативных степеней свободы. В более тонкой и сложной форме эти же рассуждения относятся к требованию, чтобы квадрат длины  $\tilde{g}_{ab}\tilde{N}^a\tilde{N}^b$  упомянутого вектора  $\tilde{N}^a = \nabla^a\tilde{\omega}$  к поверхности  $\mathcal{S}$  имел некоторое заданное значение (изменения положений нижних и верхних индексов осуществляются с использованием  $\tilde{g}$ -метрики). Если выбранное значение отлично от  $\Lambda/3$ , то (как показано ранее; см. P&R 9.6.17) условие не может быть удовлетворено, а если значение выбрано равным  $\Lambda/3$ , то условие не создает никаких ограничений для возникновения неинформативных степеней свободы.

Похожие проблемы возникают также при рассмотрении требования

$$\tilde{D}_{ab}\tilde{\omega} = 0,$$

которое не накладывает ограничений на выбор конформного множителя, поскольку обладает свойством конформной инвариантности (отмеченным выше)

$$\tilde{D}_{ab}\omega = \tilde{\Omega}D_{ab}\omega,$$

вследствие чего равенство  $\tilde{D}_{ab}\tilde{\omega} = 0$  эквивалентно  $D_{ab}\omega = 0$ . Условие типа  $\tilde{D}_{ab}\tilde{\omega} = 0$  не может быть предложено в любом случае, поскольку мы имеем дело с несколькими компонентами, и наше требование будет означать наложение *двух* условий на каждую точку пространства  $\mathcal{S}$  (подобно определению в каждой точке  $\mathcal{S}$  величины  $\tilde{\Omega}$  и ее нормальной производной). Более того, следует отметить, что (как уже говорилось выше) величина  $D_{ab}\omega$  *неизбежно* стремится к нулю в  $\mathcal{S}$  по третьему порядку малости, т. е.

$$\tilde{D}_{ab}\tilde{\omega} = O(\omega^3),$$

так как существует соотношение  $D_{ab}\omega = 4\pi G\omega^3 T_{ab}$ . Поэтому более разумным требованием представляется введение условия  $\tilde{N}^a \tilde{N}^b \tilde{\Phi}_{ab} = 0$  на  $\mathcal{D}$ , которое *может быть* записано в виде

$$\tilde{N}^a \tilde{N}^b \tilde{\Phi}_{ab} = O(\omega).$$

В действительности мы можем потребовать, чтобы эта величина стремилась к нулю на  $\mathcal{D}$  по *второму порядку* малости, т. е. считать

$$\tilde{N}^a \tilde{N}^b \tilde{\Phi}_{ab} = O(\omega^2),$$

что представляет собой более удобный вариант введения *двух* условий на каждой точке  $\mathcal{D}$ , обеспечивающих определение фиксированного  $\tilde{\Omega}$  и, следовательно, *g-метрики* по правилу  $\tilde{g}_{ab} = \tilde{\Omega}^2 g_{ab}$ . Из определения  $D_{ab}$  следует, что такие альтернативные условия эквивалентны введению требованиям

$$\tilde{N}^{AA'} \tilde{N}^{BB'} \tilde{\nabla}_{A(A'} \tilde{\nabla}_{B')B} \tilde{\omega} = O(\omega^2) \quad \text{или} \quad O(\omega^3).$$

В тензорных обозначениях два приведенных выражения принимают вид

$$\tilde{N}^a \tilde{N}^b \left( \frac{1}{8} \tilde{g}_{ab} - \frac{1}{2} \tilde{R}_{ab} \right) \quad \text{и} \quad \tilde{N}^a \tilde{N}^b \left( \tilde{\nabla}_a \tilde{\nabla}_b - \frac{1}{4} \tilde{g}_{ab} \square \right) \tilde{\omega},$$

где (опустив временно знаки тильды) введено обозначение

$$\nabla_{A(A'} \nabla_{B')B} = \nabla_a \nabla_b - \frac{1}{4} g_{ab} \square.$$

Отметим также, что при этом

$$\begin{aligned} N^{AA'} N^{BB'} \nabla_{A(A'} \nabla_{B')B} \omega &= N^a N^b \nabla_a \nabla_b \omega - \frac{1}{4} N_a N^a \square \omega = \\ &= N^a N^b \nabla_a N_b - \frac{1}{2} N_a N^a \left\{ \omega^{-1} \left( N^b N_b - \frac{1}{3} \Lambda \right) + \frac{1}{3} \Lambda \omega \right\}, \end{aligned}$$

и это заставляет предположить, что разумное альтернативное условие (или пара условий) могут иметь существенно более простой вид

$$N^a N^b \nabla_a N_b = O(\omega) \quad \text{или} \quad O(\omega^2)$$

по сравнению с введенным ранее условием, где предполагалось, что величина  $(N^b N_b - 1/3\Lambda)$  стремится к нулю в  $\mathcal{X}$  по второму или третьему порядку малости соответственно. Обратное, *если*  $(N^b N_b - 1/3\Lambda)$  стремится к нулю по второму или третьему порядку малости в  $\mathcal{X}$ , мы имеем

$$N^a N^b \nabla_a N_b = \frac{1}{2} N^a \nabla_a (N^b N_b) = \frac{1}{2} N^a \nabla_a \left( N^b N_b - \frac{1}{3} \Lambda \right) = 0$$

на  $\mathcal{X}$ , вследствие чего эти эквивалентные условия, в виде  $\tilde{N}^a \tilde{N}^b \tilde{\nabla}_a \tilde{N}_b = O(\omega)$  или  $\tilde{N}^b \tilde{N}_b - 1/3\Lambda = O(\omega^2)$ , могут рассматриваться в качестве альтернативного ограничения, накладываемого на величину  $\tilde{\Omega}$ . Отметим, что выражение  $\Omega = \nabla^a \Pi_a / (2/3\Lambda - 2\Pi_b \Pi^b)$ , данное в приложении Б6, требует существования некоторого полюса для  $\Omega$  на  $\mathcal{X}$ , поэтому если знаменатель стремится к нулю по второму порядку малости, то числитель  $\nabla^a \Pi_a$  должен стремиться к нулю по первому порядку. Разумной формой одного условия может считаться форма  $\tilde{\nabla}^a \tilde{\Pi}_a = O(\omega)$ , если мы вспомним, что  $\nabla_{(a} N_{b)} = 1/4 g_{ab} \nabla_c N^c$  на  $\mathcal{X}$  и, значит,  $4N^a N^b \nabla_a N_b - N_a N^a \nabla_c N^c = O(\omega)$  (см. приложение Б8).

В приложении Б11 будет показано, что тензор энергии  $\tilde{U}_{ab}$  для области  $\mathcal{E}^V$  должен, вследствие предложенных операций, обязательно обладать *следом*  $\mu$ , что свидетельствует о возникновении гравитационных источников частиц, обладающих массой покоя. Однако мы показали, что след тензора исчезает при соблюдении условия  $3\Pi^a \Pi_a = \Lambda$ . Можно считать, что общая философия теории КЦК лучше всего выполняется, если такие источники возникают при максимальном удалении по времени от момента большого взрыва. Соответственно, можно полагать, что условие

$$3\tilde{\Pi}^a \tilde{\Pi}_a - \Lambda = O(\omega^3)$$

позволяет получить в каждой точке  $\mathcal{X}$  два числа, необходимых для определения  $g$ -метрики. Ниже мы действительно покажем, что выражение

$$2\pi G\mu = \omega^{-4} (1 - \omega^2)^2 (3\Pi^a \Pi_a - \Lambda)$$

стремится к бесконечности на  $\mathcal{X}$  в тех случаях, когда стремление к нулю разности  $(3\tilde{\Pi}^a\Pi_a - \Lambda)$  происходит, по крайней мере, по четвертому порядку малости. Это не создает проблем, поскольку величина  $\mu$  входит только в  $\check{g}$ -метрику, для которой в области  $\mathcal{X}$  существует лишь одна сингулярность (большой взрыв), а во всех других точках стремящиеся к бесконечности значения кривизны доминируют в  $\mu$  при стремлении к нулю разности  $(3\tilde{\Pi}^a\Pi_a - \Lambda)$  по третьему порядку малости.

Таким образом, мы видим, что существует несколько альтернативных возможностей для наложения на одну точку области  $\mathcal{X}$  двух условий, требуемых для однозначного определения  $\tilde{\Omega}$  и, соответственно,  $g$ -метрики. К моменту написания этой книги я еще не пришел к окончательному выводу, какая из возможностей является наиболее подходящей (и какие из выдвигаемых условий остаются независимыми от других). Я лично отдаю предпочтение варианту, при котором разность  $(3\tilde{\Pi}^a\tilde{\Pi}_a - \Lambda)$  стремится к нулю по третьему порядку малости, как было описано выше.

### Б11. Материальный состав

Для понимания того, какую физическую реальность описывают наши уравнения в области пост-Биг-бэнг  $\mathcal{E}^\vee$ , нам следует переписать полученные соотношения для величин с обратной «шапочкой», используя метрику  $\check{g}_{ab} = \omega^2 g_{ab}$  с  $\Omega = \omega^{-1}$ . Как уже упоминалось, я буду обозначать тензор полной энергии для состояния пост-Биг-бэнг-области через  $U_{ab}$ , чтобы избежать путаницы с конформно-преобразованным тензором для вещества (из безмассовых частиц) при переходе к  $\mathcal{E}^\wedge$  от  $\mathcal{E}^\vee$ :

$$\check{T}_{ab} = \omega^{-2} T_{ab} = \omega^{-4} \hat{T}_{ab}.$$

Поскольку тензор  $\hat{T}_{ab}$  является бесследовым и бездивергентным, таким же должен оставаться тензор  $\check{T}_{ab}$  (если изменение масштаба осуществляется в соответствии с условиями приложения А8):

$$\check{T}^a_a = 0, \quad \nabla^a \check{T}_{ab} = 0.$$

Далее будет показано, что тензор полной энергии для пост-Биг-бэнг-состояния должен включать в себя две дополнительные бездивергентные компоненты, т. е. иметь вид

$$\check{U}_{ab} = \check{T}_{ab} + \check{V}_{ab} + \check{W}_{ab},$$

где член  $\check{V}_{ab}$  относится к безмассовому полю. Это поле теперь представляет собой фантомное поле  $\Omega$ , являющееся *в действительности* самосопряженным конформно-инвариантным полем с  $\check{g}$ -метрикой, поскольку величина  $\varpi = \Omega$  в настоящее время удовлетворяет  $\varpi$ -уравнению с  $\check{g}$ -метрикой

$$\left( \square + \frac{R}{6} \right) \varpi = \frac{2}{3} \Lambda \varpi^3,$$

так как  $\varpi$ -уравнение является конформно-инвариантным и удовлетворяется при подстановке  $\varpi = -1$  в эту  $g$ -метрику, превращая ее при операции  $\varpi = -\omega^{-1} = \Omega$  в  $\check{g}$ -метрику. Такой подход можно рассматривать как обратный к тому, что использовался выше для  $\mathcal{C}^\wedge$ , где мы вводили фантомное поле  $\Omega$ , представляющее собой некое решение  $\varpi$ -уравнения для  $g$ -метрики, и интерпретировали это просто в качестве масштабного коэффициента, возвращающего нас к физической  $\hat{g}$ -метрике Эйнштейна. В *такой* метрике фантомному полю соответствует просто величина 1, не имеющая независимого физического смысла. *Сейчас* мы можем рассматривать  $\Omega$  в качестве действительного физического поля для физической метрики Эйнштейна  $\check{g}_{ab}$  и интерпретировать эту величину как конформный множитель, что позволяет нам вернуться к  $g$ -метрике, в которой это поле должно равняться 1. В этой интерпретации особенно важно, что конформные коэффициенты  $\omega$  и  $\Omega$  обратно пропорциональны друг другу, хотя нам следует ввести и знак минус, благодаря чему реальное  $-\Omega$  после преобразования масштаба возвращает описание от метрики  $\check{g}_{ab}$  вновь к метрике  $g_{ab}$ . Такая обращенная интерпретация совместима с используемыми уравнениями, поскольку она относится к величине  $\Omega$ , а не к  $\omega$ , которая должна удовлетворять  $\varpi$ -уравнению для данной метрики.

Соответственно, тензор  $\nabla_{ab}$  представляет собой при этом рассмотрении тензор энергии для поля  $\Omega$  с  $\check{g}$ -метрикой в виде

$$\check{V}_{ab} = \check{T}_{ab}[\Omega].$$

Далее можно показать, что

$$\begin{aligned} 4\pi G \check{T}_{ab}[\Omega] &= \Omega^2 \left\{ \Omega \nabla_{A(A'} \nabla_{B')B} \Omega^{-1} + \Phi_{ABA'B'} \right\} = \\ &= \Omega^3 D_{ab} \Omega^{-1} = \omega^{-3} D_{ab} \omega = \omega^{-2} D_{ab} 1 = \omega^{-2} \Phi_{ABA'B'}. \end{aligned}$$

Отметим, что свойства бесследовости и дивергентности могут быть записаны следующим образом:

$$\check{V}_a^a = 0, \quad \nabla^a \check{V}_{ab} = 0.$$

Важно подчеркнуть, что эти уравнения выполняются по  $\omega$  в  $g$ -метрике *не* для самого  $\omega$ -уравнения (как это имело место для  $\Omega$ ), а для величины, *обратно пропорциональной*  $\omega$  (и умноженной на  $-1$ ), т. е. для уравнения

$$\left( \square + \frac{R}{6} \right) \omega^{-1} = \frac{2}{3} \Lambda \omega^{-3},$$

где

$$\square \omega = 2\omega^{-1} \nabla^a \omega \nabla_a \omega + \frac{2}{3} \Lambda \{ \omega - \omega^{-1} \}.$$

Соответственно, скалярная кривизна такой  $\check{g}$ -метрики *не должна* обязательно равняться  $4\Lambda$ , вместо чего (см. приложения Б2, Р&Р 6.8.25, А4) мы имеем соотношение

$$\check{R} = 4\Lambda + 8\pi G\mu,$$

в котором

$$\omega^2 \check{R} - R = 6\omega^{-1} \square \omega.$$

В результате получаем выражение

$$\omega^2 (4\Lambda + 8\pi G\mu) - 4\Lambda = 6\omega^{-1} \left\{ 2\omega^{-1} \left( \nabla^a \omega \nabla_a \omega - \frac{1}{3} \Lambda \right) + \frac{2}{3} \Lambda \omega \right\},$$

из которого можно вывести (см. Б6)

$$\begin{aligned} \mu &= \frac{1}{2\pi G} \omega^{-4} (1 - \omega^2)^2 (3\Pi^a \Pi_a - \Lambda) = \frac{1}{2\pi G} \left\{ 3\nabla^a \Omega \nabla_a \Omega - \Lambda (\Omega^2 - 1)^2 \right\} = \\ &= \frac{1}{2\pi G} (\Omega^2 - 1)^2 (3\Pi^a \Pi_a - \Lambda). \end{aligned}$$

Тензор полной энергии  $\check{U}_{ab}$  должен удовлетворять уравнению Эйнштейна, а значит, мы приходим (с учетом  $R = 4\Lambda + 8\pi G\mu$ ) к уравнению

$$4\pi G \check{T}_{(AB)(A'B')} = \Phi_{ABA'B'}.$$

Поскольку и  $\check{T}_{ab}$ , и  $\check{V}_{ab}$  являются бесследовыми, необходимо рассмотреть только величину  $\check{W}_{ab}$ , что дает

$$\check{U}_a^a = \check{W}_a^a = \mu = \frac{1}{2\pi G} (3\Pi^a \Pi_a - \Lambda) (\Omega^2 - 1)^2.$$

Объединяя приведенные выше уравнения для  $\check{U}_a^a$ ,  $\check{T}_{ab}$  и  $\check{V}_{ab}$ , можно вычислить значение  $\check{W}_{ab}$  из соотношения

$$4\pi G \check{W}_{ab} = 4\pi G \left( \check{U}_{ab} - \check{T}_{ab} - \check{V}_{ab} \right)$$

и получить окончательное выражение для  $4\pi G \check{W}_{ab}$  в виде

$$\begin{aligned} &\frac{1}{2} (3\Pi^a \Pi_a + \Lambda) (\Omega^2 - 1)^2 \check{g}_{ab} + (2\Omega^2 + 1) \Omega \nabla_{A(A'} \nabla_{B')B} \Omega - \\ &- 2(3\Omega^2 + 1) \nabla_{A(A'} \Omega \nabla_{B')B} \Omega - \Omega^4 \Phi_{ab}, \end{aligned}$$

которое может быть подвергнуто дальнейшему анализу и интерпретации.

## Б12. Гравитационное излучение на $\mathcal{X}$

Характерной особенностью бесконечного конформного преобразования метрики при переходе от  $\mathcal{C}^\wedge$  (с метрикой  $\hat{g}_{ab}$ ) к  $\mathcal{C}^\vee$  (с метрикой  $\check{g}_{ab}$ ) через поверхность  $\mathcal{X}$  (с метрикой  $g_{ab}$ ) выступает тот факт, что гравитационные степени свободы, первоначально представленные и описываемые в  $\hat{g}$ -метрике функцией  $\Psi_{ABCD}$  (обычно не равной нулю на  $\mathcal{X}$ ), превращаются в другие величины при использовании  $\check{g}$ -метрики. Несмотря на то что (см. А9, P&R 6.8.4) функция

$$\hat{\Psi}_{ABCD} = \Psi_{ABCD} = \check{\Psi}_{ABCD} = O(\omega)$$

гладко меняется при переходе через  $\mathcal{X}$ ,  $\Psi_{ABCD}$ , описывающая «гравитационное поле», прерывается при этом переходе. Далее величина  $\Psi_{ABCD}$  используется для области  $\mathcal{C}^\vee$  до поверхности кроссовера или гладко продолжающейся в  $\mathcal{C}^\vee$ . Но истинная величина гравитационного поля в области  $\mathcal{C}^\vee$  меняет знак на  $\mathcal{X}$  (с заданной метрикой  $g_{ab}$ ), и поскольку если мы определяем  $*\Psi_{ABCD}$  для описания действительного поля, проходящего через кроссовер, то

$$*\Psi_{ABCD} = -\omega \Psi_{ABCD} = \omega^2 \Psi_{ABCD}$$

в  $\mathcal{C}^\vee$ . Из этого следует, что

$$*\Psi_{ABCD} = O(\omega^2),$$

вследствие чего гравитационное излучение при большом взрыве было очень сильно подавлено.

Однако связанные с гравитационным излучением степени свободы, описываемые функцией  $\Psi_{ABCD}$  в области  $\mathcal{C}^\wedge$ , могут оказывать воздействие на ранние стадии развития в области  $\mathcal{C}^\vee$ , что легко показать, получив после дифференцирования формулы

$$\Psi_{ABCD} = -\omega \Psi_{ABCD}$$

соотношение

$$\nabla_{EE'}\Psi_{ABCD} = -\nabla_{EE'}(\omega\Psi_{ABCD}) = -N_{EE'}\Psi_{ABCD} - \omega\nabla_{EE'}\Psi_{ABCD},$$

демонстрирующее, что после исчезновения кривизны Вейля на поверхности  $\mathcal{X}$  ее нормальная производная создает меру для оценки уровня гравитационного излучения (числа свободных гравитонов) на  $\mathcal{S}^+$

$$\Psi_{ABCD} = 0, \quad N^e\nabla_e\Psi_{ABCD} = -N^e N_e\Psi_{ABCD} = -\frac{1}{3}\Lambda\Psi_{ABCD} \text{ на } \mathcal{X}.$$

Кроме того, из тождеств Бианки (см. А5, P&R 4.10.7, 4.10.8) следует:

$$\nabla_{B'}^A\Psi_{ABCD} = \nabla_B^{A'}\Phi_{CDA'B'} \quad \text{и} \quad \nabla^{CA'}\Phi_{CDA'B'} = 0,$$

откуда

$$\nabla_B^{A'}\Phi_{CDA'B'} = -N_B^A\Psi_{ABCD} \text{ на } \mathcal{X},$$

из чего следует уравнение

$$N^{BB'}\nabla_B^{A'}\Phi_{CDA'B'} = 0 \text{ на } \mathcal{X}.$$

Входящий в него оператор

$$N^{B(B'}\nabla_B^{A')}$$

действует тангенциально (по касательной) вдоль поверхности  $\mathcal{X}$  (поскольку  $N^{B(B'}N_B^{A')} = 0$ ), в результате чего уравнение представляет собой ограничение на поведение  $\Phi_{CDA'B'}$  вдоль поверхности  $\mathcal{X}$ . Отметим также, что справедливо условие

$$N_A^C\nabla_A^{D'}\Phi_{BCB'D'} = -N_A^C N_{B'}^D\Psi_{ABCD},$$

из которого следует, что *электрическая часть* (составляющая) нормальной производной тензора Вейля на поверхности  $\mathcal{D}$  равна

$$N_{A'}^C N_{B'}^D \Psi_{ABCD} + N_{A'}^C N_{B'}^{D'} \bar{\Psi}_{A'B'C'D'}$$

от основного значения

$$N^a \nabla_{[b} \Phi_{c]d} \text{ на } \mathcal{D};$$

в то время как *магнитная часть* равна

$$i N_{A'}^C N_{B'}^{D'} \Psi_{ABCD} - i N_{A'}^C N_{B'}^{D'} \bar{\Psi}_{A'B'C'D'}$$

от основного значения

$$\varepsilon^{abcd} N_a \nabla_{[b} \Phi_{c]e} \text{ на } \mathcal{D};$$

где  $\varepsilon^{abcd}$  представляет собой так называемый кососимметричный, или асимметричный, тензор Леви-Чивита, являющийся тензором Коттона(-Йорка), который описывает внутреннюю конформную кривизну области  $\mathcal{D}$  [Б.13].

# Примечания

## К главе 1

- 1.1. Теория Гамильтона позволяет объединить в единое целое все обычные концепции классической физики и обеспечить их связь с квантовой механикой. См. предыдущую книгу автора R. Penrose (2004). *The Road to Reality*. Random House, гл. 20.
- 1.2. Формула Планка имеет вид  $E = h\nu$ . Пояснения символов приводятся в примечании 2.18.
- 1.3. См. книгу Erwin Schrödinger (1950). *Statistical thermodynamics. Second edition*. Cambridge University Press.
- 1.4. Термин «произведение пространств» совместим с представлением об умножении обычных целых чисел, вследствие чего произведение  $m$ -мерного пространства на  $n$ -мерное дает  $mn$ -мерное пространство.
- 1.5. В 1803 году математик Лазар Карно опубликовал книгу *Fundamental principles of equilibrium and movement*, в которой отметил потерю «импульса активности», связанную с совершением полезной работы. Это считается первым в истории науки зарегистрированным утверждением, относящимся к концепции преобразования энергии или энтропии. Позднее Сади Карно постулировал, что при механической работе «всегда теряется некоторое количество теплоты». В 1854 году Клаузиус предложил различать два типа работы: внутреннюю (при которой «атомы тела взаимодействуют друг с другом») и внешнюю («возникающую при взаимодействии тела с другими телами»).
- 1.6. См. книгу Claude E. Shannon, Warren Weaver (1949). *The mathematical theory of communication*. University of Illinois Press.

- 1.7. Проблема, связанная с макроскопической неразличимостью, не может быть сведена к математической транзитивности (состояния  $A$  и  $B$  являются неразличимыми, и одновременно являются неразличимыми состояниями  $B$  и  $C$ ), но состояния  $A$  и  $C$  при этом остаются различимыми).
- 1.8. Понятие спина атомного ядра требует некоторого разъяснения в рамках квантовой механики, однако в качестве простой физической иллюстрации читатель может представить себе, что ядро как-то «вращается» вокруг некоторой оси, подобно обычному спортивному мячу. Полное значение такого спина складывается частично из индивидуальных спинов входящих в это ядро протонов и нейтронов, а частично — из их орбитального движения относительно друг друга.
- 1.9. См. работу E. L. Hahn (1950). *Spin echoes*. Physical Review, 80, 580–94.
- 1.10. J. P. Heller (1960). *An unmixing demonstration*. Am. J. Phys, 28, 348–53.
- 1.11. Однако следует учитывать, что при рассмотрении черных дыр использование концепции энтропии потребует некоторой степени реальной объективности (эта проблема затрагивается в разделах 2.6 и 3.4).

## К главе 2

- 2.1. Время от времени в литературе появляются другие возможные интерпретации самого факта красного смещения, например существует весьма популярная версия «усталости света», в соответствии с которой фотоны просто «теряют энергию» при движении. В еще одном объяснении предполагается, что время в прошлом течет

медленнее. Такие схемы обычно оказываются либо несовместимыми с хорошо обоснованными результатами наблюдений и общими принципами, либо «бесполезными» в том смысле, что они не могут быть разумно переформулированы таким образом, чтобы представлять *эквивалент* принятой в космологии картине расширяющейся Вселенной с сохранением обычных определений пространства и времени.

- 2.2. См. работы A. Blanchard, M. Douspis, M. Rowan-Robinson, and S. Sarkar (2003). *An alternative to the cosmological «concordance model»*. *Astronomy & Astrophysics*, 412, 35–44. arXiv:astro-ph/0304237. v. 27, Jul, 2003.
- 2.3. Термин «Биг-бэнг» для обозначения Большого взрыва впервые использовал 28 марта 1949 года известный астроном Фред Хойл в радиопередаче студии BBC. Он был ярким сторонником теории стационарной Вселенной (см. разд. 2.2) и использовал новый термин в издевательском и уничижительном смысле. В данной книге, рассказывая об этом удивительном и особом событии (произошедшем примерно  $1,37 \cdot 10^{10}$  лет назад), я пишу его название с заглавной буквы — «Большой взрыв», однако, когда речь идет о похожих (рассматриваемых в качестве реальных или теоретически предполагаемых) событиях, я пишу просто «большой взрыв» без заглавной буквы.
- 2.4. Темная материя, конечно, не является по-настоящему «темной» (подобно тому, как отчетливо видимыми являются обширные участки темной пыли в космическом пространстве), так что ее следовало бы скорее называть *невидимой* материей. Более того, то, что мы называем темной материей, совершенно не похоже на обычную материю, в которой отдельные элементы вещества (в соответствии с формулой Эйнштейна  $E = mc^2$ ) *притягиваются друг к другу*. В темной материи этому соответствует эффект *отталкивания*, для учета которого и вводится новая, совершенно отличная от обычной энергии величина, называемая комологической посто-

янной. Впервые ее ввел в уравнения Эйнштейн в 1917 году, а затем она стала учитываться практически во всех космологических моделях. Эта постоянная действительно должна представлять собой некую константу и (в отличие от энергии) не обладать независимыми степенями свободы.

- 2.5. См. работу Halton Arp и 33 других автора. *An open letter to the scientific community*. New Scientist, May 22, 2004.
- 2.6. Пульсар представляет собой нейтронную звезду — необычно плотный космический объект (с диаметром около 10 км и массой, превышающей массу Солнца), обладающий исключительно сильным магнитным полем и высокой скоростью вращения. Эти объекты с очень высокой периодичностью и точностью испускают импульсы электромагнитного излучения, регистрируемые на Земле.
- 2.7. Удивительно, но сам Фридман не рассмотрел в явной форме простейшую модель с равной нулю пространственной кривизной (работа *Zeitschrift fur Physik*, 21, 326–32).
- 2.8. Это не относится к топологической идентификации, не связанной с рассматриваемыми нами вопросами.
- 2.9. В обоих случаях ( $K = 0$  и  $K < 0$ ) отсутствуют топологически замкнутые версии моделей (получаемые идентификацией в пространственной геометрии некоторых удаленных друг от друга точек), при которых пространственная геометрия становится конечной. Но во всех случаях общая изотропность пространства не сохраняется.
- 2.10. Сверхновая представляет собой исключительно мощный взрыв «умирающей» звезды (превосходящей по массе наше Солнце), сопровождающийся поразительной яркостью, затмевающей все окружение (см. разд. 2.4).
- 2.11. См. работы: S. Perlmutter et al. (1999). *Astrophysical J.*, 517 565; A. Reiss et al. (1998), *Astronomical J.*, 116 1009.

- 2.12. См. работы: Eugenio Beltrami (1868). *Saggio di interpretazione della geometria non-euclidea*, *Giornale di Mathematiche*, VI, 285–315; Eugenio Beltrami (1868). *Teoria fondamentale degli spazii di curvatura costante*. *Annali Di Mat.*, ser. II, 2, 232–55.
- 2.13. См. работы: H. Bondi, T. Gold (1948). *The steady-state theory of the expanding universe*, *Monthly Notices of the Royal Astronomical Society*, 108, 252–70; Fred Hoyle (1948). *A new model for the expanding universe*. *Monthly Notices of the Royal Astronomical Society*, 108, 372–82.
- 2.14. В физике я очень многим обязан моему близкому другу Деннису Скиаме, который был приверженцем модели стационарной Вселенной. Кроме этого, в молодости мне посчастливилось присутствовать на прекрасных лекциях, которые читали Бонди и Дирак.
- 2.15. См. работу R. Shakeshaft, M. Ryle, J. E. Baldwin, B. Elsmore, J. H. Thomson (1955). *Mem RAS*, 67, 106–54.
- 2.16. В фундаментальной физике давно принято измерять температуру в градусах Кельвина (обозначаемых просто буквой К), соответствующих числу обычных градусов Цельсия выше точки так называемого абсолютного нуля.
- 2.17. Для обозначения фонового реликтового излучения используется много других аббревиатур (в английском, например, CMBR, CBR, MBR и т. п.).
- 2.18. Формула Планка для излучения черного тела при заданной температуре  $T$  и частоте  $\nu$  имеет следующий вид:  $2h\nu^3/(e^{h\nu/(kT)} - 1)$ , где  $h$  и  $k$  — постоянные Планка и Больцмана соответственно.
- 2.19. См. книгу R.C. Tolman (1934). *Relativity, thermodynamics, and cosmology*. Clarendon Press.
- 2.20. В системе координат, связанной с излучением СМВ, скорость нашей локальной группы галактик (галактический кластер, включающий

Солнце и вообще Галактику Млечный Путь) составляет примерно 630 км/с. А. Kogut et al. (1993). *Astrophysical J.*, 419, 1.

- 2.21. См. книгу Н. Bondi (1952). *Cosmology*. Cambridge University Press.
- 2.22. Удивительным исключением кажутся обнаруженные недавно на дне океана так называемые вулканические трубки, в окрестности которых часто наблюдается развитие необычных форм флоры и фауны. Вулканическую активность связывают с разогревом Земли радиоактивными веществами, которые первоначально образовались когда-то очень давно внутри далеких звезд, а затем были выброшены в космическое пространство в результате взрыва сверхновой и попали в состав нашей Солнечной системы. При таких ситуациях, конечно, «низкоэнтропийное» воздействие Солнца теряет значение, однако это не меняет общего хода рассуждений.
- 2.23. Незначительные поправки к этому уравнению могут быть внесены, с одной стороны, из-за учета небольшого по величине радиоактивного разогрева (см. предыдущее примечание), а с другой — из-за сжигания больших количеств ископаемого топлива и глобального потепления планеты.
- 2.24. Эта общая точка зрения впервые была сформулирована, по-видимому, в знаменитой книге Эрвина Шредингера *What is life?* (1944).
- 2.25. См. книгу R. Penrose (1989). *The emperor's new mind: concerning, computers, minds, and the laws of physics*. Oxford University Press.
- 2.26. Практически всегда для обозначения таких конусов используется термин «световой конус», однако я предпочитаю сохранять термин «световой конус» именно за *локусом* (т. е. за геометрическим местом всех точек) пространства-времени, «ометаемого» световыми лучами, возникшими в точке события  $p$ . Впрочем используемый в указанном смысле *нуль-конус* представляет собой некую структуру, определенную именно для пространства, *касательного* к точке  $p$  (т. е. *инифинитезимального* в  $p$ ).

- 2.27. Для пояснения смысла использования геометрии Минковского в данной ситуации мы можем выбрать некоторую произвольную систему для неподвижного наблюдателя и обозначить пространственное положение события обычными декартовыми координатами  $(x, y, z)$ , а также ввести координату времени  $t$  для этого наблюдателя. Подобрав масштабы пространства и времени так, чтобы выполнялось условие  $c = 1$ , мы обнаружим, что для нуль-конусов справедливо соотношение  $dt^2 - dx^2 - dy^2 - dz^2 = 0$ , а для световых конусов в начале координат (см. примечание 2.26) выполняется равенство  $t^2 - x^2 - y^2 - z^2 = 0$ .
- 2.28. В используемых ниже понятиях, связанных с массой (безмассовый, массивный, обладающий массой), термин *масса* совпадает с обычной *массой покоя* (я вернусь к рассмотрению этой проблемы в разделе 3.1).
- 2.29. В разделе 3.1 я напоминал, что обычные динамические уравнения обратимы во времени, вследствие чего при рассмотрении динамического поведения (управляющего движением субмикронных компонентов рассматриваемых физических систем) мы вправе полагать, что причинно-следственные связи могут распространяться из будущего в прошлое. При этом стоит отметить, что само понятие причинности продолжает использоваться в соответствии с обычной терминологией.
- 2.30. По определению, длина есть  $\int \sqrt{g_{ij} dx^i dx^j}$ . См. рис. 14.20 в книге R. Penrose (2004). *The Road to Reality*. Random House, p. 318.
- 2.31. См. книгу J. L. Synge (1956). *Relativity: the general theory*. North Holland Publishing.
- 2.32. Именно существование такой естественной метрики фактически полностью разрушает на первый взгляд глубокий анализ, осуществленный Пуанкаре, который доказывал, что геометрия пространства представляет собой главным образом некую условность, и поэтому

евклидова геометрия (будучи простейшей) всегда должна быть «наилучшей» для использования в физике! См. известную книгу Пуанкаре *Science and Method* (1914).

- 2.33. Энергия покоя частицы описывается в собственной системе покоя, вследствие чего в нее не входит вклад от энергии *движения* самой частицы (*кинетической энергии*).
- 2.34. «Скоростью убегания» называют скорость, которую должен приобрести объект на поверхности гравитационно притягивающего его тела для того, чтобы он мог полностью покинуть притягивающее тело и уйти от поверхности в пространство.
- 2.35. Этим объектом был квазар 3C273.
- 2.36. См. в приложении работу R. Penrose (1965). *Zero rest-mass fields including gravitation: asymptotic behavior*. Proc. Roy. Soc. A284, 159–203. Обсуждение этой проблемы еще не закончилось.
- 2.37. Некоторые необычные обстоятельства, связанные с этими системами, я рассмотрел в моей книге 1989 года *The emperor's new mind*. Oxford University Press.
- 2.38. Существование «захваченной поверхности» является примером того, что сейчас принято называть «квазилокальным» условием. В этом случае мы допускаем существование замкнутой пространственноподобной топологической 2-поверхности (нормально, топологической 2-сферы), для которой все направленные в будущее нуль-нормали сходятся в будущем. Внутри любого такого пространства-времени должны существовать локальные участки (образно говоря, «заплаты») пространственноподобных 2-поверхностей, нормали к которым обладают данным свойством, так что приведенное условие нельзя считать только локальным. Однако захваченные поверхности возникают только в тех случаях, когда такие участки могут быть как-то связаны (в виде поверхности, обладающей *компактной* топологией).

- 2.39. См. следующие работы: R. Penrose (1965). *Gravitational collapse and space-time singularities*, Phys. Rev. Lett. 14, 57–9; R. Penrose (1968). *Structure of space-time* в сборнике *Batelle Rencontres* (ed. C. M. DeWitt, J. A. Wheeler). Benjamin, New York.
- 2.40. Единственное требование, которому должно удовлетворять несингулярное пространство-время в данном контексте, заключается в том, что «сингулярность» нужно предотвратить (это условие называют завершенностью нуль-нормалей в будущем). Оно сводится к тому, что каждая нулевая геодезическая линия может быть продлена в будущее до неопределенно больших значений своего так называемого аффинного параметра. См. книгу S. W. Hawking, R. Penrose (1996). *The nature of space and time*. Princeton University Press.
- 2.41. См. работу R. Penrose (1994). *The question of cosmic censorship* в сборнике *Black holes and relativistic stars* (ed. R. M. Wald). University of Chicago Press.
- 2.42. См. работу R. Narayan, J. S. Heyl (2002). *On the lack of type I X-ray bursts in black hole X-ray binaries: evidence for the event horizon?* Astrophysical J., 574, 139–42.
- 2.43. Идея о *строгих* конформных диаграммах была впервые формально предложена Бренденом Картером в 1966 году вслед за более упрощенными схематическими конформными диаграммами, которые он систематически использовал начиная с 1962 года. См. также работы: R. Penrose (1962, 1964, 1965); B. Carter (1966). *Complete analytic extension of the symmetry axis of Kerr's solution of Einstein's equations*, Phys. Rev., 141, 1242–7; R. Penrose (1962). *The light cone at infinity* в сборнике *Proceedings of the 1962 conference on relativistic theories of gravitation*. Warsaw, Polish Academy of Sciences; R. Penrose (1964). *Conformal approach to infinity* в сборнике *Relativity, groups and topology. The 1963 Les Houches Lectures* (ed. B. S. DeWitt, C. M. DeWitt). Gordon and Breach, New York;

- R. Penrose (1965). *Gravitational collapse and space-time singularities*. Phys. Rev. Lett., 14, 57–9.
- 2.44. Польское слово *skraj* по произношению случайно совпадает с английским *scri*, означающим границу (обычно в смысле «край леса»).
- 2.45. В модели стационарной Вселенной астронавт, свободно движущийся по такой орбите, будет продолжать смещаться «внутрь», сталкиваясь с окружающим веществом при все более высокой скорости, до тех пор, пока (за конечное время восприятия астронавта) его скорость не станет равной скорости света, а импульс не возрастет до бесконечности.
- 2.46. См. работы: J. L. Synge (1950), Proc. Roy. Irish Acad., 53A, 83; M. D. Kruskal (1960). *Maximal extension of Schwarzschild metric*. Phys. Rev., 119, 1743–5; G. Szekeres (1960). *On the singularities of a Riemannian manifold*, Publ. Mat. Debrecen, 7, 285–301; C. Fronsdal (1959). *Completion and embedding of the Schwarzschild solution*. Phys. Rev., 116, 778–81.
- 2.47. См. работу S. W. Hawking (1974). *Black hole explosions?* Nature, 248, 30.
- 2.48. Представления о космологических горизонтах событий и горизонтах частиц впервые были сформулированы Вольфгангом Риндлером в работе 1956 года *Visual horizons in world-models*. *Monthly Notices of the Roy. Astronom. Soc.*, 116, 662. Возможность связи этих понятий со (схематическими) конформными диаграммами была впервые указана в моей работе: R. Penrose (1967). *Cosmological boundary conditions for zero rest-mass fields* в сборнике *The nature of time* (pp. 42–54) (ed. T. Gold). Cornell University Press.
- 2.49. В том смысле, что  $\mathcal{C}^-(p)$  представляет собой (будущую) границу множества всех тех точек, которые могут быть связаны с событием  $p$  направленными в будущее причинно-следственными кривыми.

- 2.50. Вслед за упомянутой в разделе 2.4 моей работой (см. ссылку на публикацию 1965 года в примечании 2.36), где я доказал неизбежность возникновения сингулярностей при локальном гравитационном коллапсе, Стивен Хокинг опубликовал серию работ по этой проблеме, включая несколько статей в *Proceedings of the Royal Society* и книгу S. W. Hawking, G. F. R. Ellis, 1973. *The large-scale structure of space-time*. Cambridge University Press. В этих публикациях было показано, что похожие результаты могут быть получены и в иной форме, придающей этим результатам смысл в более широком космологическом контексте. В 1970 году мы с Хокингом объединились и предложили общую теорему, относящуюся ко всем рассматриваемым ситуациям. См. работу S. W. Hawking, R. Penrose (1970). *The singularities of gravitational collapse and cosmology*, Proc. Roy. Soc. Lond, A314, 529–48.
- 2.51. Впервые я предложил эти доводы еще в работе 1990 года: R. Penrose (1990), *Difficulties with inflationary cosmology*, опубликованной в сборнике *Proceedings of the 14th Texas symposium on relativistic astrophysics* (ed. E. Fennes). New York Academy of Science. Никакого ответа от сторонников инфляционной теории я до сих пор не получил.
- 2.52. Д. Ирдли в работе D. Eardley. *Death of white holes in the early universe*. Phys. Rev. Lett., 33, 442–4 (1974) доказал, что белые дыры в ранней Вселенной должны быть очень *нестабильными*, однако это обстоятельство не исключает возможности их присутствия в качестве составной части в начальном состоянии. Это полностью согласуется с предлагаемой мною концепцией, так как белые дыры могут исчезать с различной скоростью в обратном направлении времени, как бы формируя при этом с различной скоростью черные дыры.
- 2.53. Предлагаю для сравнения рассмотреть также результаты работ: A. Strominger, C. Vafa (1996). *Microscopic origin of the Bekenstein-*

*Hawking entropy*. Phys. Lett., B379, 99–104; A. Ashtekar, M. Bojowald, J. Lewandowski (2003). *Mathematical structure of loop quantum cosmology*, Adv. Theor. Math. Phys., 7, 233–68; K. Thorne (1986). *Black holes: the membrane paradigm*. Yale University Press.

- 2.54. Где-то выше в тексте я пользовался этой формулой с числом 123 (а не 124!) в показателе второй экспоненты, но здесь я специально «увеличиваю» показатель до 124, чтобы подчеркнуть учет вклада от темной материи.
- 2.55. Разделив  $10^{10^{124}}$  на  $10^{10^{89}}$ , мы получим довольно близкое значение  $10^{10^{124} - 10^{89}} = 10^{10^{124}}$
- 2.56. См. работу R. Penrose (1998). *The question of cosmic censorship* в сборнике *Black holes and relativistic stars* (ed. R.M. Wald). University of Chicago Press (Reprinted J. Astrophys., 20, 233–48, 1999).
- 2.57. См. приложение А3, посвященное тензору Риччи.
- 2.58. Я использую условные обозначения, приведенные в приложении А.
- 2.59. При этом, однако, возможно проявление дополнительных нелинейных эффектов (обусловленных тем, что воздействия различных «гравитационных линз» по пути светового луча могут складываться с разными знаками), но я пренебрегаю этим обстоятельством.
- 2.60. См. работу A. O. Petters, H. Levine, J. Wambsganns (2001). *Singularity theory and gravitational lensing*. Birkhauser.
- 2.61. См. работы: R. Penrose (1979). *Singularities and time-asymmetry* в сборнике S. W. Hawking, W. Israel, *General relativity: an Einstein centenary survey*. Cambridge University Press, pp. 581–638; S. W. Goode, J. Wainwright (1985). *Isotropic singularities in cosmological models*. Class. Quantum Grav., 2, 99–115; R. P. A. C. Newman (1993). *On the structure of conformal singularities in classical general*

*relativity*. Proc. R. Soc. Lond. A443, 473–49; K. Anguige and K. P. Tod (1999). *Isotropic cosmological singularities I. Polytropic perfect fluid spacetimes*. Ann. Phys. N.Y., 276, 257–93.

### К главе 3

- 3.1. См. работу: A. Zee (2003). *Quantum field theory in a nutshell*. Princeton University Press.
- 3.2. Существуют серьезные доводы (связанные с сохранением электрического заряда) в пользу того, что фотоны действительно являются безмассовыми частицами в строгом смысле этого понятия. В соответствии с имеющимися экспериментальными данными верхний предел массы фотона равен  $m < 3 \cdot 10^{-27}$  эВ. См. работу Г. В. Чибисов. *Астрофизические верхние пределы на массу покоя фотона*. Успехи физических наук, 119, 3, 19, 624.
- 3.3. Специалисты в области физики элементарных частиц часто пользуются термином «конформная инвариантность», но применяют его в гораздо более «мягкой» форме. В частности, они обычно ограничиваются требованием, чтобы величина  $\Omega$  (в преобразовании  $g \rightarrow \Omega^2 g$ ) оставалась *постоянной*.
- 3.4. Однако существует еще одна проблема (так называемая конформная аномалия), связанная с тем, что симметрия классических полей (которые характеризуются строгой конформной инвариантностью) не может определяться абсолютно точно в контексте квантовой механики. Это обстоятельство не относится к рассматриваемым нами системам с очень высокой энергией, но может играть важную роль в системах, где квантовая инвариантность «отмирает» при возникновении частиц, не обладающих массой покоя.
- 3.5. См. работу D. J. Gross (1992). *Gauge theory — Past, present, and future?* Chinese J. Phys., 30, 7.

- 3.6. Большой адронный коллайдер был спроектирован для обеспечения столкновений пучков частиц с энергией  $7 \cdot 10^{12}$  электрон-вольт или ядер с энергией 574 ТэВ.
- 3.7. Проблемы инфляции обсуждаются в разделах 3.4 и 3.6.
- 3.8. См. работу S. E. Rugh and H. Zinkernagel (2009), *On the physical basis of cosmic time*. *Studies in History and Philosophy of Modern Physics*, 40, 1–19.
- 3.9. См. работы: H. Friedrich (1983). *Cauchy problems for the conformal vacuum field equations in general relativity*. *Comm. Math. Phys.*, 91, no. 4, 445–72; H. Friedrich (2002). *Conformal Einstein evolution* в сборнике *The conformal structure of spacetime: geometry, analysis, numerics* (ed. J. Frauendiener, H. Friedrich). *Lecture Notes in Physics*, Springer; H. Friedrich (1998). *Einstein's equation and conformal structure* в сборнике *The geometric universe: science, geometry*; а также Roger Penrose (eds. S. A. Huggett, L. J. Mason, K. P. Tod, S. T. Tsou, and N. M. J. Woodhouse), Oxford University Press.
- 3.10. В качестве примера проблемы противоречивости можно привести получивший известность «парадокс дедушки», который вкратце сводится к следующему: путешественник во времени отправляется в прошлое, встречает там своего биологического дедушку (до встречи последнего с бабушкой путешественника!) и убивает его. Тем самым становится невозможным как рождение родителей путешественника и его самого, так и его путешествие во времени, описанное убийство и т. д. При любой цепочке рассуждений в них должны возникать очевидные противоречия в виде логических парадоксов. Этот сюжет неоднократно использовался писателями-фантастами, и еще в 1943 году француз Рене Бажавель написал роман «Бессовестный путешественник» — *Le voyageur imprudent (The imprudent traveller)*, в котором, впрочем, речь шла не о предке, а о потомке путешественника.

- 3.11. Эта мера для  $\mathcal{P}$  представляет собой произведение вида  $dp \wedge dx$ , где  $dp$  относится к переменному импульсу, соответствующему положению переменной  $x$ . Этот вопрос рассмотрен в книге R. Penrose (2004). *The road to reality*, разд. 20.2. Если  $dx$  умножается на коэффициент  $\Omega$ , то  $dp$  умножается на  $\Omega^{-1}$ . Такая масштабная инвариантность пространства  $\mathcal{P}$  не зависит от конформной инвариантности всех остальных физических величин в рассматриваемой системе.
- 3.12. См. книги: R. Penrose (2008). *Causality, quantum theory and cosmology* в сборнике *On space and time* (ed. Shahn Majid). Cambridge University Press; R. Penrose (2009). *The basic ideas of Conformal Cyclic Cosmology* в сборнике *Death and anti-death, Volume 6: Thirty years after Kurt Godel (1906–1978)* (ed. Charles Tandy). Ria University Press, Stanford, Palo Alto, CA.
- 3.13. Самые последние измерения, проведенные с использованием известного детектора черенковского излучения на японской установке Камиоканде, показали, что верхний предел времени полураспада протона равен примерно  $6,6 \cdot 10^{33}$  лет.
- 3.14. Прежде всего речь идет об аннигиляции пар частиц. Я благодарен Дж. Д. Бьоркену за пояснения по этому вопросу. См. работу J. D. Bjorken, S. D. Drell (1965). *Relativistic quantum mechanics*. McGraw-Hill.
- 3.15. Относящиеся к нейтрино экспериментальные данные в настоящее время указывают на то, что *разница* в массах между различными типами нейтрино не может равняться нулю, однако существует вероятность, что нейтрино *одного* из трех существующих типов не обладают массой покоя. Проверка этого утверждения представляется технически возможной. См. работу Y. Fukuda et al. (1998). *Measurements of the solar neutrino flux from Super-Kamiokande's first 300 days*. Phys. Rev. Lett., 81 (6), 1158–62.

- 3.16. Эти операторы представляют собой величины, построенные из генераторов такой группы, которая коммутирует со всеми элементами группы.
- 3.17. См. работу Н.-М. Chan and S. T. Tsou (2007). *A model behind the standard model*, European Physical Journal, C52, 635–663.
- 3.18. Дифференциальные операторы показывают, каким образом изменяются соответствующие величины в пространстве-времени. Более ясно смысл используемого оператора  $\nabla$  раскрывается в разделе «Приложения».
- 3.19. См. работу R. Penrose (1965). *Zero rest-mass fields including gravitation: asymptotic behaviour*. Proc. R. Soc. Lond., A284, 159–203.
- 3.20. Действительно, как показано в приложении Б1, мое мнение по этому вопросу (относительно использования  $g$  или  $\hat{g}$  в физической метрике Эйнштейна) противоположно сказанному, вследствие чего я полагаю, что к нулю должна стремиться величина  $\Omega^{-1}$ .
- 3.21. Сказанное зависит от того, рассматривать ли вещество на  $\mathcal{R}$  в качестве *излучения* (как в описанной в разделе 3.3 модели Толмена) или в качестве некой космической пыли (как в модели Фридмана).
- 3.22. Дифференциал  $d\Omega/(1 - \Omega^{-1})$  можно интерпретировать (в исчислении Картана для дифференциальных форм) в качестве *ковектора* (или 1-формы), однако его инвариантность при преобразовании  $\Omega \rightarrow \Omega^{-1}$  легко проверяется стандартными методами. См., например, в книге R. Penrose (2004). *The road to reality*. Random House.
- 3.23. Мне лично существующая тенденция рассматривать темную материю в качестве вклада в плотность вещества Вселенной представляется малообоснованной.
- 3.24. Даже после получения значения, на 120 порядков превышающего требуемое, нам необходимо совершить какой-то, как говорят

священники, «акт веры» в процедуре перенормировки, без которого мы получали вместо цифр просто знак бесконечности « $\infty$ » (см. разд. 3.5).

- 3.25. Результаты астрономических наблюдений, основанные на законах небесной механики, позволяют ввести ограничения на вариации величины  $G$  в виде условия  $(dG/dt)/G_0 \leq 10^{-12}$  в год.
- 3.26. См. работы: R. H. Dicke (1961). *Dirac's cosmology and Mach's principle*. Nature, 192, 440–441; B. Carter (1974). *Large number coincidences and the anthropic principle in cosmology* в сборнике *IAU Symposium 63: Confrontation of Cosmological Theories with Observational Data*. Reidel, pp. 291–98.
- 3.27. См. работу А. Pais (1982). *Subtle is the Lord: the science and life of Albert Einstein*. Oxford University Press.
- 3.28. См. работы: R. C. Tolman (1934). *Relativity, thermodynamics, and cosmology*. Clarendon Press; W. Rindler (2001). *Relativity: special, general, and cosmological*. Oxford University Press.
- 3.29. Строгое представление об аналитическом продолжении описано Р. Пенроузом в книге R. Penrose (2004). *The Road to Reality*. Random House.
- 3.30. Так называемое комплексное число представляет собой величину  $a$ , квадрат которой является отрицательным числом. Например, таким является число  $i$ , удовлетворяющее условию  $i^2 = -1$ . См. разд. 4.1 в книге R. Penrose (2004). *The Road to Reality*. Random House.
- 3.31. См. работы: B. Carter (1974). *Large number coincidences and the anthropic principle in cosmology* в сборнике *IAU Symposium 63: Confrontation of Cosmological Theories with Observational Data*. Reidel, pp. 291–8; John D. Barrow, Frank J. Tipler (1988). *The anthropic cosmological principle*. Oxford University Press.

- 3.32. См. работы: L. Susskind. *The anthropic landscape of string theory arxiv: hep-th/0302219*; A. Linde (1986). *Eternal chaotic inflation*. Mod. Phys. Lett., A1, 81.
- 3.33. См. книгу Lee Smolin (1999). *The life of the cosmos*. Oxford University Press.
- 3.34. См. работу Gabriele Veneziano (2004). *The myth of the beginning of time*. Scientific American, May, 2004. См. русский перевод: Габриэль Венециано. *Миф о начале времен* // В мире науки, № 8, 2004, стр. 29–37.
- 3.35. См. книгу: Paul J. Steinhardt, Neil Turok (2007). *Endless universe: beyond the big bang*. Random House, London.
- 3.36. См., например, книгу С. J. Isham (1975). *Quantum gravity: an Oxford symposium*. Oxford University Press.
- 3.37. Abhay Ashtekar, Martin Bojowald. *Quantum geometry and the Schwarzschild singularity*. <http://www.arxiv.org/gr-qc/0509075>.
- 3.38. См., например, работы: A. Einstein (1931). Berl. Ber., 235 and A. Einstein, N. Rosen (1935). Phys. Rev. Ser. 2, 48, 73.
- 3.39. См. примечание 2.50.
- 3.40. См. примечание 3.11.
- 3.41. Имеются убедительные свидетельства того, что в других галактиках могут существовать гораздо более массивные черные дыры. В настоящее время считается, что масса самой большой из известных черных дыр составляет примерно  $1,8 \cdot 10^{10} M_{\odot}$  (что соответствует массе некоторых небольших галактик), но в то же время массы многих галактик намного меньше массы черной дыры в центре нашей собственной Галактики ( $\sim 4 \cdot 10^6 M_{\odot}$ ). Впрочем, точные значения не очень важны для излагаемой теории, а я лично полагаю, что некоторые значения масс скорее являются завышенными.

- 3.42. См. работы: J. D. Bekenstein (1972), *Black holes and the second law*. *Nuovo Cimento Letters*, 4, 737–740; J. Bekenstein (1973). *Black holes and entropy*, *Phys. Rev.*, D7, 2333–46.
- 3.43. См. работу J. M. Bardeen, B. Carter, S. W. Hawking (1973). *The four laws of black hole mechanics*. *Communications in Mathematical Physics*, 31 (2), 161–70.
- 3.44. Для описания стационарной черной дыры (в вакууме) необходимо определить только десять параметров, в число которых входят координаты (три числа), скорость (три числа), масса (одно число) и угловой момент (три числа). Эти десять макроскопических параметров позволяют охарактеризовать гигантский объем фазового пространства, обладающий чудовищным значением энтропии в соответствии с формулой Больцмана.
- 3.45. См. сайт <http://xaonon.dyndns.org/hawking>.
- 3.46. См. работу L. Susskind (2008). *The black hole war: my battle with Stephen Hawking to make the world safe for quantum mechanics*. Little, Brown.
- 3.47. См. работы: D. Gottesman, J. Preskill (2003). *Comment on “The black hole final state”*. hep-th/0311269; G. T. Horowitz, J. Maldacena (2003). *The black hole final state*. hep-th/0310281; L. Susskind (2003). *Twenty years of debate with Stephen* в сборнике *The future of theoretical physics and cosmology* (ed. G. W. Gibbons et al.). Cambridge University Press.
- 3.48. Ранее С. Хокинг указывал, что хлопок должен технически представлять собой моментальную «голую» сингулярность, и это будет нарушать упомянутое требование космической цензуры. Именно поэтому область применения гипотезы о космической цензуре ограничивается пока только *классической* общей теорией относительности. См. работу R. Penrose (1994). *The question*

*of cosmic censorship* в сборнике *Black holes and relativistic stars* (ed. R. M. Wald). University of Chicago Press.

- 3.49. См. работу James B. Hartle (1998). *Generalized quantum theory in evaporating black hole spacetimes* в сборнике *Black Holes and Relativistic Stars* (ed. R.M. Wald). University of Chicago Press.
- 3.50. Существует широко известное правило квантовой механики (называемое теоремой о запрете клонирования), запрещающее копирование неизвестных квантовых состояний. Я не вижу причин, по которым ее нельзя применить в рассматриваемом случае. См. работу W. K. Wootters, W. H. Zurek (1982). *A single quantum cannot be cloned*, *Nature*, 299, 802–3.
- 3.51. См. работы: S. W. Hawking (1974). *Black hole explosions*. *Nature*, 248, 30; S. W. Hawking (1975). *Particle creation by black holes*, *Commun. Math. Phys.*, 43.
- 3.52. Более поздние соображения Хокинга изложены в публикации *Hawking changes his mind about black holes* в журнале *Nature* (doi:10.1038/news040712-12). Они основаны на гипотетических идеях, связанных с теорией струн. См. также работу S. W. Hawking (2005). *Information loss in black holes*. *Phys. Rev.*, D72, 084013.
- 3.53. Уравнение Шредингера является уравнением первого порядка для комплексной переменной, и поэтому при обращении времени мнимое число  $i$  должно заменяться на  $-i$  ( $i = \sqrt{-1}$ ); см. примечание 3.30.
- 3.54. Дополнительную информацию можно найти в книге R. Penrose (2004). *The road to reality*. Random House, Chs. 21–3.
- 3.55. См. книги: W. Heisenberg (1971). *Physics and beyond*. Harper and Row, 73–6 и A. Pais (1991). *Niels Bohr's times*. Clarendon Press, 299.
- 3.56. По-видимому, Дирак не проявлял интереса к проблеме «интерпретации» обоснований квантовой механики в отношении изме-

рительных процедур, поскольку придерживался точки зрения, в соответствии с которой квантовая теория поля является в действительности только некоторой «предварительной» теорией.

- 3.57. См. книгу Р. А. М. Dirac (1982). *The principles of quantum mechanics*. 4th edn. Clarendon Press [1st edn 1930].
- 3.58. См. работы: L. Diósi (1984). *Gravitation and quantum mechanical localization of macro-objects*. Phys. Lett., 105A, 199–202; L. Diósi (1989). *Models for universal reduction of macroscopic quantum fluctuations*. Phys. Rev., A40, 1165–74; R. Penrose (1986). *Gravity and state-vector reduction* в сборнике *Quantum concepts in space and time* (eds. R. Penrose and C. J. Isham), Oxford University Press, pp. 129–46; R. Penrose (2000). *Wavefunction collapse as a real gravitational effect* в сборнике *Mathematical physics 2000* (eds. A. Fokas, T. W. B. Kibble, A. Grigouriou, and B. Zegarlinski), Imperial College Press, pp. 266–282; R. Penrose (2009). *Black holes, quantum theory and cosmology* (Fourth International Workshop DICE 2008). J. Physics Conf. Ser., 174, 012001. doi: 10.1088/1742-6596/174/1/012001.
- 3.59. При рассмотрении любых моделей с пространственно неограниченной Вселенной всегда возникает проблема бесконечности *общих* значений некоторых величин типа энтропии. Этот вопрос не очень важен, поскольку используя предположение об общей пространственной гомогенности Вселенной теоретики получают возможность работать с большими так называемыми совместно двигающимися объемами (границы которых смещаются вместе с общим потоком вещества).
- 3.60. См. работы: S. W. Hawking (1976). *Black holes and thermodynamics*. Phys. Rev. D13(2), 191; G. W. Gibbons, M. J. Perry (1978). *Black holes and thermal Green's function*. Proc Roy. Soc. Lond. A358, 467–94; N. D. Birrel, P. C. W. Davies (1984). *Quantum fields in curved space*. Cambridge University Press.

- 3.61. Пол Тод (личное сообщение).
- 3.62. См. примечание 3.11.
- 3.63. Моя собственная точка зрения на проблему «потери информации» (при которой возрастает энтропия черных дыр) отличается от общепринятой тем, что я не считаю *горизонт* критическим местом для протекания этого процесса (так как в любом случае горизонты не являются локально различимыми объектами) и полагаю, что реальное разрушение информации происходит в *сингулярностях*.
- 3.64. См. примечание 3.42.
- 3.65. См. работу W. G. Unruh (1976). *Notes on black hole evaporation*. Phys. Rev., D14, 870.
- 3.66. См. работы: G. W. Gibbons, M. J. Perry (1978). *Black holes and thermal Green's function*. Proc Roy. Soc. Lond., A358, 467–94; N. D. Birrel, P. C. W. Davies (1984). *Quantum fields in curved space*. Cambridge University Press.
- 3.67. См. работу Wolfgang Rindler (2001). *Relativity: special, general and cosmological*. Oxford University Press.
- 3.68. См. работу H.-Y. Guo, C.-G. Huang, B. Zhou (2005). Europhys. Lett., 72, 1045–51.
- 3.69. На это легко возразить, что «охватываемая» наблюдателями Риндлера область не является единым, или целостным, объектом в пространстве  $M$ , однако это же возражение может быть отнесено к пространству  $D$ .
- 3.70. См. книгу J. A. Wheeler, K. Ford (1995). *Geons, black holes, and quantum foam*. Norton.
- 3.71. См. работу A. Ashtekar, J. Lewandowski (2004). *Background independent quantum gravity: a status report*, Class. Quant. Grav., 21, R53–R152. doi:10.1088/0264-9381/21/15/R01, arXiv:gr-qc/0404018.

- 3.72. См. работы: J. W. Barrett, L. Crane (1998). *Relativistic spin networks and quantum gravity*. J. Math. Phys., 39, 3296–302; J. C. Baez (2000). *An introduction to spin foam models of quantum gravity and BF theory*. Lect. Notes Phys., 543, 25–94; F. Markopoulou, L. Smolin (1997). *Causal evolution of spin networks*. Nucl. Phys., B508, 409–30.
- 3.73. См. работы: H. S. Snyder (1947). Phys. Rev., 71(1), 38–41; H. S. Snyder (1947). Phys. Rev., 72(1), 68–71; A. Schild (1949). Phys. Rev., 73, 414–15.
- 3.74. См. работы: F. Dowker (2006). *Causal sets as discrete spacetime*, Contemporary Physics, 47, 1–9; R. D. Sorkin (2003). *Causal sets: discrete gravity* (Notes for the Valdivia Summer School) в сборнике *Proceedings of the Valdivia Summer School* (ed. A. Gomberoff and D. Marolf). arXiv:gr-qc/0309009.
- 3.75. См. работы: R. Geroch, J. B. Hartle (1986) *Computability and physical theories*. Foundations of Physics, 16, 533–50; R. W. Williams, T. Regge (2000). *Discrete structures in physics*. J. Math. Phys., 41, 3964–84.
- 3.76. См. работы: Y. Ahmavaara (1965). J. Math. Phys., 6, 87; D. Finkelstein (1996). *Quantum relativity: a synthesis of the ideas of Einstein and Heisenberg*. Springer-Verlag.
- 3.77. См. Работы: A. Connes (1994). *Non-commutative geometry*. Academic Press; S. Majid (2000). *Quantum groups and noncommutative geometry*, J. Math. Phys., 41 (2000), 3892–942.
- 3.78. См. книги: B. Greene (1999). *The elegant universe*. Norton; J. Polchinski (1998). *String theory*. Cambridge University Press.
- 3.79. См. работы: J. Barbour (2000). *The end of time: the next revolution in our understanding of the universe*. Phoenix; R. Penrose (1971). *Angular momentum: an approach to combinatorial space-time* в сборнике

*Quantum theory and beyond* (ed. T. Bastin). Cambridge University Press.

- 3.80. Объяснение теории твистора можно найти, например, в книге R. Penrose (2004). *The road to reality*. Random House, разд. 33.
- 3.81. G. Veneziano (2004). *The myth of the beginning of time*. Scientific American (May). См. примечание 3.34.
- 3.82. См. книгу R. Penrose (2004). *The road to reality*. Random House, разд. 28.4.
- 3.83. «Реализация» описываемых квантовых флуктуаций (в качестве реальных неоднородностей при некотором распределении классического вещества) требует действительного проявления упомянутого в конце раздела 3.4 R-процесса (связанного с редукцией волновой функции), который не является частью *унитарной эволюции*  $U$  для квантовой системы.
- 3.84. См. работу D. B. Guenther, L. M. Krauss, P. Demarque (1998). *Testing the constancy of the gravitational constant using helioseismology*. *Astrophys. J.*, 498, 871–6.
- 3.85. Существуют стандартные процедуры для расчета эволюции от  $\mathcal{N}^-$  к  $\mathcal{D}$ , однако они не использовались Хаджяном при предварительном анализе спектров СМВ, кратко описанном в тексте.
- 3.86. Такие круговые искажения картины микроволнового фонового излучения могли возникать и в предыдущем эоне, но я полагаю, что вызываемый ими эффект очень незначителен. В любом случае вследствие многих причин изучение таких искажений является исключительно трудной и сложной задачей.
- 3.87. См. работы: V. G. Gurzadyan, C. L. Bianco, A. L. Kashin, H. Kuloghlian, G. Yegorian (2006). *Ellipticity in cosmic microwave background as a tracer of large-scale universe*. *Phys. Lett.*, A 363,

121–4; V. G. Gurzadyan, A. A. Kocharyan (2009). *Porosity criterion for hyperbolic voids and the cosmic microwave background*. *Astronomy and Astrophysics*, 493, L61–L63 [DOI: 10.1051/0006361:200811317].

#### К математическим приложениям

- A.1. См. работы: R. Penrose, W. Rindler (1984). *Spinors and space-time*. Vol. I: *Two-spinor calculus and relativistic fields*. Cambridge University Press; R. Penrose, W. Rindler (1986). *Spinors and space-time*. Vol. II: *Spinor and twistor methods in space-time geometry*. Cambridge University Press.
- A.2. См. книги: P. A. M. Dirac (1982). *The principles of quantum mechanics*. 4th edn. Clarendon Press [1st edn. 1930]; E. M. Corson (1953). *Introduction to tensors, spinors, and relativistic wave equations*. Blackie and Sons Ltd.
- A.3. См. работы: C. G. Callan, S. Coleman, R. Jackiw (1970). *Ann. Phys.*, (NY) 59, 42; E. T. Newman, R. Penrose (1968). *Proc. Roy. Soc.*, Ser. A 305, 174.
- A.4. В линеаризованном пределе общей теории относительности это соотношение называется спин-2-уравнением Дирака–Фирца. См. работы: P. A. M. Dirac (1936). *Relativistic wave equations*. *Proc. Roy. Soc. Lond.*, A155, 447–59; M. Fierz, W. Pauli (1939). *On relativistic wave equations for particles of arbitrary spin in an electromagnetic field*. *Proc. Roy. Soc. Lond.*, A173, 211–32.
- Б.1. Возможно, существующий формализм может быть модифицирован таким образом, чтобы включать в себя описание распада частиц, обладающих массой покоя, на поверхности  $\mathcal{C}^{\wedge}$  (в соответствии с идеями, изложенными в разделе 3.2), однако такой подход должен, по-видимому, существенно усложнить изложение, поэто-

му я ограничился рассмотрением тех ситуаций, для которых система не содержит на  $\mathcal{C}^\infty$  частиц, обладающих массой покоя.

- Б.2. Я не верю, что предположение  $\hat{\Lambda} = \check{\Lambda}$  является достаточно важным (скорее оно используется для удобства). По-видимому, при сложившихся обстоятельствах воздействие изменений физических постоянных при одном эоне на значения величин для следующего эона требует только некоторого согласования. Возможно, эти изменения могут быть включены в другие величины. В качестве дополнительного комментария стоит отметить, что обычный набор введенных в разделе 3.2 «планковских единиц» может быть заменен условием  $G = 1$  при  $\Lambda = 3$ , что хорошо согласуется с формализмом теории КЦК, предлагаемой в данной книге.
- Б.3. См. работу Е. Calabi (1954). *The space of Kähler metrics*. Proc. Internat. Congress Math. Amsterdam, pp. 206–7.
- Б.4. Термину «фантомное поле» некоторые авторы иногда придают иной смысл.
- Б.5. См. примечание 3.9.
- Б.6. См. примечание 3.9.
- Б.7. Полная свобода соответствует замещению  $\Omega \mapsto (A\Omega + B)/(B\Omega + A)$  с постоянными  $A$  и  $B$  при  $\Pi \mapsto \Pi$ . Однако эта неопределенность связана с требованием, чтобы  $\Omega$  имела полюс (а  $\omega$  — нулевое значение) на  $X$ .
- Б.8. См. работу К. Р. Tod (2003). *Isotropic cosmological singularities: other matter models*. *Class. Quant. Grav.*, 20, 521–34. [DOI: 10.1088/0264-9381/20/3/309]
- Б.9. См. примечание 3.28.
- Б.10. Этот оператор был введен ЛеБруном в работе С. R. LeBrun (1985). *Ambi-twistors and Einstein's equations*. *Classical Quantum Gravity*, 2, 555–63 для определения так называемого эйнштейновского узла

в теории твистора. Оператор представляет собой часть гораздо более обширного семейства операторов, введенных Иствудом и Райсом в работе M. G. Eastwood and J. W. Rice (1987). *Conformally invariant differential operators on Minkowski space and their curved analogues*. Commun. Math. Phys., 109, 207–28, Erratum, Commun. Math. Phys., 144 (1992), 213. В связи с другими проблемами оператор использовался в работах: M. G. Eastwood (2001). *The Einstein bundle of a nonlinear graviton* (в сборнике *Further advances in twistor theory*, vol. III, Chapman & Hall/CRC, pp. 36–9); T. N. Bailey, M. G. Eastwood, A. R. Gover (1994). *Thomas's structure bundle for conformal, projective, and related structures*, Rocky Mtn. Jour. Math., 24, 1191–217. Этот оператор также называют конформным к оператору Эйнштейна. См. примечание на стр. 124 в работе R. Penrose, W. Rindler (1986). *Spinors and space-time*, Vol. II: *Spinor and twistor methods in space-time geometry*, Cambridge University Press.

- Б.11. На возможность такой интерпретации указал мне К. П. Тод. В упомянутой выше публикации Пенроуза и Риндлера (*Spinors and space-time*, Vol. II: *Spinor and twistor methods in space-time geometry*, Cambridge University Press) это условие было названо «асимптотическим условием Эйнштейна».
- Б.12. Существуют другие способы обнаружения эффективной смены знака гравитационной постоянной. Один из них заключается в сравнении поведения поля излучения с антиповедением аргравитационных источников при пересечении конформной бесконечности. См. работы: Penrose and Rindler (1986), разд. 9.4, pp. 329–32; R. Penrose, W. Rindler (1986). *Spinors and space-time*, Vol. II: *Spinor and twistor methods in space-time geometry*, Cambridge University Press.
- Б.13. Пол Тод (личное сообщение).

# Благодарности

Я глубоко благодарен многим моим друзьям и коллегам за их помощь в работе и в обсуждении идей, относящихся к разработанной мной космологической модели. Особую ценность для меня имели длительные и подробные дискуссии с Полом Тодом, относящиеся к предложенной им формулировке варианта конформного преобразования в гипотезе кривизны Вейля. Многие аспекты этих обсуждений оказались чрезвычайно полезными при детальном рассмотрении уравнений, описывающих предлагаемую в книге теорию конформной циклической космологии. Кроме того, в развитии математического аппарата теории очень важную роль сыграл глубокий анализ проблем конформной бесконечности Гельмута Фридриха, особенно при положительных значениях космологической постоянной. В течение многих лет своими плодотворными идеями относительно общего развития космологии оказывал мне помощь Вольфганг Риндлер, совместно с которым мы развивали формализм 2-спиноров и обсуждали проблемы инфляционной космологии.

Я благодарен Флоренс Цоу, Шен Цунь и Хунмо Чаню за помощь в рассмотрении проблем, относящихся к физике элементарных частиц, а также Джеймсу Бьеркену за критические замечания по этим проблемам. Очень важным для меня было сотрудничество с Дэвидом Шпергелем, Амиром Хаджяном, Джеймсом Пиблесом, Майком Иствудом, Эдом Шпейгелем, Абе Аштекаром, Нейлом Туроком, Педро Фаррейрой, Ваге Гюрзадяном, Ли Смолином, Полем Штейнхардтом, Эндрю Ходжесом, Лайонелом Мейсономи Тедом Ньюменом. Неоценимую помощь в решении проблем, связанных с изданием, оказал мне Ричард Лоуренс, а в составлении указателя — Поль Нэш.

За постоянную поддержку и понимание, проявленные при всех, связанных с работой затруднениях, я благодарен своей жене Ванессе,

которая также помогла в составлении подписей к рисункам. Кроме того, без ее помощи я бы никогда не смог разобраться со всеми сложностями современных электронных технологий, используемых при создании книги, особенно при оформлении диаграмм, построение которых казалось мне почти безнадежным делом. Наконец, я бы хотел поблагодарить нашего 10-летнего сына Макса, причем не только за постоянную благожелательность и добрую улыбку, но и за реальную помощь при работе с казавшейся мне «безумной» аппаратурой.

Я глубоко признателен компании M. C. Escher Company (Нидерланды) за разрешение на перепечатку изображений работ М. Эшера (рис. 2.3), а также Институту теоретической физики (Гейдельбергский университет) за разрешение использовать рис. 2.6. Приношу благодарность Национальному научному фонду США (NSF) за поддержку в рамках проекта PHY00-90091.

# Предметный указатель

Номера страниц, набранные наклонным шрифтом, обозначают ссылку к рисунку, комбинации типа 300[3.29] — к примечаниям с соответствующим номером.

Часто используемые сокращения: КЦК — конформная циклическая космология); СМВ — микроволновое фоновое излучение.

абстрактные индексы 245

адиабатическое расширение  
Вселенной 77

альфа-частицы 75

аналитическое продолжение 183, 218,  
300[3.29]

аналогия с каплями дождями  
(для описания «кругов» в КЦК) 239

антропный принцип 186

антропогенные доводы 59, 179, 186

*Аштекар Абей* 189

барионы энтропия (в пересчете) 194

общее содержание во Вселенной 214  
*см. также* нейтрон, протон

безмассовые гравитационные источники  
249–250

безмассовые частицы

в отдаленном будущем настоящего  
эона 157, 160

в предыдущем эоне 192

конформная/нуль-конусная структура  
92, 104, 152–153

мировая линия 92, 103

невозможность создания «часов» 103,  
158, 163

*см. также* гравитоны и фотоны

безмассовые электрически заряженные  
частицы 165

*Бекенштена* рассуждения об энтропии  
для черной дыры 195, 217

*Бекенштена–Хокинга* формула  
для энтропии 139, 194, 195, 211

*Белинский В. А.* 138

белые дыры 134, 140, 199, 294[2.52]  
и конформные диаграммы 142

белые карлики (звезды) 115, 116, 164  
*Бельтрами Евгений* 72, 288[2.12]

- бесконечность, конформное  
представление 68, 73, 121–122
- биологические системы и энтропия 19,  
84
- Боджовольд Мартин* 189
- Больцман Людвиг* 21, 41
- Больцмана* постоянная 35
- Больцмана* формула для энтропии 34–37,  
40, 196
- логарифм в формуле 35, 37, 40, 141,  
207
- произведение пространств 39
- Большое сжатие (хлопок) 69, 180
- большое число  $N$  179
- в космологической константе,  
формула 177
- возможность изменения значения  
в предыдущем эоне 233
- Дике* (и *Картера*) аргумент 179
- Большой адронный коллайдер 154,  
297[3.6]
- Большой взрыв 14, 63
- и энтропия 57, 78, 82, 109
- организованность 14
- первое использование термина  
286[2.3]
- размеры области крупнозернистого  
разбиения 57–60
- специфичность 58, 147
- точка возникновения 63
- фаза пре-Биг-бэнг 154, 179
- физические условия сразу  
после взрыва 74, 151
- Бонди Герман* 73, 288[2.13]
- будущая Вселенная см. судьба Вселенной  
в отдаленном будущем
- будущая эволюция системы 50–54
- будущее, изменение по второму закону  
термодинамики 61–62
- вакуума флуктуации 221
- вакуума энергия 177, 220
- и космологическая константа  
(постоянная) 221–222
- ванна, как пример системы  
с возрастанием энтропии 44
- Вейля* конформный тензор 140, 169, 171,  
249
- масштабирование 255
- нормальная производная 282
- нулевое значение на границе  
будущего 237
- Вейля* кривизна 146, 226, 243
- искажение изображения 146, 243,  
307[3.86]

- исчезновение в сингулярностях  
исходного типа 149, 173, 193, 282  
связь с теорией КЦК 226
- Вейля* кривизны гипотеза (WCH) 149  
версия в рамках КЦК 172, 193  
конформная диаграмма 150  
предложение *Тода* 149, 154, 160, 172,  
183, 192, 199
- вектор плотности потока заряда  $J$  144  
гравитационная аналогия 143
- Венециано Габриэль* 188, 229
- взрывы сверхновой 69, 115, 287[2.10]  
виртуальные частицы 221
- «внешнее» фазовое пространство 37,  
209
- внутренний спин, как оператор  
*Казимира* 167
- водорода атомы 73, 74, 178
- волновая функция системы 202  
коллапс 203
- волновые уравнения  
гравитационные волны 169, 237  
электромагнитные волны 169
- временеподобные геодезические  
линии 105
- временеподобные кривые 103
- второй закон термодинамики 12–13,  
15–62  
возможность обращения во времени  
61–62, 156  
и гравитационные эффекты 78–79  
и теория КЦК 190  
и черные дыры 196  
как необходимое условие жизни 59  
как неравенство 16  
как следствие особого исходного  
состояния Вселенной 59, 79, 135–136  
нарушения (кажущиеся) 19, 42, 46,  
49, 54, 48, 60, 61, 140, 155, 213–214  
пример с газом в объеме 79  
пример со смешением красок 21–23  
самосборка разбившегося яйца 17–20,  
36, 55  
течение времени 58–59  
универсальность 17, 49  
эксперимент с красителем  
в концентрических трубках 47–48  
эффект спинового эха 46
- вулканические трубки (на дне океана)  
289[2.22]
- высокоэнтропийное исходное состояние  
137
- высокоэнтропийное состояние 36

галактические степени свободы 41,  
207–201

*Гамильтона* теория 31, 284[1.1]

*Гамов Георгий* 74

*Гейзенберг Вернер* 203

гелия атом 74

геодезические линии 96, 97, 105

геометрия «резиновых» поверхностей  
94–95

геометрия пространства 67–69

Вселенной 69–70, 228

гиперболическая геометрия 67

на гравюрах *Эшера* 68, 72, 94, 122

обозначения метрики 95–96

гиперболическая плоскость

конформное отображение 72, 95,  
96, 125

продолжение в виде конформного  
многообразия 123

гиперболоиды 104

гиперповерхность  $\mathcal{H}^-$

до расширения пространства-времени  
150, 154

исчезновение конформной кривизны  
149, 173

как начало зона 161

гиперповерхность  $\mathcal{H}^+$ , представление  
в виде конформных диаграмм 21

гиперповерхность  $\mathcal{H}^+$

и безмассовые частицы 168

как конец зона 161

представление в виде конформных  
диаграмм 121

гипотеза «отскока» 14, 108, 111, 157,  
180, 183, 189

гипотеза *Белинского–Халатникова–  
Лифшица* (BKL) 114, 117, 137, 142, 198

глюоны 153

голая сингулярность пространства-  
времени 117, 142

*Голд Томас* 73, 288[2.13]

горизонт событий для черной дыры 106,  
107

космологический 134, 211, 293[2.48]

площадь сечения 211, 265

горизонт частицы 133, 134, 293[2.48]

конформные диаграммы 135

гравитационная постоянная 128

знаки (+/-) 184, 271–272

и космологическая константа  
(постоянная) 177

уменьшение 234

эффективная 177, 184, 272

гравитационного потенциала энергия 11

гравитационное излучение 171

квантовые составляющие 157, 163

- на 3-поверхности кроссовера 281–283  
при столкновении сверхмассивных  
черных дыр 163, 235  
распространение 171, 237
- гравитационное поле  
воздействие на лучи света 145–146  
и кривизна пространства-времени 79,  
144  
как аналог электромагнитного поля  
143–145
- гравитационное слипание 80, 181, 211
- гравитационной линзы эффект 145–146,  
148  
возможности применения 147
- гравитационные степени свободы 136  
активация в модели коллапсирующей  
Вселенной 143  
отсутствие активности при Большом  
взрыве 82, 87, 136, 143, 190
- гравитационные эффекты 78–79
- гравитационный коллапс  
возникновение сингулярностей  
пространства-времени 108, 114, 138,  
156, 295[2.50]  
модель *Оппенгеймера–Снайдера* 110  
подход *Лифшица* и *Халатникова*  
110, 114, 138  
подход *Пенроуза* 109–114, 137–138,  
294[2.50]  
подход *Хокинга* 294[2.50]
- гравитоны  
во Вселенной далекого будущего  
157–158, 159, 163  
уравнение *Шредингера* для гравито-  
нов 171, 255–256, 282
- давление вырождения нейтронов 116  
давление электронного вырождения 115  
*Даламбера* оператор 248  
*де Ситтера* пространство-время 126, 168  
группы симметрии 168  
конформные диаграммы 126, 133  
детерминированная эволюция 17  
законы (правила) 52  
деформации «резиновых» поверхностей  
65, 143  
*Дике Роберт* 74, 179  
динамическая эволюция 32, 205  
динамические законы и теории 17, 32,  
36, 55, 57, 136  
*Дирак Поль* 177  
*Дирака–Фирца* уравнение 255, 308[A.4]  
дискретность квантов 34  
диффеоморфизм 95, 141

дифференциальные операторы 170, 248,  
299[3.18]

*Допплера* эффект 60, 81

*Евклида* геометрия 67, 68, 72, 96

сравнение с гиперболической  
геометрией 96–97

единицы пространства и времени 91

естественный отбор в модели *Смолина* 188

жизнь на Земле

возникновение и продолжение 19,  
84–86

зависимость от совпадения физических  
констант 185–187

законы сохранения энергии 15, 16

замкнутые временеподобные кривые 161

захваченная поверхность 112, 114,  
291[2.38]

предположение о возможности  
захвата 116

*Зельдович Я. Б.* 231

Земля

баланс энергии 13, 84–85

движение по отношению к СМВ 84,  
288[2.20]

зарождение и продолжение жизни  
19, 84–86

радиус *Шварцшильда* 128

излучение черного тела 34, 75, 76

измерение времени, зависимость  
от массы частиц 103, 157, 168

импульс 15, 31

инфляционная космология 71, 176, 227,  
231

инфляционная фаза развития Вселенной  
пост-Биг-бэнг-фаза 71, 136, 229

пре-Биг-бэнг-фаза 190, 230, 229

инфляционное поле 136, 138, 139

квантовые флуктуации 231

информационный парадокс, связанный  
с черными дырами 202

*Иствуда–Райса* оператор 270,  
310[Б.10]

*Казимира* операторы 167, 168,  
299[3.16]

*Калаби* уравнение 260

*Карно Лазар* 284[1.5]

*Карно Сади* 284[1.5]

*Картер Брендон* 179, 186, 292[2.43]

квазилокальное условие 291[2.38]

квантовая гравитация

и гипотеза «отскока» 180, 199

и теория КЦК 209–227

использование переменной  
управления циклом 189

- топологические эффекты в масштабах шкалы *Планка* 224
- квантовая механика
- как предварительная теория 203, 226
  - ранний этап развития 75
  - фотоны 152
  - чередование математических операций 203
- квантовая теория
- краткое описание 202–204
  - теорема запрета клонирования 303[3.50]
- квантовая теория поля 153
- квантовое переплетение 201
- квантовое состояние системы 202
- редукция 203
- квантовые флуктуации
- в инфляционном поле 220–221
  - реализации в виде неоднородностей распределения вещества 231, 307[3.83]
- квантовые часы 104
- кварки 153
- комплексное число 183, 300[3.30]
- конфигурационное пространство 26–28
- зернистое разбиение 28–30
- конформная аномалия 296[3.4]
- конформная геометрия 72, 97–98, 154, 163
- конформная инвариантность 296[3.3]
- Максвелла* уравнения поля 152, 153, 169–170, 245
  - Янга–Миллса* уравнения 153
- конформная кривизна 147
- исчезновение сингулярностей исходного типа 149, 173, 193
- конформная структура пространства-времени 105, 119, 147, 158
- конформная циклическая космология (КЦК) 161–163, 162
- возможности наблюдений 222
- квантовая гравитация 222–226
- отдаленное будущее Вселенной 157, 193
  - потеря следов во времени в безгравитационной физике 169
  - ранняя Вселенная 154, 192
  - структура Вселенной 163–179
- конформное перемасштабирование 251–253
- конформное представление будущего пространства-времени 159
- конформное пространство-время 119
- конформные диаграммы 118–135
- представление бесконечности 121

- см. также* схематические  
конформные диаграммы; строгие  
конформные диаграммы
- конформный множитель (коэффициент)  
132, 154, 170, 266, 278  
на кроссвере 172, 173  
обратное значение 173, 267, 278
- конформный спинор 249, 255
- корреляции в вариациях температуры  
излучения СМВ 230  
возникающие из-за событий предыду-  
щего зона 232
- космическая инфляция 70, 136, 188
- космическая цензура 117, 134, 142, 198,  
199, 302[3.48]
- космологическая константа (постоянная)  
66, 69, 112, 286[2.4]  
как скалярное поле темной энергии  
215  
как энергия вакуума 221–222  
наблюдаемое значение 117, 222  
постоянство в рамках теории КЦК  
233
- космологическая температура 217, 218  
эффект в теории КЦК 222
- космологическая энтропия 211  
роль в теории КЦК 218
- космологические модели 66, 181
- космологический горизонт событий 134,  
211, 293[2.48]  
и горизонты *Риндлера* 219  
и потеря информации 216  
конформные диаграммы 132, 133  
площадь сечения 211, 265  
рост энтропии от существования 214  
столкновение с огромными черными  
дырами 235
- космологический принцип 82
- Коттона–Йорка* тензор 238, 283
- красное смещение 64, 674, 285[2.1]
- красные гиганты (звезды) 115
- кроссвера 3-поверхность 161, 199  
4-вектор нормали  $N$  264  
гравитационное излучение 281–283  
динамика перехода 268  
конформная геометрия 238  
конформный коэффициент 172, 173  
общая геометрия пространства 228  
уравнения 257–283  
фазовое пространство 162
- крупнозернистое разбиение  
для произведения пространств 40  
конфигурационного пространства  
29–30  
определение энтропии 35–37  
фазового пространства 41, 50

*Леметр Георг* 128

линейка (в геометрии *Эвклида* или *Римана*) 100–102

*Лиувилля* теорема 36

*Лифшиц Е. М.* 110, 114, 190

логарифм 25

в формуле *Больцмана* для энтропии 35, 37, 40, 141, 207

использование при умножении 25

натуральные 35, 97

основание 25

*Лоренца* пространство-время

ортогональность 99

разделение пространства-времени 88

макроскопическая неразличимость 29, 34, 46, 285[1.7]

макроскопические измерения 29

и сохраненная информация 47

макроскопический параметр 28, 34

особые значения 36

*Максвелл Джеймс Клерк* 42, 143

*Максвелла* демон 12, 42

*Максвелла* тензор поля 143, 152, 246

гравитационный аналог 145

*Максвелла* теория электромагнетизма 17, 32, 145

*Максвелла* уравнения поля 245

конформная инвариантность 152, 153, 169–170, 245

свободные уравнения 170

символическая запись 170, 247

максимальная энтропия при крупнозернистом разбиении 52–53, 77

масса покоя частицы 290[2.28]

как оператор *Казимира* 167

проявление в ранней Вселенной 151, 175, 268

распад 164–166, 234, 299[3.17]

требования при создании квантовых часов 103, 159

массы фундаментальных частиц, происхождение 151, 296[3.1]

*Матер Джон* 75

мгновенное событие, как начальная сингулярность белой дыры 141–142

меры длины 95, 96

при перемасштабировании 97

метрический тензор  $g$  95, 143

микроволновое фоновое излучение (СМВ) 74

анализ спектра 235, 238

анализ результатов наблюдений,

включающий дополнительную

«закрутку» небесной сферы 242–243

- данные наблюдений 75–76, 239  
и движение Земли 202, 288[2.20]  
круги (с пониженной температурой)  
в спектре СМВ 236, 240, 241, 242  
неинформативные корреляции  
240–241  
неоднородности в СМВ 228, 209, 234  
однородность 75, 80, 81  
температура 74, 130  
    ниже температуры черной дыры  
    130, 210  
температурные корреляции угловые  
230–231  
частотный спектр 75–76, 76  
энтропия 82, 196
- Минковский Герман* 87
- Минковского* пространство-время 87–91, 99  
интервал между событиями 101–102  
как конформная подобласть  
Вселенной *Эйнштейна* 124  
конформные диаграммы 121  
нуль-конусы 91  
продолжение в качестве конформного  
многообразия 123
- мировая линия  
    для безмассовых частиц 93  
    для обладающих массой частиц 92
- Мишер Ч. В.* 114
- Млечный Путь, галактика  
    движение по отношению к СМВ 81,  
    288[2.20]  
    как внешнее фазовое пространство  
    37–38, 208  
    черная дыра вблизи центра 81, 117, 193  
многообразие 95  
    обозначения метрик 95–97  
модель коллапса Вселенной 135–136  
модель пространственно-замкнутой  
Вселенной 67, 69, 180
- нарушение сохранности электрического  
заряда 165
- натуральные логарифмы 25, 35, 97
- нейтрино 166, 298[3.15]
- нейтронные звезды 116
- некогерентное излучение 182
- несжимаемая жидкость («пыль») 67, 108,  
182
- неупорядоченности возрастание 19
- низкой энтропии источники 84, 86
- низкоэнтропийная структура 86
- низкоэнтропийное состояние  
    при Большом взрыве 57, 82, 87, 135,  
    193  
    пример разбившегося яйца 36, 83, 84

- нулевые геодезические линии 106  
нуль-завершенность в будущем 292[2.40]  
нуль-конус  
    в общей теории относительности 94  
    в 4-пространстве *Минковского* 91, 119–120, 289[2.26], 289[2.27]  
    ориентация во времени 119  
    структура 91, 147, 152  
*Ньютона* второй закон 15  
*Ньютона* динамика 32  
    обратимость во времени 17  
*Ньютона* теория гравитации 79  
*Ньютона* третий закон 16
- область крупнозернистого разбиения  
    взаимосвязь с проблемой происхождения Вселенной 57  
    неопределенность свойств границ 45  
    соотношения объемов 29, 44, 50–54  
    соседство областей 50, 51
- 4-область пост-Биг-бэнга  $\mathcal{C}^v$   
    содержание вещества 277–280  
    тензор энергии для 277  
    физическая метрика *Эйнштейна* 269
- 4-область пре-Биг-бэнга  $\mathcal{C}^\wedge$   
    тензор энергии 258  
    уравнения 259–261  
    физическая метрика *Эйнштейна* 258
- обратимость во времени 17  
обратная пропорциональность 173, 179, 183, 265–268  
объективная энтропия 49, 285[1.11]  
объем фазового пространства 32, 33, 34  
    в модели коллапсирующей Вселенной 141  
    Вселенной 209  
    уменьшение при потере информации в черных дырах 205, 207
- одновременные события в пространстве-времени *Лоренца* 88–89  
    объективность восприятия одновременных событий 90
- Оппенгеймер Роберт* 108  
*Оппенгеймера–Снайдера* модель 109, 110, 119, 127, 149  
    конформная диаграмма 127, 129
- ориентированные во времени  
    нуль-конусы 119
- осциллирующая модель Вселенной 180  
    модифицированная модель *Толмена* 181–183
- оттенок (краски) 23
- парадокс дедушки 297[3.10]  
*Пензиас Арно* 74  
*Перльмуттер Саул* 69

- плазма 74
- Планка* время 178, 196, 221, 222
- Планка* длина 178, 196, 197, 221, 223
- Планка* константа в представлении  
*Дирака* 33, 140, 177
- Планка* масса 178, 196, 197
- Планка* спектр излучения черного тела  
34, 75, 76
- Планка* формула 103, 104, 284[1.2],  
288[2.18]
- Планка* шкала единиц 178
- топологические эффекты квантовой гравитации 224
  - флуктуации вакуума 221
  - черные дыры 196–197
- Планка* энергия 178, 196–180
- плоская геометрия пространственной Вселенной 70
- плотность отрицательной энергии 111
- 3-поверхность  $\mathcal{A}$ , конформный коэффициент 183
- 3-поверхность Большого взрыва 149, 154  
*см. также*  $\mathcal{A}$  3-поверхность
- 3-поверхность последнего рассеяния 74,  
82, 230, 238, 243
- пересечение с поверхностью  $\mathcal{C}^-$  238
- позитроны 164–165
- аннигиляция с электронами 165
- полоска для измерения в пространстве-времени *Минковского* или *Лоренца* 100
- посттелеология 56
- потеря информации
- в черных дырах 207
  - как потеря степеней свободы 205
  - при сингулярности 216
- эффект, связанный с наблюдателем 216
- предел *Ландау* 116
- предшествующий эон, экспоненциальное расширение 192, 229
- Прескилл Джон* 202
- приведенная постоянная *Планка* 33, 177
- принцип общей ковариантности 95
- принцип унитарной эволюции 202
- нарушение 204
- притяжение на поверхности (черной дыры) 217
- причинно-следственная связь 103,  
290[2.29]
- причинно-следственные линии 112
- проблемы противоречивости 161
- пример 297[3.10]
- произведение пространств 39–40,  
284[1.4]
- ячейки зернистого разбиения 39

- метрика *см.* *g*-метрика  
модели и представления 118  
сингулярности *см.* сингулярности
- пространственно-временная эволюция  
Вселенной 70  
для космологических моделей  
*Фридмана* 107  
при коллапсе сверхмассивных звезд  
106, 107  
при расширении 71
- пространственно-замкнутая Вселенная 70  
геометрия пространства 67–69  
исходное состояние 58  
момент зарождения 58, 73  
расширение 65–73  
энтропия 82, 141, 191–194, 207–209
- пространство-время  
в концепции *Минковского* 87–91  
искривление  
в понятиях гравитационного поля  
79  
величины измерения 145, 248  
модели до *Минковского* 88, 89
- пространство-время с точной сфериче-  
ской симметрией, представление с  
помощью конформных диаграмм 118,  
120
- 4-пространство-время 87–90
- протонов распад 166, 298[3.13]  
псевдорациус 97  
*Пуанкаре Анри* 72, 290[2.32]  
*Пуанкаре* группа 154  
*см. также Казимира* операторы
- пульсары 66, 116, 287[2.6]  
«пыль» (несжимаемая жидкость)  
в моделях *Фридмана* 67, 187, 182,  
184  
в черных дырах *Оппенгеймера–Снай-  
дера* 108, 113
- разбиение объема с красками на  
кубические ячейки 21–23
- разделение вещества и излучения 74, 138  
разделение воды и масла (пример  
фазового разделения) 30
- Райл (сэр) Мартин* 73
- распределения масс  
методы измерения 147  
неоднородности 242
- расширяющаяся Вселенная 57–73  
адиабатическое расширение  
(с равными по объему ячейками  
крупнозернистого разбиения) 77–78  
черные дыры как «семена» 14, 187
- релятивизм *см.* *Эйнштейна* общая  
теория относительности

- Римана* геометрия 99  
*Римана–Кристоффеля* тензор кривизны 144, 248  
*Риндлер Вольфганг* 293[2.48]  
*Риндлера* наблюдатели 218  
*Риччи* кривизна 226, 248  
*Риччи* скаляр 248  
*Риччи* тензор 144, 248, 249, 259
- свертывание (алгебраическая операция) 144  
свертывание тензора (алгебраическая операция) 144  
световая секунда 91  
световой год 91  
световой конус 90, 289[2.26], 290[2.27]  
*см. также* нуль-конус  
световые лучи  
    воздействие гравитационного поля 145–147  
    фокусировка и поток энергии 111  
сильные взаимодействия 153  
*Синг Джон* 103, 129  
сингулярности  
    и гравитационный коллапс 106, 127, 129, 198, 294[2.50]  
    потеря информации 207  
    представление в конформных диаграммах 109, 124, 127, 132  
    черных дыр 109, 112, 197  
        при сравнении с сингулярностью Большого взрыва 225  
*Скиама Деннис* 288[2.14]  
скорость света *с*  
    в уравнении для космологической константы 177  
    в уравнении *Эйнштейна* для массы и энергии 16, 103, 166, 286[2.4]  
слабые взаимодействия 153  
*Слифер Весто* 63  
*Смолин Ли* 187, 188, 199, 311  
*Смут Джорж* 75  
смещение красок, аналогия с энтропией 21–23  
*Снайдер Хартлаэнд* 108  
события в пространстве-времени *Минковского* 99  
современная космологическая модель, основанная на общей теории относительности 78  
Солнце  
    будущая эволюция 115  
    и поступающая на Землю энергия 13, 84–85

- как горячее пятно на темном фоне неба 10, 11, 86
- как источник низкой энтропии 85
- Шварцшильда* радиус 128
- сохранение электрического заряда 166
- специфичность
- низкоэнтропийных состояний 35
  - состояния Большого взрыва 58
- спутник СОВЕ 75, 76
- стационарная модель Вселенной 73
- и общая теория относительности 111
  - как половина пространства-времени *де Ситтера* 127, 126
  - конформная диаграмма 126
  - с обращением времени 293[2.45]
  - свидетельства против 74
- Стейнхардт Пол* 189
- строгая космическая цензура 142, 198, 199
- строгие конформные диаграммы 118–135, 292[2.43]
- обозначения 125, 126, 128
- судьба Вселенной в отдаленном будущем 130, 157–159, 193–194, 210
- сферическая симметрия в космологических моделях 108, 110, 118
- схематические конформные диаграммы 118, 131–133, 199, 302[2.43]
- телеология будущего 56
- темная материя 65, 66, 158, 161, 175, 286[2.4]
- непостоянство массы покоя 166
  - распределения в пространстве 147, 295[2.60]
  - степени свободы 192, 193
  - $\omega$ -поле как материал для нового темного вещества 176, 238
- темная энергия 65, 176, 286[2.4], 264[3.23]
- в качестве космологической «константы» 215
- температура
- единицы *Планка* 178
  - космологическая 217, 218, 222
  - меры 288[2.16]
  - определение 16
  - Хокинга* для поверхности черной дыры 130, 195, 201, 217
- тензоры
- для энергии безмассовых частиц, масштабирование 254–255
  - система обозначения 144
- теории состояния пре-Биг-бэнга
- ранние 179–191
  - см. также* конформная циклическая космология

- теория струн 188–189
- теория электрослабого взаимодействия 153
- тепловое равновесие 52, 76  
    взаимосвязь с теориями гравитации 82–87
- термодинамика  
    законы 12, 16–62  
    *см. также* второй закон термодинамики
- термоядерные реакции 87
- Тод Пол* 149, 296[2.61]  
    гипотеза о кривизне *Вейля* 146, 149, 211, 226, 243
- тождества *Бианки* 250
- Толмен Р. К.* 77, 182
- Толмена* модель заполненной излучением Вселенной 183
- Толмена* модель осциллирующей Вселенной 182–184
- топология 95
- Торн Кип* 108, 202
- Турок Нейл* 189
- Уилер Джон* 110, 185, 187, 188, 224, 233
- Уилсон Роберт* 74
- Унру* эффект 217
- уравнение свободного поля для безмассовых частиц 247  
    *см. также Шредингера* уравнение
- уравнение сохранения потока заряда 247
- условие слабой энергии 113, 216
- фаза коллапса Вселенной, гипотеза «отскока» 14, 108, 155, 180, 183, 187, 189
- фазовое пространство 31  
    «внешнее» 37
- зернистое разбиение 41, 50
- как естественная мера 32
- мера объема 162, 298[3.11]
- эволюционная кривая 32
- эволюция после потери информации в черной дыре 210  
    *см. также* область крупнозернистого разбиения; эволюционные кривые
- фантомное поле 174, 175, 262, 309[Б.4]  
    роль 262–263
- Фаулер Уильям* 186
- Финкельштейн Давид* 128
- флуктуации начальной плотности 231
- формализм 2-спиноров  
    обозначения 245–247  
    преимущества 245

## фотоны 152

- в отдаленном будущем Вселенной 165, 167, 169
- в ранней Вселенной 74
- верхний предел для измерений массы 295[3.2]
- поглощение и излучение поверхностью Земли 85–86
- уравнение *Шредингера* для фотонов 170, 247

## фотосинтез 85

- Фридман Александр* 66, 287[2.7]
- Фридмана* космологические модели 67, 124–127, 182
  - альтернативная радиационная модель *Толмена* 182–183
  - диаграммы пространства-времени 67
  - исходные предположения 66, 82, 113
  - конформные диаграммы 125–26, 133
  - пространственно-замкнутой Вселенной 67, 69, 180
    - «пылевые» модели 67, 187, 182, 184
  - экспоненциальное расширение 69–70
- Фридмана–Леметра–Робертсона–Уолкера* модели (FLRW) 66, 82, 110
- нарушения симметрии в коллапсирующей Вселенной 138
- Фридрих Гельмут* 160, 193, 263

## фундаментальные константы Природы

- возможность изменений констант на предыдущем эоне 185, 233
- планковская шкала единиц 178
- совпадения соотношений 177–178

*Хаббл Эдвин* 63

*Хаджян Амир* 239–242

*Халатников И. М.* 110, 114, 190

*Ханн Эрвин* 46

*Харрисон Е. Р.* 231

*Хиггса* бозон 15

*Хиггса* поле 151, 175, 176, 253

*Хойл Фред* 73, 186, 286[2.3], 288[2.13]

*Хокинг Стивен* 130, 294[2.50]

- о потере информации в черных дырах 201–202

*Хокинга* излучение 130, 157, 158, 195, 201, 210

- возможность регистрации/наблюдения 234

*Хокинга* испарение черных дыр 131, 195, 206, 210, 233

- и потеря информации 201–202

механизм

диаграмма пространства-времени 131, 206

- строгая конформная диаграмма  
*132, 198*
- Хокинга* температура 130, 195, 201, 217
- хронометрия 103
- целые числа 33
- циклоида 180, 182
- Чандрасекар Субраманьян* 114, 115, 186
- Чандрасекара* предел 115
- частицы  $W^+$  и  $W^-$  153–154
- частицы с нулевой массой покоя  
*см.* безмассовые частицы
- частицы, обладающие массой  
в качестве «часов» 104  
мировая линия 92
- часы, использование частиц 104, 105, 158
- черная дыра (дыры) 14, 81  
в галактике Млечный Путь 81, 117, 208  
горизонт событий 106, 107  
гравитационный коллапс 106, 127, 129, 198  
гравитационное излучение при столкновениях 163, 235, 238  
дальнейшая судьба 130, 157 194–200, 210  
испарение по механизму излучения *Хокинга* 130, 195, 206, 210, 233
- образование 106, 107
- обращение во времени 139, 139
- потеря информации 207
- прямые столкновения между сверхмассивными черными дырами 235
- размеры 301[3.41]
- сингулярности 109, 112, 197
- столкновения 157, 163, 235, 236, 238, 239
- температура 130, 195, 201, 217
- характерные параметры 196, 302[3.44]
- «хлопок» при исчезновении 130, 157, 195, 196–201, 207, 302[3.48]
- энтропия 81, 139, 193, 194
- черные карлики (звезды) 115, 164
- Шварцшильда* радиус 128–129
- Шварцшильда* решение (уравнений *Эйнштейна*) 129
- конформные диаграммы 129
- Крускала–Синге–Секереша–Фронсдала* продолжение 129
- Эддингтона–Финкельштейна* продолжение 127, 129
- Шмидт Брайан* 69
- Шмидт Мартен* 110

- Шпергель Дэвид* 239, 311
- Шредингер Эрвин* 203
- Шредингера* уравнение 170, 247–248, 303[3.53]  
для гравитонов 171, 247, 255  
для фотонов 170, 247
- эволюционные кривые 32, 33, 50, 53, 54, 55
- эволюционная кривая Вселенной  
начало 58, 61  
окончание 58, 61
- эволюция системы в прошлом 53–55
- Эддингтон (сэр) Артур* 128, 145
- Эйнштейн Альберт* 87, 180, 287[2.4]
- Эйнштейна* Вселенная 123  
интуитивное представление 123  
пространство-время *Минковского* как конформная подобласть 124  
строгая конформная диаграмма 123
- Эйнштейна* искривленное пространство-время 79, 87  
и гравитация 79, 81–82, 142–143  
и модель стационарного состояния 73, 110–111  
и нуль-конусы 94  
общая ковариантность 95
- Эйнштейна* кривизна 226, 248–249
- Эйнштейна* общая теория относительности 66, 95  
и нуль-конусы 94
- Эйнштейна* специальная теория относительности 88, 89, 92, 101, 143
- Эйнштейна* тензор 144, 171, 226, 245
- Эйнштейна* уравнение для энергии и массы 16, 103, 166, 286[2.4]
- Эйнштейна* уравнения поля 144, 245, 262  
бесследовый тензор 229  
удовлетворяющий уравнению тензор энергии 262, 280
- Эйнштейна* цилиндр 123
- экспоненциальное расширение  
в предыдущих зонах 229  
влияние на температуру Вселенной 130  
во вселенных далекого будущего 157, 169, 193, 229  
очень ранней Вселенной 70, 71, 135, 229
- электрически заряженные частицы, обладающие массой 164
- электрически заряженные безмассовые частицы 163
- электрически заряженные частицы с массой 164

- электромагнитное поле 143, 152  
как аналог гравитационного поля 143–145  
степени свободы поля 144
- электромагнитные волны, распространение 169
- «электронная метрика» 168
- электроны 164  
аннигиляция с позитронами 165
- эллиптическая геометрия 68
- энергия покоя 103, 291[2.33]
- энтропия  
возрастание 16, 19  
возрастание в далеком будущем 50–55, 194, 210  
космологическая 211  
микроволнового фонового излучения 81, 194  
надежность концепции 41–45  
низкая вероятность уменьшения 52  
объективная энтропия 49, 285[1.11]  
определение *Больцмана* 34–37, 40, 41, 85, 191, 204  
определения 16, 20–30, 49–50, 208  
подсчет числа состояний 21–26  
пример с ванной 44  
пример с разделением воды и масла 30  
пример со смешиванием красок 21–23  
рост, связанный с измерениями 42  
свойство аддитивности 25, 207  
увеличение из-за образования черных дыр 193, 209, 210  
черных дыр 81, 139, 193–195  
эксперименты с вложенными трубками 47–48  
энтропия Вселенной 81, 82, 141, 191, 193, 194, 207, 214  
эффективное уменьшение из-за потери информации в черных дырах 209  
эффекты, связанные с технологией измерения 42–43
- эон, смысл термина в рамках теории КЦК 161
- эффект спинового эха 46
- эффективная гравитационная постоянная 177, 184, 272
- Эшер М. К.* 67, 68  
описания разных геометрий 68, 72, 94, 96, 122
- ядерные спины 46, 285[1.8]  
ядерный магнитный резонанс (ЯМР) 46

яйцо

низкоэнтропийная структура 83–84  
 низкоэнтропийное состояние 36, 83  
 самосборка разбившегося яйца 17–20,  
 36, 55

*Янга–Миллса* поля 253*Янга–Миллса* теория 153*Янга–Миллса* уравнения 153, 253

D-брейны 189

 $g$  -метрика 97–98, 103, 174

перемасштабирование 98, 171

 $g_{ab}$  -метрика 259, 260, 261исключение неинформативных  
степеней свободы 272–277перемасштабирование физической  
метрики *Эйнштейна* 262 $\hat{g}_{ab}$  -метрика 257 $\check{g}_{ab}$  -метрика 273–274 $\tilde{g}_{ab}$  -метрика 257

Z-частица 154

 $\Lambda$  см. космологическая константа  
(постоянная) $\Lambda g$  215 $\Lambda$ -поле 216 $\omega$ -полевозникновение новой темной  
материи 176, 238

конформное масштабирование 260

 $\omega$ -уравнение 174, 273, 278

конформная инвариантность 260

Наука нуждается в мыслителях типа Пенроуза.

Газета *Independent*

Мы должны понять, почему моменту зарождения Вселенной соответствовало невероятное, настолько упорядоченное состояние, чтобы спустя 14 миллиардов лет Вселенная так и не достигла максимума упорядоченности. Для того, чтобы узнать ответ, достаточно прочесть хотя бы одну часть этой книги.

Журнал *Science*

Пенроуз возродил теорию пульсирующей Вселенной, которая подобно Фениксу возрождается из пепла. Причем сохраняет информацию о предыдущих жизнях.

Еженедельник *Литературная газета*

---

---

## Что происходило до Большого взрыва?

Как родилась наша Вселенная и должна ли она неизбежно погибнуть?

Замечательная книга, в которой Роджеру Пенроузу удалось блестяще раскрыть некоторые из самых глубоких тайн Вселенной

---

---

Используя самые современные достижения физики и математики, Пенроуз заставляет поверить в то, что раньше казалось невозможным... Книга должна стать бестселлером подобно другим произведениям этого автора.

Газета *Guardian*

Другой бы на месте Пенроуза в свои почти 82 года давно почивал на лаврах, отдыхая от трудов. Но несколько лет назад сэр Пенроуз поставил на кон свою репутацию, бросив вызов всей мировой науке, физике и космологии и даже Стандартной модели мироздания. Теории Большого взрыва профессор Пенроуз противопоставил свою теорию циклической Вселенной.

Журнал *Огонек*

ISBN 978-5-9963-1405-8

